

บรรณานุกรม

## บรรณานุกรม

### ภาษาไทย

สุดาพร ลักษณ์ยานาวิน. เอกสารประกอบการบรรยาย วิชาลัทธิศาสตร์ (141 610).

ภาควิชาภาษาศาสตร์ คณะอักษรศาสตร์ จุฬาลงกรณ์มหาวิทยาลัย, 2527.

\_\_\_\_\_. ลัทธิศาสตร์ และภาษาศาสตร์. พระนคร: เทคเพรส เซอร์วิส, 2529.

วิบูลย์ อานสกุล. "การวิเคราะห์พยัญชนะกักเชิงกลศาสตร์ในภาษาไทย"

วิทยานิพนธ์ปริญญาโทบัณฑิต ภาควิชาภาษาศาสตร์ บัณฑิตวิทยาลัย

จุฬาลงกรณ์มหาวิทยาลัย, (กำลังดำเนินการ)

### ภาษาต่างประเทศ

Abercrombie, David. Element of General Phonetics. Edinburgh:

Edinburgh University Press, 1967.

Abramson, Arthur. The Vowels and Tones of Standard Thai: Acoustic

Measurements and Experiments. Bloomington: US. Research

centre in Anthropology, Folklore and Linguistics, 1962.

\_\_\_\_\_. "The Coarticulation of Tones: An Acoustic Study of Thai"

In Studies in Tai & Mon Khmer Phonetics and Phonology,

pp. 1-9. Edited by Theeraphar L. Thongkum. Bangkok:

Chulalongkorn University Press, 1979.

Denes, P., and E. Pinson. The Speech Chain: The Physics and

Biology of Spoken Language. New York: Anchor Press, 1973.

Erickson, Donna. "A Physiological Analysis of the Tone of Thai."

Ph. D. Dissertation, University of Indiana, 1960.

Fant, G. Acoustic Theory of Speech Production. The Hague:

Mouton & Co, 1960

- \_\_\_\_\_. "Analysis and Synthesis of Speech Process." In Manual of Phonetics, pp. 175-277. Edited by Malmberg. Amsterdam: North-Holland Publishing Company, 1968.
- Fry, D.B. The Physics of Speech. London: Cambridge University Press, 1979.
- Flanagan, J.L. Speech Analysis Synthesis and Perception. New York: Springer-Verlag, 1972.
- Gandour, Jackson. "Consonant Types and Tone in Siamese." In Journal of Phonetics 2 (1974): pp. 92-177.
- \_\_\_\_\_. "The Perception of Tone" In Tone: A Linguistic Survey, pp.41-76. Edited by V.A. Fromkin. New York: Academic Press, 1978.
- Gandour, J. and Ian Madison. "Measuring Larynx Movement in Standard Thai Using Cricothyrometre" In Phonetica 4(1972): 241-267.
- Ladefoged, Peter. Element of Acoustic Phonetics. Chicago: The University of Chicago Press, 1962.
- \_\_\_\_\_. A Course in Phonetics. New York: Harcourt Brace Jovano, vich, Inc., 1975.
- \_\_\_\_\_. "What are linguistic sounds made of?" In UCLA Working Papers of Phonetics 45, pp. 1-24. CA: UCLA Department of Linguistics, 1979.
- Ladefoged, Peter., and Harshman, Richard. "Formant Frequency and Movement of the Tongue." In UCLA Working Papers of Phonetics 45, pp. 39-52 CA: UCLA Department of Linguistics, 1979.

- Lehiste, Ilse. Readings in Acoustic Phonetics. Mass: M.I.T. Press,  
1970
- . Suprasegmentals. Cambridge: M.I.T. Press, 1970.
- Malmberg, B. Manual of Phonetics. Amsterdam: North-Holland  
Publishing Co., 1970.
- Painter, Colin. An Introduction to Instrumental Phonetics.  
Baltimore: University Park Press, 1970.
- Pickett, J.M. The Sound of Speech Communication. Baltimore;  
University Park Press, 1980.
- Potter, R.K., Kopp, G.A., and Green, H.C. Visible Speech.  
New York: D. Van Nostrand Company, 1947.
- Sudaporn Luksaneeyanawin. "Intonation in Thai." Ph.D.  
Dissertation University of Edinburgh, 1983.
- Theeraphan L. Thongkum. "Rhythm in Thai." Ph.D. Dissertation  
University of Edinburgh, 1977.



การคำนวณ

## ภาคผนวกที่ 1

### ลักษณะทางกลศาสตร์ของพยัญชนะไม้กัก

การนำเสนอลักษณะทางกลศาสตร์ของพยัญชนะไม้กัก จากการวิเคราะห์เชิงกลศาสตร์ซึ่งได้กล่าวถึงวิธีการโดยละเอียดแล้วในบทที่ 2 นั้น จะลำดับจากลักษณะทางกลศาสตร์ของ พยัญชนะนาสิก พยัญชนะเปิด พยัญชนะข้างลิ้น พยัญชนะลิ้นรู่ และพยัญชนะเสียดแทรก โดยในพยัญชนะแต่ละชนิดจะลำดับจากพยัญชนะฐานริมฝีปาก เข้าไปยังฐานอื่น ๆ

#### ลักษณะทางกลศาสตร์ที่ได้ศึกษาได้แก่

1. ความถี่กำทอน (Formant Frequency) ซึ่งจะเรียกย่อ ๆ ว่า คำ F ซึ่งมีค่าเป็น เฮิรตซ์ (Hz)
2. ระยะเวลา (Duration) ซึ่งมีค่าเป็นมิลลิวินาที (ms)
3. ความเข้มของเสียง (Intensity) ซึ่งมีค่าเป็น เดซิเบล (dB)

ทั้งนี้ในพยัญชนะแต่ละชนิดนั้น จะได้กล่าวถึงลักษณะทางกลศาสตร์ที่เป็นลักษณะรวม ๆ ของพยัญชนะนั้น ๆ ก่อน หลังจากนั้นจะได้กล่าวถึงลักษณะทางกลศาสตร์ของพยัญชนะแต่ละฐาน เมื่อพยัญชนะฐานนั้น ๆ ปรากฏตามปริบททางเสียง 2 ปริบทคือ

- ก. เมื่อปรากฏร่วมกับสระล่าง ๆ กัน
- ข. เมื่อปรากฏที่ตำแหน่งต่าง ๆ กันในคำทดสอบ

ในที่สุดท้าย จะเป็นการเปรียบเทียบให้เห็นความแตกต่างระหว่างพยัญชนะแต่ละหน่วยในพยัญชนะชนิดนั้น ๆ

#### 1. ลักษณะทางกลศาสตร์ของพยัญชนะนาสิก

จากการศึกษาลักษณะทางกลศาสตร์ของพยัญชนะนาสิกทั้ง 3 ฐาน คือ ฐานริมฝีปาก /m/ ฐานปุ่มเหงือก /n/ และฐานเพดานอ่อน /ŋ/ พบว่ามีลักษณะทางกลศาสตร์บางประการที่เป็นลักษณะทั่วไปของพยัญชนะนาสิกทุกฐาน ที่สมควร

นำมากล่าวถึง และพบว่า ลักษณะทางกลศาสตร์บางประการมีการแปรไป เมื่อพยัญชนะฐานหนึ่ง ๆ ปรากฏในบริบททางเสียงต่าง ๆ กัน ซึ่งจะได้กล่าวถึงต่อไป

### 1.1 ลักษณะทั่วไปของพยัญชนะนาสิก

#### 1.1.1 ลักษณะของค่า F ของพยัญชนะนาสิก

ก. พยัญชนะนาสิกทุกฐานมี F1 ที่มีความเข้มสูง และมีค่า F อยู่ระหว่าง 300 ถึง 350 เฮิรตซ์ เท่านั้น

ข. ลักษณะการเปล่งเสียงพยัญชนะนาสิกนั้น ขณะที่บริเวณช่องปากมีการกักกันลม เพดานอ่อนจะลดตัวลงปล่อยให้ลมผ่านทางช่องจมูก จากการที่มีช่องกำทอนบริเวณช่องปากร่วมกับช่องจมูกนี้เอง ทำให้เกิด anti-formant frequency หรือ zero ขึ้น ทำให้ความเข้มในย่านความถี่บางย่านในสเปกตรัมของเสียงลดลงมาก (damped) ซึ่งเป็นลักษณะสากลของพยัญชนะนาสิก (Fant 1968, Pickett 1980 : 152) ผู้วิจัยพบว่าย่านความถี่ที่ความเข้มลดลงมากจะเริ่มตั้งแต่ 500 เฮิรตซ์จนถึง 2,000 เฮิรตซ์ เป็นผลให้ F2 ของพยัญชนะนาสิกทุกฐาน ปรากฏภาพสัญญาณเป็นแถบจาง ๆ หรือไม่มีภาพสัญญาณเลย ทั้งนี้ยกเว้นพยัญชนะนาสิกที่ปรากฏร่วมกับสระ /a:/ ซึ่งภาพสัญญาณของ F2 ปรากฏค่อนข้างชัดเจน (ดูภาพคลื่นเสียงของพยัญชนะนาสิกในภาคผนวก หน้า 211 - 263 )

ค. F3 และ F4 ของพยัญชนะนาสิกมีความเข้มสูง ปรากฏเป็นภาพสัญญาณบนแผนภาพคลื่นเสียงชัดเจน โดยเฉพาะเมื่อพยัญชนะปรากฏที่ตำแหน่งท้ายคำ และระหว่างสระ ส่วนในตำแหน่งต้นคำทดสอบนี้ปรากฏไม่ชัดเจน ค่า F4 ของพยัญชนะนาสิกทุกฐาน อยู่ระหว่าง 3,900 เฮิรตซ์ ถึง 4,050 เฮิรตซ์ ส่วนค่า F3 นั้น พบว่า มีการแปรไปตามบริบทที่พยัญชนะนาสิกปรากฏซึ่งจะได้กล่าวถึงรายละเอียดต่อไป

#### 1.1.2 ระยะเวลา

ลักษณะทั่วไปที่เกี่ยวข้องกับระยะเวลาของพยัญชนะนาสิกที่พบ คือ พยัญชนะนาสิกแต่ละหน่วย เมื่อปรากฏในตำแหน่งต่างกันจะมีระยะเวลาแตกต่างกัน และเมื่อพยัญชนะนาสิกแต่ละหน่วยปรากฏร่วมกับสระแตกต่างกัน ระยะเวลาจะมีค่าแตกต่างกัน

### 1.1.3 ความเข้มของเสียง

ลักษณะร่วมประการหนึ่งที่เกี่ยวข้องกับความเข้มของเสียง พยัญชนะนาสิกที่พบคือ พยัญชนะนาสิกในตำแหน่งระหว่างสระจะมีค่าความเข้มของเสียงมากกว่า พยัญชนะนาสิกในตำแหน่งท้ายคำ และ ตำแหน่งต้นคำ ตามลำดับ และเมื่อ พยัญชนะนาสิกปรากฏร่วมกับสระต่าง ๆ กัน ความเข้มของเสียงก็จะมีการแปรไป ซึ่งจะได้กล่าวถึงรายละเอียดต่อไปในตอนที 3.1.2

ลำดับต่อไปจะเป็นส่วนที่เกี่ยวข้องกับลักษณะทางกลศาสตร์ของพยัญชนะนาสิก เมื่อปรากฏในบริบททางเสียงต่าง ๆ กัน \* คือ เมื่อปรากฏร่วมกับสระต่าง ๆ กัน และเมื่อปรากฏในตำแหน่งต่าง ๆ กัน ทั้งนี้จะ เริ่มจากพยัญชนะนาสิก ฐานริมฝีปาก ฐานปุ่มเหงือก และฐานเพดานอ่อน ตามลำดับ

### 1.2 ลักษณะทางกลศาสตร์ของพยัญชนะนาสิกฐานริมฝีปาก /m/

#### 1.2.1 ลักษณะของค่า F ของ /m/

ดังที่ได้กล่าวแล้วว่าสัญญาณความถี่กำหนดของพยัญชนะนาสิก เมื่อปรากฏในบริบททางเสียงต่าง ๆ ส่วนใหญ่ปรากฏชัดเจนเฉพาะ F1 F3 F4 เท่านั้น และจากการศึกษาค่า F ต่าง ๆ เหล่านี้ ผู้วิจัยพบว่า ค่า F3 มีการแปรไป ดังนี้ (ดูตารางที่ 29ประกอบ)

\*ในการนำเสนอมูลค่าทางกลศาสตร์ของพยัญชนะไม่กัก เมื่อปรากฏในบริบททางเสียงต่าง ๆ นั้น จะอยู่ในรูปของตารางซึ่งแสดงค่าโดยละเอียด พร้อมกับค่าเฉลี่ย ( $\bar{x}$ ) และสัดส่วนของ  $\bar{x}$  นั้นด้วย สัดส่วนจะแสดงให้เห็นทราบว่า ค่าทางกลศาสตร์ ของพยัญชนะไม่กักในบริบทใด มีค่าสูงค่าต่ำกันอย่างไร เช่น ในตารางที่ 1 หน้า 95  $\bar{x}$  และสัดส่วนในตารางด้านขวามือแสดงให้เห็นว่า ค่า F3 ของ /m/ เมื่อปรากฏร่วมกับสระ /a:/ เฉลี่ยทั้งสามตำแหน่งมีค่าเท่ากับ 2783 Hz เมื่อปรากฏร่วมกับสระ /u:/ เฉลี่ยเท่ากับ 2750 Hz และเมื่อปรากฏร่วมกับสระ /i/ เฉลี่ยเท่ากับ 2383 Hz และสัดส่วนของ  $\bar{x}$  เหล่านี้เท่ากับ 35.16 : 34.74 : 30.10 ตามลำดับ  $\bar{x}$  และสัดส่วนในตารางด้านล่างแสดงให้เห็นว่าค่าเฉลี่ยของ F3 ของ/m/ เมื่อปรากฏในตำแหน่งต่าง ๆ ร่วมกับสระทั้งสามเสียงนั้น มีค่าสูงเรียงจากตำแหน่งท้ายคำ ตำแหน่งระหว่างสระ และตำแหน่งต้นคำ ตามลำดับ

ตารางที่ 28 ค่า F3 ของ /m/ เมื่อปรากฏในบริบททางเสียงต่าง ๆ

		ค่า F3 ของ /m/ (หน่วย : เฮิรตซ์)			
ตำแหน่ง สระร่วม	ท้ายคำ	ระหว่างสระ	ต้นคำ	$\bar{X}$	สัดส่วน
a:	2850	2750	2750	2783	35.16
u:	2750	2750	2750	2750	34.74
i:	2650	2250	2250	2383	30.10
$\bar{X}$	2750	2583	2583		
สัดส่วน	34.74	32.63	32.63		

ก. เมื่อพิจารณาค่าเฉลี่ย ( $\bar{X}$ ) และสัดส่วนของค่าเฉลี่ย ดังแสดงในตารางแล้ว ทำให้เห็นว่า เมื่อ /m/ ปรากฏร่วมกับสระต่าง ๆ กัน ค่า F3 มีค่าแปรจากสูงมาต่ำ เมื่อ /m/ ปรากฏร่วมกับสระ /a:/ /u:/ และ /i:/ ตามลำดับ แต่เมื่อพิจารณาค่า F3 โดยละเอียดแล้วพบว่า เมื่ออยู่ในตำแหน่งระหว่างสระ และ ต้นคำ F3 ของ /m/ ในบริบทสระ /a:/ และ /u:/ มีค่าเท่ากัน

ข. เมื่อ /m/ ปรากฏในตำแหน่งต่างกัน ค่า F3 ของ /m/ ในตำแหน่งท้ายคำมีค่าสูง ส่วน /m/ ในตำแหน่งระหว่างสระ และต้นคำมีค่า F3 เท่ากัน

#### 1.2.2 ระยะเวลาของ /m/

จากการศึกษาค่าระยะเวลาของ /m/ พบว่ามีการแปร ดังนี้ (ดูตารางที่ 30 ประกอบ)

ตารางที่ 30 ค่าระยะเวลาของ /m/ เมื่อปรากฏในบริบททางเสียงต่าง ๆ

ตำแหน่ง สระร่วม		ระยะเวลาของ /m/ (หน่วย: มิลลิวินาที)														
		ท้ายคำ			ระหว่างสระ					ต้นคำ						
		ระยะคงที่	F-Trans	รวม	ระยะคงที่	F-Trans		รวม	ระยะคงที่	F-Trans	รวม	ระยะคงที่		รวม F-Trans		
						$\bar{X}$	สัดส่วน					$\bar{X}$	สัดส่วน			
i:	226	51	277	104	48	55	207	81	72	153	137	36.53	212	40.08		
a:	216	45	261	84	40	46	170	62	64	126	121	32.27	186	35.16		
u:	191	10	201	90	10	10	110	71	10	81	117	31.20	131	24.76		
$\bar{X}$	211		246	93			162	71		120						
สัดส่วน	56.27		46.60	24.80			30.68	18.93		22.72						

ก. เมื่อ /m/ มีสระร่วมต่าง ๆ กัน พบว่าระยะเวลาของพยัญชนะทั้งที่รวมและไม่รวมระยะ F-Trans มีค่าแปรจากสูงมาต่ำเมื่อ /m/ ปรากฏร่วมกับสระ /i:/ /a:/ และ /u:/ ตามลำดับ

ข. เมื่อ /m/ ปรากฏในตำแหน่งต่างกันในคำทดสอบ พบว่าระยะเวลามีค่าแปรจากสูงมาต่ำ เมื่อปรากฏที่ตำแหน่งท้ายคำ - ตำแหน่งระหว่างสระ และต้นคำทดสอบตามลำดับ และค่าระยะเวลารวมระยะ F-Trans มีการแปรเป็นแบบเดียวกัน (ดูค่า  $\bar{X}$  และสัดส่วนในตารางที่ 30 ประกอบ)

### 1.2.3 ความเข้มของเสียงของ /m/

จากการศึกษาค่าความเข้มของเสียงของ /m/ เมื่อปรากฏในบริบททางเสียงต่าง ๆ พบว่ามีการแปรเป็นดังนี้ (ดูตารางที่ 31 ประกอบ)

ตารางที่ 31 ค่าความเข้มของเสียงของ /m/ เมื่อปรากฏในบริบททางเสียงต่าง ๆ

ความเข้มของเสียง/m/ (หน่วย : เดซิเบล)					
ตำแหน่ง สระร่วม	ระหว่างสระ	ท้ายคำ	ต้นคำ	$\bar{X}$	สัดส่วน
a:	9.16	7.41	4.91	7.16	35.91
i:	9.00	7.00	4.83	6.94	34.81
u:	7.66	6.71	3.16	5.84	29.28
$\bar{X}$	8.60	7.04	4.3		
สัดส่วน	43.12	35.31	21.57		

ก. เมื่อ /m/ ปรากฏร่วมกับสระต่าง ๆ กันพบว่าความเข้มของเสียงมีค่าแปรจากสูงมาต่ำเมื่อ /m/ ปรากฏร่วมกับสระ /a:/ /i:/ และ /u:/ ตามลำดับ

ข. เมื่อ /m/ ปรากฏในตำแหน่งต่าง ๆ กัน พบว่าความเข้มของเสียงมีค่าแปรจากสูงมาต่ำ เมื่อ /m/ ปรากฏในตำแหน่งระหว่างสระ ท้ายคำ และต้นคำตามลำดับ

### 1.3 ลักษณะทางกลศาสตร์ของพยัญชนะนาสิกฐานปุ่มเหงือก /n/

#### 1.3.1 ลักษณะค่า F ของ /n/

การปรากฏภาพสัญญาณของค่า F ของ /n/ มีลักษณะเช่นเดียวกับ /m/ คือปรากฏเป็นภาพชัดเจนเฉพาะ F1 F3 และ F4 เท่านั้น และจากการศึกษาค่า F ต่าง ๆ พบว่า ค่า F3 มีการแปรไปตามบริบททางเสียงดังนี้ (ดูตารางที่ 32 ประกอบ)

ตารางที่ 32 ค่า F3 ของ /n/ เมื่อปรากฏในบริบททางเสียงต่าง ๆ

		ค่า F3 ของ /n/ (หน่วย : เฮิรตซ์)				
ตำแหน่ง	สระร่วม	ท้ายคำ	ระหว่างสระ	ต้นคำ	$\bar{X}$	สัดส่วน
	a:	2900	2850	2750	2833	24.55
	u:	2800	2750	2600	2717	33.13
	i:	2750	2650	2550	2650	32.32
	$\bar{X}$	2817	2750	2633		
	สัดส่วน	34.35	33.54	32.11		

ก. เมื่อ /n/ ปรากฏร่วมกับสระต่าง ๆ F3 มีค่าแปรจากสูงมาต่ำ เมื่อปรากฏร่วมกับสระ /a:/ /u:/ และ /i:/ ตามลำดับ

ข. เมื่อ /n/ ปรากฏในตำแหน่งต่าง ๆ กัน พบว่าค่า F3 มีค่าแปรจากสูงมาต่ำ เมื่อ /n/ ปรากฏในตำแหน่งท้ายคำ ระหว่างสระ และต้นคำ ตามลำดับ



.1.3.2 ระยะเวลาของ /n/ จากการศึกษาระยะเวลาของ /n/ เมื่อปรากฏในบริบททางเสียงต่าง ๆ พบว่ามีการแปรดังนี้  
ตารางที่ 33 ค่าระยะเวลาของ /n/ ในบริบททางเสียงต่าง ๆ

ตำแหน่ง สระร่วม		ระยะเวลาของ /n/ (หน่วย : มิลลิวินาที)														
		ท้ายคำ			ระหว่างสระ					ต้นคำ			ระยะเวลา		รวมF-Trans	
		ระยะเวลา ระยะเวลาคงที่F-Trans	ระยะ รวม	ระยะเวลาคงที่	ระยะ F-Trans		รวม	ระยะเวลาคงที่F-Trans	ระยะ รวม	ระยะเวลาคงที่		รวมF-Trans				
					Pre.	Post.				$\bar{X}$	สัดส่วน	$\bar{X}$	สัดส่วน			
u:	210	78	288	98	66	75	239	80	81	161	129	33.76	229	36.06		
i:	210	71	281	78	63	66	207	67	72	139	118	30.90	209	32.91		
a:	222	42	264	102	44	46	192	81	53	134	135	35.34	197	31.03		
$\bar{X}$	214		278	93			213	76		145						
สัดส่วน	55.87		43.71	24.29			33.49	19.84		22.80						



ก. เมื่อ /n/ ปรากฏร่วมกับสระต่าง ๆ พบว่าระยะเวลาของระยะคงที่ของ /n/ มีค่าแปรจากสูงมาต่ำ เมื่อปรากฏร่วมกับ /a:/ /u:/ และ /i:/ ตามลำดับ แต่ระยะเวลารวม F-Trans มีค่าแปรจากสูงมาต่ำ เมื่อ /n/ ปรากฏร่วมกับ /u:/ /i:/ และ /a:/ ตามลำดับ

ข. เมื่อ /n/ ปรากฏในตำแหน่งต่าง ๆ กันในคำทดสอบพบว่าทั้งระยะคงที่และระยะเวลารวมมีค่าแปรจากสูงมาต่ำ เมื่อ /n/ ปรากฏในตำแหน่งท้ายคำ ระหว่างสระและต้นคำ ตามลำดับ

### 1.3.3 ความเข้มของเสียงของ /n/

จากการศึกษาความเข้มของเสียง /n/ เมื่อปรากฏในบริบททางเสียงต่าง ๆ กัน พบว่า มีการแปรเป็นดังนี้ คือ (ดูตารางที่ 34 ประกอบ)

ตารางที่ 34 ค่าความเข้มของเสียงของ /n/ ในบริบททางเสียงต่าง ๆ

ค่าความเข้มของเสียงของ /n/ (หน่วย : เดซิเบล)					
ตำแหน่ง สระรวม	ระหว่างสระ	ท้ายคำ	ต้นคำ	$\bar{X}$	สัดส่วน
u:	10.58	7.50	7.08	8.38	36.26
i:	8.75	8.33	5.83	7.63	33.01
a:	8.75	6.91	5.66	7.10	30.72
$\bar{X}$	9.36	7.58	6.19		
สัดส่วน	40.46	32.77	29.87		

ก. - เมื่อ /n/ ปรากฏร่วมกับสระต่าง ๆ กัน พบว่าความเข้มของเสียง มีค่าแปรจากสูงมาต่ำ เมื่อ /n/ ปรากฏร่วมกับสระ /u:/ /i:/ และ /a:/ ตามลำดับ ยกเว้นในตำแหน่งท้ายคำจะแปรจากสูงมาต่ำในบริบทของสระ /i:/ /u:/ และ /a:/ ตามลำดับ

ข. - เมื่อ /n/ ปรากฏในตำแหน่งต่าง ๆ กันในคำทดสอบพบว่า ความเข้มของเสียงมีค่าแปรจากสูงมาต่ำ เมื่อ /n/ ปรากฏที่ตำแหน่งกลางระหว่างสระท้ายคำ และต้นคำ ตามลำดับ

#### 1.4 ลักษณะทางกลศาสตร์ของพยัญชนะนาสิกฐานเพดานอ่อน /ŋ/

##### 1.4.1 คำ F ของ /ŋ/

การปรากฏภาพสัณฐานของคำ F ต่าง ๆ ของ /ŋ/ มีลักษณะเช่นเดียวกันกับพยัญชนะนาสิกฐานอื่น ๆ คือ ปรากฏชัดเจนเฉพาะ F1 F3 และ F4 ส่วน F2 จะมีความเข้มลดลงมาก จนไม่ปรากฏเป็นภาพสัณฐานของ F2 ในแผนภาพคลื่นเสียง และจากการศึกษาคำ F ต่าง ๆ ของ /ŋ/ พบว่า คำ F3 มีการแปรไปตามบริบททางเสียงดังนี้ คือ (ดูตารางที่ 35 ประกอบ)

ตารางที่ 35 คำ F3 ของ /ŋ/ เมื่อปรากฏในบริบททางเสียงต่าง ๆ

คำ F3 ของ /ŋ/ (หน่วย : เฮิรตซ์)					
ตำแหน่ง สระร่วม	ท้ายคำ	ระหว่างสระ	ต้นคำ	$\bar{X}$	สัดส่วน
a:	3087	2967	2500	2851	36.28
u:	2850	2750	2300	2633	33.50
i:	2450	2450	2200	2367	30.12
$\bar{X}$	2796	2722	2333		
สัดส่วน	35.62	34.67	29.71		

ก. เมื่อ /ŋ/ ปรากฏร่วมกับสระต่าง ๆ กัน พบว่า คำ F3 แปรจากสูงมาต่ำ เมื่อ /ŋ/ ปรากฏร่วมกับสระ /a:/ /u:/ และ /i:/ ตามลำดับ

ข. เมื่อ /ŋ/ ปรากฏในตำแหน่งต่าง ๆ กันในคำทดสอบ พบว่า คำ F3 แปรจากสูงมาต่ำ เมื่อ /ŋ/ ปรากฏในตำแหน่งท้ายคำ ระหว่างสระและต้นคำ ตามลำดับ ยกเว้นในบริบทของสระ /i:/ /ŋ/ ที่ปรากฏท้ายคำ และระหว่างสระมีคำ F3 เท่ากัน

#### 1.4.2 ระยะเวลาของ /ŋ/

เมื่อพิจารณาคำของระยะเวลาของพยัญชนะ และระยะเวลาของสระ F-Trans แล้ว พบว่ามีการแปรดังนี้ (ดูตารางที่ 36 ประกอบ)

ตารางที่ 36 ค่าระยะเวลาของ /ŋ/ ในบริบททางเสียงต่าง ๆ

ตำแหน่ง สระรวม		ค่าระยะเวลาของ /ŋ/ (หน่วย : มิลลิวินาที)													
		ท้ายคำ			ระหว่างสระ				ต้นคำ			ระยะคงที่		รวม F-Trans	
	ระยะ คงที่	ระยะ F-Trans	รวม	ระยะ คงที่	ระยะเวลาของ F- Trans		รวม	ระยะ คงที่	ระยะ F-Trans	รวม	$\bar{X}$	สัดส่วน	$\bar{X}$	สัดส่วน	
					Pre-C Trans	Post-C Trans									
i:	212	62	274	105	48	68	221	85	83	168	134	33.84	221	39.32	
a:	213	46	259	95	46	51	192	84	54	138	134	33.08	196	34.87	
u:	195	10	205	112	10	10	132	86	12	98	131	33.08	145	25.81	
$\bar{X}$	207		246	104			182	85		135					
สัดส่วน	52.28		43.69	26.26			32.33	21.46		23.98					

ก. เมื่อ /ŋ/ ปรากฏร่วมกับสระต่าง ๆ กัน พบว่าระยะเวลาของระยะคงที่มีค่าใกล้เคียงกัน แต่เมื่อรวมระยะเวลาของ F-Trans แล้ว ทำให้ระยะเวลารวมมีค่าแปรจากสูงมาต่ำ เมื่อ /ŋ/ ปรากฏร่วมกับสระ /i:/ /ɔ:/ และ /u:/ ตามลำดับ

ข. เมื่อ /ŋ/ ปรากฏในตำแหน่งต่าง ๆ กันในคำทดสอบพบว่าทั้งระยะคงที่ และระยะเวลารวมระยะ F-Trans มีค่าแปรจากสูงมาต่ำ เมื่อ /ŋ/ ปรากฏท้ายคำ ระหว่างสระ และต้นคำ ตามลำดับ

#### 1.4.3 ความเข้มของเสียง /ŋ/

จากการศึกษาความเข้มของเสียงของ /ŋ/ เมื่อปรากฏในบริบททางเสียงต่าง ๆ พบว่ามีการแปร ดังนี้คือ (ดูตารางที่ 37 ประกอบ)

ตารางที่ 37 ค่าความเข้มของเสียงของ /ŋ/ เมื่อปรากฏในบริบททางเสียงต่าง ๆ

ค่าความเข้มของเสียง /ŋ/ (หน่วย : เดซิเบล)					
ตำแหน่ง สระร่วม	ระหว่างสระ	ท้ายคำ	ต้น	$\bar{X}$	สัดส่วน
a:	11.25	9.00	7.41	9.22	37.51
u:	9.55	7.66	6.53	8.02	32.27
i:	9.25	6.83	6.75	7.61	30.62
$\bar{X}$	10.02	7.83	6.99		
สัดส่วน	40.33	31.53	28.14		

ก. เมื่อ /ŋ/ ปรากฏร่วมกับสระต่าง ๆ กัน พบว่า  
ความเข้มของเสียง มีค่าแปรจากสูงมาต่ำ เมื่อ /ŋ/ ปรากฏร่วมกับสระ /a:/  
/u:/ และ /i:/ ตามลำดับ

ข. เมื่อ /ŋ/ ปรากฏที่ตำแหน่งต่าง ๆ กัน พบว่า  
ค่าความเข้มของเสียงจะแปรจากสูงมาต่ำ เมื่อ /ŋ/ ปรากฏในตำแหน่งระหว่างสระ  
ท้ายคำ และต้นคำ ตามลำดับ

ที่กล่าวมาข้างต้น เป็นการกล่าวถึงลักษณะทางกลศาสตร์ของพยัญชนะนาสิก  
ที่มีการแปรทีละหน่วย เพื่อให้เห็นภาพรวมของการแปรของลักษณะทางกลศาสตร์ของ  
พยัญชนะนาสิกทั้ง 3 หน่วยดังกล่าว อาจเปรียบเทียบได้ดังนี้

1.5 เปรียบเทียบลักษณะการแปรของลักษณะทางกลศาสตร์ของพยัญชนะนาสิก  
ทุกหน่วย

1.5.1 ลักษณะการแปรของค่า F3 ของ /m/ /n/ และ /ŋ/

ลักษณะการแปรของค่า F3 ของพยัญชนะนาสิกทุกหน่วย

มีการแปรไปในทิศทางเดียวกันคือ (ดูตารางที่ 38 ประกอบ)

ตารางที่ 38 ค่า F3 ของพหุคูณขนาดถึง 3 หน่วย

ค่า F3 ของพหุคูณขนาดถึง 3 หน่วย (หน่วย : เฮิรตซ์)															
พหุคูณ สระ	ม			น			ง			ม		น		ง	
	ท้ายค่า	ระหว่าง สระ	ต้นค่า	ท้ายค่า	ระหว่าง สระ	ต้นค่า	ท้ายค่า	ระหว่าง สระ	ต้นค่า	$\bar{X}$	สัดส่วน	$\bar{X}$	สัดส่วน	$\bar{X}$	สัดส่วน
า :	2850	2750	2750	2900	2850	2750	3087	2967	2500	2783	35.16	2833	33.13	2851	36.28
ู :	2750	2750	2750	2800	2750	2600	2850	2750	2300	2750	34.74	2717	32.31	2633	33.50
ิ :	2670	2250	2250	2750	2650	2550	2450	2450	2250	2383	30.10	2650	24.54	2367	30.12
$\bar{X}$	2750	2583	2583	2817	2750	2633	2796	2722	2333						
สัดส่วน	34.74	32.63	32.63	34.35	33.53	32.10	35.61	34.64	29.71						



ก. เมื่อปรากฏร่วมกับสระต่าง ๆ คำ F3 จะมีคำแปร  
จากสูงมาต่ำ เมื่อพยัญชนะนาสิกปรากฏร่วมกับสระ /a:/ /u:/ และ /i:/  
ตามลำดับ

ข. เมื่อปรากฏในตำแหน่งในคำต่าง ๆ กัน คำ F3  
จะแปรจากสูงมาต่ำ เมื่อพยัญชนะ นาสิกปรากฏที่ตำแหน่ง ท้ายคำ ระหว่างสระและต้นคำ  
ตามลำดับ

#### 1.5.2 ลักษณะการแปรของระยะเวลาของ /m/ /n/ และ /ŋ/

ลักษณะการแปรของระยะเวลาของพยัญชนะนาสิกทั้ง เมื่อรวม  
ระยะเวลาของระยะ F-Trans แล้ว มีการแปรไปในทิศทางเดียวกัน ดังนี้คือ  
(ดูตารางที่ 39 ประกอบ)

ตารางที่ 39 ค่าระยะเวลาของพยัญชนะนาสิกทั้ง 3 หน่วย

ระยะเวลาของพยัญชนะนาสิก (หน่วย : มิลลิวินาที)																	
ตำแหน่ง สระ รวม	ม			น			ง			ม		น		ง			
	ท้ายคำ	ระหว่าง สระ	ต้นคำ	ท้ายคำ	ระหว่าง สระ	ต้นคำ	ท้ายคำ	ระหว่าง สระ	ต้นคำ	$\bar{X}$	สัดส่วน	$\bar{X}$	สัดส่วน	$\bar{X}$	สัดส่วน		
	i:	277	207	153	u	288	239	161	i	274	221	168	212	40.08	209	32.91	221
a:	261	170	126	i	281	207	139	a	259	192	138	186	35.16	197	31.03	196	34.87
u:	191	90	71	a	264	192	134	u	195	112	80	131	24.76	229	36.06	145	25.80
$\bar{X}$	246	162	120		278	213	145		246	182	135						
สัดส่วน	46.59	30.68	22.72		43.71	33.49	22.80		43.69	32.32	23.97						

ก. เมื่อพยัญชนะ /ม/ และ /น/ ปรากฏร่วมกับสระต่าง ๆ กัน ระยะเวลาจะมีค่าแปรจากสูงมาต่ำ เมื่อปรากฏร่วมกับสระ /i:/ /a:/ และ /u:/ ตามลำดับ แต่ในกรณีของพยัญชนะ /น/ ค่าระยะเวลา จะแปรจากสูงมาต่ำ เมื่อปรากฏร่วมกับสระ /u:/ /i:/ และ /a:/ ตามลำดับ

ข. เมื่อปรากฏในตำแหน่งในคำต่าง ๆ กันในคำทดสอบ ระยะเวลาของพยัญชนะนาสิกทุกฐาน จะมีค่าแปรจากสูงมาต่ำเมื่อพยัญชนะปรากฏท้ายคำ ระหว่างสระ และ ต้นคำ ตามลำดับ

### 1.5.3 ลักษณะการแปรของความเข้มของเสียง

ลักษณะการแปรของค่าความเข้มของเสียงของพยัญชนะนาสิก ทั้ง 3 หน่วย มีทั้งเป็นไปในทิศทางเดียวกัน และ แยกต่างกัน ดังนี้คือ (ดูตารางที่ 40 ประกอบ)

ตารางที่ 40 ค่าความเข้มของเสียงพยัญชนะนาสิกทั้ง 3 หน่วย

		ค่าความเข้มของเสียงพยัญชนะนาสิก										(หน่วย : เดซิเบล)						
		ม			น			ง				ม		น		ง		
ตำแหน่ง สระรวม	ระหว่าง สระ	ท้ายคำ	ต้นคำ	ระหว่าง สระ	ท้ายคำ	ต้นคำ	ระหว่าง สระ	ท้ายคำ	ต้นคำ	ระหว่าง สระ	ท้ายคำ	ต้นคำ	$\bar{X}$	สัดส่วน	$\bar{X}$	สัดส่วน	$\bar{X}$	สัดส่วน
	า:	9.16	7.41	4.91	อ:	10.58	7.50	7.08	า:	11.25	9.00	7.41	7.16	35.91	8.38	36.26	9.22	37.51
ิ:	9.00	7.00	4.83	ิ:	8.75	8.33	5.83	อ:	9.58	7.66	6.83	6.94	34.81	7.63	33.02	8.02	32.27	
ุ:	7.66	6.71	3.16	า:	8.75	6.91	5.66	ิ:	9.25	6.83	6.75	5.84	29.28	7.10	30.72	7.61	30.62	
$\bar{X}$	8.60	7.04	4.30		9.36	7.58	6.91		10.02	7.83	6.99							
สัดส่วน	43.12	35.31	21.57		40.46	32.77	29.87		40.34	31.52	28.14							

ก. เมื่อปรากฏร่วมกับสระต่างกัน ความเข้มของเสียงของพยัญชนะนาสิก ทั้ง 3 ฐาน มีการแปรที่มีรูปแบบต่าง ๆ กัน คือ

ความเข้มของเสียงของ

- /m/ มีค่าแปรจากสูงมาต่ำ เมื่อปรากฏร่วมกับ /a:/ /i:/ /u:/ ตามลำดับ  
 แต่ /n/ มีค่าแปรจากสูงมาต่ำ เมื่อปรากฏร่วมกับ /u:/ /i:/ /a:/ ตามลำดับ  
 /ŋ/ มีค่าแปรสูงมาต่ำ เมื่อปรากฏร่วมกับ /a:/ /u:/ /i:/ ตามลำดับ

ข. เมื่อมีตำแหน่งต่าง ๆ กัน ความเข้มของเสียงของพยัญชนะนาสิก ทั้ง 3 หน่วย มีการแปรไปในทิศทางเดียวกัน คือ มีค่าแปรจากสูงมาต่ำ เมื่อปรากฏในตำแหน่งระหว่างสระ ท้ายคำ และต้นคำ ตามลำดับ

#### 1.6 เปรียบเทียบลักษณะทางกลศาสตร์ของพยัญชนะนาสิกทั้ง 3 หน่วย

ส่วนนี้เป็นการเปรียบเทียบ พยัญชนะนาสิกทั้ง 3 หน่วย เพื่อให้เห็นความแตกต่างของลักษณะทางกลศาสตร์ทั้ง 3 ประการ คือ ค่า F ค่าระยะเวลา และ ค่าความ เข้มของเสียง ของพยัญชนะนาสิกทั้งสามนี้

##### 1.6.1 เปรียบเทียบลักษณะการบิดเบนของ F-Trans

นักกลศาสตร์หลายท่านได้ให้ข้อสรุปว่า พยัญชนะนาสิกต่างฐานกรรม กันนั้นมีค่า F2 แยกต่างกันชัดเจน และการบิดเบนของ F2-Trans ก็เป็นส่วนหนึ่งที่บอกความแตกต่างได้ (Painter 1979: 20, Pickett 1980: 152) แต่จากการศึกษาพยัญชนะนาสิกในงานวิจัยนี้ พบว่า F2 ส่วนใหญ่มีความเข้มนลดลงมาก (damped) ไม่สามารถหาค่า F2 ได้ตั้งกล่าวแล้วในตอนต้น ในที่นี้จึงจะกล่าวเฉพาะการบิดเบนของ F2-Trans ในการเปรียบเทียบ เพื่อให้เห็นความแตกต่างระหว่างพยัญชนะนาสิกแต่ละฐาน ได้ดังนี้

ก. การปิดเบนของ F2-Trans ของพยัญชนะนาสิกเมื่อปรากฏต้นคำ

## ลักษณะการปิดเบน และพิสัยการปิดเบนของ

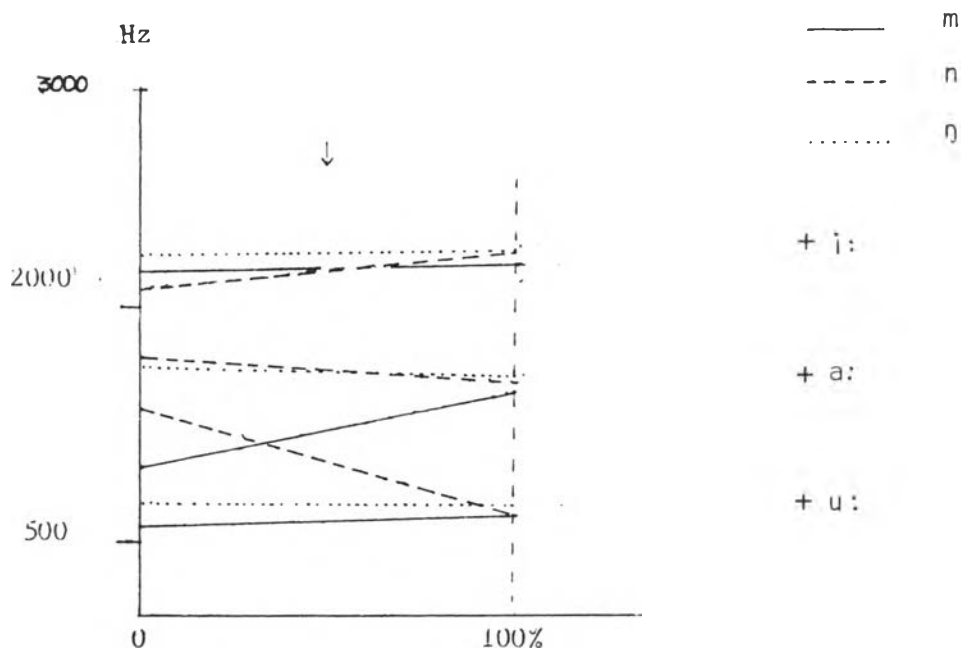
Post-C-F-Trans เป็นต้นี้ (ดูตารางที่ 41 ประกอบ)

ตารางที่ 41 พิสัยการปิดเบนของ F2-Trans ของพยัญชนะนาสิกเมื่อปรากฏต้นคำ

		การปิดเบนของ Post-C-F2-Trans (หน่วย : เฮิรตซ์)								
		ม			น			ญ		
สระรวม	พยัญชนะ	จุดเริ่ม	จุดสุดท้าย	พิสัย	จุดเริ่ม	จุดสุดท้าย	พิสัย	จุดเริ่ม	จุดสุดท้าย	พิสัย
		i :		2246	2275	29	2146	2350	204	2321
a :		962	1467	505	1658	1533	125	1625	1566	59
u :		600	621	21	1383	658	725	721	721	- *
$\bar{x}$				185			351			71
สัดส่วน				30.48			57.82			11.70

ในบริบทของสระ /i:/ พัลัยการปิดเบนของ F2-Trans ของ /n/ กว้างกว่า /ŋ/ และ /m/ ตามลำดับ แต่ในบริบทสระ /a:/ พัลัยการปิดเบนของ F2-Trans ของ /m/ กว้างกว่า /n/ และ /ŋ/ ตามลำดับ และในบริบทสระ /u:/ พัลัยการปิดเบนของ F2-Trans ของ /n/ กว้างกว่า /m/ และ /ŋ/ ตามลำดับ ส่วนทิศทางการปิดเบนของ F2-Trans แสดงได้ดังแผนภูมิที่ 1

แผนภูมิที่ 1 ทิศทางการปิดเบนของ Post-C-F2-Trans ของพยัญชนะนาสิก



ข. การปิดเบนของ F2-Trans ของพยัญชนะนาสิก

เมื่อปรากฏระหว่างสระ

การปิดเบนและพัลัยการปิดเบนของ Pre-C-F2-Trans

Post-C-F2-Trans ของพยัญชนะนาสิกเป็นดังนี้ (ดูตารางที่ 42 ประกอบ)

ตารางที่ 42 ผลของการบิดเบือนของ F2-Trans ของพหิวุฒชนะนาสิก เมื่อปรากฏระหว่างสระ

การบิดเบือนของ Pre-C-F2-Trans (หน่วย : เฮิรตซ์)									
พหิวุฒชนะ สระรวม	ม			น			ง		
	จุดเริ่ม	จุดสุดท้าย	พิสัย	จุดเริ่ม	จุดสุดท้าย	พิสัย	จุดเริ่ม	จุดสุดท้าย	พิสัย
i :	2171	2150	21	2342	2221	121	2312	2312	* -
a :	1371	983	388	1529	1650	121	1475	1542	67
u :	633	571	62	658	1217	559	617	617	* -
$\bar{X}$			157			267			81
สัดส่วน			31.09			52.87			16.04

การบิดเบือนของ Post-C-F2-Trans (หน่วย : เฮิรตซ์)									
พหิวุฒชนะ สระรวม	ม			น			ง		
	จุดเริ่ม	จุดสุดท้าย	พิสัย	จุดเริ่ม	จุดสุดท้าย	พิสัย	จุดเริ่ม	จุดสุดท้าย	พิสัย
i :	2200	2225	25	2346	2404	58	2375	2375	* -
a :	983	1400	417	1658	1550	108	1592	1533	59
u :	571	633	116	1275	658	617	617	617	* -
$\bar{X}$			186			261			59
สัดส่วน			36.76			51.58			11.66

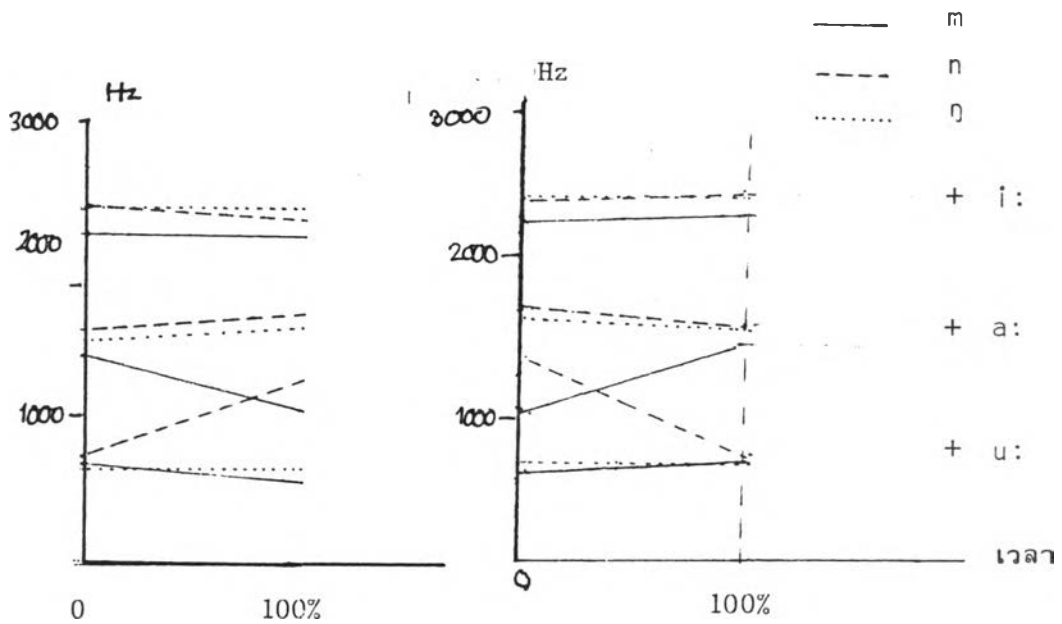
\* ไม่มีการบิดเบือน



ในบริบทของสระ /i:/ และ /u:/ พิสัยการปิดเบนของ F-Trans ของ /n/ กว้างกว่าของ /m/ และ /ŋ/ ตามลำดับ แต่ในบริบทสระ /a:/ พิสัยการปิดเบนของ F2-Trans /m/ กว้างกว่าของ /n/ และ /ŋ/ ตามลำดับ และโดยค่าเฉลี่ยจากบริบทสระแล้ว พิสัยการปิดเบนของ F-Trans ของ /n/ กว้างกว่า /m/ และ /ŋ/ ตามลำดับ

ส่วนทิศทางการปิดเบนของ F2-Trans แสดงได้ดังแผนภูมิที่ 2

แผนภูมิที่ 2 ทิศทางการปิดเบนของ Pre-C-F2-Trans และ Post-C-F2-Trans ของพยัญชนะนาสิก



ค. การบิดเบือนของ F2-Trans ของพหุคูณระนาวลึกเมื่อปรากฏในตำแหน่งท้ายคำ

การบิดเบือนของ Pre-C-F2-Trans เป็นดังนี้

(ดูตารางที่ 43 ประกอบ)

ตารางที่ 43 พิสัยการบิดเบือนของ F2-Trans ของพหุคูณระนาวลึกเมื่อปรากฏท้ายคำ

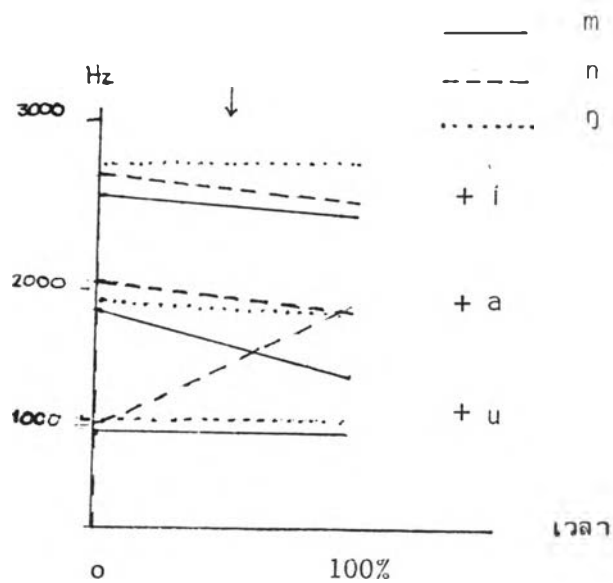
		การบิดเบือนของ Pre-C-F2-Trans (หน่วย : เฮิร์ตซ์)								
		ม			น			ง		
พหุคูณระ สรวร่วม		จุดเริ่ม	จุดสุดท้าย	พิสัย	จุดเริ่ม	จุดสุดท้าย	พิสัย	จุดเริ่ม	จุดสุดท้าย	พิสัย
		i :	2221	2050	171	2312	2100	212	2342	2392
a :	1412	1017	395	1612	1487	125	1475	1421	54	
u :	617	600	17	612	1479	867	658	658	- *	
- X			194			401			52	
สัดส่วน			29.98			61.98			8.04	

\* ไม่มีการบิดเบือน

ในบริบทของสระ /i:/ และ /u:/ พิสัยการปิดเบนของ F-Trans ของ /n/ กว้างกว่า ของ /m/ และ /ŋ/ ตามลำดับ แต่ในบริบทสระ /a:/ พิสัยการปิดเบนของ F-Trans ของ /m/ กว้างกว่าของ /n/ และ /ŋ/ ตามลำดับ

ทิศทางการปิดเบนของ Pre-C-F2-Trans ของพยัญชนะนาสิกทั้งสามหน่วย แสดงได้ดังแผนภูมิที่ 3

แผนภูมิที่ 3 ทิศทางการปิดเบนของ F2-Trans ของพยัญชนะนาสิกเมื่อปรากฏท้ายคำ



จากที่กล่าวมาในส่วนของ การปิดเบนของ F2-Trans ของพยัญชนะนาสิก  
ในตำแหน่งในคำทดสอบทั้งสามตำแหน่งนั้น เห็นได้ว่า

- ก. ในปริบทสระ /i:/ F2-Trans ของ /n/ มีพิสัยการปิดเบนกว้างกว่าพิสัยการปิดเบน F2-Trans ของ /m/ และ /ŋ/
- ข. ในปริบทสระ /a:/ F2-Trans ของ /m/ มีพิสัยการปิดเบนกว้างกว่าพิสัยการปิดเบน F2-Trans ของ /n/ และ /ŋ/
- ค. ในปริบทสระ /u:/ F2-Trans ของ /n/ มีพิสัยการปิดเบนกว้างกว่าพิสัยการปิดเบน F2-Trans ของ /m/ และ /ŋ/

#### 1.6.2 เปรียบเทียบระยะเวลาของพยัญชนะนาสิกทั้ง 3 หน่วย

ในส่วนนี้จะเป็นการเปรียบเทียบระยะเวลาของพยัญชนะนาสิกทั้ง 3 หน่วย โดยจะเรียงจากเมื่อปรากฏร่วมกับสระ /i:/ /a:/ และ /u:/ ตามลำดับ

##### 1.6.2.1 เปรียบเทียบระยะเวลาของพยัญชนะนาสิก

เมื่อปรากฏร่วมกับสระ /i:/

จากการศึกษา พบว่าระยะเวลาของพยัญชนะนาสิก

เมื่อปรากฏร่วมกับสระ /i:/ เป็นดังนี้ (ดูตารางที่ 44 ประกอบ)

ตารางที่ 44 เปรียบเทียบค่าระยะเวลาของพยัญชนะนาสิกเมื่อปรากฏร่วมกับสระ /i:/

ระยะเวลาของพยัญชนะนาสิกเมื่อปรากฏร่วมกับสระ /i:/ (หน่วย : มิลลิวินาที)														
ตำแหน่ง พยัญชนะ	ท้ายคำ			ระหว่างสระ				ต้นคำ			รวม F-Trans		ระยะคงที่	
	ระยะ คงที่	ระยะ F-Trans	รวม	ระยะ คงที่	ระยะF-Trans		รวม	ระยะ คงที่	ระยะ F-Trans		$\bar{X}$	สัดส่วน	$\bar{X}$	สัดส่วน
					Pre-C	Post-C								
m	226	51	277	104	48	55	207	81	72	153	212	33.03	137	35.40
n	210	71	281	78	63	66	207	61	72	139	209	32.55	116	29.97
ŋ	212	62	274	105	48	68	221	85	83	168	221	34.42	134	34.63

ก. ระยะเวลาของระยะคงที่ของ /m/ มีค่าใกล้เคียง  
กับ /n/ แต่สูงกว่า /n/

ข. ระยะเวลาของระยะคงที่รวมกับระยะ F-Trans  
ของ /n/ มีค่าใกล้เคียงกับ /m/ แต่สูงกว่า /n/

#### 1.6.2.2 เปรียบเทียบระยะเวลาของ

พยัญชนะนาสิกทั้ง 3 หน่วย เมื่อปรากฏร่วมกับสระ /a:/

จากการศึกษา พบว่า ระยะเวลา

ของพยัญชนะนาสิกพบว่า เป็นดังนี้ (ดูตารางที่ 45 ประกอบ)

ตารางที่ 45 เปรียบเทียบค่าระยะเวลาของพยัญชนะนาสิก เมื่อปรากฏร่วมกับสระ /a:/

ระยะเวลาของพยัญชนะนาสิกเมื่อปรากฏร่วมกับสระ /a:/ (หน่วย : มิลลิวินาที)														
ตำแหน่ง พยัญชนะ	ท้ายคำ			ระหว่างสระ				ต้นคำ						
	ระยะ คงที่	ระยะ F-Trans	รวม	ระยะ คงที่	ระยะF-Trans		รวม	ระยะ คงที่	ระยะ F-Trans	รวม	รวม F-Trans		ระยะคงที่	
					Pre-C	Post-C					$\bar{X}$	สัดส่วน	$\bar{X}$	สัดส่วน
m	216	45	261	84	40	46	170	62	64	126	186	32.12	121	31.27
n	222	42	264	102	44	46	192	81	53	134	197	34.02	135	34.88
ŋ	213	46	259	95	46	51	192	84	54	138	196	33.85	131	33.85

ก. ระยะเวลาของระยะคงที่ของ /n/ มีค่าใกล้เคียงกับ /ŋ/ แต่ระยะเวลาของทั้งสองหน่วยสูงกว่า ระยะเวลาของ /m/

ข. ระยะเวลาของระยะคงที่รวมกับระยะ F-Trans ของ /n/ มีค่าใกล้เคียงกับ /ŋ/ แต่สูงกว่า ระยะเวลาของ /m/

#### 1.6.2.3 เปรียบเทียบระยะเวลาของ

พยัญชนะนาสิกทั้ง 3 หน่วยเมื่อปรากฏกับสระ /u:/

จากการศึกษา พบว่า ระยะเวลาของ พยัญชนะทั้ง 3 หน่วย เป็นดังนี้ (ดูตารางที่ 46 ประกอบ)



ตารางที่ 46 เปรียบเทียบค่าระยะเวลาของพัยุชณะนาสิก เมื่อปรากฏร่วมกับสระ /u:/

ระยะเวลาของพัยุชณะนาสิก เมื่อปรากฏร่วมกับสระ /u:/ (หน่วย : มิลลิวินาที)														
ตำแหน่ง พัยุชณะ	ท้ายคำ			ระหว่างสระ				ต้นคำ			รวม F-Trans		ระยะคงที่	
	ระยะ คงที่	ระยะ F-Trans	รวม	ระยะ คงที่	ระยะ F-Trans		รวม	ระยะ คงที่	ระยะ F-Trans	รวม	$\bar{X}$	สัดส่วน	$\bar{X}$	สัดส่วน
					Pre-C	Post-C								
m	91	10	201	90	10	10	110	71	10	81	131	26.68	117	31.03
n	210	78	288	98	66	75	239	80	81	161	229	46.64	129	34.22
* ŋ	195	-	195	112	-	-	112	86	-	86	131	26.68	131	34.75

\* /ŋ/ ที่ปรากฏร่วมกับสระ /u:/ จะไม่ปรากฏระยะ F-Trans

ก. ระยะเวลาของระยะเวลาคงที่ของ /ŋ/ มีค่าสูงกว่า /n/ และ /m/ ตามลำดับ

ข. ระยะเวลาของระยะคงที่รวมกับระยะ F-Trans ของ /n/ มีค่าสูงกว่า ระยะเวลาของ /m/ และ /ŋ/ ซึ่งมีค่าเท่ากัน

### 1.6.3 เปรียบเทียบความเข้มของเสียงของพยัญชนะนาสิกทั้ง 3 หน่วย

ในส่วนนี้จะเป็นการ เปรียบเทียบความเข้มของเสียงของ พยัญชนะนาสิกทั้ง 3 หน่วย โดยจะเรียงลำดับจาก เมื่อพยัญชนะนาสิกปรากฏร่วมกับสระ /i:/ /a:/ และ /u:/ ตามลำดับ

#### 1.6.3.1 เปรียบเทียบความเข้มของเสียงพยัญชนะนาสิก

##### เมื่อปรากฏร่วมกับสระ /i:/

จากการศึกษาพบว่าค่าความเข้มของเสียงของ พยัญชนะนาสิกทั้ง 3 ฐานกรณ์เมื่อปรากฏร่วมกับสระ /i:/ ในแต่ละตำแหน่งในคำทดสอบ มีค่าแตกต่างกันโดยไม่มีรูปแบบ แต่จากค่าเฉลี่ยของความเข้มเสียงของแต่ละหน่วยใน ทุกตำแหน่งรวมกัน พบว่า ความเข้มของเสียงของ /ŋ/ มีค่าใกล้เคียงกับ /n/ แต่สูงกว่า /m/ (ดูตารางที่ 47 ประกอบ)

ตารางที่ 47 เปรียบเทียบค่าความเข้มของเสียงพยัญชนะนาสิก เมื่อปรากฏร่วมกับสระ /i:/

		ความเข้มของเสียงพยัญชนะนาสิก เมื่อปรากฏร่วมกับสระ /i:/			
ตำแหน่ง พยัญชนะ	ระหว่างสระ	ท้ายคำ	ต้นคำ	$\bar{X}$	สัดส่วน
n	8.75	8.33	5.83	7.63	34.40
ŋ	9.25	6.83	6.75	7.61	34.34
m	9.00	7.00	4.83	6.94	31.29

1.6.3.2 เปรียบเทียบความเข้มของเสียง

พยัญชนะนาสิกเมื่อปรากฏร่วมกับสระ /a:/

ความเข้มของเสียงพยัญชนะนาสิก

ในบริบท สระ /a:/ ในแต่ละตำแหน่งในคำทดสอบ มีค่าแตกต่างกันโดยไม่มีรูปแบบ  
แต่จากค่าเฉลี่ยในทุกตำแหน่งรวมกัน พบว่าความเข้มของเสียงของ /ŋ/ มีค่าสูงกว่า  
/n/ และ /m/ ตามลำดับ (ดูตารางที่ 48 ประกอบ)

ตารางที่ 48 เปรียบเทียบค่าความเข้มของเสียงพยัญชนะนาสิกเมื่อปรากฏร่วมกับสระ /a:/

ความเข้มของเสียงพยัญชนะนาสิก เมื่อปรากฏร่วมกับสระ /a:/					
ตำแหน่ง พยัญชนะ	ระหว่างสระ	ท้ายคำ	ต้นคำ	$\bar{X}$	สัดส่วน
ŋ	11.25	9.00	7.41	9.22	39.15
n	8.95	6.91	5.66	7.17	30.45
m	9.16	7.41	4.91	7.16	30.40

1.6.3.3 เปรียบเทียบความเข้มของเสียงพยัญชนะนาสิกเมื่อปรากฏร่วมกับสระ /u:/

ความเข้มของเสียงพยัญชนะนาสิก แต่ละหน่วยใน  
 ปรีทสระ /u:/ มีค่าแตกต่างกันโดยไม่มีรูปแบบ แต่จากค่าเฉลี่ย ในทุกตำแหน่งรวมกัน  
 พบว่า ความเข้มของเสียงของ /n/ มีค่าสูงกว่า /ŋ/ และ /m/ ตามลำดับ (ดูตารางที่  
 49 ประกอบ)

ตารางที่ 49 เปรียบเทียบค่าความเข้มของเสียงพยัญชนะนาสิก เมื่อปรากฏร่วมกับสระ /u:/

ความเข้มของเสียงพยัญชนะนาสิก เมื่อปรากฏร่วมกับสระ /u:/					
ตำแหน่ง พยัญชนะ	ระหว่างสระ	ท้ายคำ	ต้นคำ	$\bar{X}$	สัดส่วน
n	10.58	7.50	7.08	8.39	37.71
ŋ	9.58	7.66	6.83	8.02	36.04
m	7.66	6.91	3.16	5.84	26.25

## 2 ลักษณะทางกลศาสตร์ของพยัญชนะเปิด

พยัญชนะเปิดในภาษาไทยมี 2 หน่วย คือ /w/ กับ /j/ ลักษณะทางกลศาสตร์ของพยัญชนะเปิดทั้งสองหน่วย มีรายละเอียดดังต่อไปนี้

### 2.1 ลักษณะทั่วไปของพยัญชนะเปิด

#### 2.1.1 ลักษณะของค่า F ของ /w/ และ /j/

ในแผนภาพคลื่นเสียงของ /w/ และ /j/ สัญญาณของ F1 F2 F3 และ F4 ส่วนใหญ่ปรากฏชัดเจน เว้นแต่เมื่อพยัญชนะทั้งสองปรากฏคืนทำทดสอบความถี่กำหนดปรากฏชัดเจนเพียง F1 และ F2 เท่านั้น (ดูภาพคลื่นเสียงของพยัญชนะเปิดในภาคผนวกหน้า 265- 295 ) จากการศึกษาพบว่าเมื่อพยัญชนะทั้งสองปรากฏในบริบททางเสียงต่าง ๆ นั้น ค่า F1 ของพยัญชนะทั้งสองหน่วยมีค่าอยู่ระหว่าง 300 ถึง 350 เฮิรตซ์ ส่วน F2 มีค่าแปรแตกต่างกัน และ F2 นี้ยังมีการบิดเบนอย่างชัดเจน ซึ่งลักษณะต่าง ๆ นี้จะได้กล่าวถึงโดยละเอียดต่อไป

#### 2.1.2 ระยะเวลาของพยัญชนะเปิด

จากการศึกษา พบว่าค่าของระยะเวลาของพยัญชนะเปิดทั้งสองหน่วยมีการแปรไป เมื่อพยัญชนะเหล่านี้ปรากฏร่วมกับสระต่าง ๆ และปรากฏในตำแหน่งในสระต่าง ๆ กัน ดังจะได้กล่าวถึงโดยละเอียดต่อไป

#### 2.1.3 ความเข้มของเสียงของพยัญชนะเปิด

จากการศึกษา พบว่า ความเข้มของเสียงพยัญชนะเปิดแต่ละหน่วย มีการแปรไปเมื่อพยัญชนะเหล่านี้ปรากฏในบริบททางเสียงต่าง ๆ ซึ่งจะได้กล่าวถึงโดยละเอียดต่อไป

## 2.2 ลักษณะทางกลศาสตร์ของ /w/

### 2.2.1 ลักษณะของค่า F ของ /w/

จากการศึกษาค่า F ต่าง ๆ ของ /w/ เมื่อปรากฏในบริบททางเสียงต่าง ๆ พบว่าค่า F2 ของ /w/ มีทั้งการแปร และการบิดเบนของค่า F2 นั้นด้วย ดังนี้ (ดูตารางที่ 50 ประกอบ)

ตารางที่ 50 ค่า F2 และพิสัยการบิดเบนของ F2 ของ /w/ เมื่อปรากฏในบริบททางเสียงต่าง ๆ

ค่า F2 และพิสัยการบิดเบนของ F2 ของ /w/ (หน่วย : เฮิรตซ์)													
ตำแหน่ง สระรวม	ต้นคำ			ระหว่างสระ**			ท้ายคำ			ระยะคงที่		พิสัย	
	ระยะ คงที่	จุดสุดท้าย	พิสัย	ระยะ คงที่	จุดสุดท้าย	พิสัย	ระยะ คงที่	จุดสุดท้าย	พิสัย	$\bar{X}$	สัดส่วน	$\bar{X}$	สัดส่วน
l:	550	1771	1221	1179	2125	946	550	2117	1567	760	42.10	1244	74.93
a:	550	1004	454	550	786	274	512	1033	521	537	29.75	416	25.07
u:	504	-	-*	512	-	-	-	-	-*	508	28.15	-	-
$\bar{X}$	535		838	747		610	531	-	1044				
สัดส่วน	29.51		33.63	41.20		24.47	29.29		41.90				

\* ไม่มีการบิดเบน

ก. เมื่อ /w/ ปรากฏร่วมกับสระต่าง ๆ กัน พบว่าค่า F2 และพิสัยของการปิดเบน มีค่า แปรจากสูงมาต่ำ เมื่อปรากฏร่วมกับสระ /i:/ /a:/ และ /u:/ ตามลำดับ ทั้งนี้ /w/ ที่ปรากฏร่วมกับสระ /u:/ นั้น F2 ไม่มีการปิดเบน

ข. เมื่อ /w/ ปรากฏในตำแหน่งต่าง ๆ กันในคำทดสอบ พบว่าค่า F2 ของ /w/ ที่ปรากฏตรงกลางระหว่างสระ มีค่าสูงกว่า F2 ของ /w/ ในตำแหน่งอื่น ๆ แต่มีพิสัยของการปิดเบนของ F2 ต่ำกว่า /w/ ในตำแหน่งอื่น ๆ ด้วย

#### 2.2.2 ระยะเวลาของ /w/

จากการศึกษาค่าของระยะเวลาของ /w/ เมื่อปรากฏในบริบททางเสียงต่าง ๆ พบว่า มีการแปรดังนี้ (ดูตารางที่ 51 ประกอบ)

ตารางที่ 51 ค่าระยะเวลาของ /w/ เมื่อปรากฏในบริบททางเสียงต่าง ๆ

ตำแหน่ง สระร่วม		ค่าระยะเวลาของ /w/ (หน่วย : มิลลิวินาที)															
		ท้ายคำ			ระหว่างสระ						ต้นคำ			ระยะเวลาที่		รวม F-Trans	
		ระยะ คงที่	ระยะ F-Trans	รวม	ระยะ คงที่	ระยะ F-Trans		รวม	ระยะ คงที่	ระยะ F-Trans	รวม	$\bar{x}$	สัดส่วน	$\bar{x}$	สัดส่วน		
						Pre-C	Post-C										
ㅣ:	180	94	274	133	64	64	261	115	75	190	143	38.75	242	44.40			
า:	184	65	249	128	55	55	238	110	57	167	141	38.21	218	40.00			
ู:	-	-	-*	89	-	-**	89	80	-**	80	85	23.04	85	15.60			
$\bar{x}$	182		262	117			196	102		146							
สัดส่วน	45.39		43.38	29.18			32.45	25.43		24.17							

\* /w/ ไม่ปรากฏท้ายคำร่วมกับสระ /ู:/

\*\* ไม่ปรากฏระยะ F-Trans



ก. เมื่อ /w/ ปรากฏร่วมกับสระต่าง ๆ กัน พบว่า  
 ในปริบทสระ /i:/ และในปริบทสระ /a:/ ระยะคงที่ของ /w/ มีค่าระยะเวลา  
 ใกล้เคียงกัน และมีค่าสูงกว่า /w/ ที่ปรากฏในปริบทสระ /u:/ คือมีระยะเวลา  
 เป็นสัดส่วนกันดังนี้ 38.75 : 38.21 : 24.04 และเมื่อรวมระยะเวลาของระยะ  
 F-Trans เข้าด้วยกันแล้ว พบว่า ค่าของระยะเวลา แปรจากสูงมาต่ำ เมื่อ /w/  
 ปรากฏร่วมกับสระ /i:/ /a:/ และ /u:/ ตามลำดับ

ข. เมื่อปรากฏ /w/ ในตำแหน่งต่าง ๆ ในคำทดสอบ  
 พบว่าระยะเวลาของ /w/ ทั้งที่รวมและไม่รวม ระยะ F-Trans มีค่าแปรจากสูง  
 มาต่ำ เมื่อปรากฏในตำแหน่ง ท้ายคำ ระหว่างสระ และต้นคำ ตามลำดับ

2.2.3 ความเข้มของเสียงของ /w/

จากการศึกษา พบว่า ค่าความเข้มของเสียงของ /w/  
 เมื่อปรากฏในปริบททางเสียงต่าง ๆ มีการแปรดังนี้ (ดูตารางที่ 52 ประกอบ)

ตารางที่ 52 ค่าความเข้มของเสียงของ /w/ เมื่อปรากฏในปริบททางเสียงต่าง ๆ

ความเข้มของเสียง/w / (หน่วย : เดซิเบล)					
ตำแหน่ง สระร่วม	ท้ายคำ	ระหว่างสระ	ต้นคำ	$\bar{x}$	สัดส่วน
a :	9.75	8.99	6.83	8.52	43.18
i :	8.00	6.66	5.83	6.83	34.62
u :	-	6.00	2.75	4.83	22.20
$\bar{x}$	8.88	7.22	5.14		
สัดส่วน	41.81	33.99	24.20		



ก. เมื่อ /w/ ปรากฏร่วมกับสระต่าง ๆ กัน พบว่า ความเข้มของเสียงของ /w/ มีค่าแปรจากสูงมาต่ำ เมื่อปรากฏร่วมกับสระ /a:/ /i:/ และ /u:/ ตามลำดับ

ข. เมื่อ /w/ ปรากฏในตำแหน่งต่าง ๆ กัน พบว่า ค่าความเข้มของเสียง แปรจากสูงมาต่ำ เมื่อ /w/ ปรากฏในตำแหน่งท้ายคำ ระหว่างสระ และต้นคำ ตามลำดับ

### 2.3 ลักษณะทางกลศาสตร์ของ /j/

#### 2.3.1 ลักษณะของค่า F ของ /j/

จากการศึกษาค่า F ต่าง ๆ ของ /j/ เมื่อปรากฏใน ปริบททางเสียงต่าง ๆ พบว่า ค่า F<sub>2</sub> ของ /j/ มีทั้งการแปร และการมิดเบน ของ ค่า F<sub>2</sub> นั้นด้วย ดังนี้ (ดูตารางที่ 53 ประกอบ)

ตารางที่ 53 ค่า F2 และพิสัยการปิดเบนของ F2 ของ /j/ เมื่อปรากฏในบริบททางเสียงต่าง ๆ

ค่า F2 และพิสัยการปิดเบนของ F2 ของ /j/ / (หน่วย : เฮิรตซ์)													
ตำแหน่ง สระรวม	ต้นคำ			ระหว่างสระ			ท้ายคำ			ระยะคงที่		พิสัย	
	ระยะ คงที่	จุดสุดท้าย	พิสัย	ระยะ คงที่	จุดสุดท้าย	พิสัย	ระยะ คงที่	จุดสุดท้าย	พิสัย	$\bar{X}$	สัดส่วน	$\bar{X}$	สัดส่วน
i:	2296	2296	-*	2300	2300	-	-	-	**	2298	35.26	-	-*
a:	2146	1854	292	2133	1921	319	2246	2042	204	2175	33.37	272	33.49
u:	2016	1512	504	2016	1500	516	2100	1500	600	2044	31.36	540	66.50
$\bar{X}$	2153		398	2150		418	2173		804				
สัดส่วน	33.24		24.56	33.19		25.80	33.55		49.62				

\* ในบริบทของสระ /i:/F2 ของ /j/ / ไม่มีการปิดเบน

\*\* /j/ ไม่ปรากฏในบริบทนี้

ก. เมื่อ /j/ ปรากฏร่วมกับสระต่าง ๆ กัน พบว่า ค่า F2 แปรจากสูงมาต่ำ และพิสัยการบิดเบนแคบมากกว้าง เมื่อ /w/ ปรากฏร่วมกับสระ /i:/ /a:/ และ /u:/ ตามลำดับ

ข. เมื่อ /j/ ปรากฏในตำแหน่งต่าง ๆ ในคำทดสอบ พบว่า F2 โดยเฉลี่ย มีค่าใกล้เคียงกัน คือเป็นสัดส่วนเท่ากับ 33.24 : 33.19 : 33.55 ส่วนพิสัยการบิดเบนของ F2 มีพิสัยแคบมากกว้าง เมื่อ /j/ ปรากฏในตำแหน่ง ต้นคำ ระหว่างสระ และ ท้ายคำ ตามลำดับ

### 2.3.2 ระยะเวลาของ /j/

จากการศึกษาค่าระยะเวลาของ /j/ เมื่อปรากฏ  
ในบริบททางเสียงต่าง ๆ พบว่ามีการแปรดังนี้ (ดูตารางที่ 54 ประกอบ)

ตารางที่ 54 ค่าระยะเวลาของ /j/ เมื่อปรากฏในบริบททางเสียงต่าง ๆ

ตำแหน่ง สระรวม		ระยะเวลาของ /j/ (หน่วย : มิลลิวินาที)													
		ท้ายคำ			ระหว่างสระ					ต้นคำ			ระยะคงที่		รวม F-Trans
	ระยะ คงที่	ระยะ F-Trans	รวม	ระยะ คงที่	ระยะ F-Trans		รวม	ระยะ คงที่	ระยะ F-Trans	รวม	$\bar{X}$	สัดส่วน	$\bar{X}$	สัดส่วน	
					Pre-C	Post-C									
u:	202	99	301	139	72	72	283'	116	85	201	152	38.29	262	43.96	
a:	208	72	280	140	65	65	270	115	65	180	154	38.79	243	40.77	
i:	-	-	*	101	-	-	101	81	-	81	91	22.92	91	15.27	
$\bar{X}$	205		291	127			218	104		154					
สัดส่วน	47.02		43.90	29.13			32.88	23.85		23.22					

\*ไม่ปรากฏในบริบทนี้

ก. เมื่อ /j/ ปรากฏร่วมกับสระต่าง ๆ กัน พบว่า ระยะเวลาของ /j/ ที่ปรากฏร่วมกับสระ /i:/ มีค่าระยะเวลาต่ำกว่า /j/ ที่ปรากฏร่วมกับสระ /a:/ และ /u:/ ซึ่งในคู่หลังนี้ ระยะเวลาที่มีค่าใกล้เคียงกัน คือเป็นสัดส่วน 38.79 : 38.29 แต่เมื่อรวมระยะเวลาของ F-Trans เข้าด้วยกันแล้ว พบว่า ค่าของระยะเวลารวม แปรจากสูงมาต่ำ เมื่อ /j/ ปรากฏร่วมกับสระ /u:/ /a:/ และ /i:/ ตามลำดับ

ข. เมื่อ /j/ ปรากฏในตำแหน่งต่าง ๆ กันในคำทดสอบ พบว่าค่าระยะเวลาของ /j/ ทั้งที่รวม และไม่รวม F-Trans แปรจากสูงมาต่ำ เมื่อ /j/ ปรากฏในตำแหน่งท้ายคำ ระหว่างสระ และ ต้นคำ ตามลำดับ

### 2.3.3 ความเข้มของเสียงของ /j/

จากการศึกษาพบว่า ค่าความเข้มของเสียงของ /j/ เมื่อปรากฏในบริบททางเสียงต่าง ๆ มีการแปรดังนี้ คือ (ดูตารางที่ 55 ประกอบ)

ตารางที่ 55 ค่าความเข้มของเสียงของ /j/ เมื่อปรากฏในบริบททางเสียงต่าง ๆ

ค่าความเข้มของเสียง/j/ (หน่วย : เดซิเบล)					
ตำแหน่ง	ท้ายคำ	ระหว่างสระ	ต้นคำ	$\bar{X}$	สัดส่วน
สระรวม					
a:	9.58	8.37	5.62	7.91	40.88
u:	9.00	6.91	5.08	6.99	36.12
i:	- *	4.83	4.08	4.45	23.00
$\bar{X}$	9.37	6.70	4.92		
สัดส่วน	44.64	31.92	23.44		

\* /j / ไม่ปรากฏในบริบทนี้

ก. เมื่อ /j/ ปรากฏร่วมกับสระต่าง ๆ กัน พบว่า  
ค่าความเข้มของเสียงของ /j/ แปรจากสูงมาต่ำ เมื่อปรากฏร่วมกับสระ /a:/  
/u:/ และ /i:/ ตามลำดับ

ข. เมื่อ /j/ ปรากฏในตำแหน่งต่าง ๆ กันในคำทดสอบ  
พบว่า ค่าความเข้มของเสียงของ /j/ แปรจากสูงมาต่ำ เมื่อปรากฏในตำแหน่ง  
ท้ายคำ ระหว่างสระ และ ต้นคำ ตามลำดับ

#### 2.4 เปรียบเทียบลักษณะการแปรของค่า ทางกลศาสตร์ของพยัญชนะเปิด ทั้ง 2 หน่วย

ในส่วนนี้เป็นการนำเอา ลักษณะการแปรของค่าของลักษณะทางกลศาสตร์  
ของ /w/ และ /j/ ซึ่งได้กล่าวถึงใน 2.2 และ 2.3 นำมาเปรียบเทียบ  
เพื่อให้เห็นความเหมือนและความต่างดังต่อไปนี้

##### 2.4.1 ลักษณะการแปรของ F2 ของ /w/ และ /j/

ลักษณะการแปรเป็นดังนี้ คือ (ดูตารางที่ 56 ประกอบ)

ตารางที่ 56 ค่า F2 ของ /w/ และ /j/ เมื่อปรากฏในบริบททางเสียงต่าง ๆ

		ค่า F2 ของ /w/ และ /j/ (หน่วย : เฮิรตซ์)									
พยางค์ สระรวม	w				j			w		j	
	ระหว่าง สระ	ท้ายคำ	ต้นคำ		ท้ายคำ	ระหว่าง สระ	ต้นคำ	$\bar{X}$	สัดส่วน	$\bar{X}$	สัดส่วน
i:	1179	550	550	i	- *	2300	2296	760	42.10	2298	35.26
a:	550	512	550	a	2246	2133	2146	537	29.75	2175	33.77
u:	512	- *	504	u	2100	2016	2016	508	28.15	2044	31.36
$\bar{X}$	747	531	535		2173	2150	2153				
สัดส่วน	41.20	29.29	29.51		33.55	33.19	33.24				

\* ไม่ปรากฏในบริบทนี้



ก. เมื่อ ปรากฏร่วมกับสระต่าง ๆ ค่า F2 ของทั้ง /w/ และ /j/ มีลักษณะการแปรไปในทิศทางเดียวกัน คือ มีการแปรจากสูงมาต่ำ เมื่อ ปรากฏร่วมกับสระ /i:/ /a:/ และ /u:/ ตามลำดับ

ข. เมื่อปรากฏในตำแหน่งต่าง ๆ พบว่า ค่า F2 ของ /w/ และ /j/ มีลักษณะการแปรแตกต่างกันคือ F2 ของ /w/ ที่ปรากฏตรงกลางระหว่างสระ มีค่าสูงกว่า F2 ของ /w/ ที่ปรากฏท้ายคำ และต้นคำ ซึ่งในสองตำแหน่งหลังนี้มีค่าใกล้เคียงกันมากคือมีสัดส่วนเท่ากับ 41.20 : 29.29 : 29.51 ส่วนค่า F2 ของ /j/ ในทุกตำแหน่งมีค่าใกล้เคียงกันคือมีสัดส่วนเท่ากับ 33.55 : 33.19 : 33.24

#### 2.4.2 ลักษณะการแปรของระยะเวลาของ /w/ และ /j/

ระยะเวลาของ /w/ และ /j/ มีลักษณะการแปร ดังนี้

(ดูตารางที่ 57 ประกอบ)

ตารางที่ 57 ค่าระยะเวลาของ /w/ และ /j/

ด้านพยางค์ สระรวม		ค่าระยะเวลาของ / w / (หน่วย : มิลลิวินาที)														
		ท้ายคำ			ระหว่างสระ					ต้นคำ			ระยะคงที่		รวม F-Trans	
		ระยะ คงที่	ระยะ F-Trans	รวม	ระยะ คงที่	ระยะ F-Trans		รวม	ระยะ คงที่	ระยะ F-Trans	รวม	$\bar{x}$	สัดส่วน	$\bar{x}$	สัดส่วน	
				Pre-C	Post-C											
	ว :	180	94	274	133	64	64	261	115	75	190	143	38.75	242	44.40	
	อ :	184	65	249	128	55	55	238	110	57	167	141	38.21	218	40.00	
	อ :	-	-	* 26	89	-	** -	89	80	** -	80	85	23.04	85	15.60	
	$\bar{x}$	182		262	117			196	102		146					
	สัดส่วน	45.39		43.38	29.18			32.45	25.43		24.17					

ด้านพยางค์ สระรวม		ระยะเวลาของ / j / (หน่วย : มิลลิวินาที)														
		ท้ายคำ			ระหว่างสระ					ต้นคำ			ระยะคงที่		รวม F-Trans	
		ระยะ คงที่	ระยะ F-Trans	รวม	ระยะ คงที่	ระยะ F-Trans		รวม	ระยะ คงที่	ระยะ F-Trans	รวม	$\bar{x}$	สัดส่วน	$\bar{x}$	สัดส่วน	
				Pre-C	Post-C											
	อ :	202	99	301	139	72	72	283	116	85	201	152	38.29	262	43.96	
	อ :	208	72	280	140	65	65	270	115	65	180	154	38.79	243	40.77	
	ว :	-	-	* 26	101	-	-	101	81	-	81	91	22.92	91	15.27	
	$\bar{x}$	205		291	127			218	104		154					
	สัดส่วน	47.02		43.90	29.13			32.88	23.85		23.22					

ก. เมื่อปรากฏร่วมกับสระต่าง ๆ พบว่า ระยะเวลาของ /w/ และ /j/ มีลักษณะการแปรไม่เหมือนกัน คือ ระยะเวลาของ /w/ มีค่าแปรจากสูงมาต่ำ เมื่อปรากฏร่วมกับสระ /i:/ /a:/ และ /u:/ แต่ระยะเวลาของ /j/ มีค่าแปรจากสูงมาต่ำ เมื่อปรากฏร่วมกับสระ /u:/ /a:/ และ /i:/ ตามลำดับ

ข. เมื่อปรากฏในตำแหน่งต่าง ๆ ในคำทดสอบ พบว่าค่าของระยะเวลาของทั้ง /w/ และ /j/ มีลักษณะการแปรคล้ายคลึงกันคือ แปรจากสูงมาต่ำ เมื่อพยัญชนะทั้งสองปรากฏท้ายคำระหว่างสระ และต้นคำ ตามลำดับ

#### 2.4.3 ลักษณะการแปรของความเข้มของเสียงของ /w/ และ /j/

ลักษณะการแปร เป็นดังนี้คือ (ดูตารางที่ 58 ประกอบ)

ตารางที่ 58 ค่าความเข้มของเสียง /w/ และ /j/ เมื่อปรากฏในบริบททางเสียงต่าง ๆ

พยัญชนะ สระรวม		ค่าความเข้มของเสียง /w/ และ /j/ (หน่วย เดซิเบล)										
		w			j			w		j		
		ท้ายคำ	ระหว่าง สระ	ต้นคำ				̄	สัดส่วน	̄	สัดส่วน	
		ท้ายคำ	ระหว่าง สระ	ต้นคำ	ท้ายคำ	ระหว่าง สระ	ต้นคำ	̄	สัดส่วน	̄	สัดส่วน	
a:		9.75	8.99	6.83	a:	9.58	8.37	5.62	8.52	43.18	7.91	40.88
i:		8.00	6.66	5.83	u:	9.00	6.71	5.08	6.83	34.62	6.99	36.12
u:		*	6.00	2.75	i:	*	4.83	4.08	4.38	22.20	4.45	23.00
̄		8.88	7.22	5.14		9.37	6.70	4.92				
สัดส่วน		41.81	33.99	24.20		44.64	31.92	23.44				

\* ไม่ปรากฏในบริบทนี้

ก. เมื่อปรากฏร่วมกับสระต่าง ๆ พบว่า ค่าความเข้มของเสียงของพยัญชนะทั้งสองหน่วย มีลักษณะการแปรแตกต่างกันคือ ความเข้มของเสียงของ /w/ มีค่าแปรจากสูงมาต่ำ เมื่อ /w/ ปรากฏร่วมกับสระ /a:/ /i:/ และ /u:/ ตามลำดับ ส่วนความเข้มของเสียงของ /j/ มีค่าแปรจากสูงมาต่ำ เมื่อปรากฏ /j/ ร่วมกับสระ /a:/ /u:/ และ /i:/ ตามลำดับ

ข. เมื่อปรากฏในตำแหน่งต่าง ๆ ในคำทดสอบ พบว่า ค่าความเข้มของเสียงของ /w/ และ /j/ แปรไปในทิศทางเดียวกัน คือ มีค่าแปรจากสูงมาต่ำ เมื่อพยัญชนะทั้งสองหน่วยปรากฏในตำแหน่ง ท้ายคำ ระหว่างสระ และต้นคำ ตามลำดับ

## 2.5 เปรียบเทียบลักษณะทางกลศาสตร์ของพยัญชนะเปิดทั้ง 2 หน่วย

ในส่วนนี้เป็นการนำเอาค่าของลักษณะทางกลศาสตร์ของ /w/ กับ /j/ ซึ่งได้กล่าวถึงโดยละเอียดแล้วใน 2.2 และ 2.3 มาเปรียบเทียบ เพื่อให้เห็นความเหมือนและความต่าง ดังต่อไปนี้

### 2.5.1 เปรียบเทียบค่า F2 ของ /w/ กับ /j/

ของพยัญชนะทั้งสอง เมื่อปรากฏในบริบททางเสียงเหมือนกัน พบว่า มีค่าแตกต่างกัน ดังนี้คือ (ดูตารางที่ 59 ประกอบ)

ตารางที่ 59 เปรียบเทียบค่า F2 ของ /w/ และ /j/

ค่า F2 ของ /w/ และ /j/ (หน่วย : เฮิรตซ์)						
พยัญชนะ สระรวม	ต้นคำ		ระหว่างสระ		ท้ายคำ	
	w	j	w	j	w	j
i:	550	2296	1179	2300	550	- *
a:	550	2145	550	2130	512	2246
u:	504	2016	512	2016	- *	2100
$\bar{x}$	535	2153	747	2149	531	2173
สัดส่วน	19.90	80.10	25.79	74.21	19.64	80.36

ค่า F2 ของ /j/ มีค่าสูงกว่าค่า F2 ของ /w/ ในทุกบริบททางเสียง

\* /w/ และ /j/ ไม่ปรากฏในบริบทนี้

2.5.2 เปรียบเทียบพิสัยการปิดเบนของ F2-Trans ของ

/w/ กับ /j/

ก. เปรียบเทียบพิสัยการปิดเบนของ F2-Trans

ของ /w/ และ /j/ เมื่อปรากฏต้นคำทดสอบ

พิสัยการปิดเบนแตกต่างกันดังนี้ (ดูตารางที่ 60

ประกอบ)

ตารางที่ 60 พิสัยการปิดเบนของ Post-C-F2-Trans ของ /w/ และ /j/

เมื่อปรากฏต้นคำทดสอบ

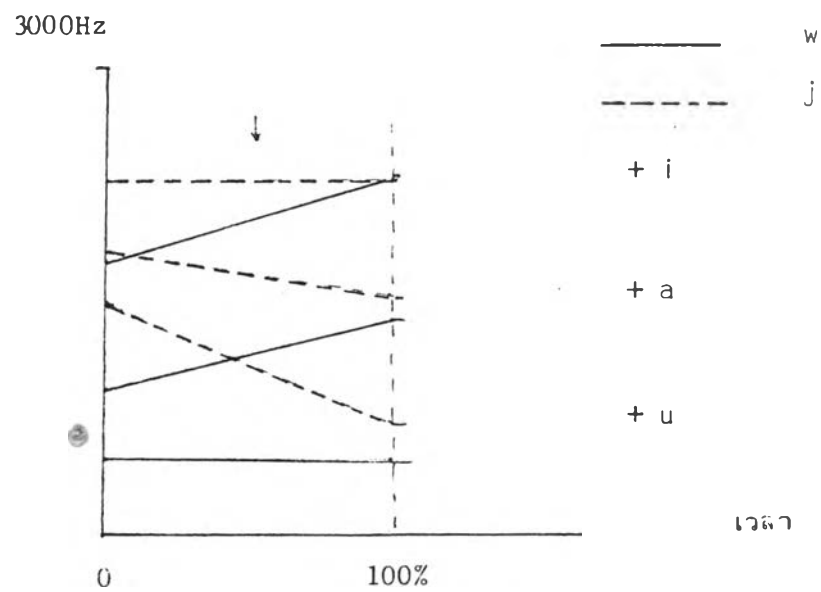
พิสัยของ Post-C-F2-Trans ของ /w/ และ /j/ (หน่วย : เฮิรตซ์)

พยัญชนะ สระรวม	w			j		
	จุดเริ่ม	จุดสุดท้าย	พิสัย	จุดเริ่ม	จุดสุดท้าย	พิสัย
i:	1771	2317	546	2296	2296	-
a:	950	1392	442	1854	1558	296
u:	504	504	-	1512	725	787

ในปริบทสระ /i:/ และ /a:/ F2-Trans ของ /w/ มีพิสัยการปิดเบนกว้างกว่า  
พิสัยการปิดเบนของ F2-Trans ของ /j/ แต่ในปริบทสระ /u:/ พิสัยการปิดเบน  
ของ F2-Trans ของ /j/ มีพิสัยกว้างกว่า ของ /w/ ซึ่ง F2-Trans ไม่มีการ  
ปิดเบน

สำหรับทิศทางการปิดเบนของ Post-C-F2-Trans ของ /w/ และ /j/ นั้น  
แสดงได้ดังแผนภูมิที่ 4

แผนภูมิที่ 4 ทิศทางการปิดเบนของ Post-C-F2-Trans ของ /w/ และ /j/



ข. เปรียบเทียบทิศทางการปิดเบนของ F2-Trans ของ  
/w/ และ /j/ เมื่อปรากฏตรงกลางระหว่างสระ

ทิศทางการปิดเบนเป็นดังนี้ (ดูตารางที่ 61 ประกอบ)

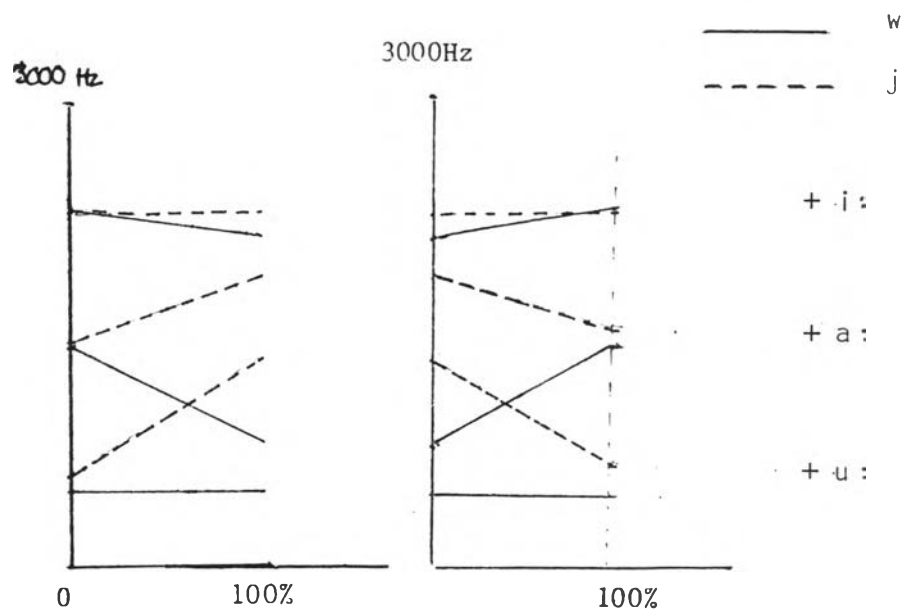


ตารางที่ 61 พัลส์การปิดเบนของ F2-Trans ของ /w/ และ /j/ เมื่อปรากฏตรงกลางระหว่างสระ

พยัญชนะ สระร่วม		พัลส์ของการปิดเบนของ F2-Trans ของ /w/ และ /j/ (หน่วย เฮิรตซ์)											
		Pre-C-F2-Trans						Post-C-F2-Trans					
		w			j			w			j		
	จุดเริ่ม	จุดสุดท้าย	พัลส์	จุดเริ่ม	จุดสุดท้าย	พัลส์	จุดเริ่ม	จุดสุดท้าย	พัลส์	จุดเริ่ม	จุดสุดท้าย	พัลส์	
i:	2271	2125	146	2300	2300	-	2125	2333	208	2300	2300	-	
a:	1462	786	676	1467	1921	454	786	1442	656	1921	1583	338	
u:	512	512	-	629	1412	781	512	512	-	1412	692	720	

จากค่าที่แสดงในตารางที่ ๕๑ เห็นได้ว่าในปริบทสระ /i:/ และ /a:/ F2-Trans ของ /w/ มีพิสัยการบิดเบนกว้างกว่า พิสัยการบิดเบนของ F2-Trans ของ /j/ แต่ในปริบทสระ /u:/ พิสัยการบิดเบนของ F2-Trans ของ /w/ แคบกว่าของ /j/

แผนภูมิที่ ๕ ทิศทางการบิดเบนของ Pre-C-F2-Trans และ Post-C-F2-Trans ของ /w/ และ /j/



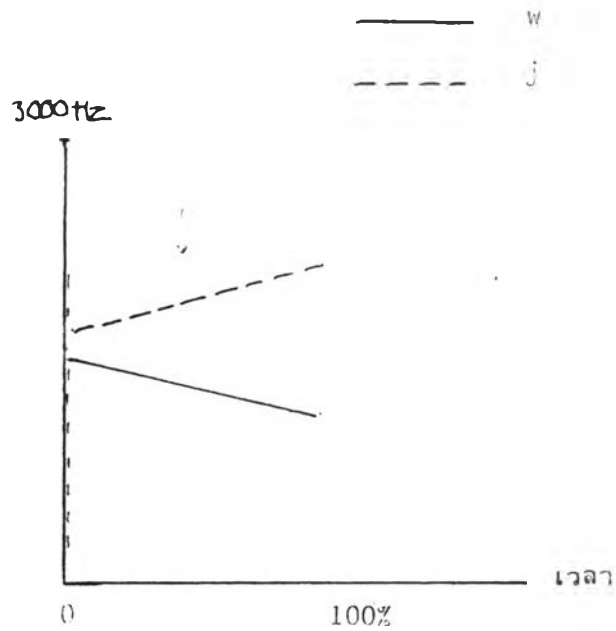
ค. เปรียบเทียบพัลัยการปิดเบนของ F2-Trans ของ /w/ กับ /j/ เมื่อปรากฏท้ายคำทดสอบ  
 /w/ และ /j/ ที่ปรากฏท้ายคำทดสอบและปรากฏร่วมกับสระเดียวกันได้ มีเพียงคำ /a:w/ และ /a:j/ เท่านั้น ซึ่งมีพัลัยการปิดเบนของ Pre-C-F2-Trans ต่างกันดังนี้คือ (ดูตารางที่ 62 ประกอบ)

ตารางที่ 62 พัลัยการปิดเบนของ Pre-C-F2-Trans ของ /w/ และ /j/  
 เมื่อปรากฏท้ายคำทดสอบ

พัลัยการปิดเบนของ Pre-C-F2-Trans ของ /w/ และ /j/						
พยัญชนะ สระร่วม	w			j		
	จุดเริ่ม	จุดสุดท้าย	พัลัย	จุดเริ่ม	จุดสุดท้าย	พัลัย
a:	1487	1100	387	1621	2042	421

จากค่าดังแสดงในตารางที่ 34 เห็นได้ว่า พัลัยการปิดเบนมีค่าต่างกัน และทิศทางการปิดเบนแตกต่างกัน (ดูแผนภูมิที่ 6)

แผนภูมิที่ 6 ทิศทางการบิดเบนของ Pre-C-F2-Trans ของ /w/ และ /j/ เมื่อปรากฏท้ายคำ



### 2.5.3 เปรียบเทียบค่าของระยะเวลาของ /w/ กับ /j/

จากการเปรียบเทียบพบความแตกต่างดังนี้ (ดูตารางที่ 63

ประกอบ)

ตารางที่ 63 เปรียบเทียบค่าระยะเวลาของ /w/ และ /j/

ด้านพยางค์		ค่าระยะเวลาของ /w/ และ /j/ (หน่วย : มิลลิวินาที)																	
		ต้นคำ						ระหว่างสระ						ท้ายคำ					
		w			j			w			j			w			j		
สระรวม	ระยะ คงที่	ระยะ F-Trans	รวม	ระยะ คงที่	ระยะ F-trans	รวม	ระยะ คงที่	ระยะ F-Trans	รวม	ระยะ คงที่	ระยะ F-Trans	รวม	ระยะ คงที่	ระยะ F-Trans	รวม	ระยะ คงที่	ระยะ F-Trans	รวม	
i:	115	79	190	81	-	81	133	128	261	101	-	101	180	94	274	-	-	-*	
a:	110	57	167	115	65	180	128	110	238	140	130	270	184	65	249	208	72	280	
u:	80	-	80	116	85	201	89	-	89	139	144	283	-	-	-*	202	97	301	
ĩ	102	-	146	104	-	154	117	-	196	127	-	218	182	-	262	205	-	291	
สัดส่วน	49.51		48.67	50.49		51.33	47.95		47.34	52.05		52.66	47.03		47.38	52.97		52.62	

\* พยัญชนะเปิดไม่ปรากฏในบริบทนี้

ก. ระยะเวลาของ /w/ มีค่าระยะเวลามากกว่า ระยะเวลาของ /j/ เมื่ออยู่ในบริบทสระ /i:/ เท่านั้น ส่วนในบริบทสระ /a:/ และ /u:/ ระยะเวลาของ /w/ มีค่าระยะเวลามากกว่า ระยะเวลาของ /j/ ในตำแหน่งในคำทดสอบทั้ง 3 ตำแหน่ง

ข. เมื่อรวมระยะเวลาของระยะเวลาที่เข้ากับระยะเวลา ของ F2-Trans พบว่า ระยะเวลาของ /w/ มีค่ามากกว่า ระยะเวลาของ /j/ เฉพาะในบริบทสระ /a:/ และ /u:/ แต่ในบริบทสระ /i:/ ระยะเวลาของ /w/ มีค่าสูงกว่าระยะเวลาของ /j/ ในตำแหน่งในคำทดสอบทั้ง 3 ตำแหน่ง

ค. ในแต่ละตำแหน่งในคำทดสอบโดยเฉลี่ยแล้ว ระยะเวลา ของ /w/ มีค่ามากกว่า ระยะเวลาของ /j/

#### 2.5.4 เปรียบเทียบความเข้มของเสียงของ /w/ กับ /j/

จากการเปรียบเทียบพบว่า ในบริบทสระ /i:/ และ /a:/ ความเข้มของเสียงของ /w/ มีค่าสูงกว่า /j/ แต่ในบริบทสระ /u:/ ความเข้มของเสียงของ /w/ มีค่าต่ำกว่า /j/ (ดูตารางที่ 64 ประกอบ)

ตารางที่ 64 เปรียบเทียบค่าความเข้มของเสียงของ /w/ และ /j/

ค่าความเข้มของเสียง /w/ และ /j/ (หน่วย : เฮิรตซ์)						
ตำแหน่ง สระรวม	ต้นคำ		ระหว่างสระ		ท้ายคำ	
	w	j	w	j	w	j
i:	5.85	4.08	6.66	4.83	8.00	-
a:	6.83	5.62	8.99	8.37	9.75	9.58
u:	2.75	5.08	6.00	6.91	-	9.00
$\bar{X}$	5.14	4.93	7.22	6.70	8.88	9.25
สัดส่วน	51.04	48.96	51.87	48.13	48.87	51.13

ในตำแหน่งต้นคำ และตำแหน่งระหว่างสระ /w/ มีค่าความเข้มของเสียง โดยเฉลี่ยสูงกว่า ความเข้มของเสียง /j/ แต่ในตำแหน่ง ท้ายคำ มีค่าความเข้มต่ำกว่า ค่าความเข้มของเสียง /j/

### 3 ลักษณะทางกลศาสตร์ของพยัญชนะสั้นรัวและพยัญชนะข้างสั้น

ในส่วนนี้ เป็นการกล่าวถึงลักษณะทางกลศาสตร์ของพยัญชนะสั้นรัว /r/ พยัญชนะข้างสั้น /l/ ซึ่งมีรายละเอียดที่น่าสนใจดังนี้

#### 3.1 ลักษณะทั่วไปของพยัญชนะสั้นรัวและพยัญชนะข้างสั้น

##### 3.1.1 ลักษณะของคำ F ของ /r/ และ /l/

ก. ในแผนภาพคลื่นเสียงของ /r/ ภาพสัญญาณของ F ปรากฏเป็นช่วง ๆ สลับกับช่วงเงียบ (acoustic silence) ช่วงเงียบแต่ละช่วง มีระยะเวลาประมาณ 15-20 มิลลิวินาที ลักษณะทางกลดังกล่าวนี้สอดคล้องกับลักษณะทางสรีรศาสตร์ของพยัญชนะชนิดนี้ ที่มีการปิดกั้นลมในช่องปากเป็นช่วง ๆ และเป็นที่น่าสังเกตว่าในช่วงปิดกั้นลมนี้ ไม่ปรากฏลักษณะสัญญาณที่เรียกว่า voiced bar บนแผนภาพคลื่นเสียงเลย แสดงว่าช่วงปิดกั้นนี้ ไม่มีการสั่นของเส้นเสียง (ดูภาพคลื่นเสียงของ /r/ ในภาคผนวก หน้า 309- 319) และ คำ F1 กับ F2 ปรากฏชัดเจน ส่วนความถี่ก้ำก๋อนตั้งแต่ F3 ขึ้นไปมีความเข้มของเสียงต่ำ จึงปรากฏเป็นภาพสัญญาณจางมาก เมื่อ /r/ ปรากฏในบริบททางเสียงต่าง ๆ พบว่า คำ F1 แปรอยู่ในระหว่าง 500 ถึง 650 เฮิรตซ์ เท่านั้น ส่วนคำ F2 มีการแปรซึ่งอธิบายได้ว่าเกิดจากอิทธิพลของบริบททางเสียงต่าง ๆ ดังจะได้กล่าวถึงโดยละเอียดต่อไป

ข. ในแผนภาพคลื่นเสียงของ /l/ ปรากฏสัญญาณความถี่ก้ำก๋อนชัดเจนเฉพาะ F1 และ F2 เท่านั้น ส่วน F3 และ F4 มีความเข้มของเสียงต่ำ จึงปรากฏเป็นสัญญาณที่จางมาก (ดูภาพคลื่นเสียงของ /l/ ในภาคผนวกหน้า 297- 307) เมื่อ /l/ ปรากฏในบริบททางเสียงต่าง ๆ พบว่า F1 มีค่าแปรอยู่ในระหว่าง 300 ถึง 600 เฮิรตซ์ ส่วนคำ F2 นั้นการแปรไปซึ่งอธิบายได้ว่าเกิดจากอิทธิพลของบริบททางเสียงต่าง ๆ ลักษณะดังกล่าวนี้จะได้กล่าวถึงโดยละเอียดต่อไป

##### 3.1.2 ระยะเวลาของ /r/ และ /l/

จากการศึกษาพบว่า ระยะเวลาของ /r/ และ /l/ มีการแปรไปเพื่อพยัญชนะทั้งสองหน่วยนี้ ปรากฏในบริบททางเสียงต่าง ๆ ซึ่งจะได้กล่าวถึงโดยละเอียดต่อไป



### 3.1.3 ความเข้มของเสียงของ /r/ และ /l/

ความเข้มของเสียง /r/ และ /l/ มีการแปรไปเมื่อพยัญชนะทั้งสองปรากฏในบริบททางเสียงต่าง ๆ ซึ่งจะได้กล่าวถึงโดยละเอียดต่อไป

### 3.2 ลักษณะทางกลศาสตร์ของ /r/

#### 3.2.1 ลักษณะของค่า F ของ /r/

จากการศึกษาค่า F ต่าง ๆ ของ /r/ เมื่อปรากฏในบริบททางเสียงต่าง ๆ พบว่า ค่า F2 ของ /r/ มีการแปร ดังนี้ (ดูตารางที่ 65 ประกอบ)

ตารางที่ 65 ค่า F2 ของ /r/ เมื่อปรากฏในบริบททางเสียงต่าง ๆ

ค่า F2 ของ /r/ (หน่วย : เฮิรตซ์)				
ตำแหน่งสระรวม	ระหว่างสระ	ต้นคำ	$\bar{X}$	สัดส่วน
i:	1550	1280	1415	36.56
a:	1346	1217	1282	33.13
u:	1225	1121	1173	30.31
$\bar{X}$	1374	1206		
สัดส่วน	53.26	46.74		

- ก. เมื่อปรากฏร่วมกับสระต่าง ๆ กัน พบว่า ค่า F2  
มีค่าแปรจากสูงไปต่ำ เมื่อ /r/ ปรากฏร่วมกับสระ /i:/ /a:/ และ /u:/ ตามลำดับ
- ข. เมื่อปรากฏในตำแหน่งต่าง ๆ กันในคำทดสอบ พบว่า  
ค่า F2 ของ /r/ ที่ปรากฏระหว่างสระ มีค่าสูงกว่า ค่า F2 ของ /r/ ที่ปรากฏต้นคำ

### 3.2.2 ระยะเวลาของ /r/

จากการศึกษา พบว่า ระยะเวลาของ /r/ เมื่อปรากฏใน  
บริบททางเสียงต่าง ๆ มีการแปรดังนี้ (ดูตารางที่ ๔๖ ประกอบ)

ตารางที่ 66 ค่าระยะเวลาของ /r/ เมื่อปรากฏในบริบททางเสียงต่าง ๆ

ตำแหน่ง สระร่วม		ระยะเวลาของ /r/ (หน่วย : มิลลิวินาที)									
		ระหว่างสระ			ต้นคำ			ระยะคงที่		รวมF-Trans	
	ระยะ คงที่	ระยะF-Trans		รวม	ระยะ คงที่	ระยะ F-Trans	รวม	$\bar{X}$	สัดส่วน	$\bar{X}$	สัดส่วน
		Pre-C	Post-C								
u:	101	84	84	269	105	98	203	103	32.50	236	35.12
i:	108	72	76	256	106	89	195	107	33.75	226	33.63
a:	109	56	71	236	104	80	184	107	33.75	210	33.25
$\bar{X}$	106			254	105		194				
สัดส่วน	50.00			56.70	50.00		43.30				

ก. เมื่อ /r/ ปรากฏร่วมกับสระต่าง ๆ กันพบว่า ระยะคงที่ของ /r/ มีค่าใกล้เคียงกัน แต่เมื่อรวมเอาระยะเวลาของ F-Trans เข้าด้วยแล้วพบว่า มีค่าแปรจากสูงมาต่ำ เมื่อ /r/ ปรากฏร่วมกับสระ /u:/ /i:/ และ /a:/ ตามลำดับ

ข. เมื่อ /r/ ปรากฏในตำแหน่งต่างกัน พบว่า ระยะคงที่ของ /r/ มีค่าใกล้เคียงกัน คือเป็นสัดส่วน 50:50 แต่เมื่อรวมระยะเวลาของ F-Trans ด้วยแล้ว พบว่า ระยะเวลาของ /r/ ที่ปรากฏระหว่างสระ มีค่าสูงกว่าระยะเวลาของ /r/ ที่ปรากฏต้นคำ

3.2.3 ความเข้มของเสียงของ /r/

จากการศึกษาค่าความเข้มของเสียงของ /r/ เมื่อปรากฏในบริบททางเสียงต่าง ๆ มีการแปร ดังนี้คือ (ดูตารางที่ 67 ประกอบ)

ตารางที่ 67 ค่าความเข้มของเสียงของ /r/ เมื่อปรากฏในบริบททางเสียงต่าง ๆ

ค่าความเข้มของเสียงของ /r/ (หน่วย : เดซิเบล)				
ตำแหน่งสระรวม	ระหว่างสระ	ต้นคำ	$\bar{X}$	สัดส่วน
a:	14.41	12.00	13.20	37.15
i:	12.41	11.25	11.83	33.40
u:	10.50	10.50	10.50	29.55
$\bar{X}$	12.44	11.25		
สัดส่วน	52.51	47.49		

ก. เมื่อ /r/ ปรากฏร่วมกับสระต่าง ๆ กัน พบว่า ความเข้มของเสียง มีค่า แปรจากสูงมาต่ำ เมื่อ /r/ ปรากฏร่วมกับสระ /a:/ /i:/ และ /u:/ ตามลำดับ

ข. เมื่อ /r/ ปรากฏในตำแหน่งต่างกัน ในคำทดสอบ พบว่า /r/ ที่ปรากฏตรงกลางระหว่างสระมีค่าความเข้มของเสียงสูงกว่าค่าความเข้มของเสียงของ /r/ ที่ปรากฏขึ้นคำ

### 3.3 ลักษณะทางกลศาสตร์ของ /l/

#### 3.3.1 ลักษณะของค่า F ของ /l/

จากการศึกษาค่า F ต่าง ๆ ของ /l/ เมื่อปรากฏในบริบททางเสียงต่าง ๆ พบว่า ค่า F2 ของ /l/ มีการแปร ดังนี้ (ดูตารางที่ ๘๘ ประกอบ)

ตารางที่ ๘๘ ค่า F2 ของ /l/ เมื่อปรากฏในบริบททางเสียงต่าง ๆ

ค่า F2 ของ /l/ (หน่วย : เฮิรตซ์)				
ตำแหน่ง สระรวม	ระหว่างสระ	ต้นคำ	$\bar{X}$	สัดส่วน
i:	1654	1546	1600	38.54
a:	1354	1325	1340	32.28
u:	1146	1275	1211	29.18
$\bar{X}$	1385	1382		
สัดส่วน	50.06	49.94		

ก. เมื่อ /l/ ปรากฏร่วมกับสระต่าง ๆ กัน พบว่า ค่า F2 แปรจากสูงมาต่ำ เมื่อ /l/ ปรากฏร่วมกับสระ /i:/ /a:/ และ /u:/ ตามลำดับ

ข. เมื่อ /l/ ปรากฏในตำแหน่งต่าง ๆ กันในคำทดสอบ พบว่า ค่า F2 ของ /l/ ที่ปรากฏตรงกลางระหว่างสระในปริบทสระ /i:/ และ /a:/ มีค่าสูงกว่า F2 ของ /l/ ที่ปรากฏต้นคำทดสอบ แต่ในปริบทสระ /u:/ /l/ ที่ปรากฏตรงกลางระหว่างสระ มีค่า F2 ต่ำกว่า F2 ของ /l/ ที่ปรากฏต้นคำ แต่จากค่า  $\bar{X}$  และสัดส่วนมีค่าใกล้เคียงกันมาก

### 3.3.2 ระยะเวลาของ /l/

จากการศึกษา พบว่า ระยะเวลาของ /l/ เมื่อปรากฏในปริบททางเสียงต่าง ๆ มีการแปร ดังนี้คือ (ดูตารางที่ 69 ประกอบ)

ตารางที่ 69 ค่าระยะเวลาของ /l/ เมื่อปรากฏในบริบททางเสียงต่าง ๆ

ตำแหน่ง สระร่วม		ระยะเวลาของ /l/ (หน่วย : มิลลิวินาที)									
		ระหว่างสระ				ต้นคำ					
	ระยะ คงที่	ระยะF-Trans		รวม	ระยะ คงที่	ระยะ F-Trans	รวม	ระยะคงที่		รวม F-Trans	
		Pre-C	Post-C					$\bar{X}$	สัดส่วน	$\bar{X}$	สัดส่วน
u:	79	87	99	265	76	95	171	78	35.45	218	37.78
a:	80	70	73	223	78	84	162	79	35.91	193	33.45
i:	66	63	73	202	59	70	129	63	28.64	166	28.77
$\bar{X}$	75			230	71		154				
สัดส่วน	51.37			59.89	48.63		40.11				



ก. เมื่อ /l/ ปรากฏร่วมกับสระต่าง ๆ กัน พบว่า ระยะเวลาของ /l/ (ไม่รวม F-Trans) เมื่อปรากฏร่วมกับ /u:/ /a:/ มีค่าใกล้เคียงกัน แต่สูงกว่า ค่าของระยะเวลาของ /l/ ที่ปรากฏร่วมกับสระ /i:/ คือ เป็นสัดส่วน 35.45 : 35.90 : 28.63 และเมื่อรวมเอาระยะเวลาของ F-trans เข้าด้วยแล้ว พบว่า ค่าระยะเวลารวม แปรจากสูงมาต่ำ เมื่อ /l/ ปรากฏร่วมกับสระ /u:/ /a:/ และ /i:/ ตามลำดับ

ข. เมื่อ /l/ ปรากฏในตำแหน่งต่าง ๆ กันใน คำทดสอบ พบว่า ระยะเวลาของ /l/ ทั้งที่รวมและไม่รวม ระยะเวลาของ F-trans เข้าด้วยนั้น ระยะเวลาของ /l/ ในตำแหน่งตรงกลางระหว่างสระมีค่าสูงกว่า ระยะเวลาของ /l/ ในตำแหน่งต้นคำ

3.3.3 ความเข้มของเสียงของ /l/

จากการศึกษา ค่าความเข้มของเสียงของ /l/

เมื่อปรากฏในบริบททางเสียงต่าง ๆ พบว่ามีการแปรดังนี้คือ (ดูตารางที่ 70 ประกอบ)

ตารางที่ 70 ค่าความเข้มของเสียงของ /l/ เมื่อปรากฏในบริบททางเสียงต่าง ๆ

ความเข้มของเสียงของ /l/ หน่วย : เดซิเบล				
ตำแหน่ง สระร่วม	ระหว่างสระ	ต้นคำ	$\bar{X}$	สัดส่วน
a:	12.00	10.66	11.33	39.66
u:	10.50	8.91	9.70	33.95
i:	8.33	6.75	7.54	26.39
$\bar{X}$	10.72	8.77		
สัดส่วน	53.94	46.06		



ก. เมื่อ /l/ ปรากฏร่วมกับสระต่าง ๆ กัน พบว่า  
ค่าความเข้มทางเสียงของ /l/ แปรจากสูงมาต่ำ เมื่อปรากฏร่วมกับสระ /a:/  
/u:/ และ /i:/ ตามลำดับ

ข. เมื่อ /l/ ปรากฏในตำแหน่งต่าง ๆ กันใน  
คำทดสอบ พบว่า ค่าความเข้มของเสียง /l/ ที่ปรากฏระหว่างสระ มีค่าสูง  
กว่า /l/ ที่ปรากฏต้นคำทดสอบ

### 3.4 เปรียบเทียบลักษณะการแปรของค่าทางกลศาสตร์ของพยัญชนะลิ้นรัว กับพยัญชนะข้างลิ้น

#### 3.4.1 ลักษณะการแปรของ F2 ของ /r/ และ /l/

จากการเปรียบเทียบลักษณะการแปรของค่า F2 พบว่า  
มีการแปรไปในทิศทางเดียวกัน คือ (ดูตารางที่ 71 ประกอบ)

ตารางที่ 71 ค่า F2 ของ /r/ และ /l/ เมื่อปรากฏในบริบททางเสียงต่าง ๆ

ค่า F2 ของ /r/ และ /l/ (หน่วย : เฮิรตซ์)								
พยัญชนะ สระจวบ	r		l		r		l	
	ระหว่างสระ	ต้นคำ	ระหว่างสระ	ต้นคำ	$\bar{X}$	สัดส่วน	$\bar{X}$	สัดส่วน
i:	1550	1280	1654	1546	1415	36.56	1600	38.54
a:	1346	1217	1354	1325	1282	33.13	1340	32.28
u:	1225	1121	1146	1275	1173	30.32	1211	29.17
$\bar{X}$	1374	1206	1385	1382				
สัดส่วน	53.26	46.74	50.05	49.94				

ก. เมื่อปรากฏร่วมกับสระต่าง ๆ พบว่าค่า F2 ของทั้ง /r/ และ /l/ มีลักษณะการแปรเหมือนกันคือ แปรจากสูงมาต่ำ เมื่อปรากฏร่วมกับสระ /i:/ /a:/ และ /u:/ ตามลำดับ

ข. เมื่อปรากฏในตำแหน่งต่าง ๆ ในคำทดสอบ พบว่าค่า F2 ของ /r/ และ /l/ ที่ปรากฏระหว่างสระ มีค่าสูงกว่า ค่า F2 ของพยัญชนะทั้งสองที่ปรากฏต้นคำ ยกเว้น /l/ ที่ปรากฏร่วมกับสระ /u:/ ในตำแหน่งระหว่างสระ มีค่า F2 ต่ำกว่า /l/ ที่ปรากฏต้นคำ

#### 3.4.2 ลักษณะการแปรของระยะเวลาของ /r/ และ /l/

จากการ เปรียบ เทียบลักษณะการแปรของระยะเวลาของ /r/ และ /l/ พบว่า มีลักษณะการแปรดังนี้ คือ (ดูตารางที่ 72 ประกอบ)

ตารางที่ 72 ระยะเวลาของ /l/ และ /r/ เมื่อปรากฏในบริบททางเสียงต่าง ๆ

ตำแหน่ง สระรวม		ระยะเวลาของ /l/ (หน่วย : มิลลิวินาที)																					
		ระหว่างสระ				ต้นคำ			ระยะเวลาของ /r/ (หน่วย : มิลลิวินาที)														
		ระยะ คงที่	ระยะP-Trans		รวม	ระยะ คงที่	ระยะ P-Trans	รวม				ระยะคงที่		รวม P-Trans									
			Pre-C	Post-C					$\bar{X}$	สัดส่วน	$\bar{X}$	สัดส่วน											
น:	79	87	99	265	76	95	171	78	35.45	218	37.78	น:	101	84	84	269	105	98	203	103	32.50	236	35.12
ล:	80	70	73	223	78	84	162	79	35.91	193	33.45	ล:	108	72	76	256	106	89	195	107	33.75	226	33.63
ร:	66	63	73	202	59	70	129	63	28.64	166	28.77	ร:	109	56	71	236	104	80	184	107	33.75	210	33.25
$\bar{X}$	75			230	71		154					$\bar{X}$	106			254	105		194				
สัดส่วน	51.37			59.89	48.63		40.11					สัดส่วน	50.00			56.70	50.00		43.30				

ก. เมื่อปรากฏร่วมกับสระต่าง ๆ พบว่า ระยะเวลาที่ของ /r/ และ /l/ มีระยะเวลาแปรไปแตกต่างกัน และเมื่อพิจารณาค่าระยะเวลารวม ระยะ F-Trans พบว่ามีลักษณะการแปรต่างกันคือ ระยะเวลาของ /r/ แปรจาก สูงมาต่ำ เมื่อปรากฏร่วมกับสระ /u:/ /i:/ และ /a:/ ตามลำดับ แต่ระยะเวลาของ /l/ แปรจากสูงมาต่ำ เมื่อปรากฏร่วมกับสระ /u:/ /a:/ และ /i:/ ตามลำดับ

ข. เมื่อปรากฏในตำแหน่งต่าง ๆ พบว่า ระยะเวลาของ ทั้ง /r/ และ /l/ มีลักษณะการแปรเหมือนกันคือ ระยะเวลาของ /r/ และ /l/ ที่ปรากฏระหว่างสระ มีค่าสูงกว่า /r/ หรือ /l/ ที่ปรากฏต้นคำ

#### 3.4.3 ลักษณะการแปรของความเข้มของเสียงของ /r/ และ /l/

จากการเปรียบเทียบลักษณะการแปร ความเข้มของเสียง /r/ และ /l/ พบว่า มีลักษณะการแปร ดังนี้คือ (ดูตารางที่ 73 ประกอบ)

ตารางที่ 73 ค่าความเข้มของเสียงของ /r/ และ /l/

ค่าความเข้มของเสียงของ /r/ (หน่วย : เดซิเบล)					ความเข้มของเสียงของ /l/ หน่วย เดซิเบล				
ตำแหน่ง สระรวม	ระหว่างสระ	ต้นคำ	$\bar{X}$	สัดส่วน	ตำแหน่ง สระรวม	ระหว่างสระ	ต้นคำ	$\bar{X}$	สัดส่วน
ล:	14.41	12.00	13.20	37.15	ล:	12.00	10.66	11.33	39.66
เ:	12.41	11.25	11.83	33.40	น:	10.50	8.91	9.70	33.95
อ:	10.50	10.50	10.50	29.55	ร:	8.33	6.75	7.54	26.39
$\bar{X}$	12.44	11.25			$\bar{X}$	10.72	8.77		
สัดส่วน	52.51	47.49			สัดส่วน	53.94	46.06		

ก. เมื่อปรากฏร่วมกับสระต่าง ๆ พบว่า ค่าความเข้มของเสียงของ /r/ และ /l/ มีลักษณะการแปรแตกต่างกันคือ ค่าความเข้มของเสียงของ /r/ แปรจากสูงมาต่ำ เมื่อ /r/ ปรากฏร่วมกับสระ /a:/ /i:/ และ /u:/ แต่ค่าความเข้มของเสียงของ /l/ แปรจากสูงมาต่ำ เมื่อ /l/ ปรากฏร่วมกับสระ /a:/ /u:/ และ /i:/ ตามลำดับ

ข. เมื่อปรากฏในตำแหน่งต่าง ๆ ในคำทดสอบ พบว่า ทั้ง /r/ และ /l/ ที่ปรากฏระหว่างสระ มีค่าความเข้มของเสียงสูงกว่า /r/ และ /l/ ที่ปรากฏต้นคำ

### 3.5 การเปรียบเทียบลักษณะทางกลศาสตร์ของ /r/ กับ /l/

ในส่วนนี้เป็นการเปรียบเทียบลักษณะทางกลศาสตร์เพื่อให้เห็นความเหมือนและความต่างของพยัญชนะทั้งสอง ดังรายละเอียดต่อไปนี้

#### 3.5.1 เปรียบเทียบค่า F2 ของ /r/ กับ /l/

จากการเปรียบเทียบ พบว่า ค่า F2 ของ /r/ และ /l/ มีความแตกต่างกัน ดังนี้คือ (ดูตารางที่ 74 ประกอบ)

ตารางที่ 74 เปรียบเทียบค่า F2 ของ /r/ และ /l/

		ค่า F2 ของ /r/ และ /l/ (หน่วย : เฮิรตซ์)			
		ต้นคำ		ระหว่างสระ	
สระร่วม	ตำแหน่ง	r	l	r	l
i:		1280	1546	1550	1654
a:		1217	1325	1346	1354
u:		1121	1275	1225	1146
$\bar{X}$		1206	1382	1374	1358
สัดส่วน		46.60	53.40	49.80	50.20

- ก. /l/ ที่ปรากฏต้นคำ มีค่า F2 สูงกว่าค่า F2 ของ /r/ ที่ปรากฏต้นคำ
- ข. /l/ ที่ปรากฏตรงกลางระหว่างสระ มีค่า F2 สูงกว่า ค่า F2 ของ /r/ เฉพาะเมื่อปรากฏร่วมกับสระ /i:/ และ /a:/ เท่านั้น เมื่อปรากฏร่วมกับสระ /u/ ค่า F2 ของ /l/ ต่ำกว่า /r/

3.5.2 เปรียบเทียบลักษณะการปิดเบนของ F-Trans

ของ /r/ และ /l/

- ก. เปรียบเทียบการปิดเบนของ F2-Trans ของ /r/ กับ /l/ เมื่อปรากฏต้นคำทดสอบ

จากการเปรียบเทียบพบว่าเป็นอย่างนี้ (ดูตารางที่ 75 ประกอบ)

ตารางที่ 75 พิสัยการปิดเบนของ Post-F2-Trans ของ /r/ และ /l/ เมื่อปรากฏต้นคำทดสอบ

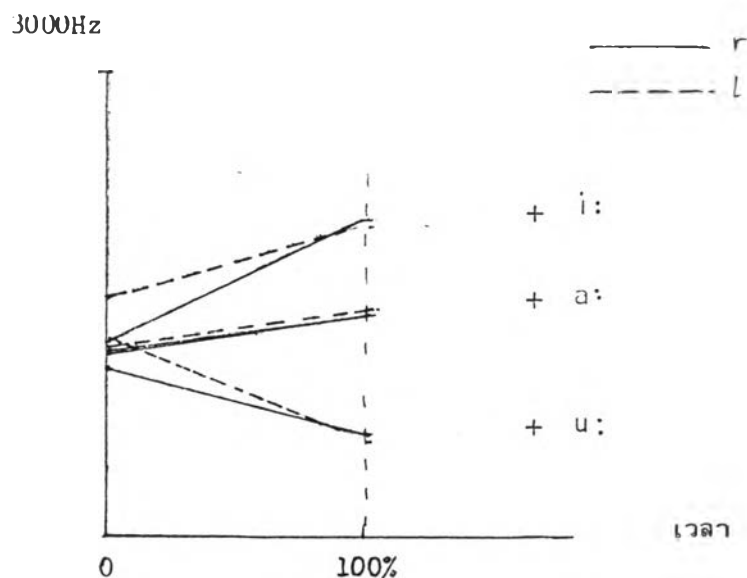
การปิดเบนของ Post-C-F2-Trans ของ /r/ และ /l/						
พยัญชนะ สระร่วม	r			l		
	จุดเริ่ม	จุดสุดท้าย	พิสัย	จุดเริ่ม	จุดสุดท้าย	พิสัย
i:	1280	2250	970	1546	2200	654
a:	1217	1462	245	1246	1496	250
u:	1121	679	442	1275	629	646
$\bar{X}$			552			517
สัดส่วน			51.63			48.37



ในปริบทสระ /i:/ ศัพท์การปิดเบนของ F2-Trans ของ /r/ กว้างกว่า  
ศัพท์การปิดเบนของ F2-Trans ของ /l/ แต่ในปริบทสระ /a:/ และ /u:/  
มีศัพท์แคบกว่าของ /l/

สำหรับทิศทางการปิดเบนของ F2-Trans นั้น แสดงได้ดังแผนภูมิที่ 7

แผนภูมิที่ 7 ทิศทางการปิดเบนของ Post-C-F2-Trans ของ /l/ และ /r/



ข. เปรียบเทียบการปิดเบนของ F2-Trans ของ /l/  
กับ /r/ เมื่อปรากฏตรงกลางระหว่างสระ

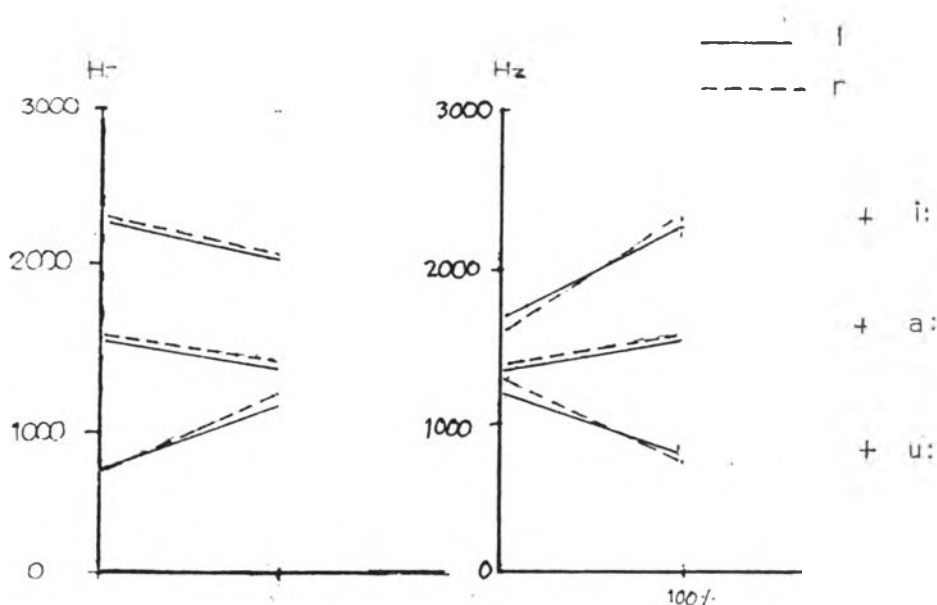
จากการเปรียบเทียบพบว่าเป็นอย่างนี้ (ดูตารางที่ 76  
ประกอบ)

ตารางที่ 76 พิสัยการปิดเบนของ F2-Trans ของ /r/ และ /l/ เมื่อปรากฏระหว่างสระ

พยัญชนะ สระร่วม	การปิดเบนของ Pre-C-F2-Trans						การปิดเบนของ Post-C-F2-Trans					
	r			l			r			l		
	จุดเริ่ม	จุดสุดท้าย	พิสัย	จุดเริ่ม	จุดสุดท้าย	พิสัย	จุดเริ่ม	จุดสุดท้าย	พิสัย	จุดเริ่ม	จุดสุดท้าย	พิสัย
i:	2296	2071	225	2267	2054	213	1550	2296	746	1654	2237	583
a:	1537	1412	125	1542	1354	188	1346	1537	191	1354	1525	171
u:	679	1150	471	717	1146	129	1225	712	513	1146	745	401
$\bar{x}$			274			277			483			385
สัดส่วน			49.73			50.27			55.65			44.35

ในปริบท สระ /i:/ และ /u:/ พัลส์การปิดเบนของ F2-Trans ของ /r/ กว้างกว่าพัลส์การปิดเบนของ /l/ แต่ในปริบทสระ /a:/ พัลส์ของ Pre-C-F2-Trans ของ /r/ แคบกว่าของ /l/ และพัลส์ของ Post-C-F2-Trans ของ /r/ กว้างกว่า /l/

แผนภูมิที่ 8 ทิศทางการปิดเบนของ Pre-C-F2-Trans และ Post-C-F1-Trans ของ /r/ และ /l/



### 3.5.3 เปรียบเทียบค่าระยะเวลาของ /r/ กับ /l/

จากการเปรียบเทียบ พบว่าเป็นดังนี้ (ดูตารางที่ 77 ประกอบ)

ตารางที่ ๗๖ เปรียบเทียบค่าระยะเวลาของ /r/ และ /l/

พยัญชนะ สระรวม		ระยะเวลาของ /r/ และ /l/ (หน่วย : มิลลิวินาที)											
		ต้นคำ						ระหว่างสระ					
		r			l			r			l		
ระยะเวลา คงที่	ระยะเวลา	รวม	ระยะเวลา คงที่	ระยะเวลา	รวม	ระยะเวลา คงที่	ระยะเวลา	รวม	ระยะเวลา คงที่	ระยะเวลา	รวม		
i:	106	89	195	59	70	129	108	148	256	66	136	202	
a:	104	80	184	78	84	162	109	137	236	80	143	223	
u:	105	98	203	76	95	171	101	168	269	79	186	265	
$\bar{X}$	105		194	71		154	106		254	75		230	
สัดส่วน	59.66		55.75	40.34		44.25	58.56		52.48	41.44		47.52	

ก. ระยะคงที่ของ /r/ มีค่าระยะเวลามากกว่าระยะคงที่ของ /l/ ในทุก ๆ ปริบททางเสียง

ข. เมื่อรวมระยะเวลาของระยะ F-Trans เข้าด้วยกัน แล้วพบว่า ระยะเวลาของ /r/ มีค่ามากกว่าระยะเวลาของ /l/

#### 3.5.4 เปรียบเทียบความเข้มของเสียงของ /r/ และ /l/

จากการเปรียบเทียบพบว่า ความเข้มของ /r/ มีค่าสูงกว่าความเข้มของเสียงของ /l/ ในทุกปริบททางเสียง (ดูตารางที่ 78 ประกอบ)

ตารางที่ 78      เปรียบเทียบค่าความเข้มของเสียงของ /r/ และ /l/

ค่าความเข้มของเสียงของ /r/ และ /l/				
พยัญชนะ สระรวม	ต้นคำ		ระหว่างสระ	
	r	l	r	l
i:	11.25	8.91	12.41	10.50
a:	12.00	10.66	14.41	12.00
u:	10.50	6.75	10.50	8.33
$\bar{X}$	11.25	8.77	12.44	10.28
สัดส่วน	56.19	43.81	54.75	45.25

#### 4 ลักษณะทางกลศาสตร์ของพยัญชนะเสียดแทรก

จากการศึกษาลักษณะทางกลศาสตร์ของพยัญชนะเสียดแทรกในภาษาไทย

3 หน่วยเสียงคือ พยัญชนะเสียดแทรกฐานริมฝีปาก /f/ ฐานปุ่มเหงือก /s/ และฐานช่องเส้นเสียง /h/ พบลักษณะที่น่าสนใจดังนี้

##### 4.1 ลักษณะทั่ว ๆ ไปของพยัญชนะเสียดแทรก

##### 4.1.1 พิธีการกำทอนและระดับความถี่กำทอน (ค่า R)

เสียงพยัญชนะเสียดแทรกเกิดจากการกำทอน ในช่องทางเดินเสียงแคบ ๆ ทำให้มีลักษณะทางกลเป็นคลื่นเสียงซ้ำ (Noise) ซึ่งเป็นคลื่นเสียงประเภทที่ไม่มีการสั่นอย่างมีจังหวะ (aperiodic wave form) ปรากฏเป็นภาพสัญญาณที่แสดงว่ามีพิธีการกำทอนเป็นช่วงกว้าง ตามแกนความถี่ และในพิธีการกำทอนนี้ ปรากฏมีภาพสัญญาณของบริเวณความถี่กำทอนที่มีความเข้มสูงปรากฏอยู่ (ดูภาพคลื่นเสียงพยัญชนะเสียดแทรกในภาคผนวก หน้า 321- 355) ซึ่งจุดกึ่งกลางของบริเวณความถี่กำทอนดังกล่าวนี้จะมีระดับความถี่กำทอน (ในที่นี้เรียกย่อ ๆ ว่า ค่า R มาจากคำว่า Resonant frequency) สูงหรือต่ำขึ้นอยู่กับขนาดของช่องกำทอนหน้าจุกกักกัน ภายในช่องทางเดินเสียง และจากการศึกษาผู้วิจัยพบว่า ทั้งพิธีการกำทอน และบริเวณความถี่กำทอน กำทอนของพยัญชนะเสียดแทรก แต่ละหน่วยมีความแตกต่างกัน โดย /f/ จะมีพิธีการกำทอนกว้างกว่าพยัญชนะเสียดแทรกหน่วยอื่น ๆ คือ ครอบคลุมตั้งแต่ 100 เฮิรตซ์ขึ้นไปถึง 8000 เฮิรตซ์\* /s/ มีพิธีการกำทอนครอบคลุมตั้งแต่ 4000-5000 เฮิรตซ์ขึ้นไปถึง 8000 เฮิรตซ์ ส่วน /h/ มีพิธีการกำทอนอยู่ในช่วง 80 เฮิรตซ์ ขึ้นไปถึง 5000 เฮิรตซ์ โดยทั่วไปอาจกล่าวได้ว่า พิธีการกำทอน และบริเวณความถี่กำทอนของพยัญชนะแต่ละหน่วยมีการแปรไปเมื่อพยัญชนะนั้นปรากฏในบริบททางเสียงต่าง ๆ ซึ่งจะได้อธิบายถึงโดยละเอียดต่อไป

---

\*ในการวิจัยนี้ได้กำหนดให้เครื่อง Sound Spectrograph วิเคราะห์ถึงระดับความถี่ที่ 8000 เฮิรตซ์ เท่านั้น

#### 4.1.2 ระยะเวลาของพยัญชนะ เสียงคแทรก

จากการศึกษาพบว่าระยะเวลาของพยัญชนะ เสียงคแทรก แต่ละหน่วยมีการแปรไป เมื่อพยัญชนะดังกล่าวปรากฏในบริบททางเสียงต่าง ๆ ซึ่งจะได้กล่าวถึงโดยละเอียดต่อไป

#### 4.1.3 ความเข้มของเสียงของพยัญชนะ เสียงคแทรก

จากการศึกษาค่าความ เข้มของ เสียงพยัญชนะ เสียงคแทรก แต่ละหน่วย พบว่ามีการแปรไป เมื่อพยัญชนะเหล่านี้ ปรากฏในบริบททาง เสียงต่าง ๆ ซึ่งจะได้กล่าวถึงโดยละเอียดต่อไป

### 4.2 ลักษณะทางกลศาสตร์ของ /f/

#### 4.2.1 ค่า R และพิสัยการกำทอนของ /f/

พิสัยการกำทอนของ /f/ มีความกว้างกว่า พิสัยการกำทอนของพยัญชนะ เสียงคแทรกอื่น และในภาพคลื่นเสียงไม่ปรากฏบริเวณความถี่กำทอนที่มีความเข้มของเสียงสูงชัดเจนนัก ซึ่งต่างกับพยัญชนะ เสียงคแทรกเสียงอื่นที่ปรากฏบริเวณความถี่กำทอนมีความ เข้มสูงค่อนข้างชัดเจน จากการศึกษพบว่า พิสัยการกำทอนของ /f/ มีการแปรเมื่อ /f/ ปรากฏในบริบททางเสียงต่าง ๆ ดังนี้ (ดูตารางที่ 79 ประกอบ)

ตารางที่ 79 พิสัยการกำทอนของ /f/ เมื่อปรากฏในบริบททางเสียงต่าง ๆ

พิสัยการกำทอนของ /f/ (หน่วย : เฮิรตซ์)						
ตำแหน่ง สระร่วม	ระหว่างสระ		ต้นคำ		X	สัดส่วน
i:	1796 - 8000	6204	1608 - 8000	6392	6298	31.41
a:	1458 - 8000	6542	1242 - 8000	6758	6650	33.17
u:	842 - 8000	7158	958 - 8000	7042	7100	35.41
$\bar{X}$		6635		6731		
สัดส่วน		49.69		50.53		

ก. เมื่อ /f/ ปรากฏร่วมกับสระต่าง ๆ กัน พบว่า พิสัยการกำทอนของ /f/ มีค่าแปรจากแคบมากกว้าง เมื่อปรากฏร่วมกับสระ /i:/ /a:/ และ /u:/ ตามลำดับ

ข. เมื่อ /f/ ปรากฏในตำแหน่งต่าง ๆ ในคำทดสอบ พบว่า พิสัยการกำทอนของ /f/ ที่ปรากฏระหว่างสระ แคบกว่าพิสัยของ /f/ ที่ปรากฏต้นคำ เว้นแต่เมื่อปรากฏร่วมกับสระ /u:/ พิสัยการกำทอนกว้างกว่า /f/ ที่ปรากฏต้นคำ



#### 4.2.2 ระยะเวลาของ /f/

ค่าระยะเวลาของ /f/ เมื่อปรากฏในบริบททางเสียง

ต่าง ๆ กัน พบว่า มีรายละเอียด ดังนี้ (ดูตารางที่ 80 ประกอบ)

ตารางที่ 80 ค่าระยะเวลาของ /f/ เมื่อปรากฏในบริบททางเสียงต่าง ๆ

ตำแหน่ง สระรวม		ค่า ระยะเวลาของ /f/ (หน่วย : มิลลิวินาที)									
		ระหว่างสระ				ต้นคำ					
	ระยะ คงที่	ระยะF-Trans		รวม	ระยะ คงที่	ระยะ F-Trans	รวม	ระยะคงที่		รวมF-Trans	
		Pre-C	Post-C					$\bar{X}$	สัดส่วน	$\bar{X}$	สัดส่วน
i:	117	84	84	285	93	99	192	105	34.43	239	38.86
a:	103	84	84	271	94	94	188	99	32.46	230	37.40
u:	105	30	30	165	96	30	126	101	33.11	146	23.74
$\bar{X}$	108			240	94		169				
สัดส่วน	53.47			58.68	46.56		41.32				

ก. เมื่อ /f/ ปรากฏร่วมกับสระต่าง ๆ กัน พบว่าพบว่าระยะเวลาของ /f/ (ระยะคงที่) มีค่าใกล้เคียงกันมาก แต่เมื่อพิจารณาระยะเวลารวมระยะ F-Trans พบว่าระยะเวลาของ /f/ ที่ปรากฏร่วมกับสระ /i:/ และ /a:/ มีค่าใกล้เคียงกัน ส่วน /f/ ที่ปรากฏร่วมกับสระ /u:/ มีค่ามีค่าระยะเวลาต่ำกว่าเห็นได้จากสัดส่วนของ  $\bar{X}$

ข. เมื่อ /f/ ปรากฏในตำแหน่งระหว่างสระ และต้นคำทดสอบ พบว่า ระยะของ /f/ ทั้งที่รวมและไม่รวมระยะเวลาของ F-Trans เข้าด้วยกัน /f/ ที่ปรากฏระหว่างสระ มีค่าระยะเวลาสูงกว่า /f/ ที่ปรากฏต้นคำ

#### 4.2.3 ความเข้มของเสียงของ /f/

ค่าความเข้มของเสียงของ /f/ เมื่อปรากฏในปริบททางเสียงต่าง ๆ พบว่ามีการแปรดังนี้ (ดูตารางที่ 81 ประกอบ)

ตารางที่ 81 ค่าความเข้มของเสียงของ /f/ เมื่อปรากฏในปริบททางเสียงต่าง ๆ

ความเข้มของเสียงของ /f/ (หน่วย : เดซิเบล)				
ตำแหน่งสระร่วม	ระหว่างสระ	ต้นคำ	$\bar{X}$	สัดส่วน
u:	3.91	3.37	3.64	38.48
i:	3.66	3.25	3.45	36.47
a:	2.66	2.08	2.37	25.05
$\bar{X}$	3.41	2.90		
สัดส่วน	45.04	45.96		

ก. เมื่อ /f/ ปรากฏร่วมกับสระต่าง ๆ กัน พบว่า  
ค่าความเข้มของเสียงแปรจากสูงมาต่ำ เมื่อ /f/ ปรากฏร่วมกับสระ /u:/ /i:/  
และ /a:/ ตามลำดับ

ข. เมื่อ /f/ ปรากฏในตำแหน่งระหว่างสระ มีค่า  
ความเข้มของเสียง สูงกว่า /f/ ที่ปรากฏต้นคำ

#### 4.3 ลักษณะทางกลศาสตร์ของ /s/

##### 4.3.1 พิธีการกำทอนและค่า R ของ /s/

จากการศึกษาพบว่า พิธีการกำทอนและค่า R ของ /s/  
เมื่อปรากฏในบริบททางเสียงต่าง ๆ พบว่ามีการแปร ดังนี้ (ดูตารางที่ 82 ประกอบ)

ตารางที่ ๘๒ พัลัยการกำทอนและค่า R ของ /s/ เมื่อปรากฏในบริบททางเสียงต่าง ๆ

พัลัยการกำทอนและค่า R ของ /s/ (หน่วย : เฮิรตซ์)										
	ต้นคำ			ระหว่างสระ						
ตำแหน่ง สระรวม	พัลัย		ค่า R	พัลัย		ค่า R	พัลัย		ค่า R	
	$\bar{X}$	สัดส่วน		$\bar{X}$	สัดส่วน		$\bar{X}$	สัดส่วน	$\bar{X}$	สัดส่วน
i:	4300 - 8000	3700	5658	4308 - 8000	3692	5625	3696	29.64	5642	34.75
a:	3950 - 8000	4050	5617	3900 - 8000	4100	5590	4075	32.68	5604	34.52
u:	3300 - 8000	4700	5012	3300 - 8000	4700	4967	4700	37.68	4990	30.73
$\bar{X}$		4150	5429		4164	5394				
สัดส่วน		49.91	50.16		50.09	49.84				

ก. เมื่อ /s/ ปรากฏร่วมกับสระต่าง ๆ กัน พัลัยการกำทอน มีคิัลัยแปรจากแคบมากว้าง เมื่อ /s/ ปรากฏร่วมกับสระ /i:/ /a:/ และ /u:/ ตามลำดับ ส่วนค่า R มีค่าแปรจากสูงมาต่ำเมื่อ /s/ ปรากฏร่วมกับสระ /i:/ /a:/ และ /u:/ ตามลำดับ

ข. เมื่อ /s/ ปรากฏในตำแหน่งต้นคำทดสอบและระหว่างสระ พบว่า พัลัยของการกำทอน และค่า R ของ /s/ มีค่าใกล้เคียงกันมากคือมีสัดส่วนของพัลัยการกำทอน 49.91 : 50.09 และสัดส่วนของค่า R เท่ากับ 50.16 : 49.84

#### 4.3.2 ระยะเวลาของ /s/

ระยะเวลาของ /s/ เมื่อปรากฏในบริบทของเสียงต่าง ๆ พบว่ามีค่าเป็นดังนี้ (ดูตารางที่ 83 ประกอบ)

ตารางที่ ๘๓ ค่าระยะเวลาของ /s/ เมื่อปรากฏในบริบทเสียงต่าง ๆ

ค่าระยะเวลาของ /s/ (หน่วย : มิลลิวินาที)											
ตำแหน่ง สระรวม	ระหว่างสระ				ต้นคำ						
	ระยะ คงที่	ระยะF-Trans		รวม	ระยะ คงที่	ระยะ F-Trans	รวม	ระยะคงที่		รวมF-Trans	
		Pre-C	Post-s					$\bar{X}$	สัดส่วน	$\bar{X}$	สัดส่วน
u:	112	90	90	286	104	94	206	108	34.07	246	34.08
i:	108	82	92	278	106	86	194	107	33.75	236	33.38
a:	108	84	78	258	96	84	192	102	32.18	225	31.82
$\bar{X}$	109			274	102		197				
สัดส่วน	51.66			58.17	48.34		41.83				

ก. เมื่อ /s/ ปรากฏร่วมกับสระต่าง ๆ กัน พบว่า ระยะเวลาของ /s/ ทั้งที่รวมและไม่รวมระยะเวลาของ F-Trans มีค่าแปรจากสูงมาต่ำ เมื่อปรากฏร่วมกับสระ /u:/ /i:/ และ /a:/ ตามลำดับ

ข. เมื่อ /s/ ปรากฏในตำแหน่งต่าง ๆ พบว่า ระยะเวลาของ /s/ ทั้งที่รวมและไม่รวมระยะเวลาของ F-Trans เข้าด้วยกัน /s/ ที่ปรากฏระหว่างสระ มีค่าสูงกว่าระยะเวลาของ /s/ ที่ปรากฏต้นคำทดสอบ

#### 4.3.4 ความเข้มของเสียงของ /s/

ค่าความเข้มของเสียงของ /s/ เมื่อปรากฏในบริบททางเสียงต่าง ๆ มีการแปร ดังนี้ (ดูตารางที่ 84 ประกอบ)

ตารางที่ 84 ค่าความเข้มของเสียงของ /s/ เมื่อปรากฏในบริบททางเสียงต่าง ๆ

ความเข้มของเสียงของ /s/ (หน่วย : เดซิเบล)				
ตำแหน่งสระร่วม	ระหว่างสระ	ต้นคำ	$\bar{X}$	สัดส่วน
a:	7.50	5.83	6.66	37.10
u:	7.00	5.58	6.29	35.04
i:	5.75	4.25	5.00	27.86
$\bar{X}$	6.75	5.22		
สัดส่วน	56.39	43.61		



ก. เมื่อ /s/ ปรากฏร่วมกับสระต่าง ๆ ค่าความเข้มของเสียง /s/ แปรจากสูงมาต่ำเมื่อปรากฏร่วมกับสระ /a:/ /u:/ และ /i:/ ตามลำดับ

ข. เมื่อ /s/ ปรากฏในตำแหน่งระหว่างสระ มีค่าความเข้มของเสียงสูงกว่า /s/ ที่ปรากฏต้นคำทดสอบ

#### 4.4 ลักษณะทางกลศาสตร์ของ /h/

##### 4.4.1 พิสัยการกำทอนและค่าR ของ /h/

จากการศึกษาพบว่า พิสัยการกำทอนและค่าR ของ /h/ เมื่อปรากฏในบริบทของเสียงต่าง ๆ มีการแปรดังนี้ (ดูตารางที่ 85 ประกอบ)

ตารางที่ 85 พัลัยการกำทอนและค่า R ของ /h/

พัลัยการกำทอน และค่า R ของ /h/ (หน่วย : เฮิรตซ์)										
ตำแหน่ง สระรวม	ระหว่างสระ			ต้นคำ			พัลัย		ค่า R	
	พัลัย		ค่า R	พัลัย		ค่า R	$\bar{X}$		$\bar{X}$	
i:	2096 - 6050	3954	3150	2250 - 6000	3750	3159	3852	36.59	3154	60.97
a:	325 - 6079	5754	1500	317 - 5867	5550	1491	5652	5369	1496	28.92
u:	80 - 1133	1053	525	80 - 1075	995	521	1024	9.72	523	10.11
$\bar{X}$		3587	1725		3432	1724				
สัดส่วน		51.10	50.00		48.90	50.00				

ก. เมื่อ /h/ ปรากฏร่วมกับสระต่าง ๆ กันพบว่า คำ ของ /h/ มีค่าแปรจากสูงมาต่ำ เมื่อปรากฏร่วมกับสระ /i:/ /a:/ และ /u:/ ตามลำดับ ส่วนพิสัยการกำทอนนั้นแปรจากกว้างมาแคบเมื่อ /h/ ปรากฏร่วมกับสระ /a:/ /i:/ และ /u:/ ตามลำดับ

ข. เมื่อ /h/ ปรากฏในตำแหน่งต่างกันในคำทดสอบพบว่า ค่า R ของ /h/ ที่ปรากฏระหว่างสระมีค่าใกล้เคียงกันกับค่า R ของ /h/ ที่ปรากฏต้นคำทดสอบ แต่พิสัยการกำทอนของ /h/ ที่ปรากฏตรงกลางระหว่างสระ มีพิสัยกว้างกว่า /h/ ที่ปรากฏต้นคำทดสอบ

#### 4.4.2 ระยะเวลาของ /h/

ค่าระยะเวลาของ /h/ เมื่อปรากฏในบริบททางเสียงต่าง ๆ มีการแปร ดังนี้ (ดูตารางที่ 86 ประกอบ)

ตารางที่ ๘๔ ค่าระยะเวลาของ /h/ เมื่อปรากฏในบริบททางเสียงต่าง ๆ

ค่าระยะเวลาของ /h/ (หน่วย : มิลลิวินาที)									
ตำแหน่ง สระรวม	ระหว่างสระ				คั่นคำ				
	ระยะ คงที่	ระยะ F-Trans		รวม	ระยะ คงที่	ระยะ F-Trans	รวม	ระยะคงที่	
	Pre-C	Post-C			F-Trans	$\bar{X}$		สัดส่วน	
i:	111	*	-	111	84	-	84	98	34.03
a:	101	-	-	101	84	-	84	93	32.29
u:	108	-	-	108	85	-	85	97	33.68
$\bar{X}$				107			84		
สัดส่วน				56.02			43.98		

\* ไม่ปรากฏระยะที่เป็น F-Trans

ก. เมื่อ /h/ ปรากฏร่วมกับสระต่าง ๆ กันพบว่า  
ระยะเวลาของ /h/ มีค่าใกล้เคียงกัน

ข. เมื่อ /h/ ที่ปรากฏตรงกลางระหว่างสระมีค่า  
ระยะเวลาสูงกว่า /h/ ที่ปรากฏต้นคำทดสอบ

#### 4.4.3 ความเข้มของเสียงของ /h/

ค่าความเข้มของเสียง /h/ เมื่อปรากฏในบริบท  
ทางเสียงต่าง ๆ มีการแปรดังนี้ (ดูตารางที่ 87 ประกอบ)

ตารางที่ 87 ค่าความเข้มของเสียงของ /h/ เมื่อปรากฏในบริบททางเสียงต่าง ๆ

ค่าความเข้มของเสียงของ /h/ (หน่วย : เดซิเบล)				
ตำแหน่ง สระรวม	ระหว่างสระ	ต้นคำ	$\bar{X}$	สัดส่วน
a:	7.16	4.25	5.70	45.31
i:	5.58	2.66	4.12	32.75
u:	3.66	1.87	2.76	21.94
$\bar{X}$	5.47	2.92		
สัดส่วน	65.20	34.80		

ก. เมื่อ /h/ ปรากฏร่วมกับสระต่าง ๆ กัน พบว่า  
ค่าความเข้มของเสียง แปรจากสูงมาต่ำเมื่อ /h/ ปรากฏร่วมกับสระ /a:/ /i:/  
และ /ɛ:/ ตามลำดับ

ข. เมื่อ /h/ ปรากฏตรงกลางระหว่างสระมีค่าความเข้ม  
ของเสียงสูงกว่า /h/ ที่ปรากฏต้นคำทดสอบ

#### 4.5 เปรียบเทียบลักษณะการแปรทางกลศาสตร์ของพยัญชนะ เสียงดแทรก ทั้ง 3 หน่วย

4.5.1 ลักษณะการแปรของพินัยการกำทอนและความถี่กำทอนของ  
/f/ /s/ /h/

ลักษณะการแปรเป็นดังนี้ (ดูตารางที่ 88 ประกอบ)

ตารางที่ ๘๘ พัลัยการกำหนดและค่า R ของพยัญชนะเสียดแทรก

/t/								
ตำแหน่ง สระรวม	ต้นคำ		ระหว่างสระ		พยัญ		ค่า R*	
	พยัญ	ค่า R	พยัญ	ค่า R	$\bar{X}$	สัดส่วน	$\bar{X}$	สัดส่วน
i:	6392	-	6204	-	6298	31.41	-	-
๘:	6758	-	6542	-	6650	33.17	-	-
u:	7042	-	7158	-	7100	35.42	-	-
$\bar{X}$	6731	-	6635	-				
สัดส่วน	50.35	-	49.65	-				

/s/								
ตำแหน่ง สระรวม	ต้นคำ		ระหว่างสระ		พยัญ		ค่า R	
	พยัญ	ค่า R	พยัญ	ค่า R	$\bar{X}$	สัดส่วน	$\bar{X}$	สัดส่วน
i:	3700	5658	3692	5625	3696	29.64	5642	34.75
๘:	4050	5617	4100	5590	4075	32.68	5504	34.52
u:	4700	5012	4700	4967	4700	37.68	4990	30.73
$\bar{X}$	4150	5429	4164	5394				
สัดส่วน	49.92	50.16	50.08	49.84				

/h/								
ตำแหน่ง สระรวม	ต้นคำ		ระหว่าง		พยัญ		ค่า R	
	พยัญ	ค่า R	พยัญ	ค่า R	$\bar{X}$	สัดส่วน	$\bar{X}$	สัดส่วน
i:	3750	3158	3954	3150	3852	36.59	3154	60.97
๘:	5550	1491	5754	1500	5652	53.69	1496	28.92
u:	995	521	1053	552	1024	9.72	523	10.11
$\bar{X}$	3432	1724	3537	1725				
สัดส่วน	48.90	50.00	51.10	50.00				

\*

ก. เมื่อปรากฏร่วมกับสระต่าง ๆ พัลัยการกำทอน และค่า R ของ /f/ /s/ /h/ มีลักษณะการแปรคล้ายกันคือ มีพัลัยจากแคบ ากกว้าง และค่า R แปรจากสูงมาต่ำ เมื่อพยัญชนะเหล่านี้ปรากฏร่วมกับสระ /i:/ /a:/ และ /u:/ ตามลำดับ

ข. เมื่อปรากฏในตำแหน่งต่าง ๆ ในคำทดสอบ พัลัยการกำทอนของ /s/ และ /h/ มีลักษณะการแปรคล้ายกันคือ พัลัยการกำทอน ของ /s/ และ /h/ ที่ปรากฏตรงกลางระหว่างสระมีพัลัยกว้างกว่า /s/ และ /h/ ที่ปรากฏต้นคำทดสอบ ส่วนพัลัยการกำทอนของ /f/ เมื่อปรากฏระหว่างสระ มีพัลัยแคบกว่า /f/ ที่ปรากฏต้นคำ เว้นแต่เมื่อปรากฏระหว่างสระ /u:/ พัลัย การกำทอนจะกว้างกว่าพัลัยของ /f/ ในตำแหน่งต้นคำ

สำหรับค่า R ของ /s/ และ /h/ มีลักษณะการแปรต่างกันคือ ค่า R ของ /s/ ในตำแหน่งต้นคำมีค่าสูงกว่า /s/ ในตำแหน่ง ระหว่างสระ แต่ค่า R ของ /h/ ในตำแหน่งต้นคำ มีค่าต่ำกว่าค่า R ของ /h/ ในตำแหน่งระหว่างสระ

#### 4.5.2 เปรียบเทียบลักษณะการแปรของระยะเวลาของ /f/ /s/ และ /h/

ระยะเวลาของพยัญชนะทั้ง 3 หน่วยมีลักษณะการแปรดังนี้

(ดูตารางที่ 89 ประกอบ)



ตารางที่ 89 ค่าระยะเวลาของพยักขณะเสียดแทรก

		/t/											
ค่าขณะ สภาวะ	ค่าขณะ สภาวะ	ระหว่างสภาวะ				ต้นค่า							
		ระยะ คงที่	ระยะP-Trans		รวม	ระยะ คงที่	ระยะ P-Trans	รวม	ระยะคงที่		รวมP-Trans		
		Pre-C	Post-C						$\bar{X}$	สัดส่วน	$\bar{X}$	สัดส่วน	
i:		117	84	84	285	93	94	187	105	34.43	239	38.86	
๓:		103	84	84	271	94	99	193	99	32.46	230	37.40	
๒:		105	30	30	165	96	30	126	101	33.11	146	23.74	
$\bar{X}$		108			240	94		169					
สัดส่วน		53.47			58.68	46.53		41.32					
		/s/											
ค่าขณะ สภาวะ	ค่าขณะ สภาวะ	ระหว่างสภาวะ				ต้นค่า							
		ระยะ คงที่	ระยะP-Trans		รวม	ระยะ คงที่	ระยะ P-Trans	รวม	ระยะคงที่		รวมP-Trans		
		Pre-C	Post-C						$\bar{X}$	สัดส่วน	$\bar{X}$	สัดส่วน	
i:		108	82	92	278	106	86	194	107	33.75	236	33.38	
๓:		108	84	78	258	96	84	192	102	32.18	225	31.82	
๒:		112	90	90	86	104	94	206	108	34.07	246	34.80	
$\bar{X}$		109			274	102		197					
สัดส่วน		51.66			58.17	48.34		41.83					
		/h/											
ค่าขณะ สภาวะ	ค่าขณะ สภาวะ	ระหว่างสภาวะ				ต้นค่า							
		ระยะ คงที่	ระยะP-Trans		รวม	ระยะ คงที่	ระยะ P-Trans	รวม	ระยะคงที่		รวมP-Trans		
		Pre-C	Post-C						$\bar{X}$	สัดส่วน	$\bar{X}$	สัดส่วน	
i:		111	-	-	111	84	-	84	98	34.03	-	-	
๓:		101	-	-	101	86	-	86	93	32.29	-	-	
๒:		108	-	-	108	85	-	85	97	33.68	-	-	
$\bar{X}$		107			107	84		84					
สัดส่วน					56.02			43.98					

ก. เมื่อ /f/ /s/ และ /h/ ปรากฏร่วมกับสระต่าง ๆ นั้น ระยะเวลาของพยัญชนะแต่ละหน่วยมีค่าระยะเวลาใกล้เคียงกันไม่ว่าปรากฏร่วมกับสระใด (ดูสัดส่วนของ  $\bar{X}$  และระยะคงที่ในตารางที่ 89 ประกอบ)

ข. เมื่อรวมระยะเวลาของ F-Trans เข้าด้วยแล้วพบว่า ระยะเวลาของ /f/ มีค่าแปรจากสูงมาต่ำเมื่อปรากฏร่วมกับสระ /i:/ /a:/ และ /u:/ ตามลำดับ แต่ระยะของ /s/ มีค่าแปรจากสูงมาต่ำ เมื่อ /s/ ปรากฏร่วมกับสระ /u:/ /i:/ และ /a:/ ตามลำดับ (ดูสัดส่วนของ  $\bar{X}$  ของระยะเวลารวม F-Trans. ในตารางที่ 61 ประกอบ) ส่วนระยะเวลาของ /h/ มีค่าใกล้เคียงกันเนื่องจากไม่มีระยะ F-Trans

ค. เมื่อปรากฏในตำแหน่งต่าง ๆ ในคำทดสอบพบว่า ระยะเวลาของพยัญชนะทั้ง 3 หน่วยมีลักษณะการแปรคล้ายกันคือ /f/ /s/ และ /h/ ที่ปรากฏระหว่างสระ มีค่าระยะเวลาสูงกว่า /f/ /s/ และ /h/ ที่ปรากฏต้นคำทดสอบ

#### 4.5.3 เปรียบเทียบลักษณะการแปรของค่าความเข้มของเสียง

/f/ /s/ และ /h/

ค่าความเข้มของเสียง /f/ /s/ และ /h/ มีลักษณะการแปรแตกต่างกันดังนี้ (ดูตารางที่ 90 ประกอบ)

ตารางที่ 90 ค่าความเข้มของเสียงของพยัญชนะเสียดแทรก

ความเข้มของเสียงของ /f/ /s/ และ /h/ (หน่วย : เดซิเบล)														
f			s			h			f		s		h	
ตำแหน่ง สระรวม	ระหว่าง สระ	ต้นคำ	ตำแหน่ง สระรวม	ระหว่าง สระ	ต้นคำ	ตำแหน่ง สระรวม	ระหว่าง สระ	ต้นคำ	$\bar{X}$	สัดส่วน	$\bar{X}$	สัดส่วน	$\bar{X}$	สัดส่วน
u:	3.91	3.37	a:	7.50	5.83	a:	7.16	4.25	3.64	38.48	6.66	37.10	5.70	45.31
i:	3.66	3.25	u:	7.00	5.58	i:	5.58	2.66	3.45	36.47	6.29	35.04	4.12	32.75
a:	2.66	2.08	i:	5.75	4.25	u:	3.66	1.87	2.37	25.05	5.00	27.86	2.76	21.94
$\bar{X}$	3.41	2.90		6.75	5.22		5.47	2.92						
สัดส่วน	54.04	45.96		56.39	43.61		65.20	34.80						



ก. เมื่อ /f/ /s/ และ /h/ ปรากฏร่วมกับ

สระต่าง ๆ พบว่า ค่าความเข้มของเสียงมีลักษณะการแปรแตกต่างกันคือ

- ความเข้มของเสียง /f/ มีค่าแปรจากสูงมาต่ำ

เมื่อ /f/ ปรากฏร่วมกับ /u:/ /i:/ และ /a:/ ตามลำดับ

- ความเข้มของเสียงของ /s/ มีค่าแปรจากสูงมาต่ำ

เมื่อปรากฏร่วมกับสระ /a:/ /u:/ และ /i:/ ตามลำดับ

- ความเข้มของเสียงของ /h/ มีค่าแปรจากสูงมาต่ำ

เมื่อ /h/ ปรากฏร่วมกับสระ /a:/ /i:/ และ /u:/ ตามลำดับ

ข. เมื่อ /f/ /s/ และ /h/ ปรากฏในตำแหน่ง

ต่าง ๆ ในคำทดสอบค่าความเข้มของเสียงมีลักษณะการแปรคล้ายกันคือ พยัญชนะ

ที่ปรากฏระหว่างสระ มีความเข้มของเสียงสูงกว่าพยัญชนะที่ปรากฏต้นคำทดสอบ

#### 4.6 เปรียบเทียบลักษณะทางกลศาสตร์ของพยัญชนะเสียดแทรกทั้ง 3 หน่วย

ในส่วนนี้เป็นการนำเอาค่าทางกลศาสตร์ของพยัญชนะเสียดแทรกแต่ละหน่วย ซึ่งได้กล่าวถึงแล้วใน 4.2, 4.3 และ 4.4 มาเปรียบเทียบกัน เพื่อให้เห็นความเหมือนและความต่าง ระหว่างพยัญชนะเสียดแทรกแต่ละหน่วย ดังต่อไปนี้

##### 4.6.1 เปรียบเทียบพิสัยการกำทอนและค่า R ของพยัญชนะเสียดแทรก

จากการศึกษาพบว่า พิสัยการกำทอน และค่า R บ่งบอกความแตกต่างระหว่าง พยัญชนะเสียดแทรกแต่ละหน่วยได้

4.6.1.1 เปรียบเทียบพัสัยการกำทอนและค่า R

ของพยัญชนะเสียดแทรกเมื่อปรากฏร่วมกับสระ /i:/

พัสัยการกำทอนและค่า R ของพยัญชนะ

เสียดแทรก แยกต่างกัณดังนี้ (ดูตารางที่ 91 ประกอบ)

ตารางที่ 91 พัสัยการกำทอนและค่า R ของพยัญชนะเสียดแทรก เมื่อปรากฏร่วมกับสระ /i:/

		พัสัยการกำทอนค่า R ของ /f/ /s/ /h/ เมื่อปรากฏร่วมกับสระ /i:/						
ตำแหน่ง พยัญชนะ	ต้นคำ		ระหว่างสระ		พัสัย		ค่า R	
	พัสัย	ค่า R	พัสัย	ค่า R	$\bar{X}$	สัดส่วน	$\bar{X}$	สัดส่วน
f	6392		6204		6298	45.49	-	-
s	3700	5658	3692	5625	3696	26.69	5642	64.14
h	3750	3158	3954	3150	3852	27.82	3154	35.86

ก. พยัญชนะเสียดแทรกแต่ละหน่วยมีพัสัยการกำทอน  
กว้างและแคบต่างกันคือ พัสัยการกำทอนของ /f/ กว้างกว่าพัสัยการกำทอน /h/  
และพัสัยการกำทอน /s/ ตามลำดับ

ข. ค่า R ของ /s/ มีค่าสูงกว่า ค่า R ของ /h/  
ส่วนค่า R ของ /f/ ไม่ปรากฏชัดเจน

#### 4.6.1.2 พัสัยการกำทอนและค่า R ของพยัญชนะ

เสียดแทรก เมื่อปรากฏร่วมกับสระ /a:/

พัสัยการกำทอนและค่า R แยกต่างกัสดังนี้

(ดูตารางที่ 92 ประกอบ)

ตารางที่ 92 พัสัยการกำทอนและค่า R ของพยัญชนะเสียดแทรกเมื่อปรากฏร่วมกับสระ /a:/

		พัสัยการกำทอนและค่า R ของ /f/ /s/ /h/ เมื่อปรากฏร่วมกับ /a:/						
ตำแหน่ง พยัญชนะ	ต้นคำ		ระหว่างสระ		พัสัย		ค่า R	
	พัสัย	ค่า R	พัสัย	ค่า R	$\bar{X}$	สัดส่วน	$\bar{X}$	สัดส่วน
f	6758	-	6542	-	6650	4061	-	-
s	4050	5617	4100	5590	4075	24.88	5604	78.94
h	5550	1491	5754	1500	5652	34.51	1495	21.06

ก. พยัญชนะเสียดแทรกแต่ละหน่วยมีพิสัยการกำทอนกว้าง  
แตกต่างกันคือ พิสัยการกำทอนของ /f/ กว้างกว่าพิสัยการกำทอนของ /h/ และ  
/s/ ตามลำดับ

ข. ค่า R ของ /s/ มีค่าสูงกว่า ค่า R ของ /h/  
ส่วน /f/ ไม่ปรากฏค่า R ชัดเจน

4.6.1.3 พิสัยการกำทอน และค่า R ของพยัญชนะ  
เสียดแทรก เมื่อปรากฏร่วมกับสระ /u:/

พิสัยการกำทอนและค่า R แตกต่างกันดังนี้

(ดูตารางที่ 93 ประกอบ)

ตารางที่ 93 พิสัยการกำทอนและค่า R ของพยัญชนะเสียดแทรก เมื่อปรากฏร่วมกับ  
สระ /u:/

		พิสัยการกำทอนและค่าของ /f/ /s/ /h/ เมื่อปรากฏร่วมกับ /u:/						
ตำแหน่ง พยัญชนะ	ต้นคำ		ระหว่างสระ		พิสัย		ค่า R	
	พิสัย	ค่า R	พิสัย	ค่า R	$\bar{X}$	สัดส่วน	$\bar{X}$	สัดส่วน
f	7042	-	7158	-	7100	55.36	-	-
s	4700	5012	4700	4967	4700	36.65	4990	90.51
h	995	521	1053	525	1024	7.99	523	9.49

ก. พยัญชนะเสียดแทรกแต่ละหน่วย มีพัสัยการกำทอนกว้าง  
แตกต่างกันคือ พัสัยการกำทอนของ /f/ กว้างกว่าพัสัยการกำทอนของ /s/  
และ /h/ ตามลำดับ

ข. ค่าR ของ /s/ มีค่าสูงกว่า ค่าR ของ /h/  
ส่วนค่าR ของ /f/ ไม่ปรากฏ

#### 4.6.2 เปรียบเทียบการบิดเบนของ F2-Trans ของพยัญชนะเสียดแทรก

จากการศึกษาการบิดเบนของ F2-Trans พบว่าลักษณะ  
การบิดเบนและพัสัยการบิดเบนของ F2-Trans ของพยัญชนะเสียดแทรกฐานต่างกัน  
มีความแตกต่างกัน ดังจะกล่าวถึงต่อไปนี้

##### 4.6.2.1 การบิดเบนของ F2-Trans ของพยัญชนะ เสียดแทรกเมื่อปรากฏต้นคำ

จากการเปรียบเทียบพบว่า Post-C-F2-Trans  
มีการบิดเบนดังนี้ (ดูตารางที่ 94 ประกอบ)



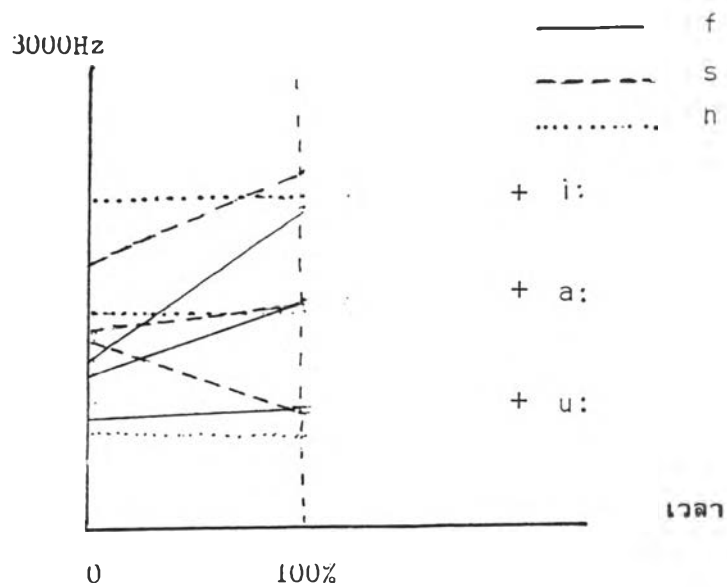
ตารางที่ 94 การบิดเบนของ F2-Trans ของพยัญชนะเสียดแทรก เมื่อปรากฏต้นคำ

		การบิดเบนของ Post-C-F2-Trans ของ /f/ /s/ /h/ (หน่วย : เฮิรตซ์)								
ตำแหน่ง สระรวม	f			s			h			
	จุดเริ่ม	จุดสุดท้าย	พิสัย	จุดเริ่ม	จุดสุดท้าย	พิสัย	จุดเริ่ม	จุดสุดท้าย	พิสัย	
i:	1117	2270	1153	1704	2329	652	2129	2129	-	
a:	996	1446	450	1287	1442	155	1433	1433	-	
u:	758	825	67	1325	725	600	621	621	-	
$\bar{X}$			557			460			-	
สัดส่วน			54.77			45.23			-	

ในปริบทสระ /i:/ และ /a:/ พัลส์การบิดเบนของ F2-Trans ของ /f/ มีพิสัยกว้างกว่า พัลส์การบิดเบนของ F2-Trans ของ /s/ เว้นแต่ในปริบทสระ /u:/ F2-Trans ของ /f/ มีพิสัยแคบกว่า พัลส์การบิดเบนของ F2-Trans ของ /s/

ส่วน F2-Trans ของ /h/ ไม่มีการบิดเบนในทุกปริบทสระ  
ทิศทางการบิดเบนของ F-Trans ดังกล่าวแสดงได้ดังแผนภูมิที่ 9

แผนภูมิที่ 9 ทิศทางการบิดเบนของ F2-Trans ของ /f/ /s/ /h/ เมื่อปรากฏต้นคำ



4.6.2.2 การบิดเบนของ F2-Trans ของพหุคูณชนะ

เสียดแทรกเมื่อปรากฏระหว่างสระ

จากการเปรียบเทียบ พบว่า (ดูตารางที่

๑๕ ประกอบ)

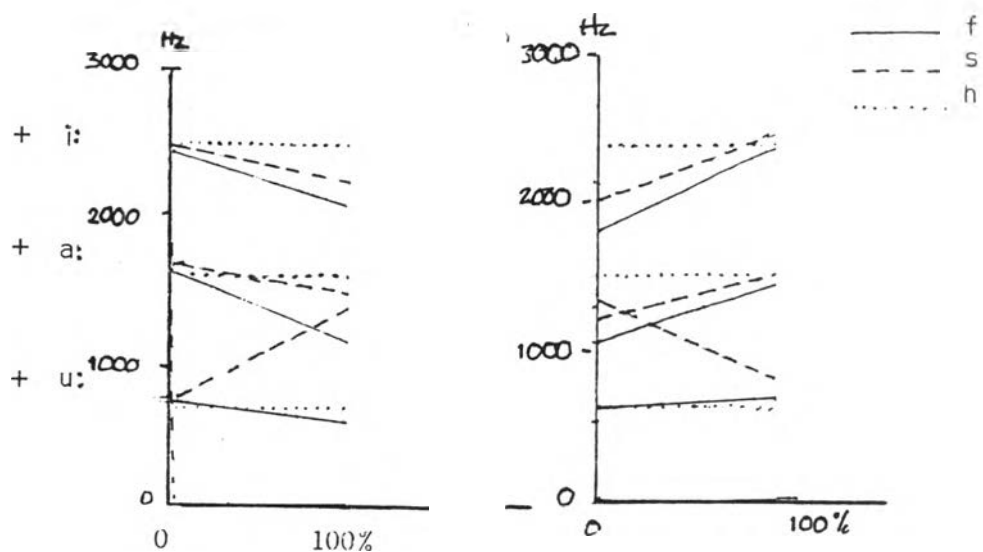
ตารางที่ 95 การปิดเบนของ F2-Trans ของพยัญชนะเสียดแทรกเมื่อปรากฏระหว่างสระ

การปิดเบนของ F2-Trans ของพยัญชนะเสียดแทรกเมื่อปรากฏระหว่างสระ (หน่วย: เฮิรตซ์)																		
พยัญชนะ/ สระ	Pre-C-F2-Trans									Post-C-F2-Trans								
	f			s			h			f			s			h		
	จุดเริ่ม	จุดสุดท้าย	เฉลี่ย	จุดเริ่ม	จุดสุดท้าย	เฉลี่ย	จุดเริ่ม	จุดสุดท้าย	เฉลี่ย	จุดเริ่ม	จุดสุดท้าย	เฉลี่ย	จุดเริ่ม	จุดสุดท้าย	เฉลี่ย	จุดเริ่ม	จุดสุดท้าย	เฉลี่ย
i:	2296	1950	346	2333	2046	287	2267	2267	-	1767	2296	525	1937	2392	455	2267	2267	-
a:	1483	1012	471	1537	1333	204	1446	1446	-	1029	1392	363	1187	1458	271	1446	1446	-
u:	675	633	42	662	1371	709	612	612	-	617	675	58	1325	775	550	612	612	-
$\bar{x}$			286			400			-			315			425			-
ส่วน			41.69			58.31			-			42.57			57.43			

ในปริบทสระ /i:/ และ /a:/ พิสัยการบิดเบนของ /f/ กว้างกว่า  
 พิสัยการบิดเบนของ /s/ เว้นแต่ในปริบทสระ /u:/ F2-trans ของ /f/  
 มีพิสัยการบิดเบนแคบกว่า พิสัยของ /s/ มาก  
 ส่วน F2-Trans ของ /h/ ไม่มีการบิดเบน  
 สำหรับทิศทางการบิดเบนของ F2-Trans แสดงได้ดังแผนภูมิที่ 10

แผนภูมิที่ 10 ทิศทางการบิดเบนของ F2-Trans ของ /f/ /s/ และ /h/

เมื่อปรากฏระหว่างสระ



#### 4.6.3 เปรียบเทียบระยะเวลาของพยัญชนะเสียดแทรกทั้ง 3 หน่วย

ระยะเวลาของ /f/ /s/ /h/ เมื่อปรากฏในบริบททางเสียง  
 เหมือนกัน มีค่าแตกต่างกัน ดังนี้ (ดูตารางที่ 96 ประกอบ)

ตารางที่ 96 เปรียบเทียบระยะเวลาของ /f/ /s/ และ /h/

		เปรียบเทียบระยะเวลาของ /f, s, h/ (หน่วย: เฮิรตซ์)																	
		คนคำ									ระหว่างสระ								
พยัญชนะ สระ	f			s			h			f			s			h			
	ระยะ คงที่	ระยะ F-Trans	รวม	ระยะ คงที่	ระยะ F-Trans	รวม	ระยะ คงที่	ระยะ F-Trans	รวม	ระยะ คงที่	ระยะ F-Trans	รวม	ระยะ คงที่	ระยะ F-Trans	รวม	ระยะ คงที่	ระยะ F-Trans	รวม	
i:	93	94	187	108	86	194	84	-	84	117	168	285	106	180	286	111	-	111	
a:	94	99	193	108	84	192	84	-	84	103	168	271	96	162	258	101	-	101	
u:	96	30	126	112	94	206	85	-	85	105	60	165	112	166	278	108	-	108	
$\bar{x}$	94		169	109		197	84		84	108		240	105		274	107		107	
สัดส่วน	32.75		37.56	37.98		43.78	29.27		18.67	33.75		38.65	32.81		44.12	33.44		17.23	

ก. ในตำแหน่งต้นคำ ระยะคงที่ของ /s/ มีระยะเวลาโดยเฉลี่ยสูงกว่าระยะคงที่ของ /f/ และ /h/ ตามลำดับ และ ระยะเวลารวมระยะ F-Trans ของ /s/ โดยเฉลี่ย มีค่าสูงกว่า ระยะเวลารวมระยะ F-Trans ของ /f/ และ /h/ ด้วย (ดูค่า  $\bar{X}$  ของระยะคงที่ และค่า  $\bar{X}$  ของระยะเวลารวมระยะ F-Trans ในตารางที่ 96 )

ข. ในตำแหน่งระหว่างสระ ระยะคงที่ของ /f/ มีค่าระยะเวลาสูงกว่า ระยะคงที่ของ /h/ และ /s/ ตามลำดับ แต่เมื่อพิจารณาระยะเวลารวมระยะ F-Trans พบว่า ระยะเวลาของ /s/ มีค่าสูงกว่า ระยะเวลารวมระยะ F-Trans ของ /f/ และ /h/ ตามลำดับ (ดูค่า  $\bar{X}$  ของระยะคงที่ และค่า F-Trans ของระยะเวลารวมระยะ F-Trans ในตารางที่ 96 )

#### 4.6.4 เปรียบเทียบค่าความเข้มของเสียงของ /f/ /s/ /h/

จากการเปรียบเทียบค่าความเข้มของเสียงของ /f/

/s/ และ /h/ เมื่อปรากฏในบริบททางเสียงเดียวกัน เป็นดังนี้ (ดูตารางที่ 97 ประกอบ)

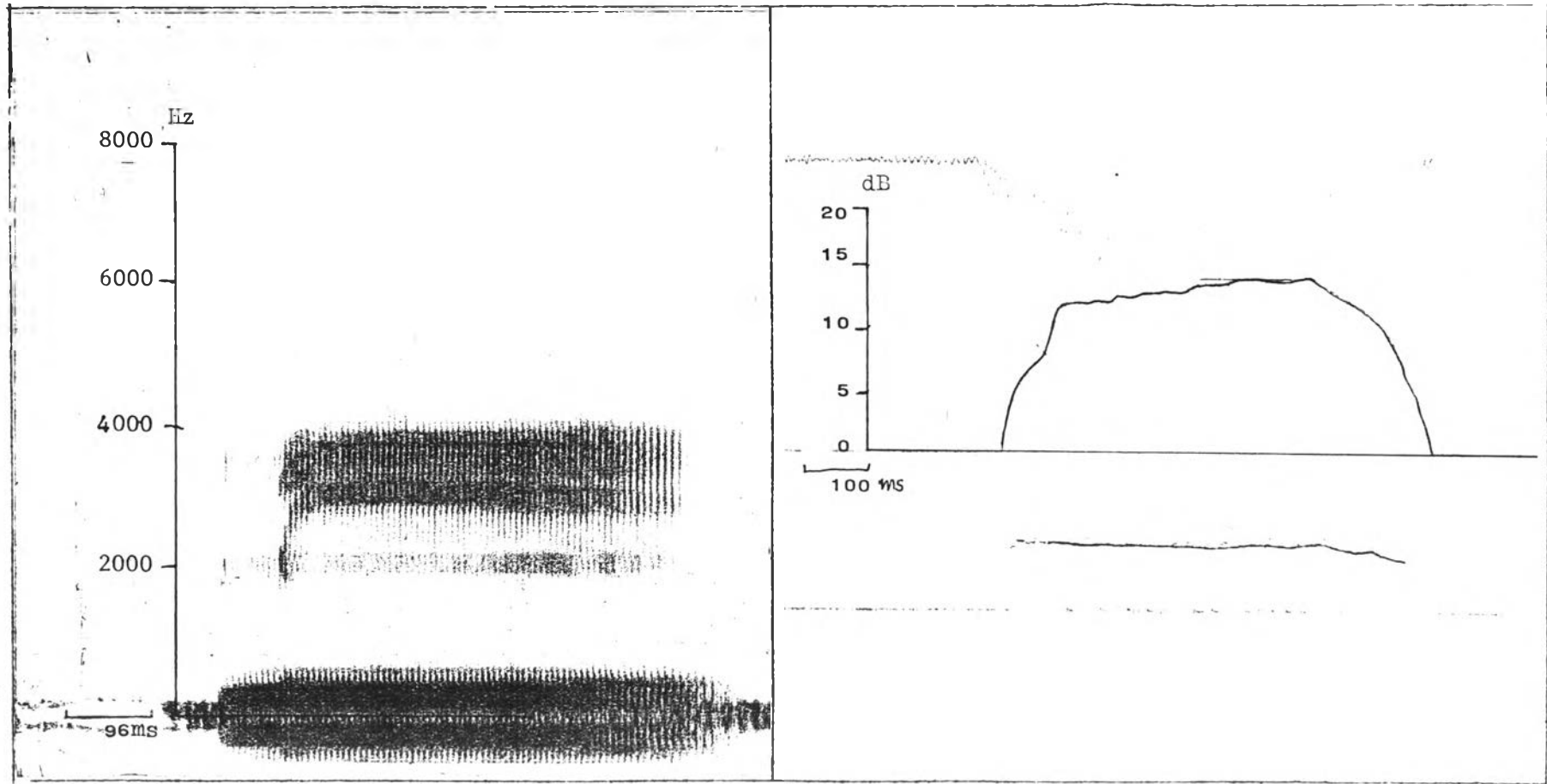
ตารางที่ 97, เปรียบเทียบค่าความเข้มของเสียงของ /f/ /s/ และ /h/

ความเข้มของเสียงของ /f/ /s/ และ /h/ (หน่วย : เดซิเบล)							
		ต้นคำ			ระหว่างสระ		
พยัญชนะ สระรวม	f	s	h	f	s	h	
	i:	3.25	4.25	2.66	3.66	5.75	5.58
a:	2.08	5.83	4.25	2.66	7.50	7.16	
u:	3.37	5.58	1.87	3.91	7.00	3.66	
$\bar{X}$	2.90	5.22	2.93	3.41	6.75	5.47	
สัดส่วน	26.24	47.24	26.52	21.82	43.19	34.99	

ความเข้มของเสียงของพยัญชนะเสียดแทรกแต่ละหน่วย มีความแตกต่างกันโดยไม่มีรูปแบบ แต่จากการเฉลี่ยค่าความเข้มของเสียงของพยัญชนะเสียดแทรกแต่ละหน่วยในบริบท ของสระทั้งสามรวมกัน พบว่าค่าความเข้มของเสียงเฉลี่ยของ /s/ มีค่าสูงกว่า /h/ และ /f/ ตามลำดับ



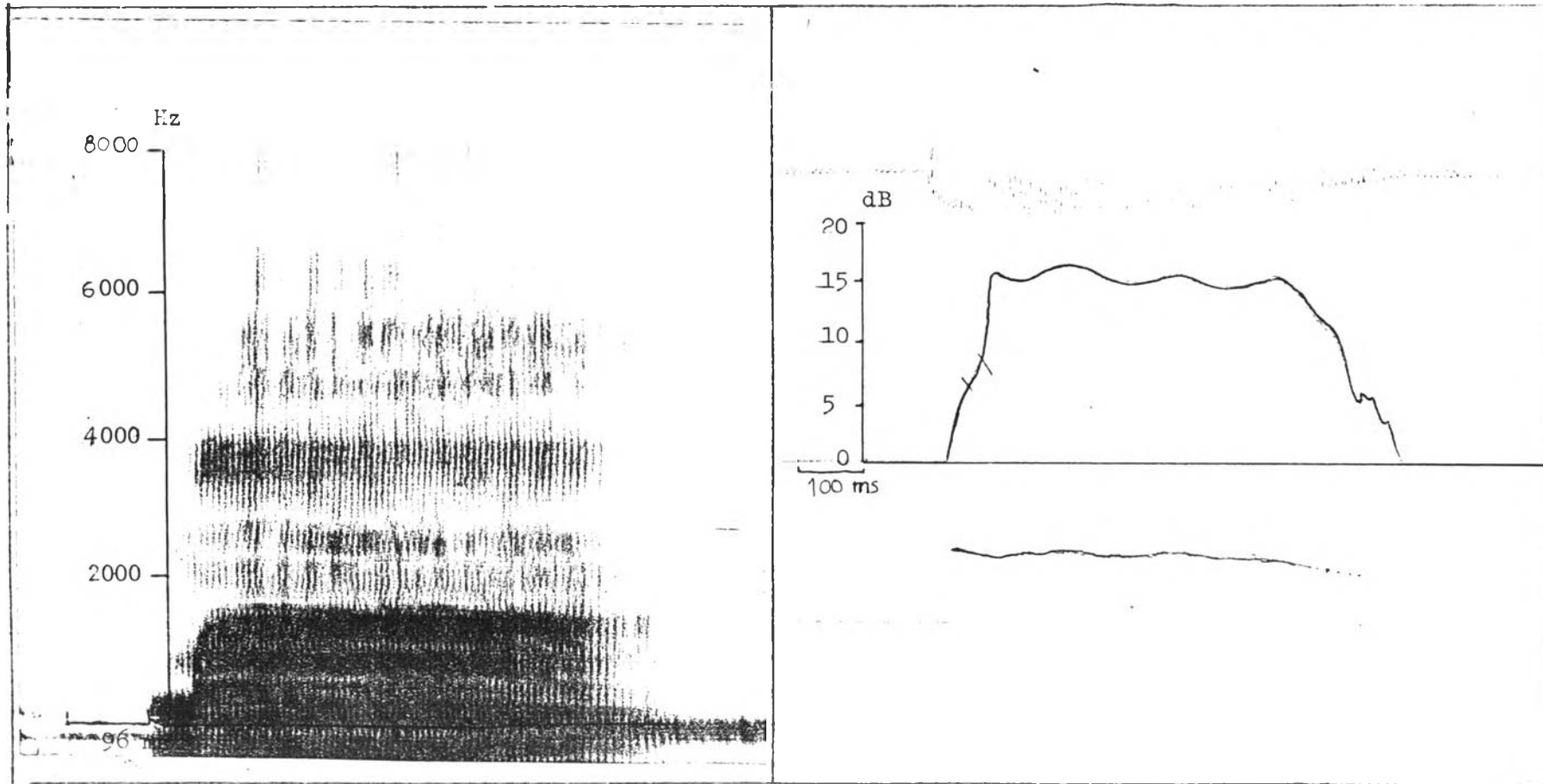
ภาพที่ 24 แผ่นภาพคลื่นเสียง และแผ่นภาพมิงโกแกรมของคำว่า [mi:]



ตารางที่ 98 ค่าทางกลศาสตร์ของ / m / ในคำว่า [mi:]

		ค่า F ของระยะคงที่ของพยัญชนะ (Hz)				
จุดที่		0	25%	50%	75%	100%
ค่า						
F4	$\bar{X}$ :					
	S.D. :					
F3	$\bar{X}$ :	2250	2250	2250	2250	2250
	S.D. :	50.00	50.00	50.00	50.00	50.00
F2	$\bar{X}$ :					
	S.D. :					
F1	$\bar{X}$ :	308	308	308	308	308
	S.D. :	12.90	12.90	12.90	12.90	12.90
		ค่า F ของ Post-C-Trans (Hz)				
F4	$\bar{X}$ :	3592	3808	3883	3920	3929
	S.D. :	106.84	86.12	70.11	67.85	67.85
F3	$\bar{X}$ :	2279	3091	3241	3320	3333
	S.D. :	71.44	87.55	90.36	87.20	93.09
F2	$\bar{X}$ :	2246	2263	2271	2275	2275
	S.D. :	67.85	49.37	51.03	54.77	54.77
F1	$\bar{X}$ :	308	308	308	308	308
	S.D. :	12.90	12.90	12.90	12.90	12.90
		ค่าระยะเวลาของระยะคงที่ (ms)			ค่าระยะเวลาของ F-Trans (ms)	
	$\bar{X}$ :	81			72	
	S.D. :	3.98			14.44	
		ค่าความเข้มของเสียง (dB)				
	$\bar{X}$ :	4.83				
	S.D. :	1.03				

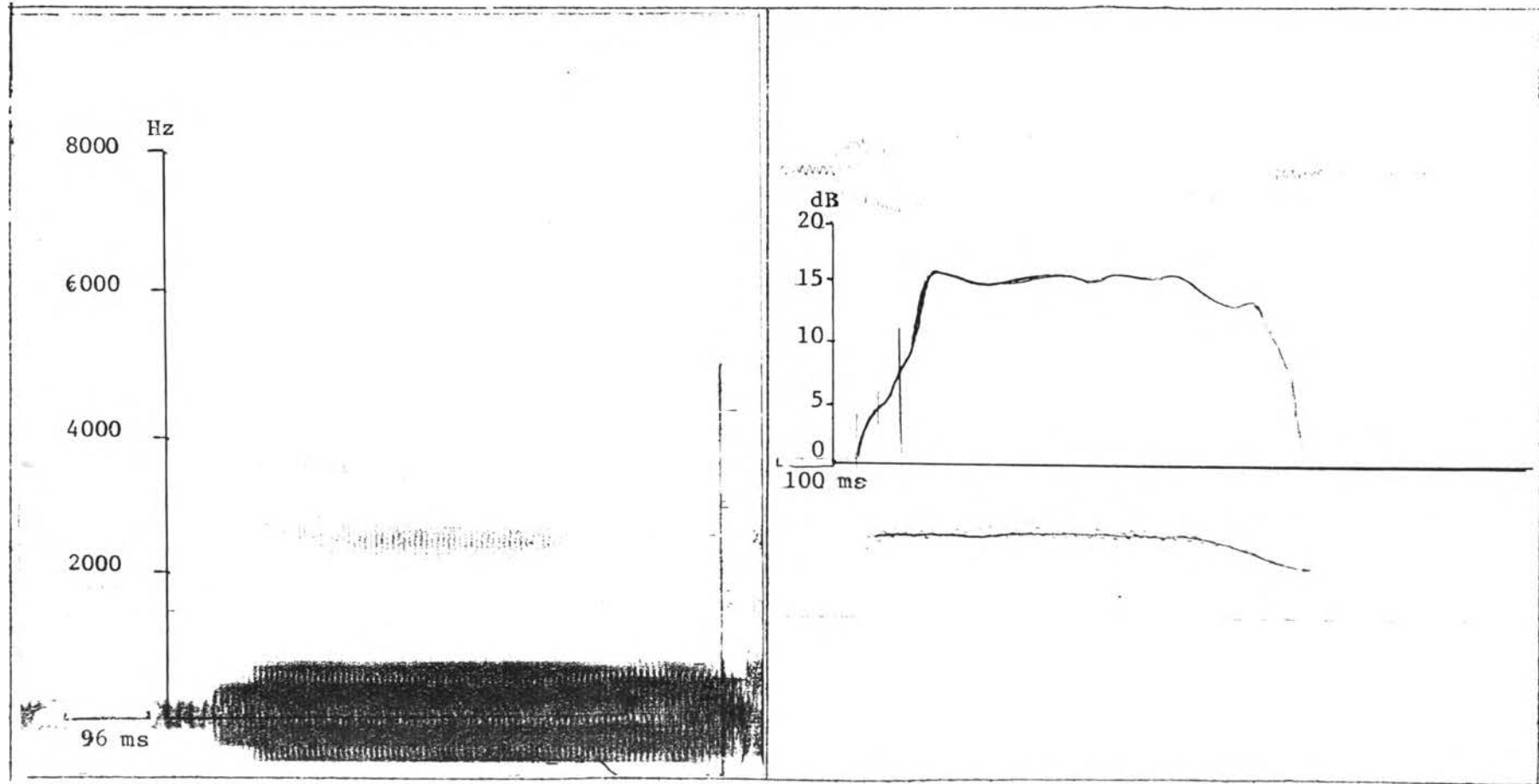
ภาพที่ 25 แม่แบบคลื่นเสียง และแม่แบบมิงโกแกรมของคำว่า [ma:]



ตารางที่ 99 ค่าทางกลศาสตร์ของ / m / ในค่า  $\bar{a}$  [ma:]

		ค่า F ของระยะคงที่ของพยัญชนะ (Hz)				
จุดที่		0	25%	50%	75%	100%
ค่า						
F4	$\bar{F}$ :	3758	3758	3758	3758	3758
	S.D. :	135.70	135.75	135.70	135.75	135.70
F3	$\bar{F}$ :	2750	2750	2750	2750	2750
	S.D. :	50.00	50.00	50.00	50.00	50.00
F2	$\bar{F}$ :					
	S.D. :					
F1	$\bar{F}$ :	321	321	321	321	321
	S.D. :	33.22	33.22	33.22	33.22	33.22
		ค่า F ของ Post-C-Trans (Hz)				
F4	$\bar{F}$ :	3750	3808	3871	3892	3900
	S.D. :	144.91	169.31	143.54	131.97	125.41
F3	$\bar{F}$ :	2758	2783	2829	2879	2917
	S.D. :	125.16	115.83	107.72	95.41	88.97
F2	$\bar{F}$ :	963	1233	1379	1425	1467
	S.D. :	54.19	91.74	81.26	77.45	43.77
F1	$\bar{F}$ :	633	867	921	942	979
	S.D. :	51.63	73.59	90.02	86.12	43.06
		ค่าระยะเวลาของระยะคงที่ (ms)			ค่าระยะเวลาของ F-Trans (ms)	
	$\bar{F}$ :	62			64	
	S.D. :	5.89			4.89	
		ค่าความเข้มของเสียง (dB)				
	$\bar{F}$ :	4.91				
	S.D. :	0.93				

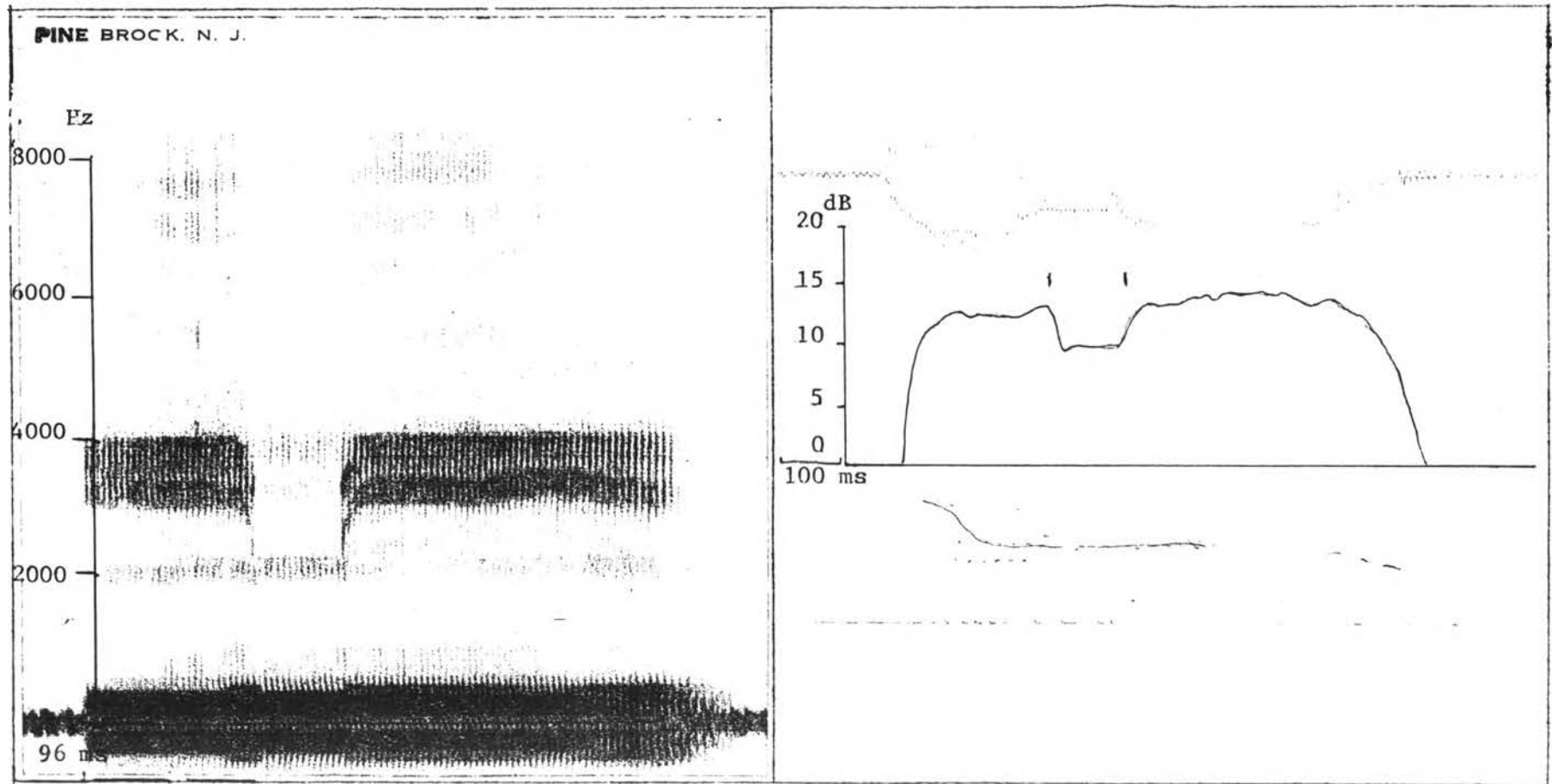
ภาพที่ 26 แผ่นภาพคลื่นเสียง และแผ่นภาพมิงโกแกรมของคำว่า (mu: )



ตารางที่ 100 ค่าทางกลศาสตร์ของ  $m$  / ในคำว่า [มม:]

		ค่า F ของระยะคงที่ของพยัญชนะ (Hz)				
จุดที่		0	25%	50%	75%	100%
ค่า						
F4	$\bar{F}$ :	3642	3642	3642	3642	3642
	S.D. :	159.42	159.42	159.42	159.42	159.42
F3	$\bar{F}$ :	2750	2750	2750	2750	2750
	S.D. :	50.00	50.00	50.00	50.00	50.00
F2	$\bar{F}$ :					
	S.D. :					
F1	$\bar{F}$ :	300	300	300	300	300
	S.D. :	25.00	25.00	25.00	25.00	25.00
ค่า F ของ Post-C-Trans (Hz)						
F4	$\bar{F}$ :					
	S.D. :					
F3	$\bar{F}$ :					
	S.D. :					
F2	$\bar{F}$ :	600	621	621	621	621
	S.D. :	15.81	33.22	33.22	33.22	33.22
F1	$\bar{F}$ :	300	300	300	300	300
	S.D. :	25.00	25.00	25.00	25.00	25.00
		ค่าระยะเวลาของระยะคงที่ (ms)			ค่าระยะเวลาของ F-Trans (ms)	
	$\bar{F}$ :	71			10	
	S.D. :	19.85			0	
ค่าความเข้มของเสียง (dB)						
	$\bar{F}$ :	3.16				
	S.D. :	1.37				

ภาพที่ 27 แม่ภาพคลื่นเสียง และแม่ภาพมิงโกแกรมของคำว่า [ i:mi: ]

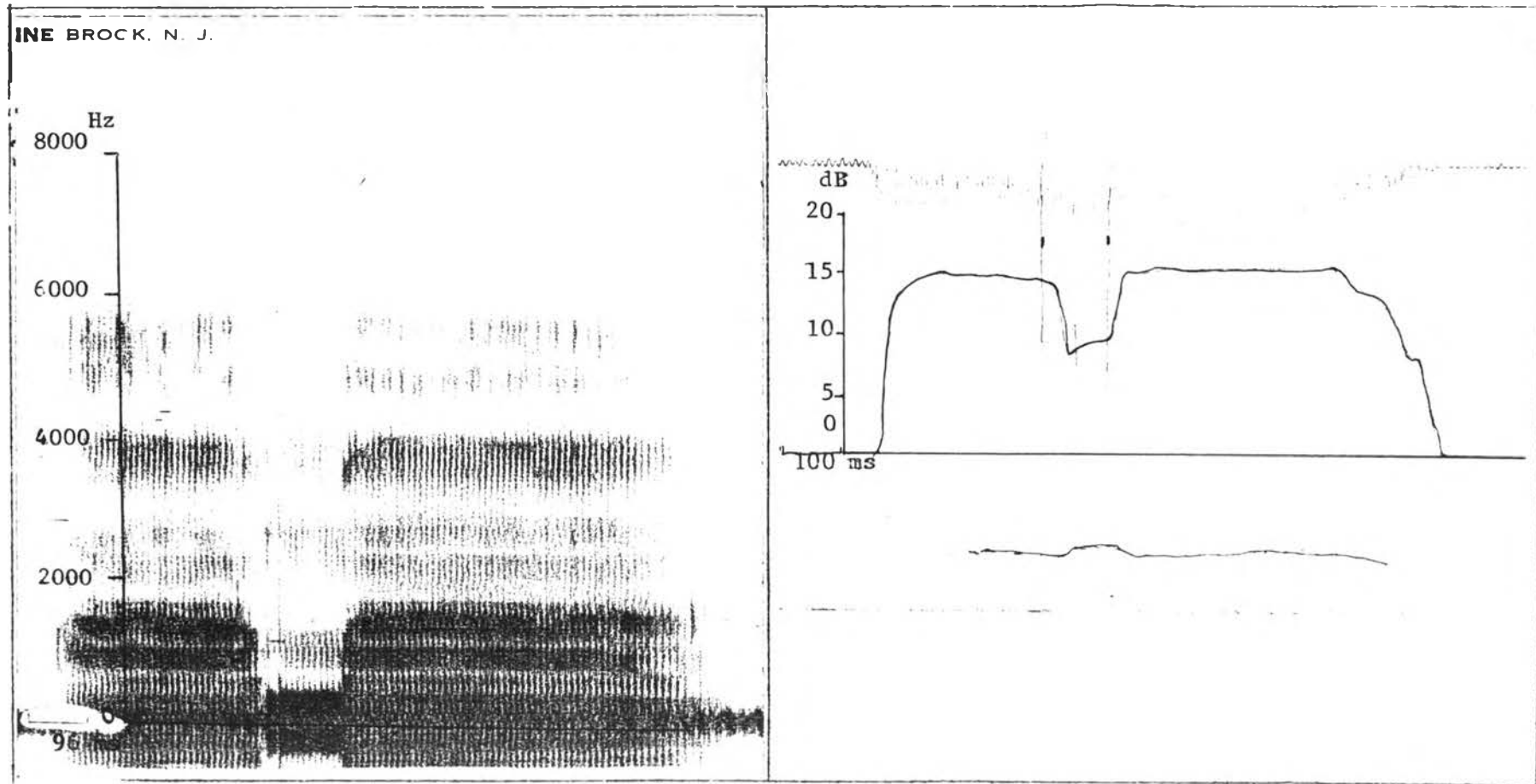


ตารางที่ 101 ค่าทางกลศาสตร์ของ /m/ ในคำว่า [ i:mi:]

		ค่า F ของระยะคงที่ของพยัญชนะ (Hz)				
จุดที่		()	25%	50%	75%	100
ค่า						
F4	$\bar{X}$	3767	3779	3792	3792	3792
	S.D.	275.07	285.66	297.34	297.34	297.34
F3	$\bar{X}$	2250	2250	2250	2250	2250
	S.D.	50.00	50.00	50.00	50.00	50.00
F2	$\bar{X}$					
	S.D.					
F1	$\bar{X}$	296	296	296	296	296
	S.D.	10.20	10.20	10.20	10.20	10.20
		ค่า F ของ Pre-C-F-Trans				
F4	$\bar{X}$	3829	3813	3775	3662	3487
	S.D.	229.35	249.78	255.92	236.50	181.48
F3	$\bar{X}$	3250	3225	3163	2996	2713
	S.D.	178.88	194.29	164.12	90.02	80.23
F2	$\bar{X}$	2171	2171	2175	2175	2150
	S.D.	130.78	130.78	130.38	126.49	148.32
F1	$\bar{X}$	296	296	296	296	296
	S.D.	10.20	10.20	10.20	10.20	10.20
		ค่า F ของ Post-C-F-Trans				
F4	$\bar{X}$	3375	3646	3717	3804	3867
	S.D.	146.07	191.97	171.51	193.91	204.73
F3	$\bar{X}$	2763	3042	3133	3208	2342
	S.D.	54.19	86.12	81.64	121.10	123.15
F2	$\bar{X}$	2142	2221	2225	2225	2225
	S.D.	174.40	91.40	79.46	97.46	97.47
F1	$\bar{X}$	296	296	296	296	296
	S.D.	10.20	10.20	10.20	10.20	10.20
		ระยะเวลาของระยะคงที่	ระยะเวลาของ Pre-C-F-Trans		ระยะเวลาของ Post-C-F-Trans	
$\bar{X}$		104	55		48	
S.D.		4.89	12.39		13.81	
		ค่าความเข้มของเสียงพยัญชนะ				
$\bar{X}$		9				
S.D.		1.50				



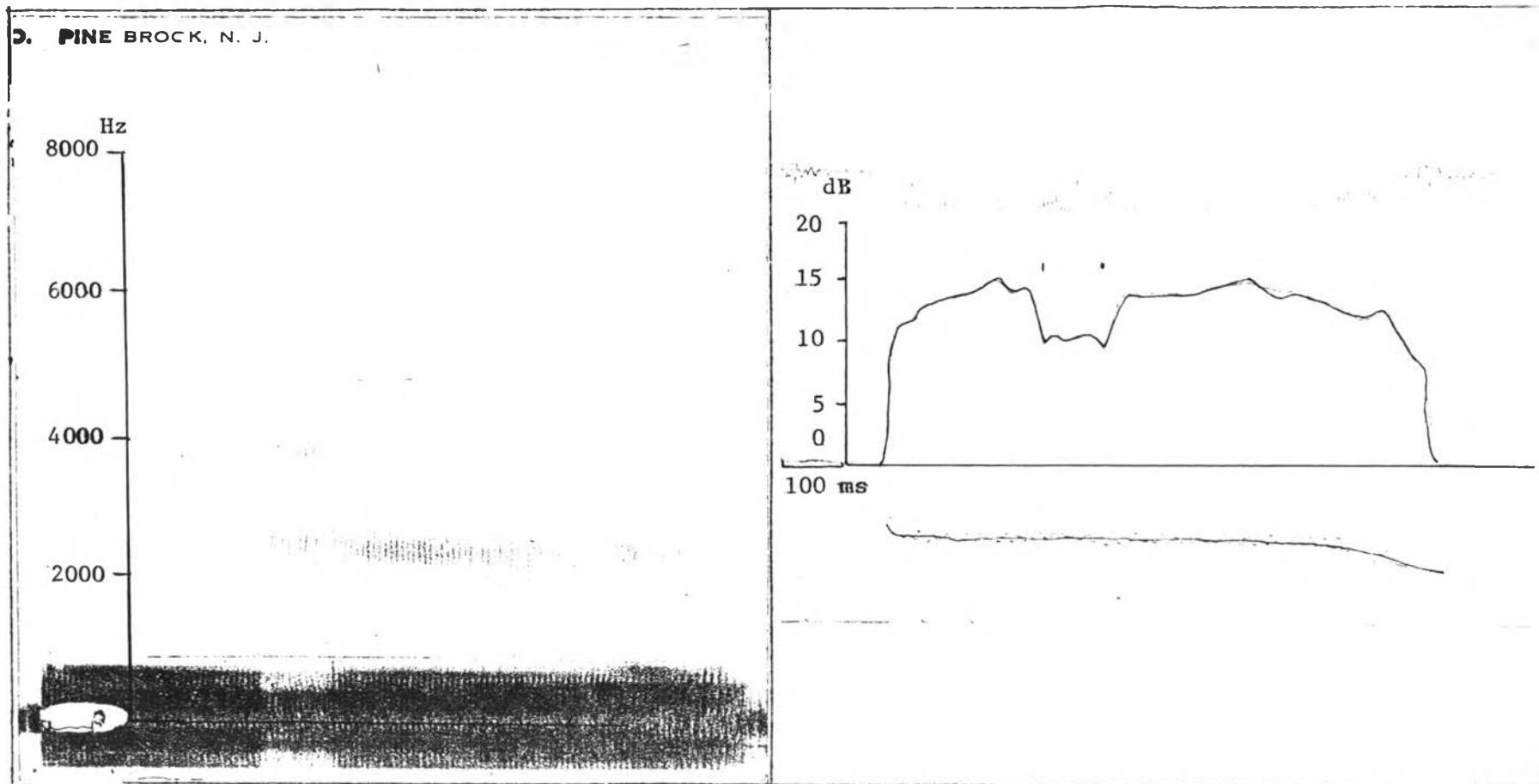
ภาพที่ 28 แม่ตาหาคณีนเสียง และแม่ภาพมิงโกแกรรมของคำว่า [a:ma:]



ตารางที่ 102 ค่าทางกลศาสตร์ของ /m/ ในคำว่า [a:ma:]

ค่า F ของระยะคงที่ของพยัญชนะ (lit)							
จุดที่	ค่า	0	25%	50%	75%	100	
F4	$\bar{X}$	3775	3775	3775	3775	3775	
	S.D.	163.55	163.55	163.55	163.55	163.55	
F3	$\bar{X}$	2750	2750	2750	2750	2750	
	S.D.	55.71	55.71	55.71	55.71	55.71	
F2	$\bar{X}$						
	S.D.						
F1	$\bar{X}$	321	321	321	321	321	
	S.D.	33.22	33.22	33.22	33.22	33.22	
ค่า F ของ Pre-C-F-Trans							
F4	$\bar{X}$	3958	3938	3879	3825	3717	
	S.D.	80.10	72.02	90.02	88.03	99.31	
F3	$\bar{X}$						
	S.D.						
F2	$\bar{X}$	1371	1333	1241	1150	983	
	S.D.	100.51	97.03	86.12	47.43	60.55	
F1	$\bar{X}$	908	863	796	675	567	
	S.D.	64.54	56.45	51.03	63.24	60.55	
ค่า F ของ Post-C-F-Trans							
F4	$\bar{X}$	3717	3838	3900	3938	3963	
	S.D.	112.50	93.20	101.24	73.73	62.74	
F3	$\bar{X}$						
	S.D.						
F2	$\bar{X}$	983	1217	1304	1363	1400	
	S.D.	60.55	98.31	87.20	97.14	80.62	
F1	$\bar{X}$	633	775	858	925	938	
	S.D.	87.55	52.44	66.45	89.41	90.49	
		ระยะเวลาของระยะคงที่		ระยะเวลาของ Pre-C-F-Trans		ระยะเวลาของ Post-C-F-Trans	
$\bar{X}$		84		46		40	
S.D.		6.58		3.28		4.51	
ค่าความเข้มของเสียงพยัญชนะ							
$\bar{X}$		9.16					
S.D.		1.42					

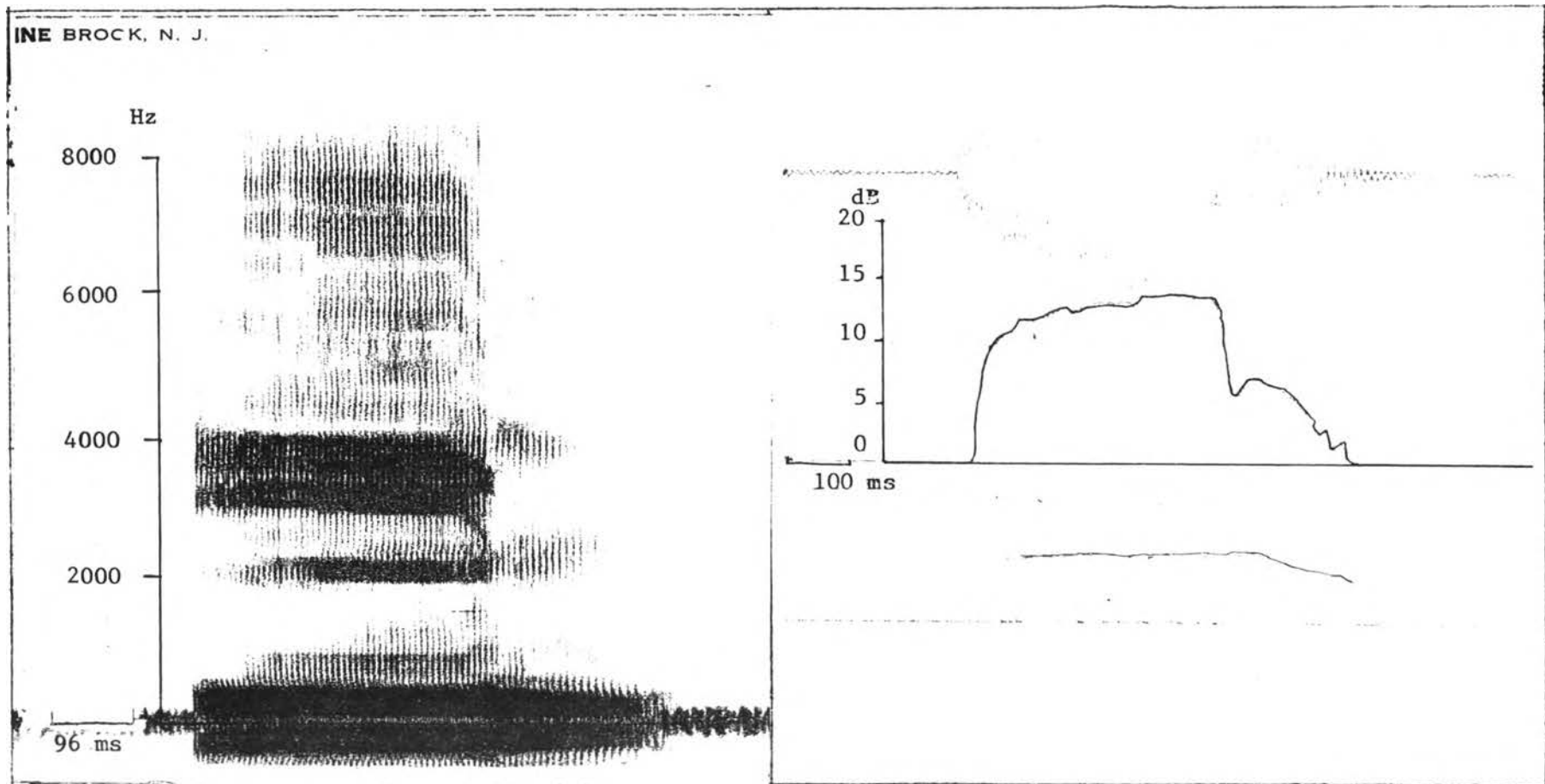
ภาพที่ 29 แผ่นอากาศเสียง และแผ่นภาพมิงโกแกรมของคำว่า [ u: mu: ]



ตารางที่ 103 ค่าทางกลศาสตร์ของ /m/ ในคำว่า [u:mu:]

		ค่า F ของระยะคงที่ของพยัญชนะ (Hz)					
จุดที่		0	25%	50%	75%	100	
ค่า							
F4	$\bar{X}$	3767	3767	3767	3767	3767	
	S.D.	169.31	169.31	169.31	169.31	169.31	
F3	$\bar{X}$	2750	2750	2750	2750	2750	
	S.D.	50.00	50.00	50.00	50.00	50.00	
F2	$\bar{X}$						
	S.D.						
F1	$\bar{X}$	300	300	300	300	300	
	S.D.	25.00	25.00	25.00	25.00	25.00	
ค่า F ของ Pre-C-F-Trans							
F4	$\bar{X}$						
	S.D.						
F3	$\bar{X}$						
	S.D.						
F2	$\bar{X}$	633	633	633	633	571	
	S.D.	25.81	25.81	25.81	25.81	25.81	
F1	$\bar{X}$	300	300	300	300	300	
	S.D.	25.00	25.00	25.00	25.00	25.00	
ค่า F ของ Post-C-F-Trans							
F4	$\bar{X}$						
	S.D.						
F3	$\bar{X}$						
	S.D.						
F2	$\bar{X}$	633	633	633	633	571	
	S.D.	25.81	25.81	25.81	25.81	40.05	
F1	$\bar{X}$	310	310	310	310	310	
	S.D.	25.00	25.00	25.00	25.00	25.00	
		ระยะเวลาของระยะคงที่		ระยะเวลาของ Pre-C-F-Trans		ระยะเวลาของ Post-C-F-Trans	
$\bar{X}$		90		10		10	
S.D.		7.82		0		0	
ค่าความเข้มของเสียงพยัญชนะ							
$\bar{X}$		7.66					
S.D.		1.91					

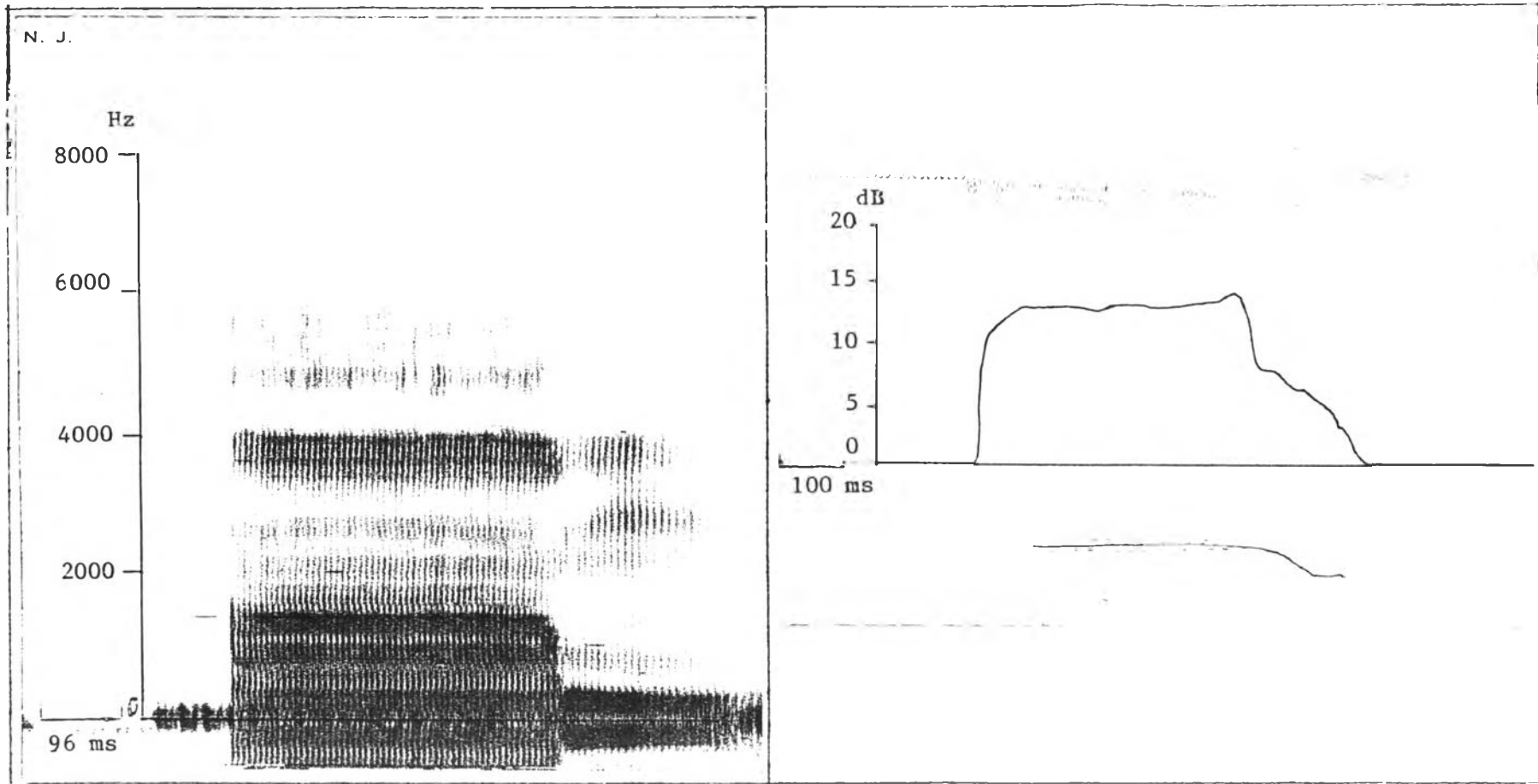
ภาพที่ 30 แผ่นภาพคลื่นเสียง และแผ่นภาพมิงโกแกรมของคำว่า [ i : m ]



ตารางที่ 104 ค่าทางกลศาสตร์ของ /m/ ในคำว่า [i:m]

		ค่า F ของระยะคงที่ของพยัญชนะ (Hz)				
จุดที่		0	25%	50%	75%	100%
ค่า						
F4	$\bar{X}$ :	3975	3979	3992	4000	4000
	S.D. :	52.44	55.71	73.59	89.44	98.44
F3	$\bar{X}$ :	2650	2650	2650	2650	2650
	S.D. :	50.00	50.00	50.00	50.00	50.00
F2	$\bar{X}$ :					
	S.D. :					
F1	$\bar{X}$ :	300	300	300	300	300
	S.D. :	25.00	25.00	25.00	25.00	25.00
		ค่า F ของ Pre-C-Trans (Hz)				
F4	$\bar{X}$ :	3775	3767	3679	3554	3425
	S.D. :	121.44	13.53	121.89	76.51	61.23
F3	$\bar{X}$ :	3225	3171	3042	2854	2375
	S.D. :	98.74	141.78	187.52	143.54	52.44
F2	$\bar{X}$ :	2220	2204	2167	2050	1975
	S.D. :	36.79	62.08	94.42	44.72	41.83
F1	$\bar{X}$ :	292	292	292	292	292
	S.D. :	30.27	30.27	30.27	30.27	30.27
		ค่าระยะเวลาของระยะคงที่ (ms)			ค่าระยะเวลาของ F-Trans (ms)	
$\bar{X}$ :		226			51	
S.D. :		20.31			10.11	
		ค่าความเข้มของเสียงพยัญชนะ (dB)				
$\bar{X}$ :		7				
S.D. :		2.24				

ภาพที่ 31 แผนภาพคลื่นเสียง และแผนภาพมิงโกแอมพลิจูดของคำว่า [a:m]

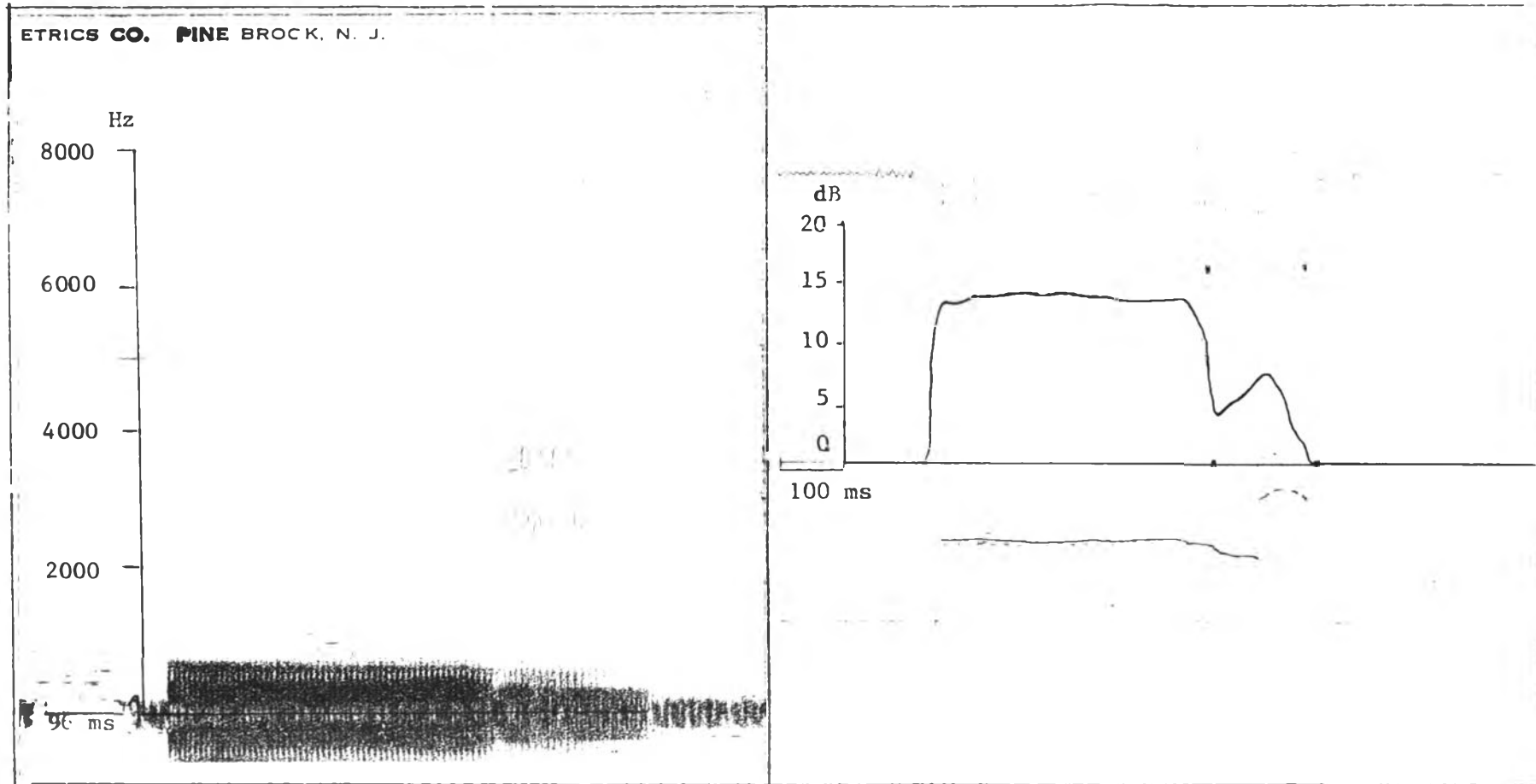


ตารางที่ 105 ค่าทางกลศาสตร์ วัดรัของ /m/ ในหน่วย [a:m]

		ค่าของระยะคงที่ของพยางค์ (Hz)				
จุดที่		0	25%	50%	75%	100%
ค่า						
F4	$\bar{X}$ :	3850	3908	3938	3902	3942
	S.D. :	100.00	58.45	70.26	73.59	73.59
F3	$\bar{X}$ :	2850	2850	2850	2850	2850
	S.D. :	50.00	50.00	50.00	50.00	50.00
F2	$\bar{X}$ :	1017	1017	1017	1017	1017
	S.D. :	60.72	60.72	60.72	60.72	60.72
F1	$\bar{X}$ :	312	312	312	312	312
	S.D. :	41.07	41.07	41.07	41.07	41.07
ค่าF ของ Pre-C-Trans (Hz)						
F4	$\bar{X}$ :	4046	4029	3996	3963	3850
	S.D. :	40.05	60.03	60.00	51.84	100.00
F3	$\bar{X}$ :	2817	2800	2729	2700	2558
	S.D. :	20.41	27.38	36.79	54.77	86.12
F2	$\bar{X}$ :	1413	1367	1321	1229	921
	S.D. :	62.74	62.58	71.44	60.03	40.82
F1	$\bar{X}$ :	1983	946	908	892	825
	S.D. :	40.82	24.57	66.45	95.74	93.54
ค่าระยะเวลาของระยะคงที่ (ms)				ค่าระยะเวลาของF-Trans(ms)		
$\bar{X}$ :		216		45		
S.D. :		19.07		9.75		
ค่าความเข้มของเสียงพยางค์ (dB)						
$\bar{X}$ :		7.41				
S.D. :		1.06				



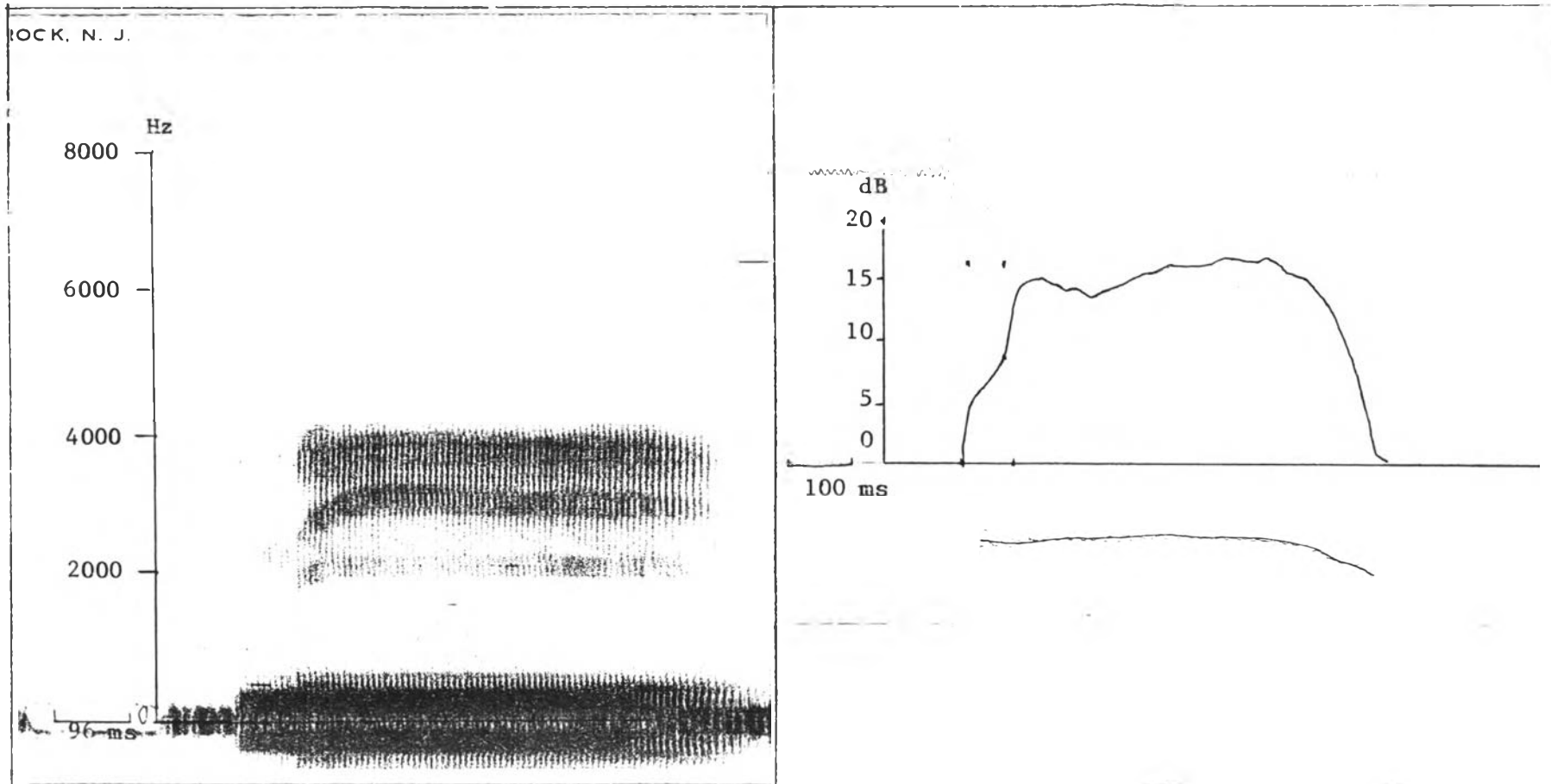
ภาพที่ ๓๒ แผ่นกราฟคลื่นเสียง และแผ่นกราฟมิงโกแอมพลิจูดของคำว่า [ u : m ]



ตารางที่ 106 ค่าทางกลศาสตร์ค่าสเตรียของ /m/ ในคำว่า [น:m]

		ค่าFของระยะคงที่ของพยัญชนะ (Hz)				
จุดที่		0	25%	50%	75%	100%
ค่า						
F4	$\bar{X}$ :	3450	3683	3788	3817	3817
	S.D. :	223.04	169.31	132.05	112.54	112.54
F3	$\bar{X}$ :	2750	2750	2750	2750	2750
	S.D. :	51.63	51.63	51.63	51.63	51.63
F2	$\bar{X}$ :					
	S.D. :					
F1	$\bar{X}$ :	300	300	300	300	300
	S.D. :	25.00	25.00	25.00	25.00	25.00
ค่าF ของ Pre-C-Trans (Hz)						
F4	$\bar{X}$ :					
	S.D. :					
F3	$\bar{X}$ :					
	S.D. :					
F2	$\bar{X}$ :	617	617	617	617	600
	S.D. :	25.81	25.81	25.81	25.81	25.00
F1	$\bar{X}$ :	300	300	300	300	300
	S.D. :	25.00	25.00	25.00	25.00	25.00
ค่าระยะเวลาของระยะคงที่ (ms)			ค่าระยะเวลาของF-Trans(ms)			
$\bar{X}$ :			191			
S.D. :			16.39			
ค่าความเข้มของเสียงเทียบฟоне (dB)						
$\bar{X}$ :			6.71			
S.D. :			1.21			

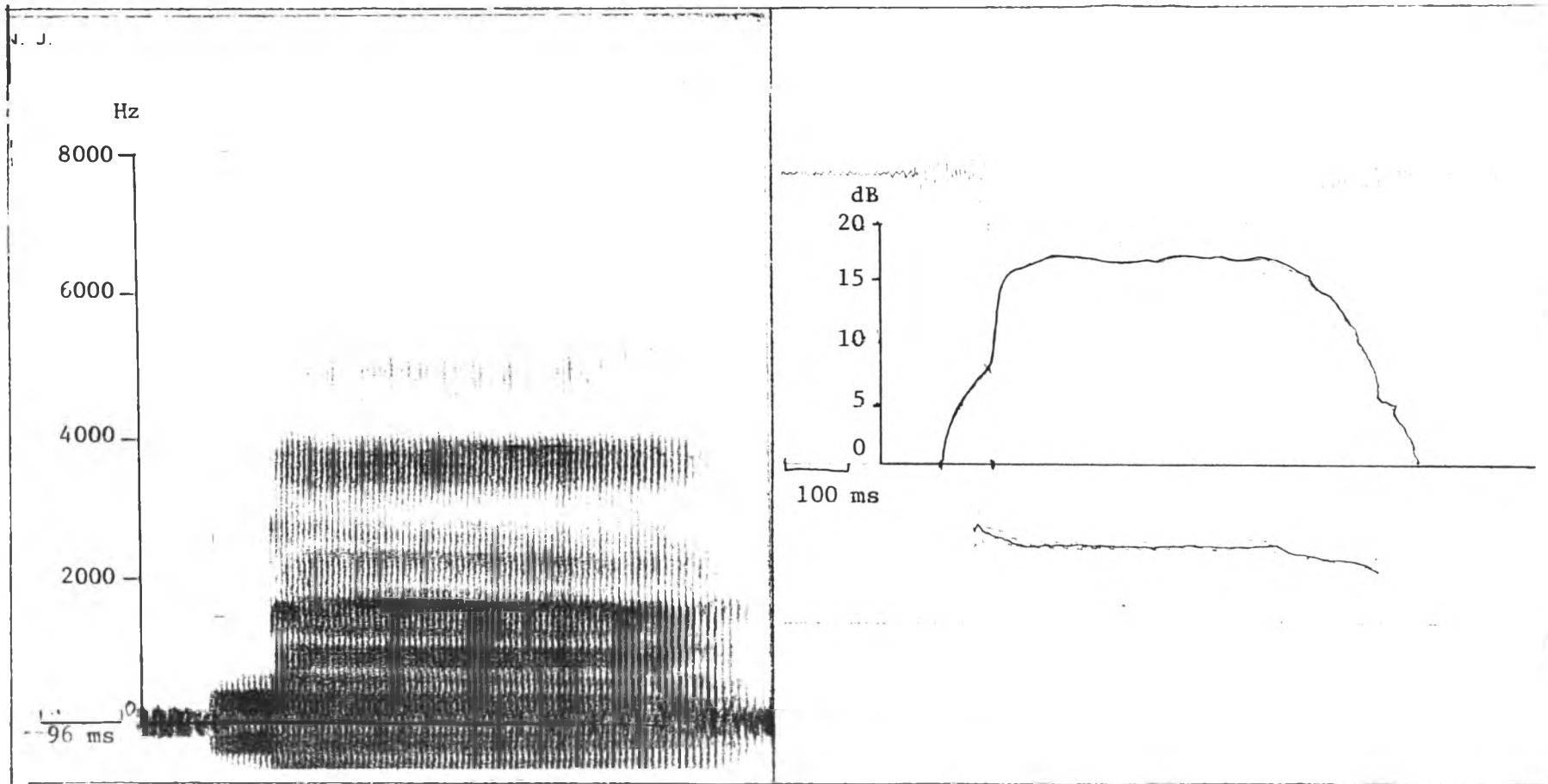
ภาพที่ 33 แผ่ภาพคลื่นเสียง และแผนภาพมิงโกแกรมของคำว่า [ni:]



ตารางที่ 107 ค่าทางกลศาสตร์ของ /n/ ในคำว่า [ni:]

		ค่า F ของระยะคงที่ของพยัญชนะ (Hz)				
จุดที่		0	25%	50%	75%	100%
ค่า						
F4	$\bar{X}$ :	3750	3750	3750	3750	3750
	S.D. :	70.71	70.71	70.71	70.71	70.71
F3	$\bar{X}$ :	2550	2550	2550	2550	2550
	S.D. :	54.19	54.19	54.19	54.19	54.19
F2	$\bar{X}$ :					
	S.D. :					
F1	$\bar{X}$ :	312	312	312	312	312
	S.D. :	20.91	20.91	20.91	20.91	20.91
		ค่า F ของ Post-C-Trans (Hz)				
F4	$\bar{X}$ :	3750	3958	4000	4013	4021
	S.D. :	70.71	111.43	103.68	102.16	95.41
F3	$\bar{X}$ :	2750	3088	3213	3279	3300
	S.D. :	54.77	81.77	58.63	62.08	68.92
F2	$\bar{X}$ :	2146	2288	2333	2350	2350
	S.D. :	88.62	60.72	37.63	35.35	35.35
F1	$\bar{X}$ :	312	312	312	312	312
	S.D. :	20.91	20.91	20.91	20.91	20.91
		ค่าระยะเวลาของระยะคงที่ (ms)			ค่าระยะเวลาของ F-Trans (ms)	
$\bar{X}$ :		67			72	
S.D. :		5.89			17.22	
		ค่าความเข้มของเสียง (dB)				
$\bar{X}$ :		5.83				
S.D. :		1.80				

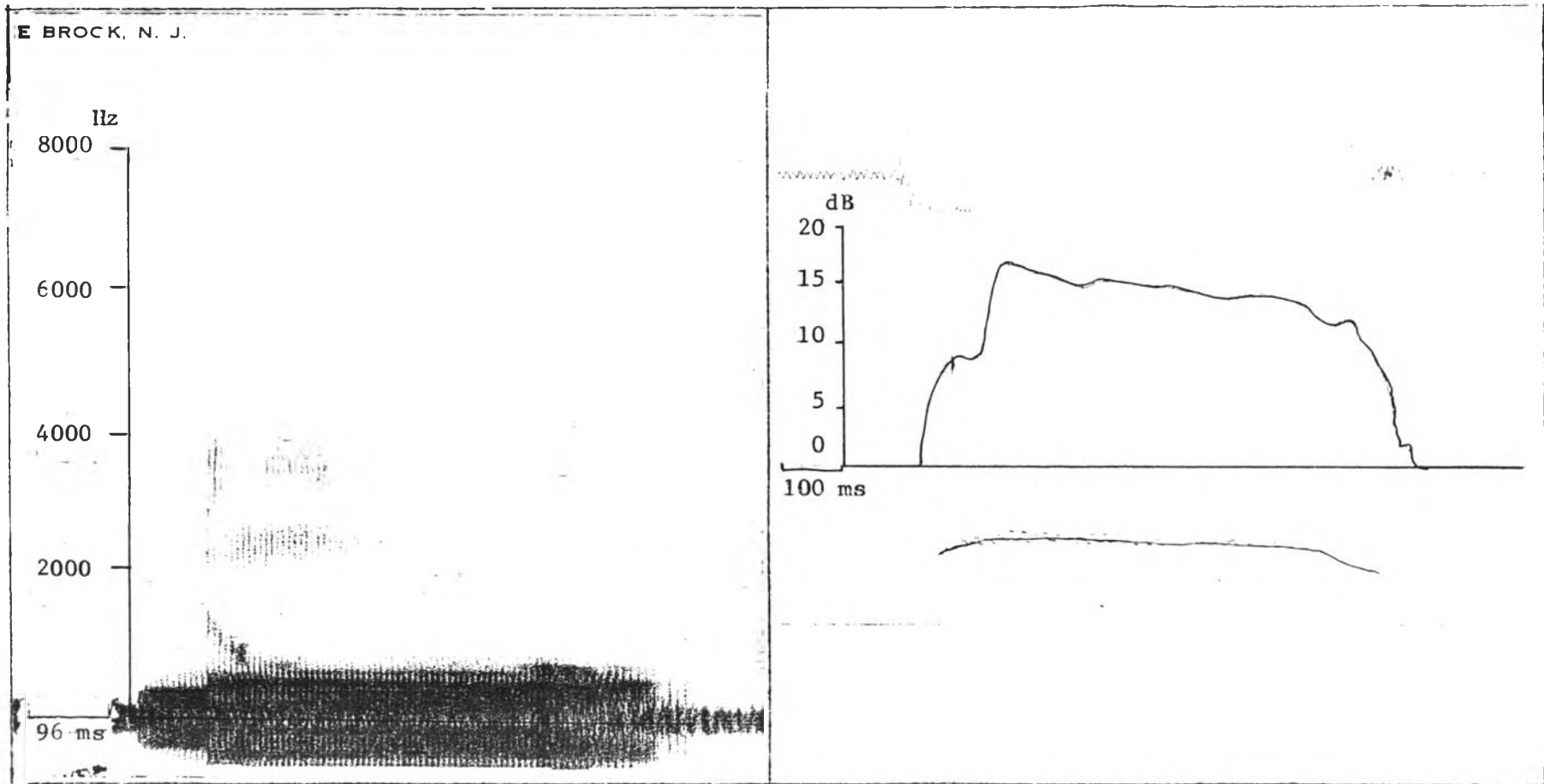
ภาพที่ 34 แผ่นภาพคลื่นเสียง และแผ่นภาพมิงโกแกรมของคำว่า [na:]



ตารางที่ 108 ค่าทางกลศาสตร์ของ /n/ ในคำว่า [na:]

		ค่า F ของระยะคงที่ของพยัญชนะ (Hz)				
จุดที่		0	25%	50%	75%	100%
ค่า						
F4	$\bar{F}$ :	3767	3775	3775	3775	3775
	S.D. :	129.09	129.42	129.42	129.42	129.42
F3	$\bar{F}$ :	2750	2750	2750	2750	2750
	S.D. :	50.00	50.00	50.00	50.00	50.00
F2	$\bar{F}$ :					
	S.D. :					
F1	$\bar{F}$ :	342	342	342	342	342
	S.D. :	20.41	20.41	20.41	20.41	40.4.
		ค่า F ของ Post-C-Trans (Hz)				
F4	$\bar{F}$ :	3838	3917	3946	3963	3979
	S.D. :	80.23	125.16	136.39	123.23	112.26
F3	$\bar{F}$ :					
	S.D. :					
F2	$\bar{F}$ :	1646	1638	1633	1633	1633
	S.D. :	55.71	58.63	60.55	60.55	60.55
F1	$\bar{F}$ :	962	975	1000	1013	1021
	S.D. :	49.37	44.72	27.38	30.61	45.87
		ค่าระยะเวลาของระยะคงที่ (ms)			ค่าระยะเวลาของ F-Trans (ms)	
	$\bar{F}$ :	81			53	
	S.D. :	13.60			3.98	
		ค่าความเข้มของเสียง (dB)				
	$\bar{F}$ :	5.66				
	S.D. :	0.49				

ภาพที่ 35 แม่ภาพคลื่นเสียง และแม่ภาพมิงโกแตรของคำว่า (nu:)

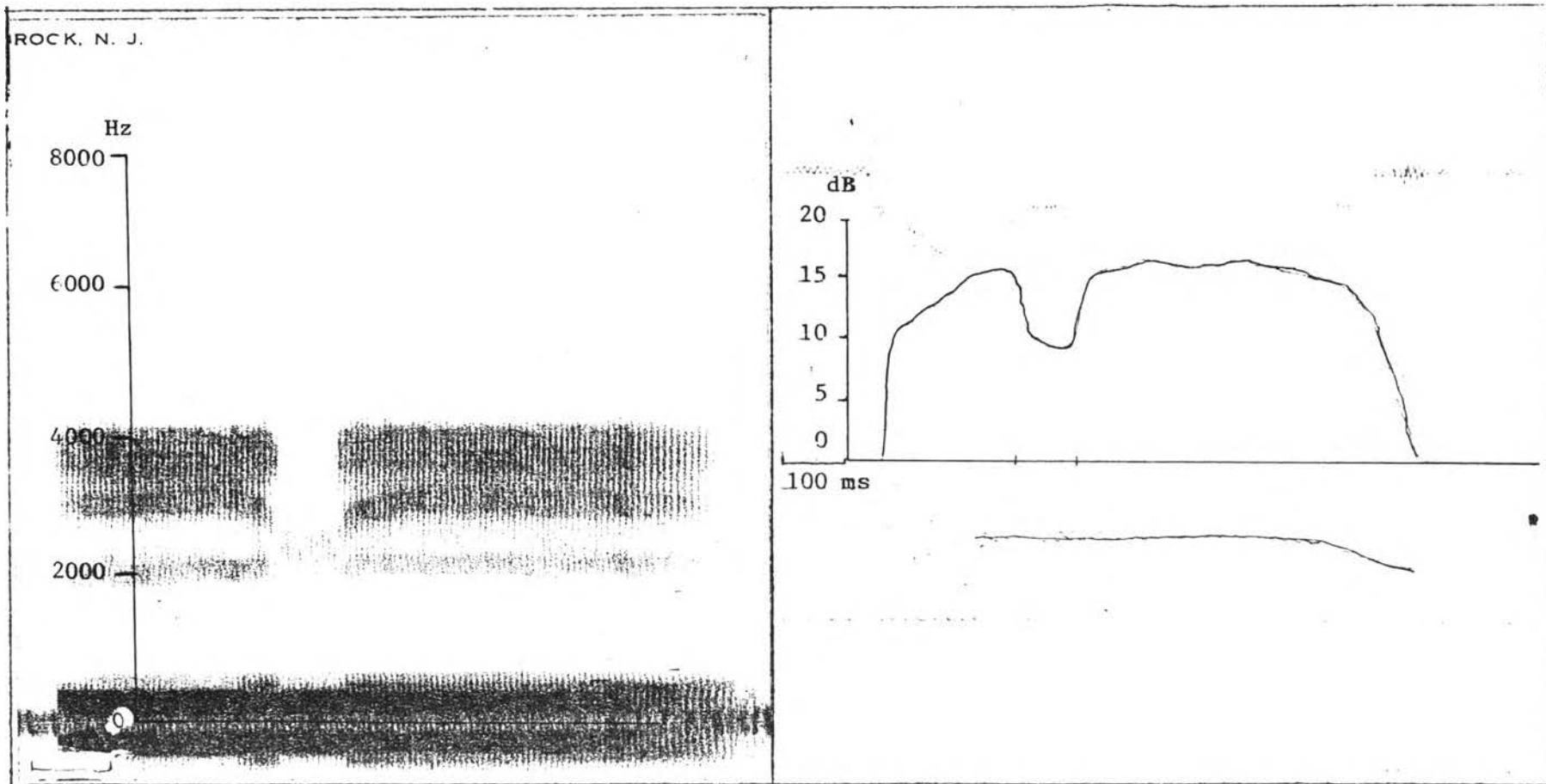


ตารางที่ 109 ค่าทางกลศาสตร์ของ /ก/ ในคำว่า [กน:]

		ค่า F ของระยะคงที่ของพยัญชนะ (Hz)				
จุดที่		0	25%	50%	75%	100%
ค่า						
F4	$\bar{F}$ :	3775	3775	3775	3775	3775
	S.D. :	103.68	103.68	103.68	103.68	103.68
F3	$\bar{F}$ :	2675	2675	2675	2675	2675
	S.D. :	133.22	133.22	133.22	133.22	133.22
F2	$\bar{F}$ :					
	S.D. :					
F1	$\bar{F}$ :	333	333	333	333	333
	S.D. :	40.82	40.82	40.82	40.82	40.82
ค่า F ของ Post-C-Trans (Hz)						
F4	$\bar{F}$ :					
	S.D. :					
F3	$\bar{F}$ :					
	S.D. :					
F2	$\bar{F}$ :	1383	1188	1008	829	758
	S.D. :	112.54	62.74	71.87	29.22	37.63
F1	$\bar{F}$ :	333	333	333	333	333
	S.D. :	40.82	40.82	40.82	40.82	40.82
		ค่าระยะเวลาของระยะคงที่ (ms)			ค่าระยะเวลาของ F-Trans (ms)	
	$\bar{T}$ :	80			81	
	S.D. :	12.39			10.33	
ค่าความเข้มของเสียง (dB)						
	$\bar{I}$ :	7.08				
	S.D. :	1.76				



ภาพที่ 36 แม่ภาพคลื่นเสียง และแม่ภาพมิงไกแตรรของคำว่า [i:ni:]

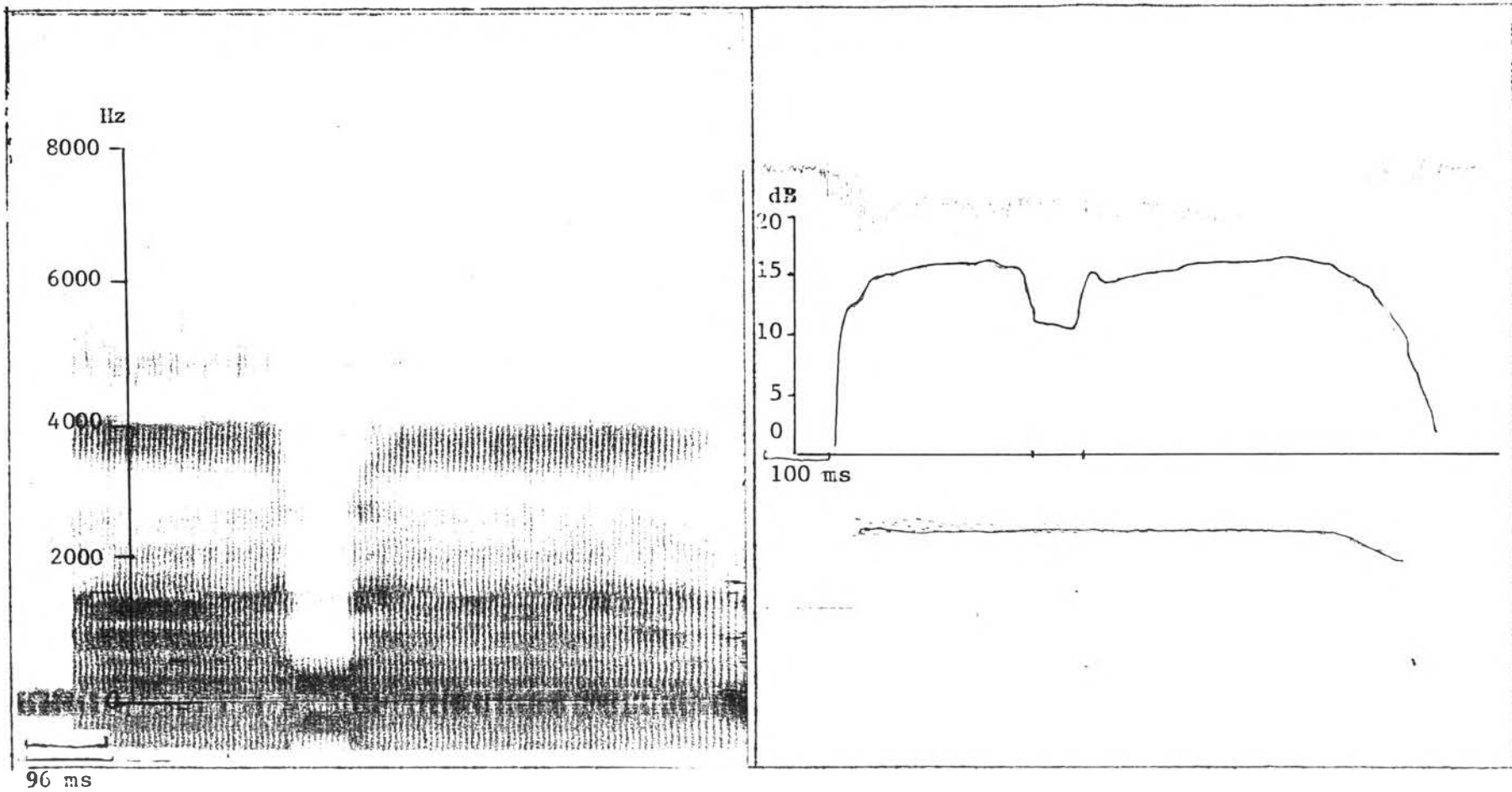


96 ms

ตารางที่ 110 ค่าทางกลศาสตร์ของ /n/ ในคำว่า [i:ni:]

		ค่า F ของระยะคงที่ของพยัญชนะ (Hz)					
		จุดที่ ค่า	0	25%	50%	75%	100
F4	$\bar{X}$	3933	3933	3933	3933	3933	
	S.D.	25.81	25.81	25.81	25.81	25.81	
F3	$\bar{X}$	2650	2650	2650	2650	2650	
	S.D.	58.45	58.45	58.45	58.48	58.45	
F2	$\bar{X}$						
	S.D.						
F1	$\bar{X}$	329	329	329	329	329	
	S.D.	24.57	24.57	24.57	24.57	24.57	
		ค่า F ของ Pre-C-F-Trans					
F4	$\bar{X}$	4021	4038	4021	3983	3917	
	S.D.	71.44	68.46	69.69	80.10	94.42	
F3	$\bar{X}$	3400	3358	3283	3129	2971	
	S.D.	65.19	75.27	84.65	57.91	81.26	
F2	$\bar{X}$	2342	2342	2342	2342	2221	
	S.D.	12.90	12.90	12.90	12.90	40.05	
F1	$\bar{X}$	329	329	329	329	329	
	S.D.	24.57	24.57	24.57	24.57	24.57	
		ค่า F ของ Post-C-F-Trans					
F4	$\bar{X}$	3933	4042	4063	4071	4079	
	S.D.	51.63	58.45	60.72	53.42	45.87	
F3	$\bar{X}$	2946	3163	3279	3354	3379	
	S.D.	55.17	34.40	65.98	76.51	81.26	
F2	$\bar{X}$	2346	2388	2404	2404	2404	
	S.D.	57.91	64.71	65.98	65.98	65.98	
F1	$\bar{X}$	329	329	329	329	329	
	S.D.	24.57	24.57	24.57	24.57	24.57	
		ระยะเวลาของระยะคงที่	ระยะเวลาของ Pre-C-F-Trans		ระยะเวลาของ Post-C-F-Trans		
		$\bar{X}$	78	66	63		
		S.D.	10.07	6.00	10.03		
		ค่าความเข้มของเสียงพยัญชนะ					
		$\bar{X}$	8.75				
		S.D.	1.12				

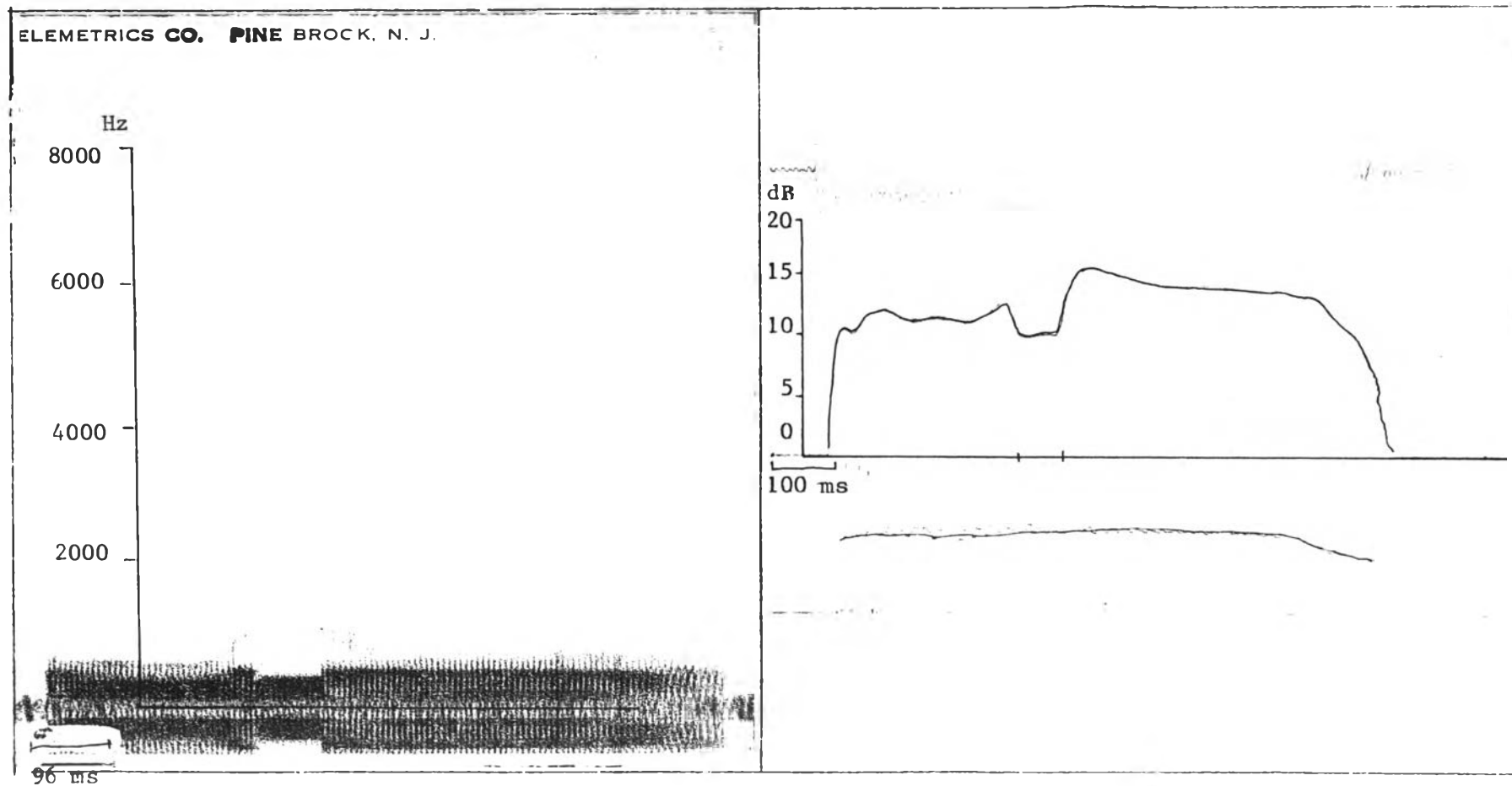
ภาพที่ 37 แม่ภาพคลื่นเสียง และแม่ภาพมิงโกแกรมของคำว่า [a:na:]



ตารางที่ 111 ค่าทางกลศาสตร์ของ /n/ ในคำว่า [a:na:]

		ค่า F ของระยะคงที่ของพยัญชนะ (Hz)					
		จุดที่ ค่า	0	25%	50%	75%	100
F4	$\bar{X}$		3979	3979	3979	3979	3979
	S.D.		116.63	116.63	116.63	116.63	116.63
F3	$\bar{X}$		2850	2850	2850	2850	2850
	S.D.		24.41	24.41	24.41	24.41	24.41
F2	$\bar{X}$						
	S.D.						
F1	$\bar{X}$		342	342	342	342	342
	S.D.		37.63	37.63	37.63	37.63	37.63
		ค่า F ของ Pre-C-F-Trans					
F4	$\bar{X}$		4017	4004	4000	3975	3958
	S.D.		62.58	55.71	54.77	52.44	71.87
F3	$\bar{X}$		2754	2774	2813	2846	2913
	S.D.		174.94	162.78	141.20	124.91	94.53
F2	$\bar{X}$		1529	1558	1579	1617	1650
	S.D.		40.05	46.54	51.03	56.27	54.77
F1	$\bar{X}$		1075	1071	1042	1000	963
	S.D.		88.03	90.02	102.06	93.54	102.16
		ค่า F ของ Post-C-F-Trans					
F4	$\bar{X}$		3958	3971	3992	4000	4000
	S.D.		86.12	55.71	37.63	31.62	61.62
F3	$\bar{X}$		2983	2942	2904	2986	2850
	S.D.		25.87	20.41	10.20	44.01	57.00
F2	$\bar{X}$		1658	1633	1613	1596	1591
	S.D.		58.45	54.00	46.77	53.42	51.63
F1	$\bar{X}$		967	992	1025	1038	1050
	S.D.		94.42	93.09	112.91	106.94	104.88
		ระยะเวลาของระยะคงที่	ระยะเวลาของ Pre-C-F-Trans		ระยะเวลาของ Post-C-F-Trans		
		$\bar{X}$	102	46	44		
		S.D.	7.34	9.79	6.74		
		ค่าความเข้มของเสียงพยัญชนะ					
		$\bar{X}$	8.75				
		S.D.	1.47				

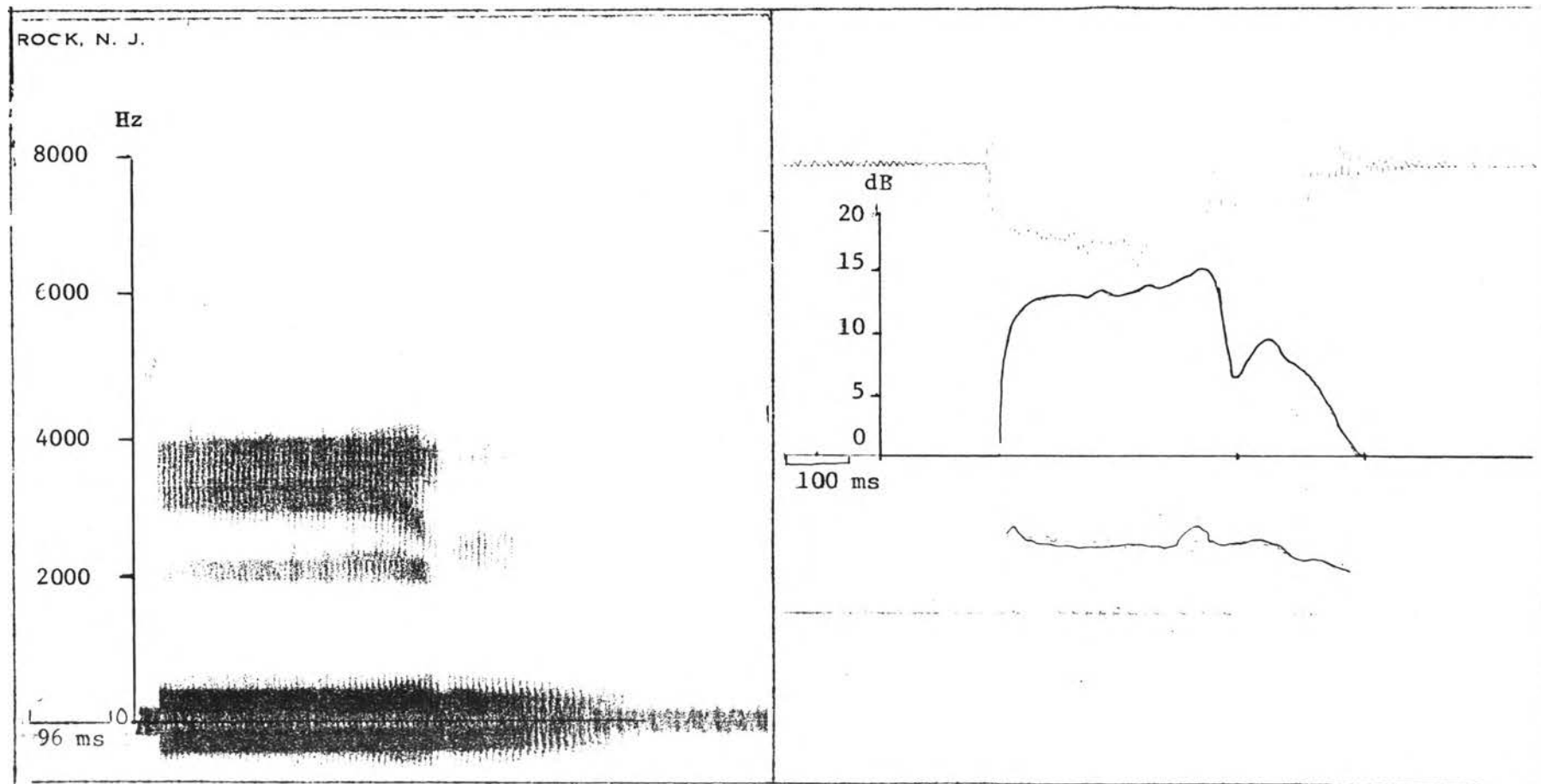
ภาพที่ 38 แผ่นภาพคลื่นเสียง และแผ่นภาพมิงโกแอมของคำว่า [ u: nu: ]



ตารางที่ 112 ค่าทางกลศาสตร์ของ /n/ ในคำว่า [u:nu:]

		ค่า F ของระยะคงที่ของพยัญชนะ (Hz)				
จุดที่		0	25%	50%	75%	100
F4	$\bar{X}$	3725	3725	3725	3725	3725
	S.D.	82.15	82.15	82.15	82.15	82.15
F3	$\bar{X}$	2750	2750	2750	2750	2750
	S.D.	50.00	50.00	50.00	50.00	50.00
F2	$\bar{X}$					
	S.D.					
F1	$\bar{X}$	329	329	329	329	329
	S.D.	33.00	33.00	33.00	33.00	33.00
ค่า F ของ Pre-C-F-Trans						
F4	$\bar{X}$					
	S.D.					
F3	$\bar{X}$					
	S.D.					
F2	$\bar{X}$	1275	1083	933	846	742
	S.D.	41.83	58.45	91.74	78.12	66.46
F1	$\bar{X}$	342	342	342	342	342
	S.D.	40.82	40.82	40.82	40.82	40.82
ค่า F ของ Post-C-F-Trans						
F4	$\bar{X}$					
	S.D.					
F3	$\bar{X}$					
	S.D.					
F2	$\bar{X}$	658	742	888	1063	1217
	S.D.	49.15	87.55	62.74	51.84	51.63
F1	$\bar{X}$	342	342	342	342	342
	S.D.	40.82	40.82	40.82	40.82	40.82
		ระยะเวลาของระยะคงที่	ระยะเวลาของ Pre-C-F-Trans	ระยะเวลาของ Post-C-F-Trans		
	$\bar{X}$	98	75	66		
	S.D.	5.01	5.3	8.23		
ค่าความเข้มของเสียงพยัญชนะ						
	$\bar{X}$	10.58				
	S.D.	1.31				

ภาพที่ 39 แผ่นภาพคลื่นเสียง และแผ่นภาพมิงโกแอมพลิจูดของคำว่า [i:n]

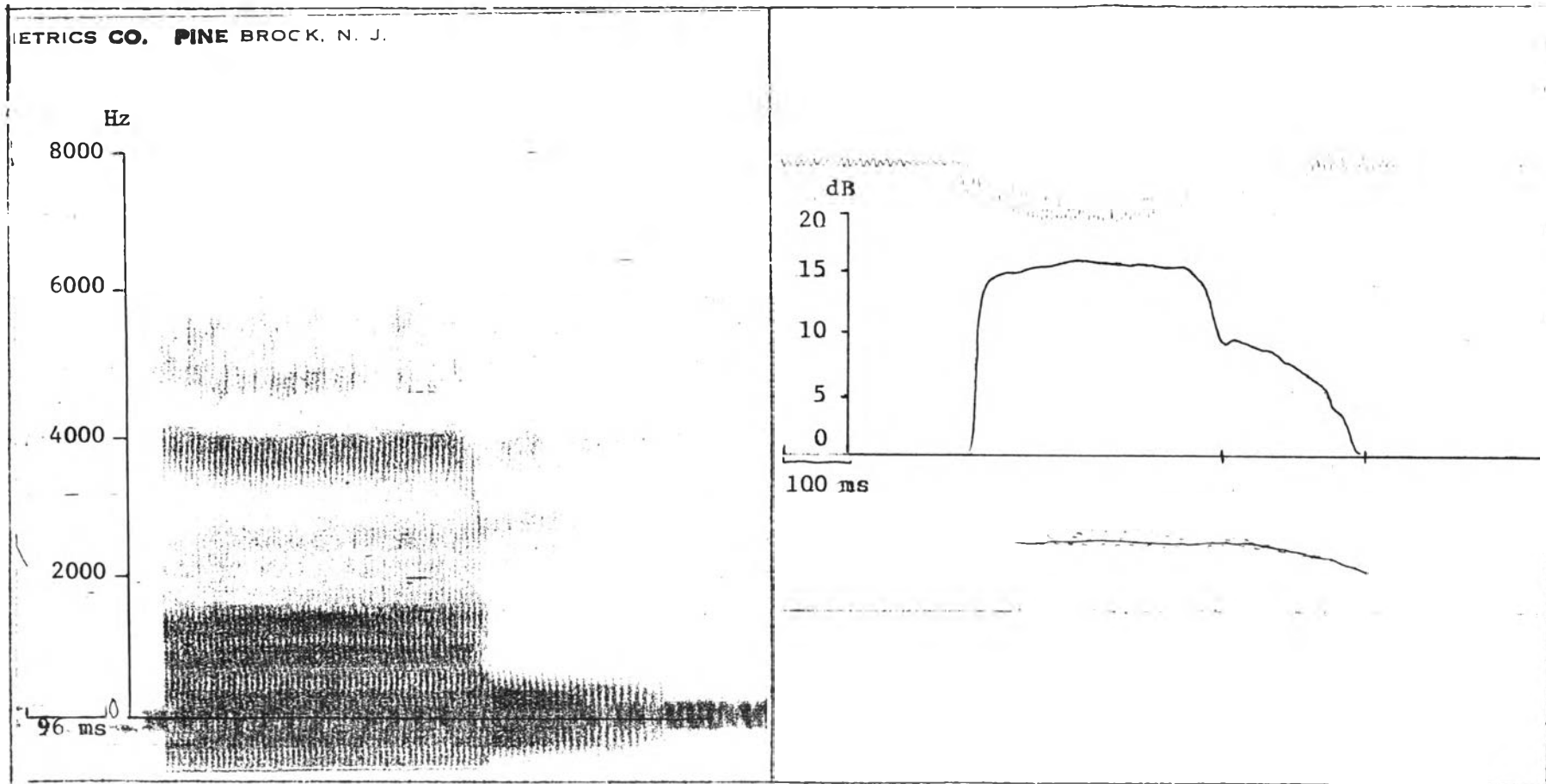


ตารางที่ 113 ค่าทางกลศาสตร์ค่าส่นรียงของ /n/ ในคำว่่า [i:n]

		ค่าF ของระยะคงที่ของพยัญชนะ (Hz)				
จุดที่ ค่า		0	25%	50%	75%	100%
F4	$\bar{X}$ :	3821	3883	3942	3942	3942
	S.D. :	40.05	68.31	49.15	49.15	49.15
F3	$\bar{X}$ :	2750	2750	2750	2750	2750
	S.D. :	54.77	54.77	54.77	54.77	54.77
F2	$\bar{X}$ :					
	S.D. :					
F1	$\bar{X}$ :	308	308	308	308	308
	S.D. :	12.90	12.90	12.90	12.90	12.90
		ค่าF ของ Pre-C-Trans (Hz)				
F4	$\bar{X}$ :	3975	3954	3954	3871	3821
	S.D. :	41.83	40.05	40.05	45.87	40.05
F3	$\bar{X}$ :	3371	3365	3221	3050	292
	S.D. :	62.08	66.45	67.85	57.00	20.41
F2	$\bar{X}$ :	2312	2312	2312	2300	2100
	S.D. :	70.26	70.26	70.26	79.05	41.83
F1	$\bar{X}$ :	308	308	308	308	308
	S.D. :	21.90	12.90	12.90	12.90	12.90
		ค่าระยะเวลาของระยะคงที่ (ms)			ค่าระยะเวลาของF-Trans (ms)	
$\bar{X}$ :		210			71	
S.D. :		12			13.99	
		ค่าความเข้มของเสียงพยัญชนะ (dB)				
$\bar{X}$ :		8.33				
S.D. :		2.04				



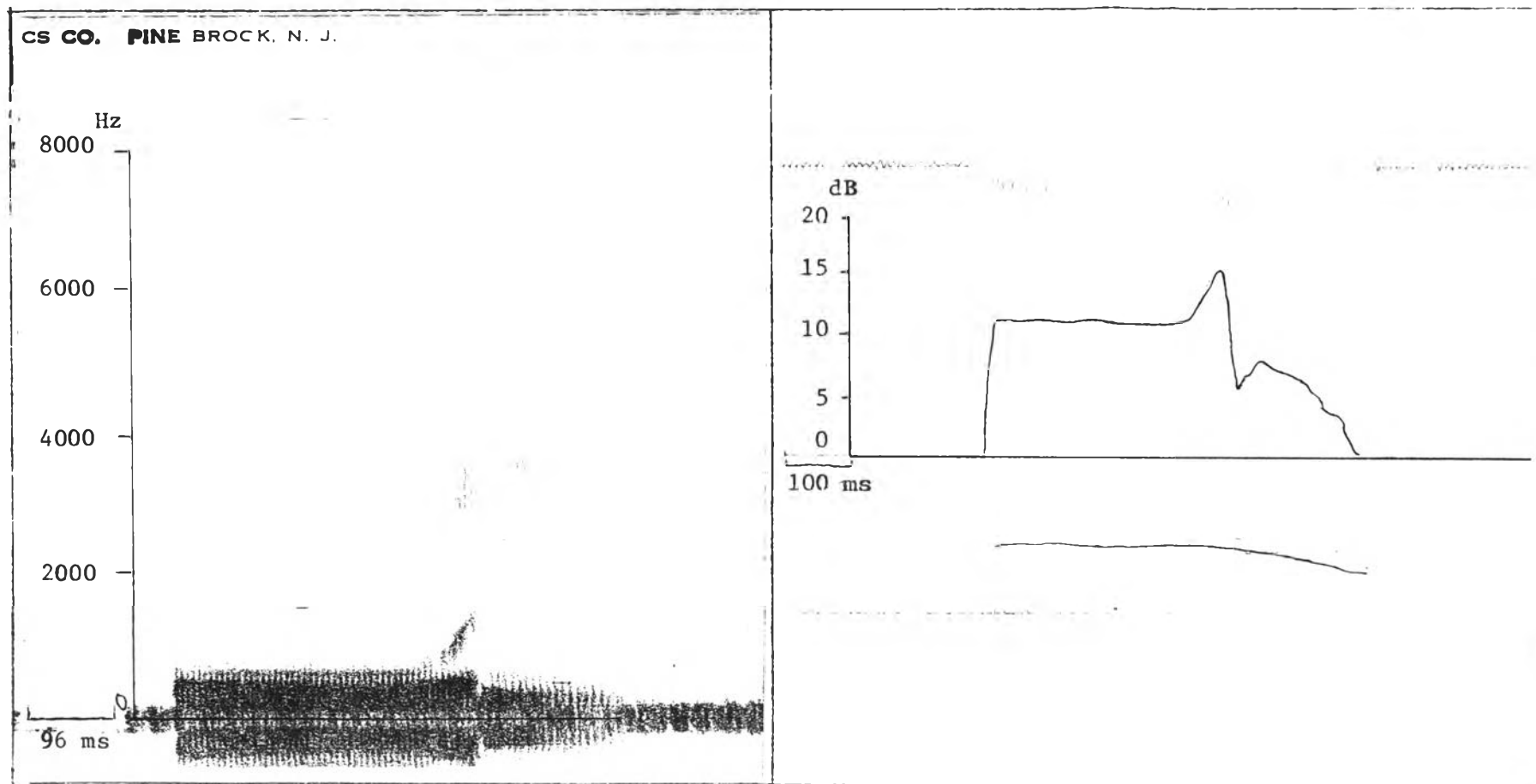
ภาพที่ 40 แผนภาพคลื่นเสียง และแผนภาพมิงโกแอมของคำว่า [a:n]



ตารางที่ 110 ค่าทางกลศาสตร์ของ /n/ ในคำที่ [a:n]

		ค่าFของระยะคงที่ของพยัญชนะ (Hz)				
จุดที่ ค่า		0	25%	50%	75%	100%
F4	$\bar{X}$ :	3875	3958	4017	4017	4017
	S.D. :	75.82	58.45	51.63	51.63	51.63
F3	$\bar{X}$ :	2792	2938	2900	2900	2900
	S.D. :	37.63	30.61	40.05	40.05	40.05
F2	$\bar{X}$ :	1612	1671	1717	1717	1717
	S.D. :	46.77	33.22	46.54	46.54	46.54
F1	$\bar{X}$ :	337	337	337	337	337
	S.D. :	20.91	20.91	20.91	20.91	20.91
ค่าF ของ Pre-C-Trans (Hz)						
F4	$\bar{X}$ :	4075	4054	4021	4008	4008
	S.D. :	75.82	85.75	69.67	97.33	75.82
F3	$\bar{X}$ :	2833	2825	2804	2783	2792
	S.D. :	34.15	15.81	29.22	40.82	37.63
F2	$\bar{X}$ :	1504	1492	1488	1479	1612
	S.D. :	60.03	60.55	51.84	36.79	46.77
F1	$\bar{X}$ :	1041	1033	1029	1029	1025
	S.D. :	106.84	103.27	120.97	102.97	103.68
ค่าระยะเวลาของระยะคงที่ (ms)				ค่าระยะเวลาของF-Trans(ms)		
$\bar{X}$ :				222		
S.D. :				42		
$\bar{X}$ :				22.98		
S.D. :				4.24		
ค่าความเข้มของเสียงท้ายขณะ (dB)						
$\bar{X}$ :						
6.91						
S.D. :						
1.17						

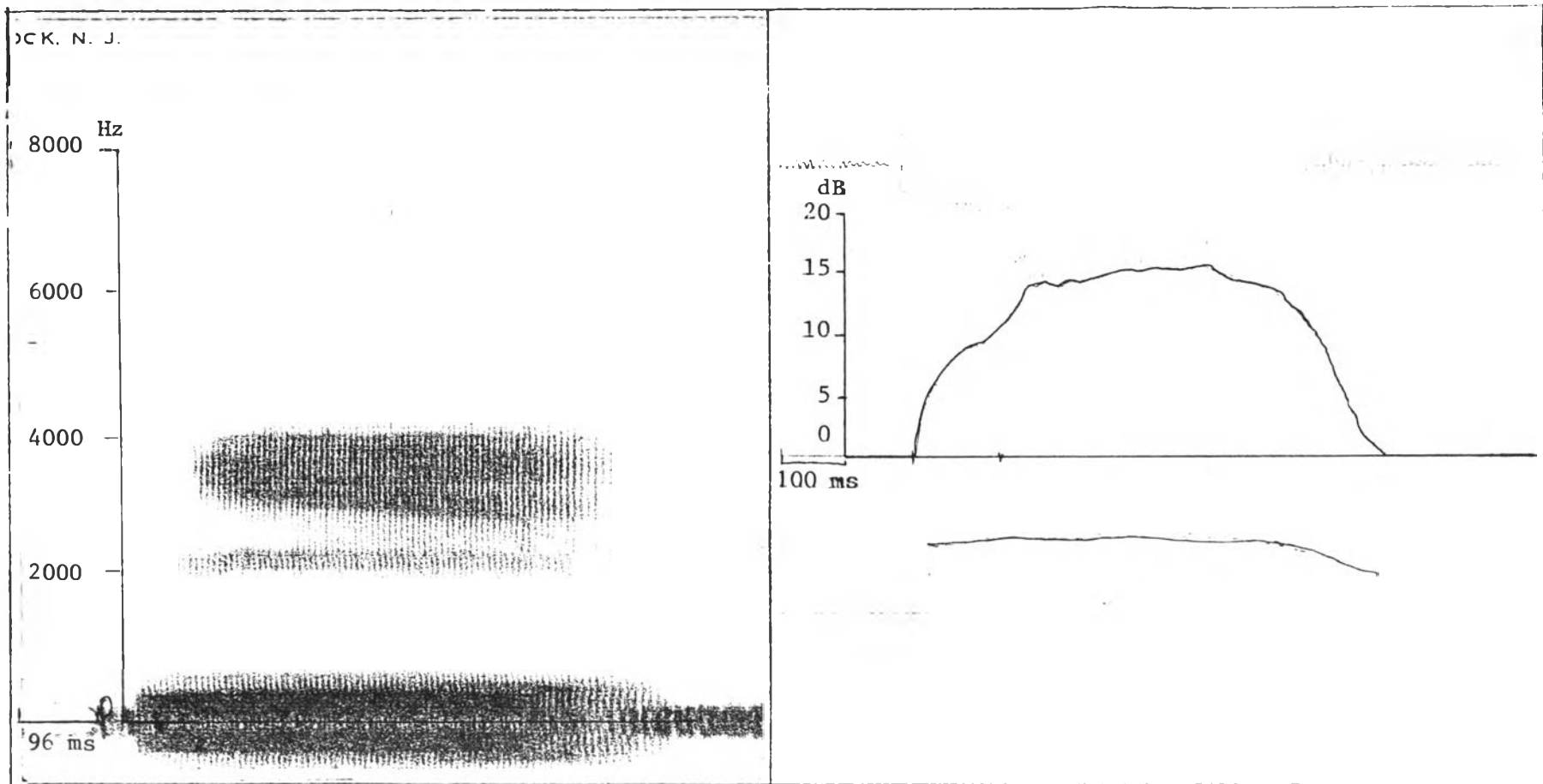
ภาพที่ 41 แผนภาพคลื่นเสียง และแผนภาพมิงโกแกรมของคำว่า [u:n]



ตารางที่ 115 ค่าทางกลศาสตร์ค่าสเตรของ /n/ ในคำว่า [น:น]

		ค่าFของระยะคงที่ของพยัญชนะ (Hz)				
ค่า จุดที่		0	25%	50%	75%	100%
F4	$\bar{X}$ :	3467	3717	3867	6933	3933
	S.D. :	98.31	60.55	81.64	68.31	68.31
F3	$\bar{X}$ :	2571	2733	2800	2800	2800
	S.D. :	51.03	68.31	62.15	62.15	62.15
F2	$\bar{X}$ :					
	S.D. :					
F1	$\bar{X}$ :	325	325	325	325	325
	S.D. :	37.63	37.63	37.63	37.63	37.63
ค่าF ของ Pre-C-Trans (Hz)						
F4	$\bar{X}$ :					
	S.D. :					
F3	$\bar{X}$ :					
	S.D. :					
F2	$\bar{X}$ :	612	704	917	1154	1479
	S.D. :	58.63	55.71	75.27	90.02	57.91
F1	$\bar{X}$ :	325	325	325	325	325
	S.D. :	37.63	37.63	37.63	37.63	37.63
ค่าระยะเวลาของระยะคงที่ (ms)			ค่าระยะเวลาของF-Trans(ms)			
$\bar{X}$ :		210			78	
S.D. :		17.43			6.19	
ค่าความเข้มของเสียงพยัญชนะ (dB)						
$\bar{X}$ :		7.50				
S.D. :		1.50				

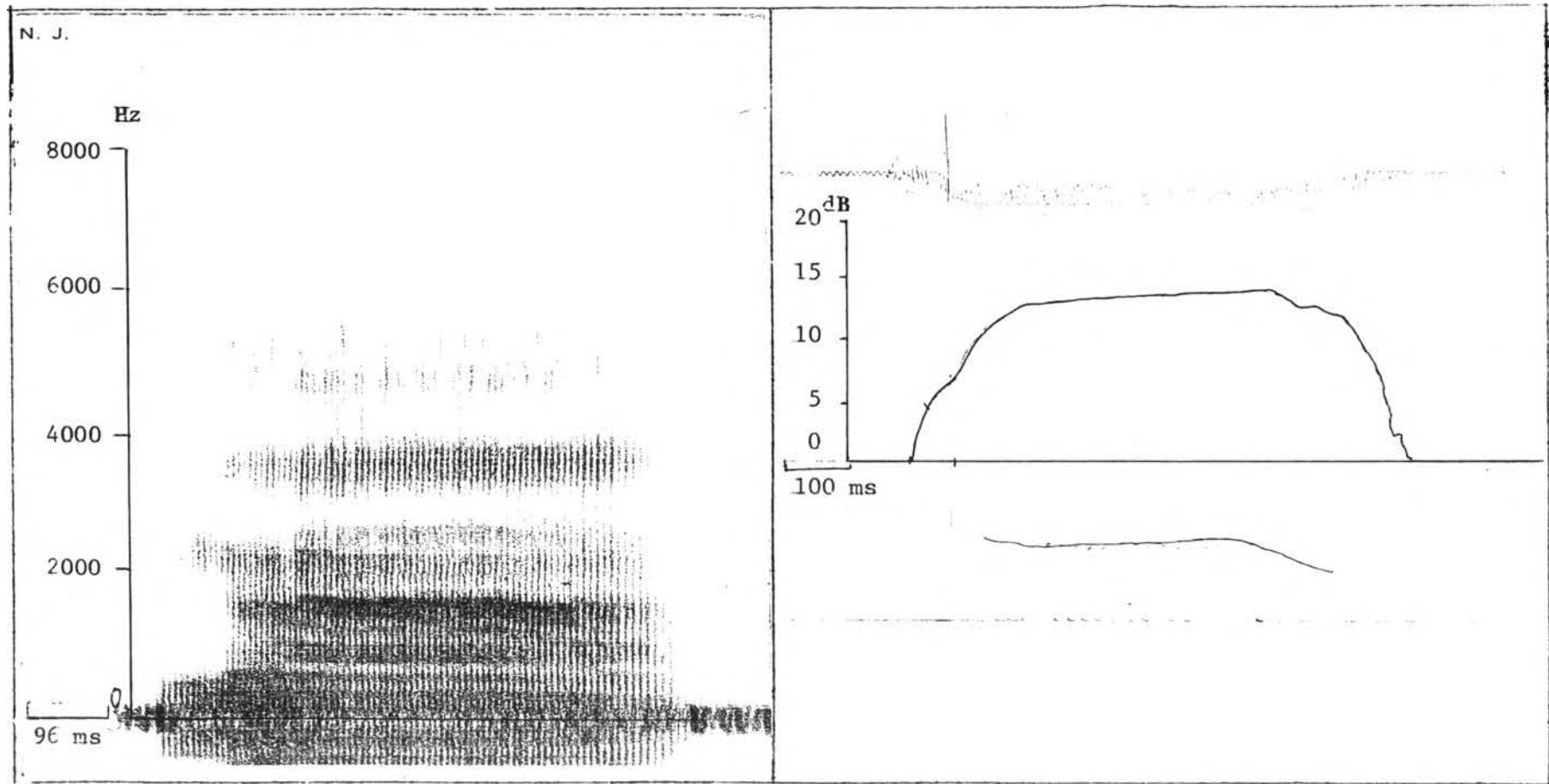
ภาพที่ 42 แม่ตาพดสั้นเสียง และแม่ภาพมิงโกแกรมของคำว่า [กิ:]



ตารางที่ 11๖ ค่าทางกลศาสตร์ของ /ŋ/ ในคำว่า [ŋi:]

		ค่า F ของระยะคงที่ของพยัญชนะ (Hz)				
จุดที่ ค่า		0	25%	50%	75%	100%
F4	$\bar{F}$ :	3933	3933	3933	3933	3933
	S.D. :	115.83	115.83	115.83	115.83	115.83
F3	$\bar{F}$ :	2200	2200	2200	2200	2200
	S.D. :	51.63	51.63	51.63	51.63	51.63
F2	$\bar{F}$ :					
	S.D. :					
F1	$\bar{F}$ :	313	313	313	313	313
	S.D. :	30.61	30.61	30.61	30.61	30.61
		ค่า F ของ Post-C-Trans (Hz)				
F4	$\bar{F}$ :	3971	3988	4004	4025	4033
	S.D. :	106.55	90.48	91.40	107.23	117.96
F3	$\bar{F}$ :	3742	3675	3621	3550	3504
	S.D. :	86.12	86.60	74.86	69.05	84.28
F2	$\bar{F}$ :	2321	2375	2392	2408	2408
	S.D. :	43.06	50.00	56.27	60.55	60.55
F1	$\bar{F}$ :					
	S.D. :					
		ค่าระยะเวลาของระยะคงที่ (ms)			ค่าระยะเวลาของ F-Trans (ms)	
	$\bar{F}$ :	85			83	
	S.D. :	13.91			6.68	
		ค่าความเข้มของเสียง (dB)				
	$\bar{F}$ :	6.75				
	S.D. :	2.27				

ภาพที่ 43 แผนภาพคลื่นเสียง และแผนภาพมิงโกแกรมของคำว่า [ga:]

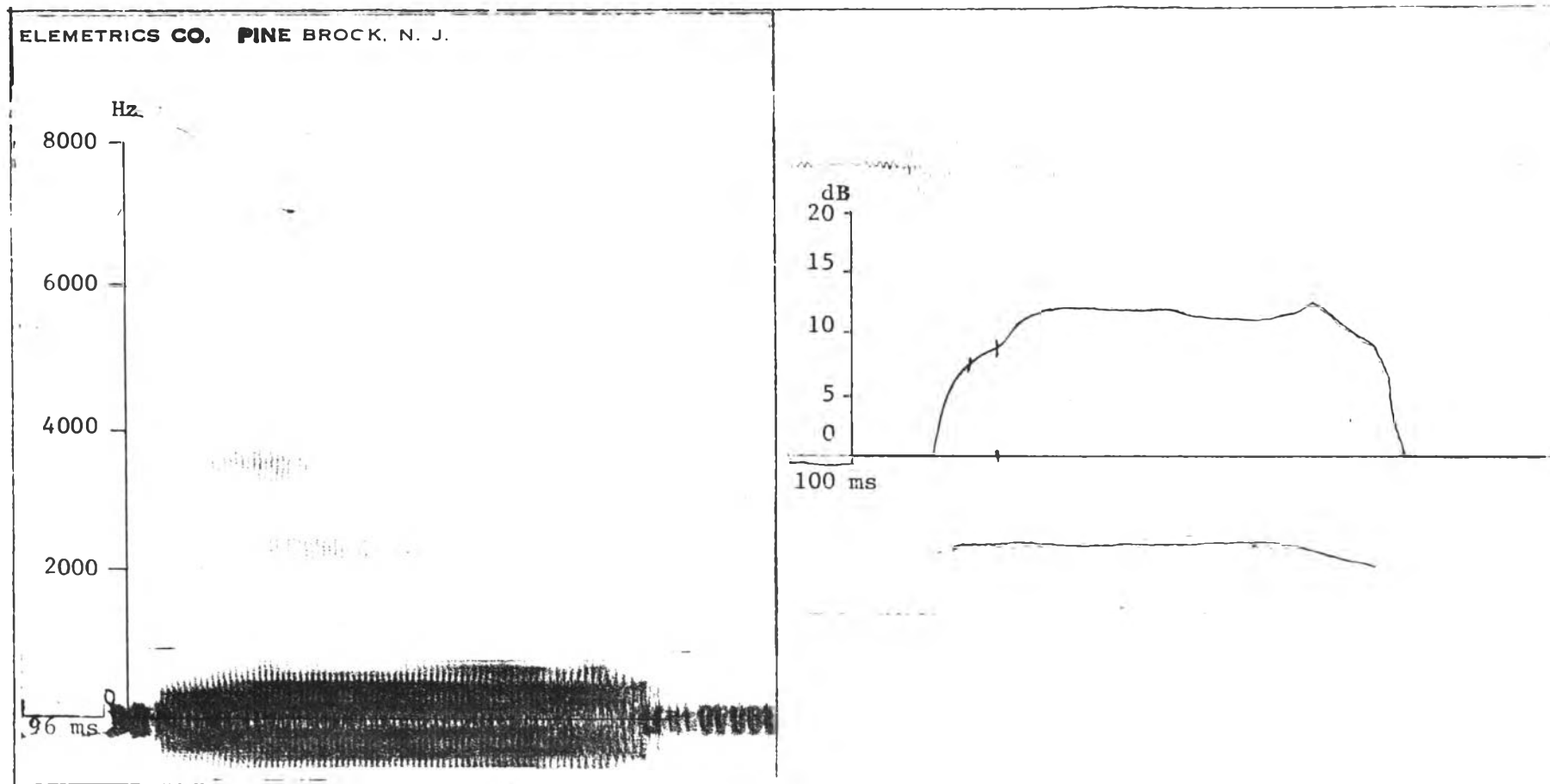


ตารางที่ 117 ค่าทางกลศาสตร์ของ /η/ ในคำว่า [กจ:]

		ค่า F ของระยะคงที่ของพยัญชนะ (Hz)				
จุดที่		0	25%	50%	75%	100%
ค่า						
F4	$\bar{X}$ :	3850	3854	3863	3867	3875
	S.D. :	14.77	151.17	151.45	153.83	160.46
F3	$\bar{X}$ :	2500	2500	2500	2500	2500
	S.D. :	51.63	51.63	51.63	51.63	51.63
F2	$\bar{X}$ :					
	S.D. :					
F1	$\bar{X}$ :	421	421	421	421	421
	S.D. :	45.87	45.87	45.87	45.87	45.87
ค่า F ของ Post-C-Trans (Hz)						
F4	$\bar{X}$ :	3913	3921	3925	3929	3942
	S.D. :	150.62	137.31	131.33	125.91	115.83
F3	$\bar{X}$ :	2800	2792	2783	2779	2779
	S.D. :	199.37	195.36	192.13	193.91	193.91
F2	$\bar{X}$ :	1667	1638	1613	1588	1588
	S.D. :	108.01	102.16	102.16	102.16	102.16
F1	$\bar{X}$ :	1079	1071	1058	1002	1038
	S.D. :	99.26	88.62	75.27	60.55	60.72
ค่าระยะเวลาของระยะคงที่ (ms)			ค่าระยะเวลาของ F-Trans (ms)			
$\bar{X}$ :	84			54		
S.D. :	17.66			8.57		
ค่าความเข้มของเสียง (dB)						
$\bar{X}$ :	7.41					
S.D. :	1.53					



ภาพที่ 44 แผ่นสเปกตรัมเสียง และแผ่นกราฟมิงไทดแกรมของคำว่า [กน:]

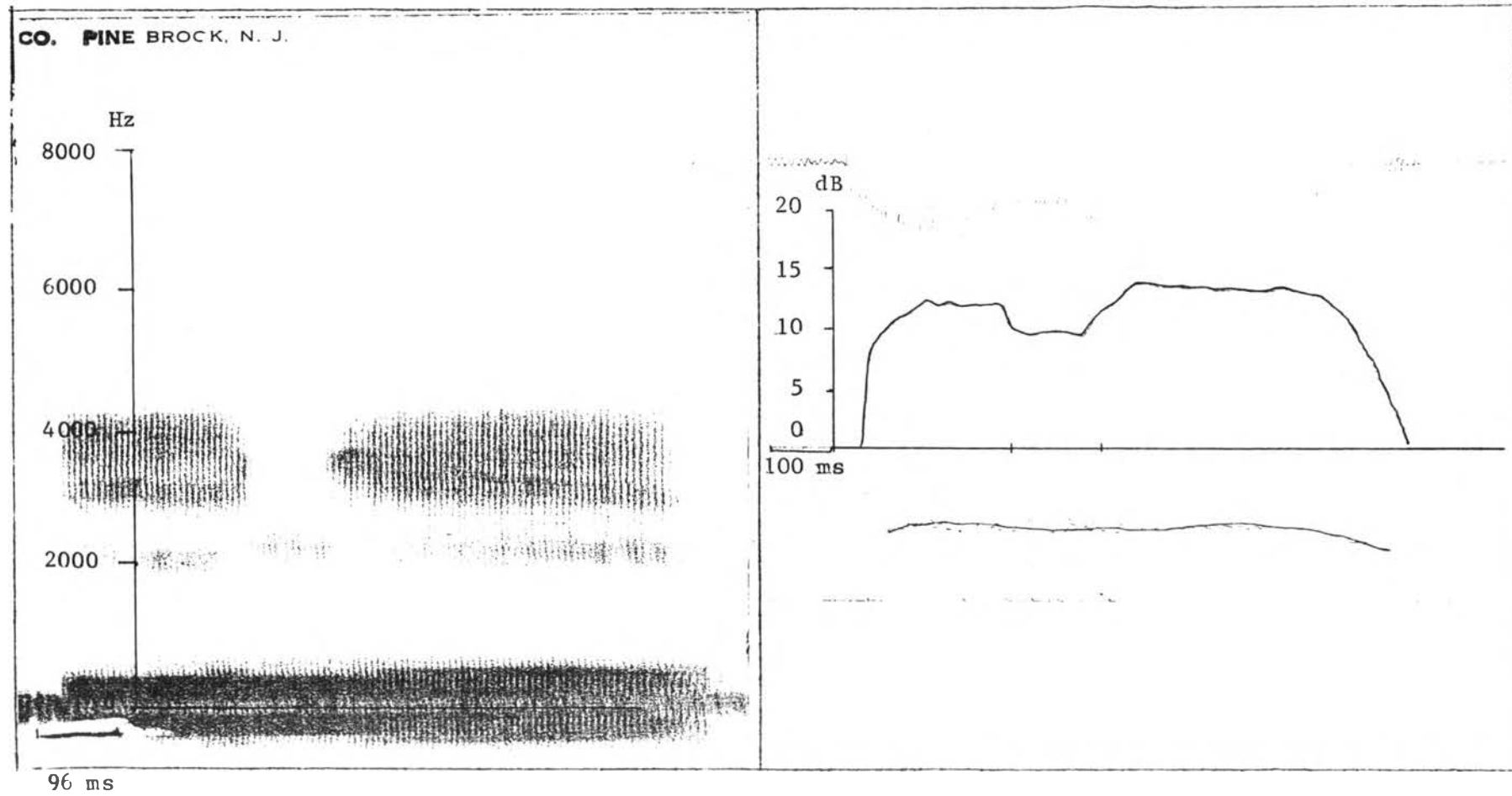




ตารางที่ 118 ค่าทางกลศาสตร์ของ /η/ ในคำว่า [ηน:]

		ค่า F ของระยะคงที่ของพยัญชนะ (Hz)				
ค่า จุดที่		0	25%	50%	75%	100%
F4	$\bar{F}$ :					
	S.D. :					
F3	$\bar{F}$ :	2300	2300	2300	2300	2300
	S.D. :	50.00	50.00	50.00	50.00	50.00
F2	$\bar{F}$ :					
	S.D. :					
F1	$\bar{F}$ :	325	325	325	325	325
	S.D. :	25.00	25.00	25.00	25.00	25.00
ค่า F ของ Post-C-Trans (Hz)						
F4	$\bar{F}$ :					
	S.D. :					
F3	$\bar{F}$ :					
	S.D. :					
F2	$\bar{F}$ :	721	721	721	721	721
	S.D. :	24.57	24.57	24.57	24.57	24.57
F1	$\bar{F}$ :	325	325	325	325	325
	S.D. :	22.36	22.36	22.36	22.36	22.36
			ค่าระยะเวลาของระยะคงที่ (ms)		ค่าระยะเวลาของ F-Trans (ms)	
$\bar{F}$ :		86			12	
S.D. :		12.43			12.43	
ค่าความเข้มของเสียง (dB)						
$\bar{F}$ :		6.53				
S.D. :		1.17				

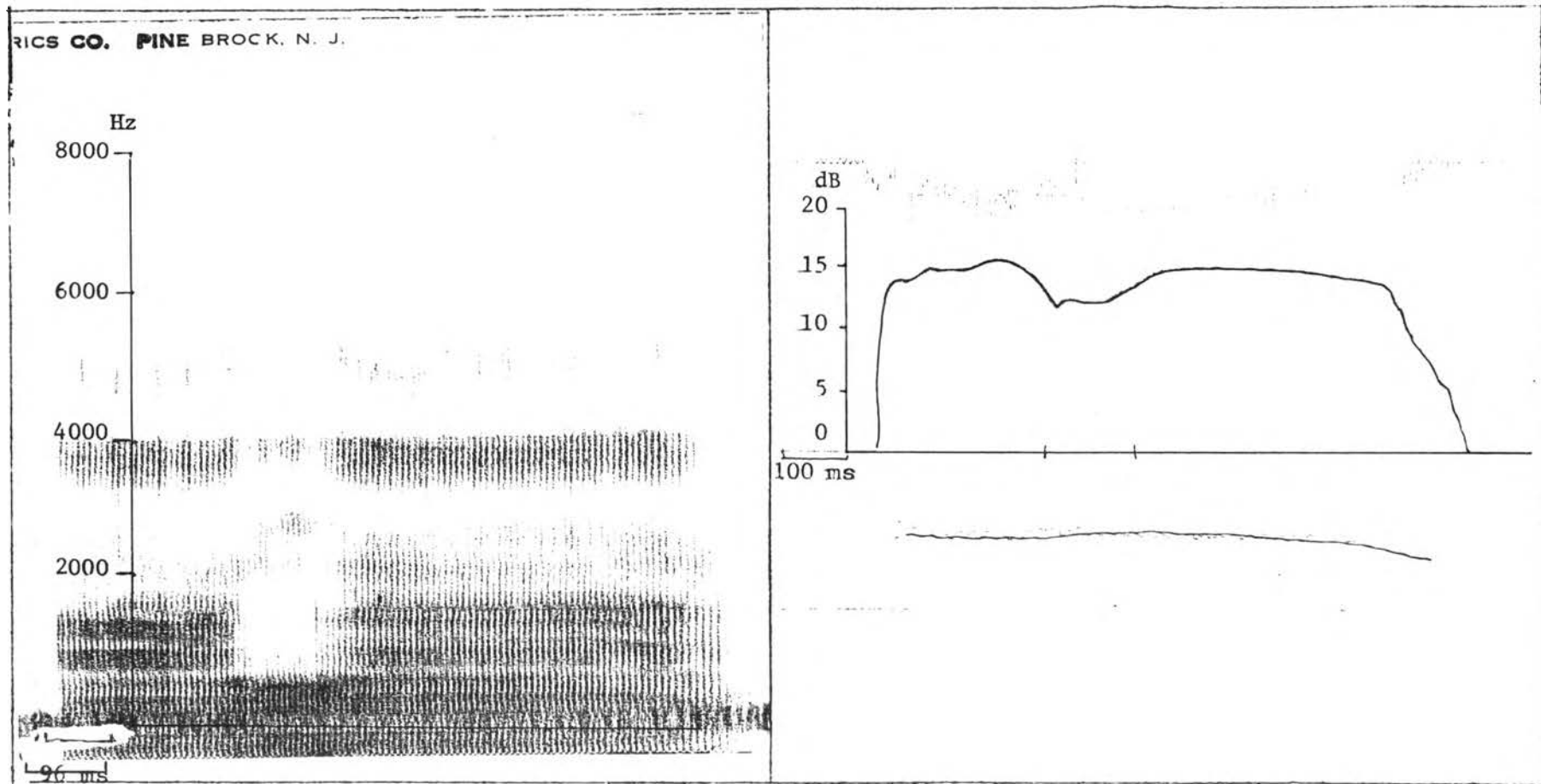
ภาพที่ 45 แม่ภาพคลื่นเสียง และแม่ภาพมิงโกแกรมของคำว่า [l:ŋi:]



ตารางที่ 119 ค่าทางกลศาสตร์ของ /ŋ/ ในคำว่า [i:ŋi:]

		ค่า F ของระยะคงที่ของพยัญชนะ (Hz)				
จุดที่		0	25%	50%	75%	100
ค่า						
F4	$\bar{X}$	3775	3875	3896	3833	3783
	S.D.	157.32	136.01	139.11	137.53	137.53
F3	$\bar{X}$	2450	2450	2450	2450	2450
	S.D.	44.32	44.32	44.32	44.32	44.32
F2	$\bar{X}$					
	S.D.					
F1	$\bar{X}$	317	317	317	317	317
	S.D.	20.41	20.41	20.41	20.41	20.41
		ค่า F ของ Pre-C-F-Trans				
F4	$\bar{X}$	3879	3925	3950	3975	3983
	S.D.	100.51	108.39	98.74	100.00	87.55
F3	$\bar{X}$	3696	3629	3567	3487	3404
	S.D.	55.71	40.50	40.82	62.74	51.03
F2	$\bar{X}$	2375	2375	2375	2375	2371
	S.D.	4183	40.82	38.72	38.72	40.05
F1	$\bar{X}$	317	317	317	317	317
	S.D.	20.41	20.41	20.41	20.41	20.41
		ค่า F ของ Post-C-F-Trans				
F4	$\bar{X}$	4067	4042	4020	3979	3917
	S.D.	102.06	84.66	81.26	76.51	103.27
F3	$\bar{X}$	3342	3375	3408	3488	3550
	S.D.	40.82	44.72	60.55	78.66	68.92
F2	$\bar{X}$	2242	2267	2313	2338	2363
	S.D.	34.15	37.63	37.91	56.45	49.37
F1	$\bar{X}$	317	317	317	317	317
	S.D.	20.41	20.41	20.41	20.41	20.41
		ระยะเวลาของระยะคงที่	ระยะเวลาของ Pre-C-F-Trans		ระยะเวลาของ Post-C-F-Trans	
$\bar{X}$		105	68		48	
S.D.		9.66	16.47		6.12	
		ค่าความเข้มของเสียงพยัญชนะ				
$\bar{X}$		9.25				
S.D.		1.87				

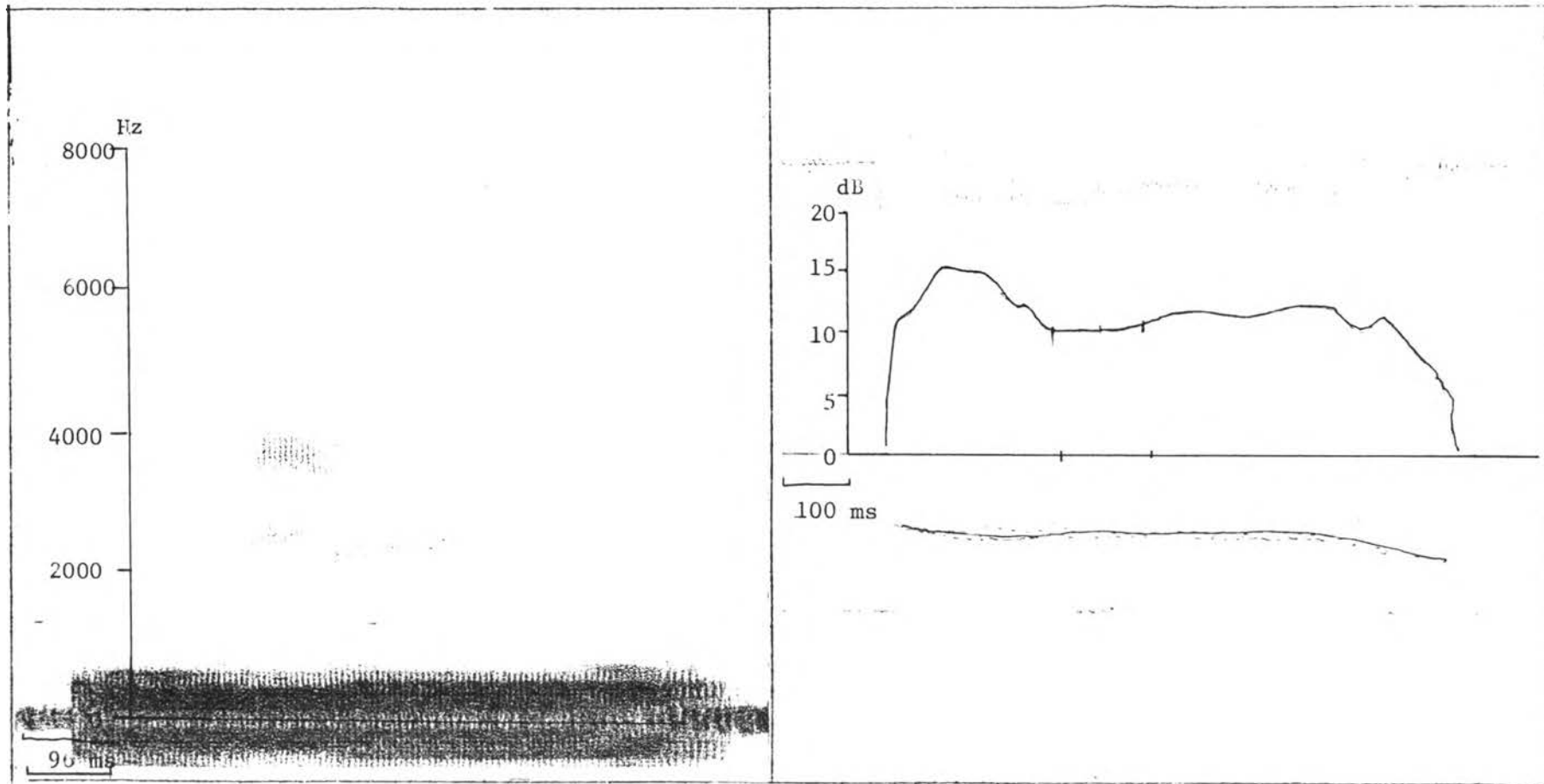
ภาพที่ 46 แผ่นเอกซเรย์เสียง และแผ่นภาพมิงโทแกรมของคำว่า [a: ɲa:]



ตารางที่ 120 ค่าทางกลศาสตร์ของ /η/ ในคำว่า [a:ŋa:]

		ค่า F ของระยะคงที่ของพยัญชนะ (Hz)				
จุดที่		0	25%	50%	75%	100
ค่า						
F4	$\bar{X}$	4000	4017	4021	4017	4004
	S.D.	158.81	30.27	36.79	43.77	33.22
F3	$\bar{X}$	2817	2896	2967	2863	2929
	S.D.	58.45	100.51	56.27	64.71	55.71
F2	$\bar{X}$					
	S.D.					
F1	$\bar{X}$	408	408	408	408	408
	S.D.	20.41	20.41	20.41	20.41	20.41
		ค่า F ของ Pre-C-F-Trans				
F4	$\bar{X}$	3996	3996	3996	3996	4000
	S.D.	18.81	18.81	18.81	18.81	15.81
F3	$\bar{X}$					
	S.D.					
F2	$\bar{X}$	1475	1479	1492	1521	1542
	S.D.	41.83	45.81	40.82	33.22	56.27
F1	$\bar{X}$	1013	1025	1038	1054	1088
	S.D.	37.91	44.72	41.07	40.05	64.71
		ค่า F ของ Post-C-F-Trans				
F4	$\bar{X}$	4004	4000	3995	3995	3995
	S.D.	33.22	27.38	24.57	24.57	24.57
F3	$\bar{X}$					
	S.D.					
F2	$\bar{X}$	1592	1558	1542	1533	1533
	S.D.	64.54	71.87	86.12	90.36	90.36
F1	$\bar{X}$	1092	1062	1046	1033	1033
	S.D.	84.65	89.09	87.20	98.33	98.33
		ระยะเวลาของระยะคงที่	ระยะเวลาของ Pre-C-F-Trans		ระยะเวลาของ Post-C-F-Trans	
$\bar{X}$		96	57		46	
S.D.		10.24	5.50		6.19	
		ค่าความเข้มของเสียงพยัญชนะ				
$\bar{X}$		11.16				
S.D.		1.72				

ภาพที่ 47 แผนภาพคลื่นเสียง และแผนภาพมิงโกแกรมของคำว่า [u: ภูเขา]

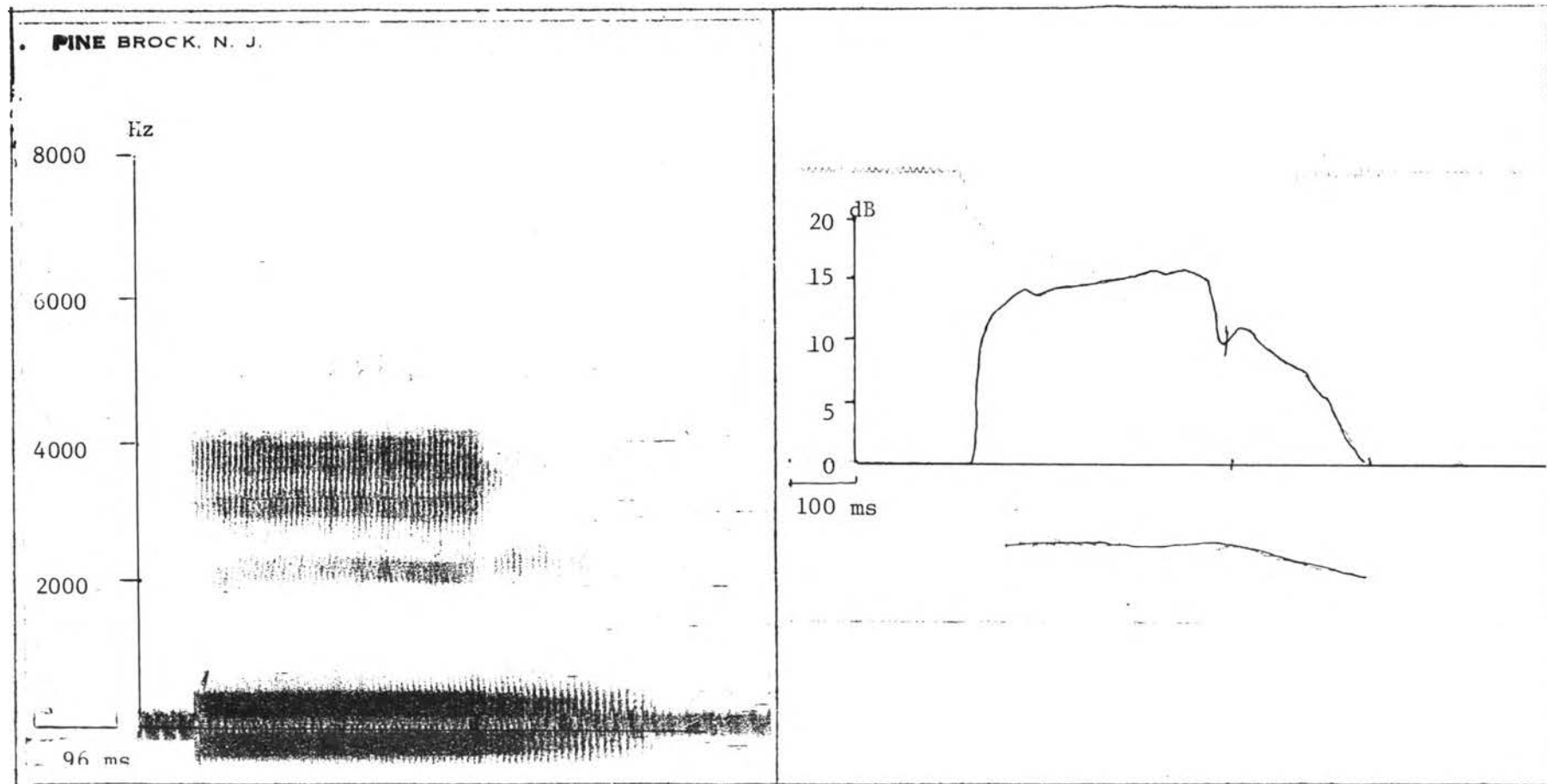


ตารางที่ 12) ค่าทางกลศาสตร์ของ /η/ ในคำว่า [น:ณ:]

		ค่า F ของระยะคงที่ของพยัญชนะ (Hz)					
		จุดที่ ค่า	0	25%	50%	75%	100
F4	$\bar{X}$						
	S.D.						
F3	$\bar{X}$	2750	2750	2750	2750	2750	
	S.D.						
F2	$\bar{X}$						
	S.D.						
F1	$\bar{X}$	300	300	300	300	300	
	S.D.	25.81	25.81	25.81	25.81	25.81	
		ค่า F ของ Pre-C-F-Trans					
F4	$\bar{X}$						
	S.D.						
F3	$\bar{X}$						
	S.D.						
F2	$\bar{X}$	617	617	617	617	617	
	S.D.	30.27	30.27	30.27	30.27	30.27	
F1	$\bar{X}$	800	300	300	300	300	
	S.D.	25.81	25.81	25.81	25.81	25.81	
		ค่า F ของ Post-C-F-Trans					
F4	$\bar{X}$						
	S.D.						
F3	$\bar{X}$						
	S.D.						
F2	$\bar{X}$	617	617	617	617	617	
	S.D.	30.27	30.27	30.27	30.27	30.27	
F1	$\bar{X}$	300	300	300	300	300	
	S.D.	25.81	25.81	25.81	25.81	25.81	
		ระยะเวลาของระยะคงที่	ระยะเวลาของ Pre-C-F-Trans		ระยะเวลาของ Post-C-F-Trans		
	$\bar{X}$	112	10	10	10		
	S.D.	15.36	0	0	0		
		ค่าความเข้มของเสียงพยัญชนะ					
	$\bar{X}$		9.55				
	S.D.		1.5				



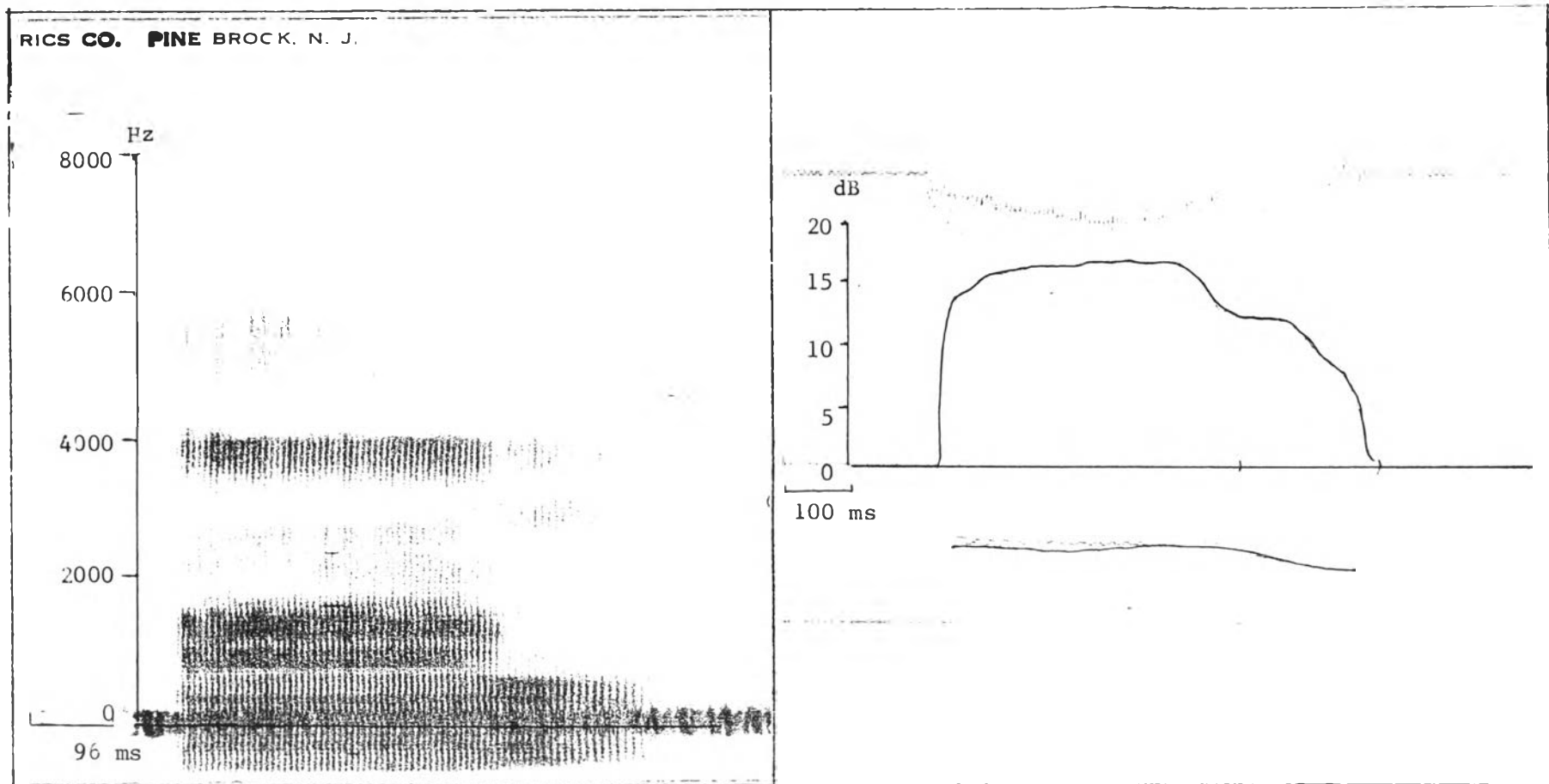
ภาพที่ 48 แผ่นภาพคลื่นเสียง และแผ่นภาพมิงโกแกรมของคำว่า [l: ๑]



ตารางที่ 122 ค่าทางกลศาสตร์ของ /η/ ในคำว่า [i:ŋ]

		ค่า F ของระยะคงที่ของพยัญชนะ (Hz)				
จุดที่		0	25%	50%	75%	100%
ค่า						
F4	$\bar{X}$ :	3642	3883	3983	4000	4008
	S.D. :	86.12	97.03	102.06	93.54	95.74
F3	$\bar{X}$ :	2450	2450	2450	2450	2450
	S.D. :	57.00	57.00	57.00	57.00	57.00
F2	$\bar{X}$ :					
	S.D. :					
F1	$\bar{X}$ :	313	313	313	313	313
	S.D. :	20.91	20.91	20.91	20.91	20.91
ค่า F ของ Pre-C-Trans (Hz)						
F4	$\bar{X}$ :	4004	3992	3946	3863	3642
	S.D. :	98.00	102.06	88.62	90.48	86.12
F3	$\bar{X}$ :	3308	3338	3358	3375	3479
	S.D. :	64.54	58.63	64.54	86.60	124.91
F2	$\bar{X}$ :	2342	2350	2354	2358	2392
	S.D. :	70.11	59.16	53.42	49.15	56.27
F1	$\bar{X}$ :	313	313	313	313	313
	S.D. :	20.91	20.91	20.91	20.91	20.91
ค่าระยะเวลาของระยะคงที่ (ms)			ค่าระยะเวลาของ F-Trans (ms)			
$\bar{X}$ :			712			
S.D. :			17.84			
			62			
			6.48			
ค่าความเข้มของเสียงพยัญชนะ (dB)						
$\bar{X}$ :			6.75			
S.D. :			1.77			

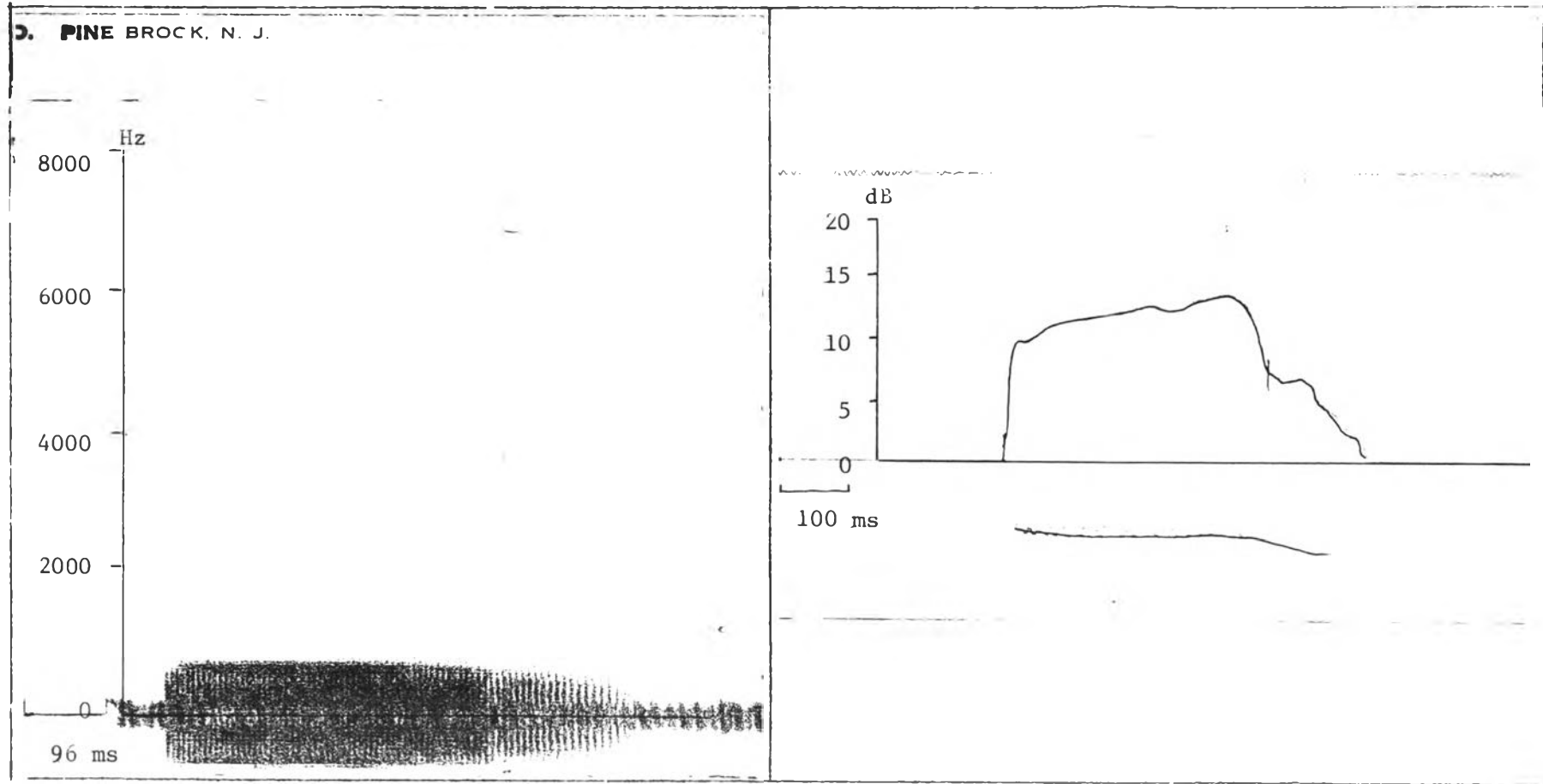
ภาพที่ 49 แผ่นภาพคลื่นเสียง และแผ่นภาพมิงโกแกรมของคำว่า [a: η]



ตารางที่ 123 ค่าทางกลศาสตร์ของ /g/ ในคำว่า [ส:ง]

		ค่าของระยะคงที่ของพยัญชนะ (Hz)						
ค่า จุดที่		0	25%	50%	75%	100%		
F4	$\bar{X}$ :	4008	4008	4008	4008	4008		
	S.D. :	37.63	37.63	37.63	37.63	37.63		
F3	$\bar{X}$ :	2896	3046	3087	3087	3087		
	S.D. :	64.06	95.41	68.46	68.46	68.46		
F2	$\bar{X}$ :							
	S.D. :							
F1	$\bar{X}$ :	388	388	388	388	338		
	S.D. :	37.91	37.91	37.91	37.91	37.91		
ค่า F ของ Pre-C-Trans (Hz)								
F4	$\bar{X}$ :	4008	4008	4008	4008	4008		
	S.D. :	51.03	51.03	51.03	51.03	51.03		
F3	$\bar{X}$ :	2842	2846	2863	2871	2896		
	S.D. :	60.55	53.42	56.45	69.67	64.06		
F2	$\bar{X}$ :	1421	1421	1421	1421	1475		
	S.D. :	64.06	64.06	64.06	64.06	64.06		
F1	$\bar{X}$ :	967	979	992	1000	1008		
	S.D. :	43.77	57.91	54.00	54.33	58.45		
ค่าระยะเวลาของระยะคงที่ (ms)			ค่าระยะเวลาของ F-Trans (ms)					
$\bar{X}$ :			213			46		
S.D. :			17.69			7.20		
ค่าความเข้มของเสียงหนักยางะ (dB)								
$\bar{X}$ :			9.00					
S.D. :			1.35					

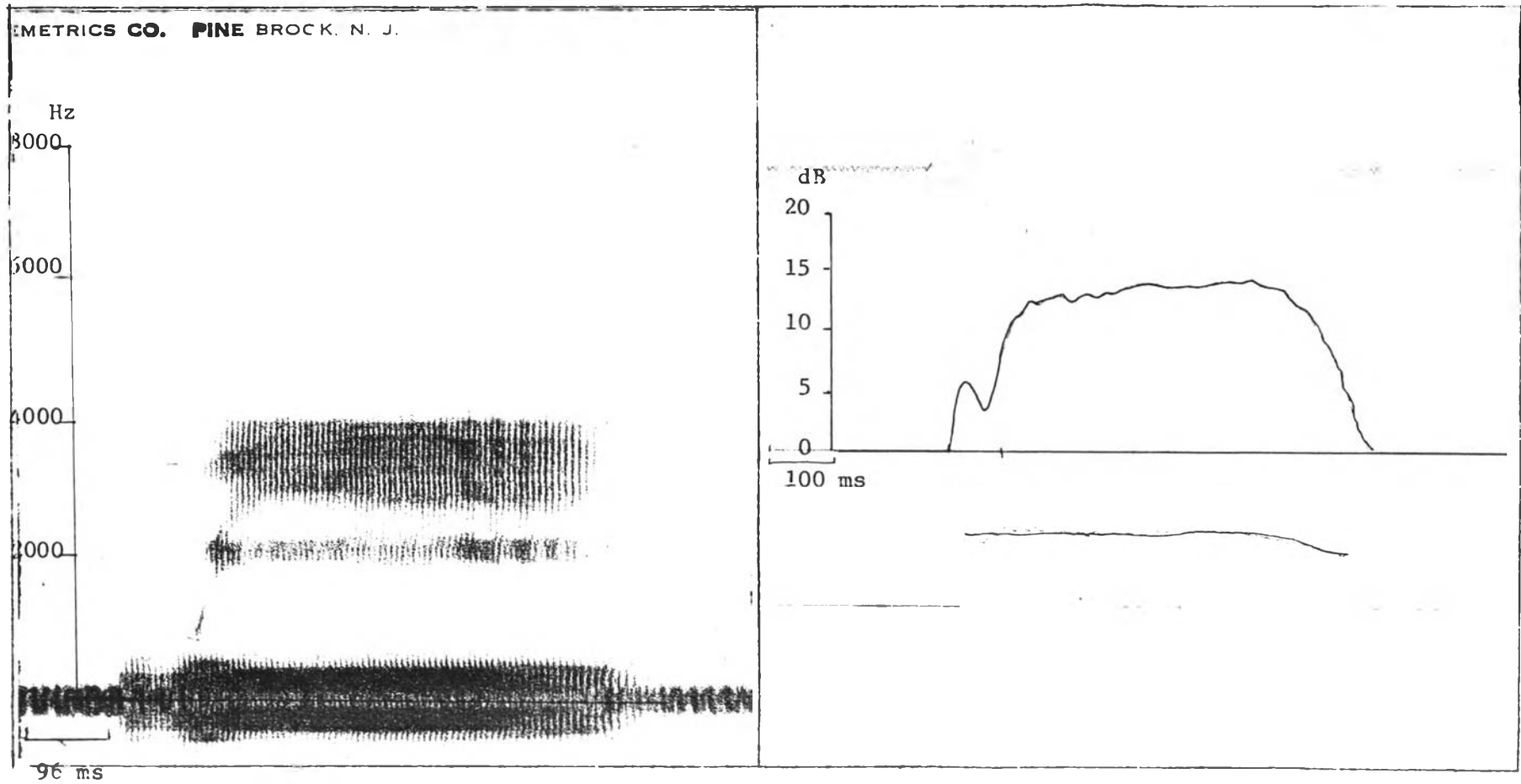
ภาพที่ 50 แม่แบบคลื่นเสียง และแม่แบบมิงโกแกรมของคำว่า [u:ŋ]



ตารางที่ 17 ค่าทางกลศาสตร์ค่ามาตรฐาน /ก/ ในคำว่า [น:ก]

		ค่าของระยะคงที่ของพยัญชนะ (Hz)				
ค่า จุดที่		0	25%	50%	75%	100%
F4	$\bar{X}$ :					
	S.D. :					
F3	$\bar{X}$ :	2850	2850	2850	2850	2850
	S.D. :	41.83	41.83	41.83	41.83	41.83
F2	$\bar{X}$ :					
	S.D. :					
F1	$\bar{X}$ :	321	321	321	321	321
	S.D. :	33.22	33.22	33.22	33.22	33.22
ค่า F ของ Pre-C-Trans (Hz)						
F4	$\bar{X}$ :					
	S.D. :					
F3	$\bar{X}$ :					
	S.D. :					
F2	$\bar{X}$ :	658	658	658	658	658
	S.D. :	58.45	58.45	58.45	58.45	58.45
F1	$\bar{X}$ :	321	321	321	321	321
	S.D. :	33.22	33.22	33.22	33.22	33.22
ค่าระยะเวลาของระยะคงที่ (ms)				ค่าระยะเวลาของ F-Trans (ms)		
$\bar{X}$ :		195			10	
S.D. :		12.95			9.90	
ค่าความเข้มของเสียงเพี้ยน (dB)						
$\bar{X}$ :		7.66				
S.D. :		1.57				

ภาพที่ 51 แม่ภาพคลื่นเสียง และแม่ภาพมิงโกแกรมของคำว่า [wi:]

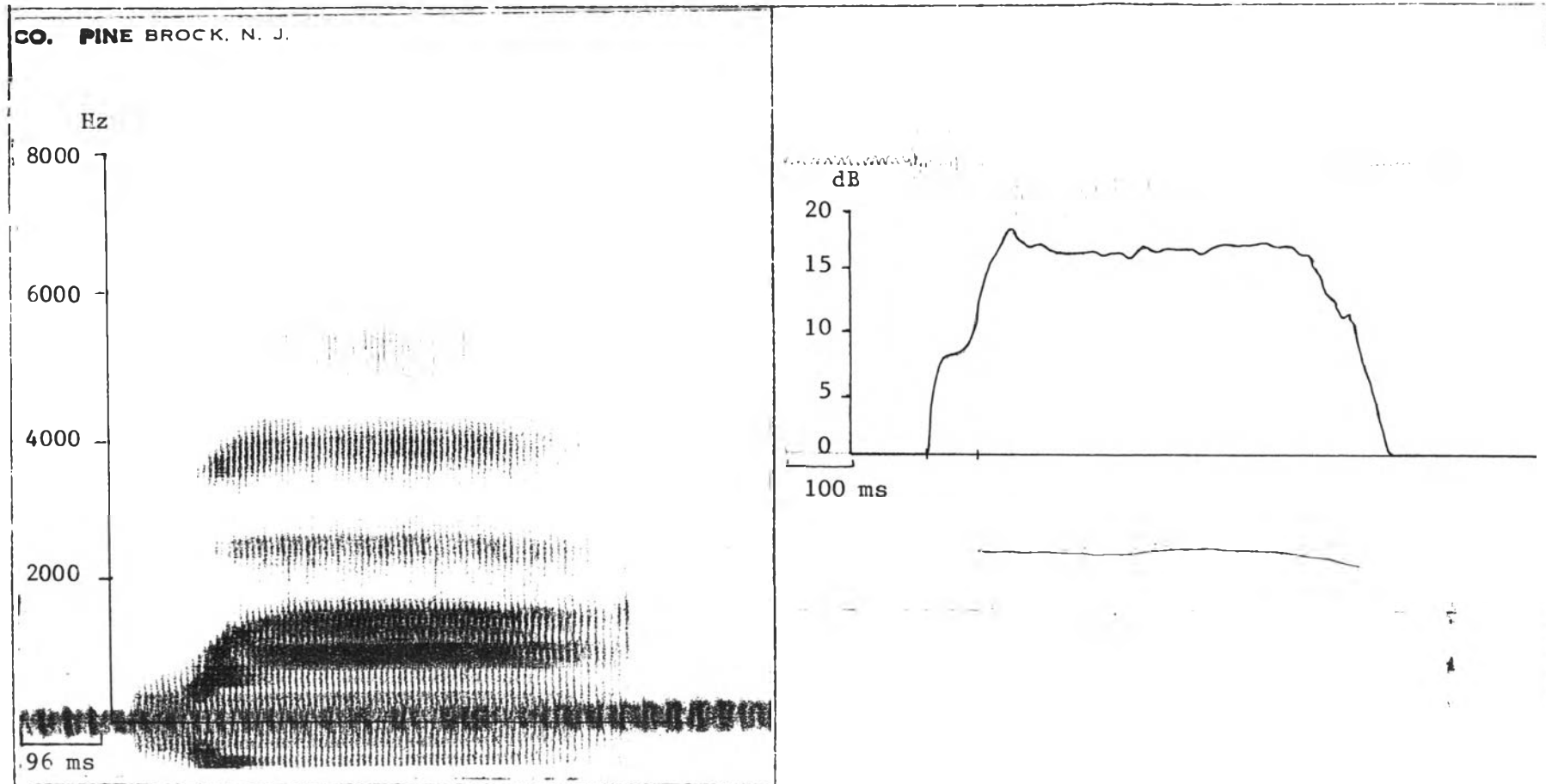


ตารางที่ 125 ค่าทางกลศาสตร์ของ /w/ ในคำว่า [wi:]

		ค่า F ของระยะคงที่ของพยัญชนะ (Hz)				
ค่า จุดที่		0	25%	50%	75%	100%
F4	$\bar{X}$ :					
	S.D. :					
F3	$\bar{X}$ :					
	S.D. :					
F2	$\bar{X}$ :	550	550	550	933	1771
	S.D. :	23.38	27.38	27.38	136.02	176.36
F1	$\bar{X}$ :	321	321	321	321	321
	S.D. :	40.05	40.05	40.05	40.05	40.05
		ค่า F ของ Post-C-Trans (Hz)				
F4	$\bar{X}$ :	3508	3696	3833	3913	3913
	S.D. :	73.59	116.63	104.48	128.20	128.20
F3	$\bar{X}$ :	2321	2988	3288	3358	3367
	S.D. :	100.51	131.10	54.19	71.87	81.64
F2	$\bar{X}$ :	1771	2271	2313	2317	2317
	S.D. :	176.36	81.26	68.46	70.11	70.11
F1	$\bar{X}$ :	321	333	333	333	333
	S.D. :	40.05	20.41	20.41	20.41	20.41
		ค่าระยะเวลาของระยะคงที่ (ms)			ค่าระยะเวลาของ F-Trans (ms)	
$\bar{X}$ :		115			75	
S.D. :		5.31			16.80	
		ค่าความเข้มของเสียง (dB)				
$\bar{X}$ :		5.83				
S.D. :		2.17				



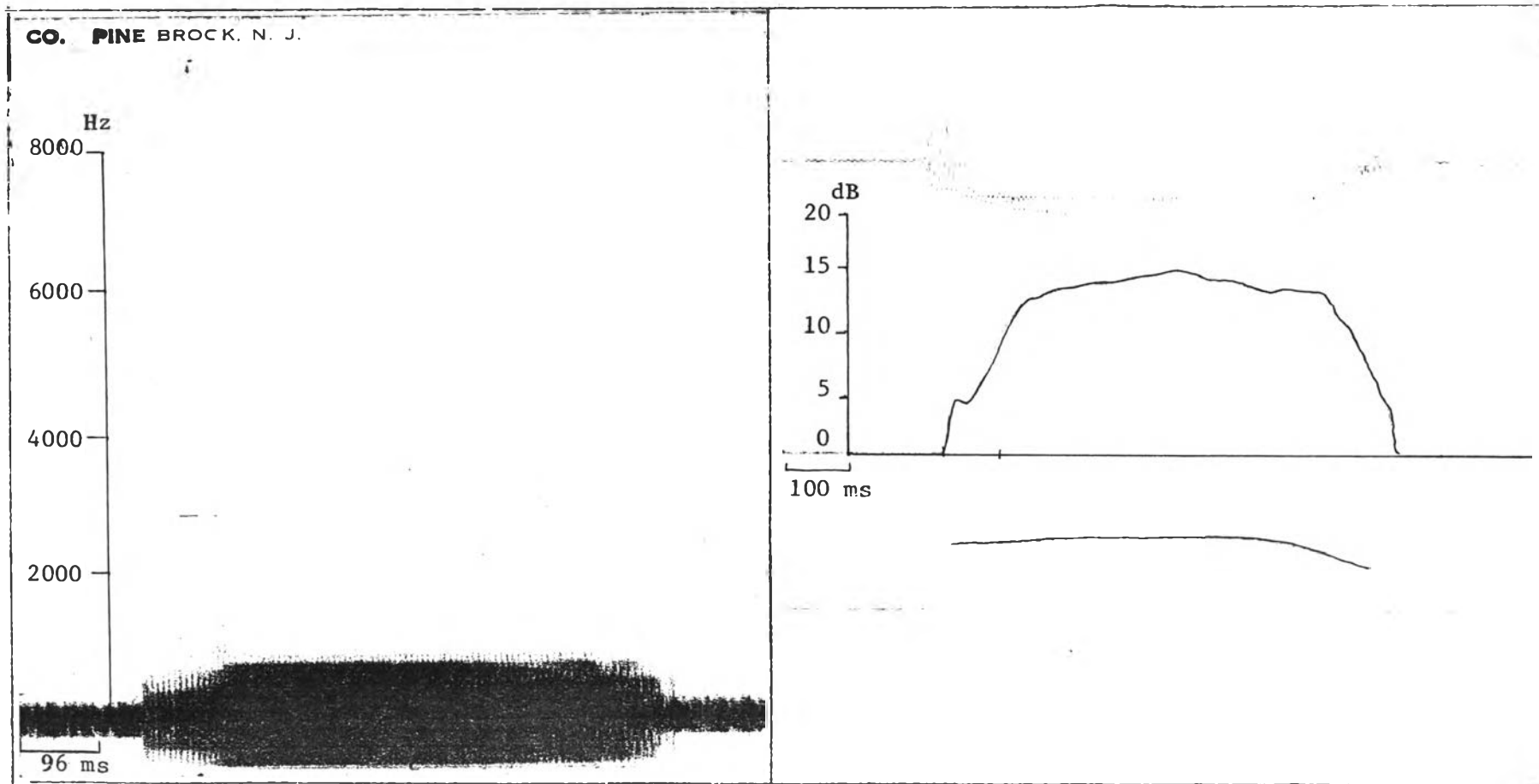
ภาพที่ 52 แม่พาทคลื่นเสียง และแม่พาทมิงโกแตรของคำว่า [wa:]



ตารางที่ 120 ค่าทางกลศาสตร์ของ /w/ ในคำว่า [wa:]

		ค่า F ของระยะคงที่ของพยัญชนะ (Hz)				
จุดที่		0	25%	50%	75%	100%
ค่า						
F4	$\bar{X}$ :					
	S.D. :					
F3	$\bar{X}$ :					
	S.D. :					
F2	$\bar{X}$ :	550	550	550	550	550
	S.D. :	25.00	25.00	25.00	25.00	25.00
F1	$\bar{X}$ :	388	388	388	388	388
	S.D. :	70.26	70.26	70.26	70.26	70.26
		ค่า F ของ Post-C-Trans (Hz)				
F4	$\bar{X}$ :	3717	3813	3942	4008	4008
	S.D. :	129.09	119.11	84.65	60.55	60.55
F3	$\bar{X}$ :	2479	2500	2521	2525	2525
	S.D. :	105.37	85.14	67.85	59.16	59.16
F2	$\bar{X}$ :	1004	1175	1321	1383	1392
	S.D. :	120.84	97.46	57.91	60.55	66.45
F1	$\bar{X}$ :	608	808	888	925	925
	S.D. :	73.59	95.74	70.26	57.00	57.00
		ค่าระยะเวลาของระยะคงที่ (ms)			ค่าระยะเวลาของ F-Trans (ms)	
	$\bar{X}$ :	110			57	
	S.D. :	12.82			9.61	
		ค่าความเข้มของเสียง (dB)				
	$\bar{X}$ :	6.83				
	S.D. :	0.91				

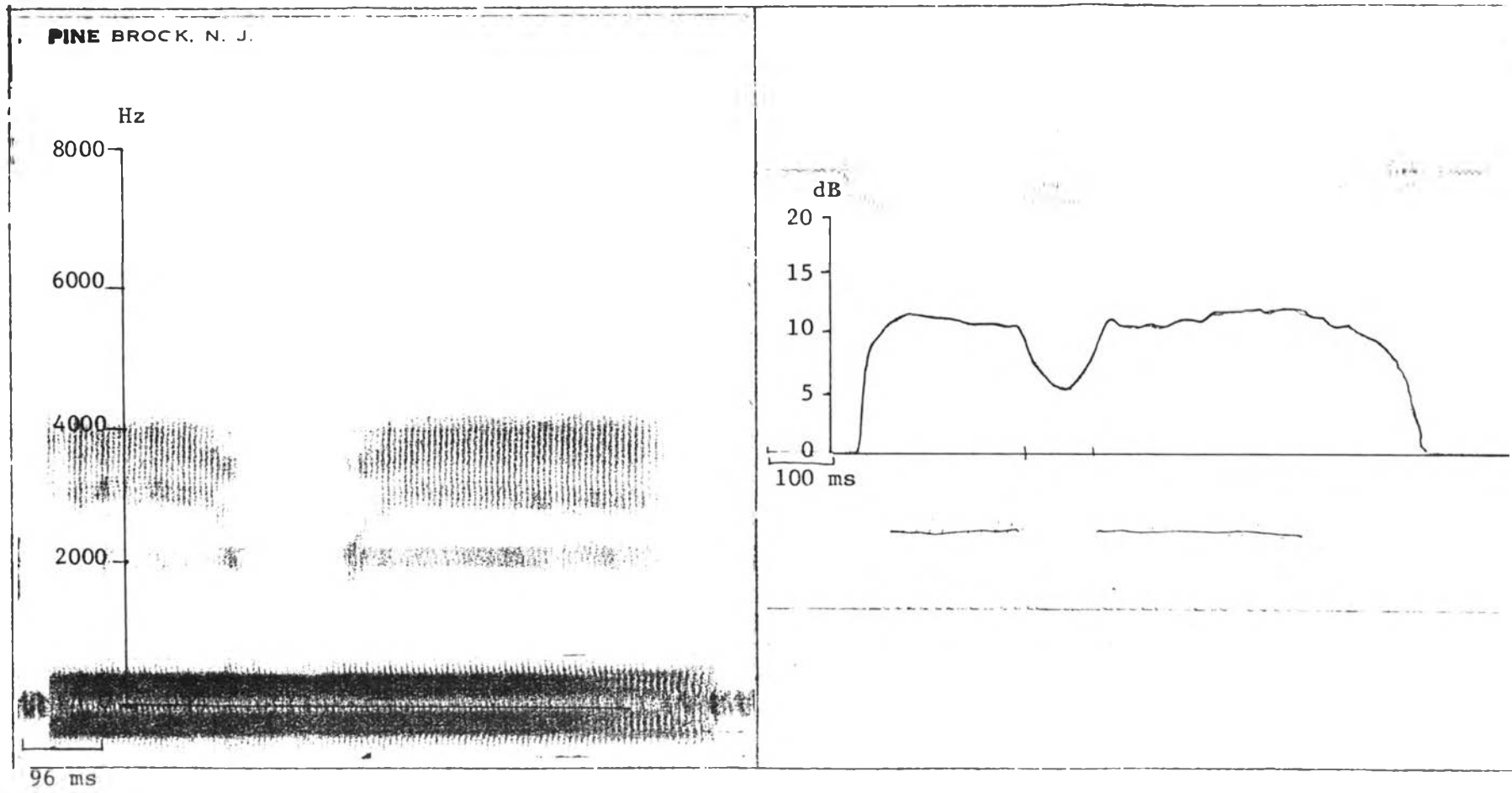
ภาพที่ 53 แม่แบบคลื่นเสียง และแม่แบบมิงโกแอมของคำว่า [wu:]



ตารางที่ 127 ค่าทางกลศาสตร์ของ /w/ ในคำว่า [พว:]

		ค่า F ของระยะคงที่ของพยัญชนะ (Hz)				
จุดที่		0	25%	50%	75%	100%
ค่า						
F4	$\bar{X}$ :					
	S.D. :					
F3	$\bar{X}$ :					
	S.D. :					
F2	$\bar{X}$ :	504	504	504	504	504
	S.D. :	33.22	33.22	33.22	33.22	33.22
F1	$\bar{X}$ :	300	300	300	300	300
	S.D. :	44.72	44.72	44.72	44.72	44.72
ค่า F ของ Post-C-Trans (Hz)						
F4	$\bar{X}$ :					
	S.D. :					
F3	$\bar{X}$ :					
	S.D. :					
F2	$\bar{X}$ :	504	504	504	504	504
	S.D. :	33.22	33.22	33.22	33.22	33.22
F1	$\bar{X}$ :	300	300	300	300	300
	S.D. :	44.72	44.72	44.72	44.72	44.72
ค่าระยะเวลาของระยะคงที่ (ms)			ค่าระยะเวลาของ F-Trans (ms)			
$\bar{X}$ :		80		48		
S.D. :		13.94		0.00		
ค่าความเข้มของเสียง (dB)						
$\bar{X}$ :				2.75		
S.D. :				2.21		

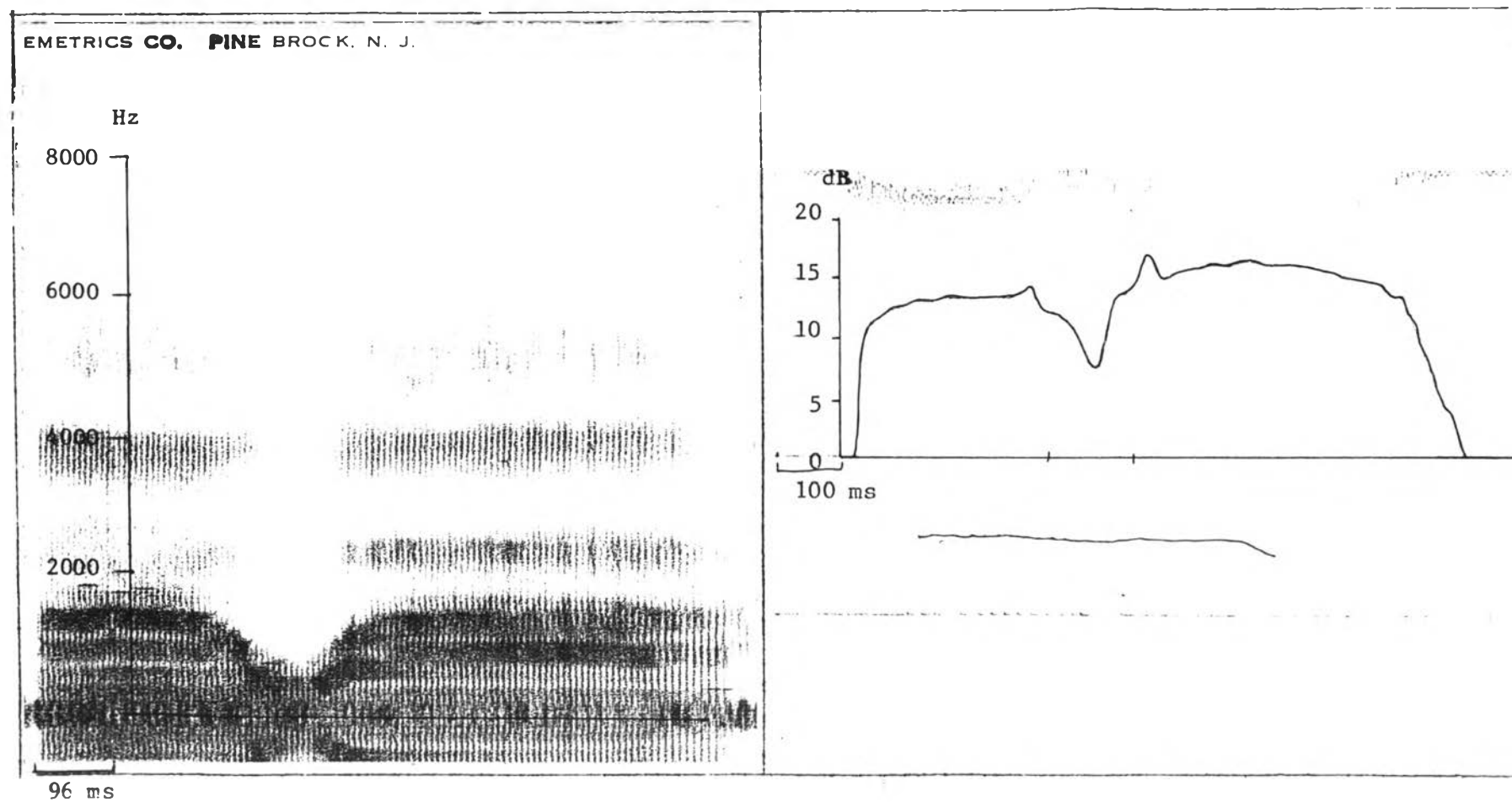
ภาพที่ 54 แผ่นภาพคลื่นเสียง และแผ่นภาพมิงโทแกรมของคำว่า [ i: wi: ]



ตารางที่ 128 ค่าทางกลศาสตร์ของ /w/ ในคำว่า [wi:]

		ค่า F ของระยะคงที่ของพยัญชนะ (Hz)				
จุดที่		0	25%	50%	75%	100
ค่า						
F4	$\bar{X}$					
	S.D.					
F3	$\bar{X}$					
	S.D.					
F2	$\bar{X}$	2125	1433	1179	1433	2125
	S.D.	100.00	177.95	140.01	164.06	100.00
F1	$\bar{X}$	329	329	329	329	329
	S.D.	22.43	22.43	22.43	22.43	22.43
		ค่า F ของ Pre-C-F-Trans				
F4	$\bar{X}$	3938	3904	3871	3771	3595
	S.D.	113.74	88.62	85.75	64.06	51.03
F3	$\bar{X}$	3379	3346	3266	3033	2446
	S.D.	110.01	104.18	104.48	140.23	108.87
F2	$\bar{X}$	2271	2271	2271	2271	2125
	S.D.	45.87	45.87	45.87	45.87	100.00
F1	$\bar{X}$	350	350	350	350	329
	S.D.	0.00	0.00	0.00	0.00	24.57
		ค่า F ของ Post-C-F-Trans				
F4	$\bar{X}$	3654	3775	3888	3921	3938
	S.D.	45.87	50.00	70.26	67.85	59.63
F3	$\bar{X}$	2517	3021	3200	3254	3254
	S.D.	121.10	94.09	57.00	84.28	84.28
F2	$\bar{X}$	2125	2321	2329	2333	2333
	S.D.	100.00	36.79	36.79	43.77	43.77
F1	$\bar{X}$	329	350	350	350	350
	S.D.	24.57	0.00	0.00	0.00	0.00
		ระยะเวลาของระยะคงที่	ระยะเวลาของ Pre-C-F-Trans		ระยะเวลาของ Post-C-F-Trans	
	$\bar{X}$	133	64		64	
	S.D.	6.12	6.19		12.92	
		ค่าความเข้มของเสียงพยัญชนะ				
	$\bar{X}$	6.66				
	S.D.	1.36				

ภาพที่ 55 แม่ภาพคลื่นเสียง และแม่ภาพบึงโกแกรมของคำว่า [a: wa:]

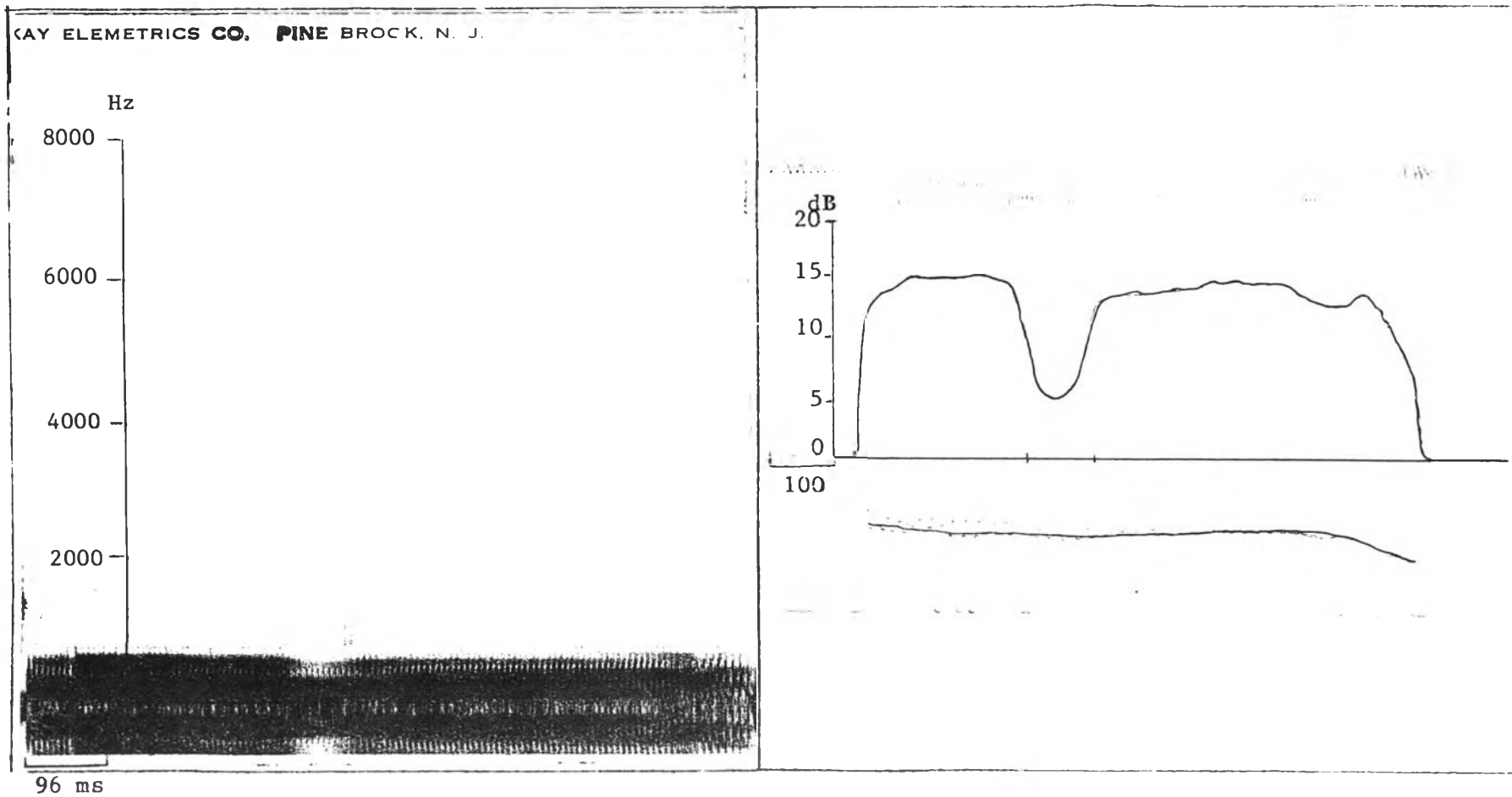


ตารางที่ 129 ค่าทางกลศาสตร์ของ /w/ ในคำว่า [a:wa:]

		ค่า F ของระยะคงที่ของพยัญชนะ (Hz)				
จุดที่		0	25%	50%	75%	100
ค่า						
F4	$\bar{X}$	3888	3867	3875	3871	3917
	S.D.	70.26	58.45	70.71	84.28	58.45
F3	$\bar{X}$					
	S.D.					
F2	$\bar{X}$	786	700	521	713	786
	S.D.	116.63	100.00	24.57	77.05	81.26
F1	$\bar{X}$	804	479	325	446	645
	S.D.	105.37	96.77	52.44	60.00	78.12
		ค่า F ของ Pre-C-F-Trans				
F4	$\bar{X}$	4008	4004	3996	3958	3888
	S.D.	64.54	55.71	40.05	25.81	70.26
F3	$\bar{X}$	2717	2717	2712	2604	2308
	S.D.	60.55	60.55	58.63	45.87	58.45
F2	$\bar{X}$	1463	1463	1454	1375	786
	S.D.	68.46	68.46	65.98	77.45	116.63
F1	$\bar{X}$	1013	1013	1013	1000	804
	S.D.	46.77	46.77	46.77	35.35	105.37
		ค่า F ของ Post-C-F-Trans				
F4	$\bar{X}$	3917	3950	4021	4058	4075
	S.D.	58.45	52.44	54.42	73.59	63.24
F3	$\bar{X}$	2238	2458	2529	2550	2563
	S.D.	44.01	37.63	60.03	74.16	87.67
F2	$\bar{X}$	786	1288	1392	1429	1442
	S.D.	116.63	70.26	37.63	40.05	58.45
F1	$\bar{X}$	646	825	913	954	967
	S.D.	78.12	50.00	41.07	40.05	43.71
		ระยะเวลาของระยะคงที่	ระยะเวลาของ Pre-C-F-Trans		ระยะเวลาของ Post-C-F-Trans	
$\bar{X}$		128	55		55	
S.D.		16.72	6.68		6.68	
		ค่าความเข้มของเสียงพยัญชนะ				
$\bar{X}$		9.16				
S.D.		1.74				



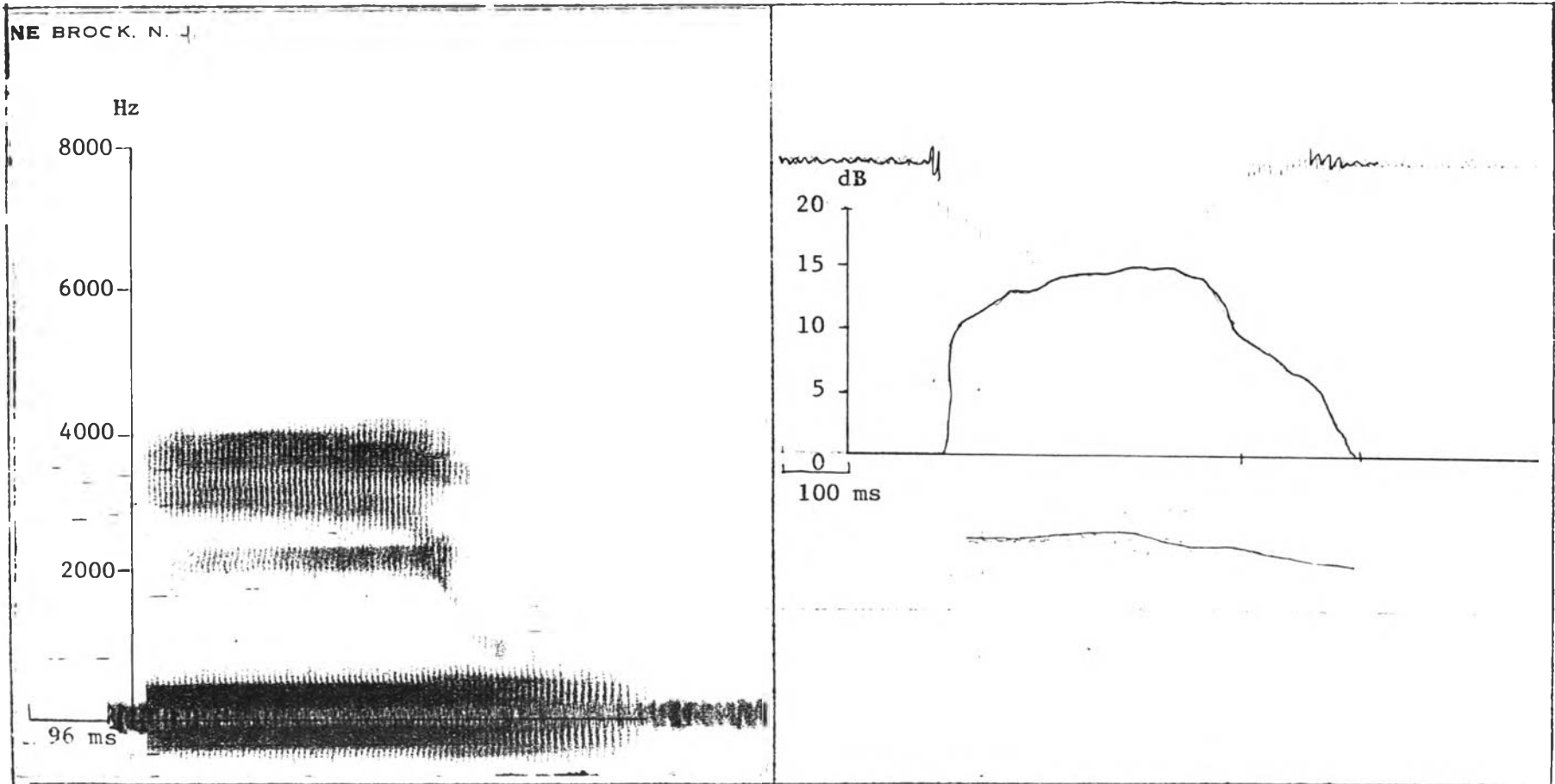
ภาพที่ 56 แผ่นภาพคลื่นเสียง และแผ่นภาพมิงโกแกรมของคำว่า [ น: พู:]



ตารางที่ 100 ค่าทางกลศาสตร์ของ /w/ ในคำว่า [บ:พว:]

ค่า F ของระยะคงที่ของพยัญชนะ (Hz)						
จุดที่	ค่า	0	25%	50%	75%	100
F4	$\bar{X}$					
	S.D.					
F3	$\bar{X}$					
	S.D.					
F2	$\bar{X}$	512	512	512	512	512
	S.D.	41.07	41.07	41.07	41.07	41.07
F1	$\bar{X}$	333	333	333	333	333
	S.D.	40.82	40.82	40.82	40.82	40.82
ค่า F ของ Pre-C-F-Trans						
F4	$\bar{X}$					
	S.D.					
F3	$\bar{X}$					
	S.D.					
F2	$\bar{X}$	512	512	512	512	512
	S.D.	41.07	41.07	41.07	41.07	41.07
F1	$\bar{X}$	333	333	333	333	333
	S.D.	40.82	40.82	40.82	40.82	40.82
ค่า F ของ Post-C-F-Trans						
F4	$\bar{X}$					
	S.D.					
F3	$\bar{X}$					
	S.D.					
F2	$\bar{X}$	512	512	512	512	512
	S.D.	41.07	41.07	41.07	41.07	41.07
F1	$\bar{X}$	333	333	333	333	333
	S.D.	40.82	40.82	40.82	40.82	40.82
	ระยะเวลาของระยะคงที่	ระยะเวลาของ Pre-C-F-Trans		ระยะเวลาของ Post-C-F-Trans		
	$\bar{X}$	89	48	48		
	S.D.	6.30	0	0		
ค่าความ เข้มของ เสียงพยัญชนะ						
	$\bar{X}$	6.00				
	S.D.	1.74				

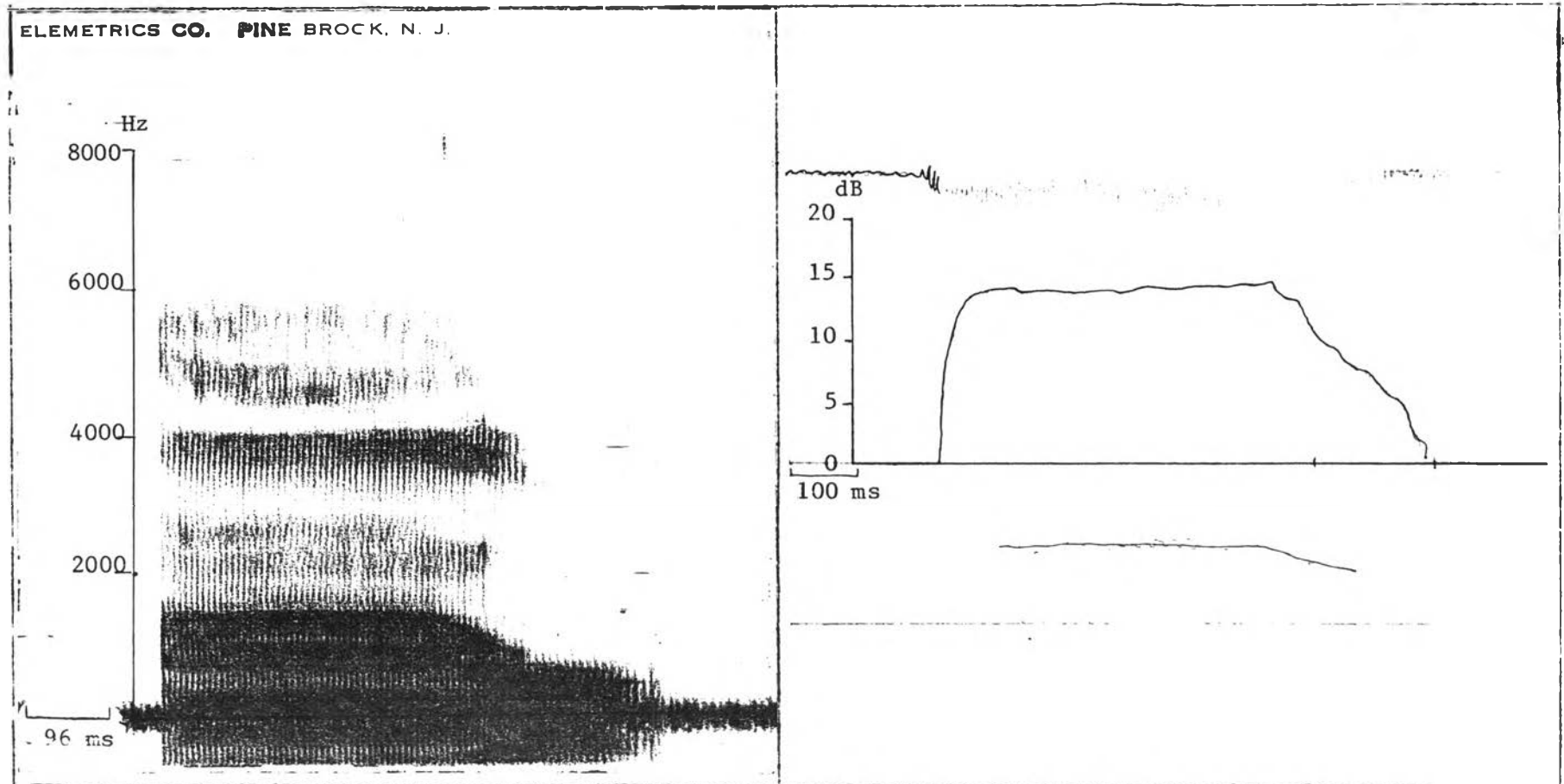
ภาพที่ 57 แม่ภาพคลื่นเสียง และแม่ภาพมิงโกแกรมของคำว่า [i: w]



ตารางที่ 131 ค่าทางกลศาสตร์กำลังของ /w/ ในคำว่า [i:w]

		ค่าFของระยะคงที่ของพยัญชนะ (Hz)				
ค่า จุดที่		0	25%	50%	75%	100%
F4	$\bar{X}$ :					
	S.D. :					
F3	$\bar{X}$ :					
	S.D. :					
F2	$\bar{X}$ :	2117	1067	719	620	550
	S.D. :	60.55	87.55	40.03	33.54	69.31
F1	$\bar{X}$ :	358	358	358	358	358
	S.D. :	25.81	25.81	25.81	25.81	25.81
ค่าF ของ Pre-C-Trans (Hz)						
F4	$\bar{X}$ :	3950	3913	3817	3692	3571
	S.D. :	98.74	80.23	76.91	66.45	73.17
F3	$\bar{X}$ :	3371	3350	3254	2942	2488
	S.D. :	73.17	65.19	95.41	164.06	84.77
F2	$\bar{X}$ :	2288	2283	2283	2267	2117
	S.D. :	60.72	60.55	60.55	73.59	60.55
F1	$\bar{X}$ :	358	358	358	358	358
	S.D. :	25.81	25.81	25.81	25.81	25.81
ค่าระยะเวลาของระยะคงที่ (ms)			ค่าระยะเวลาของF-Trans(ms)			
$\bar{X}$ :		189			94	
S.D. :		9.99			19.13	
ค่าความเข้มของเสียงพยัญชนะ (dB)						
$\bar{X}$ :		8.00				
S.D. :		1.42				

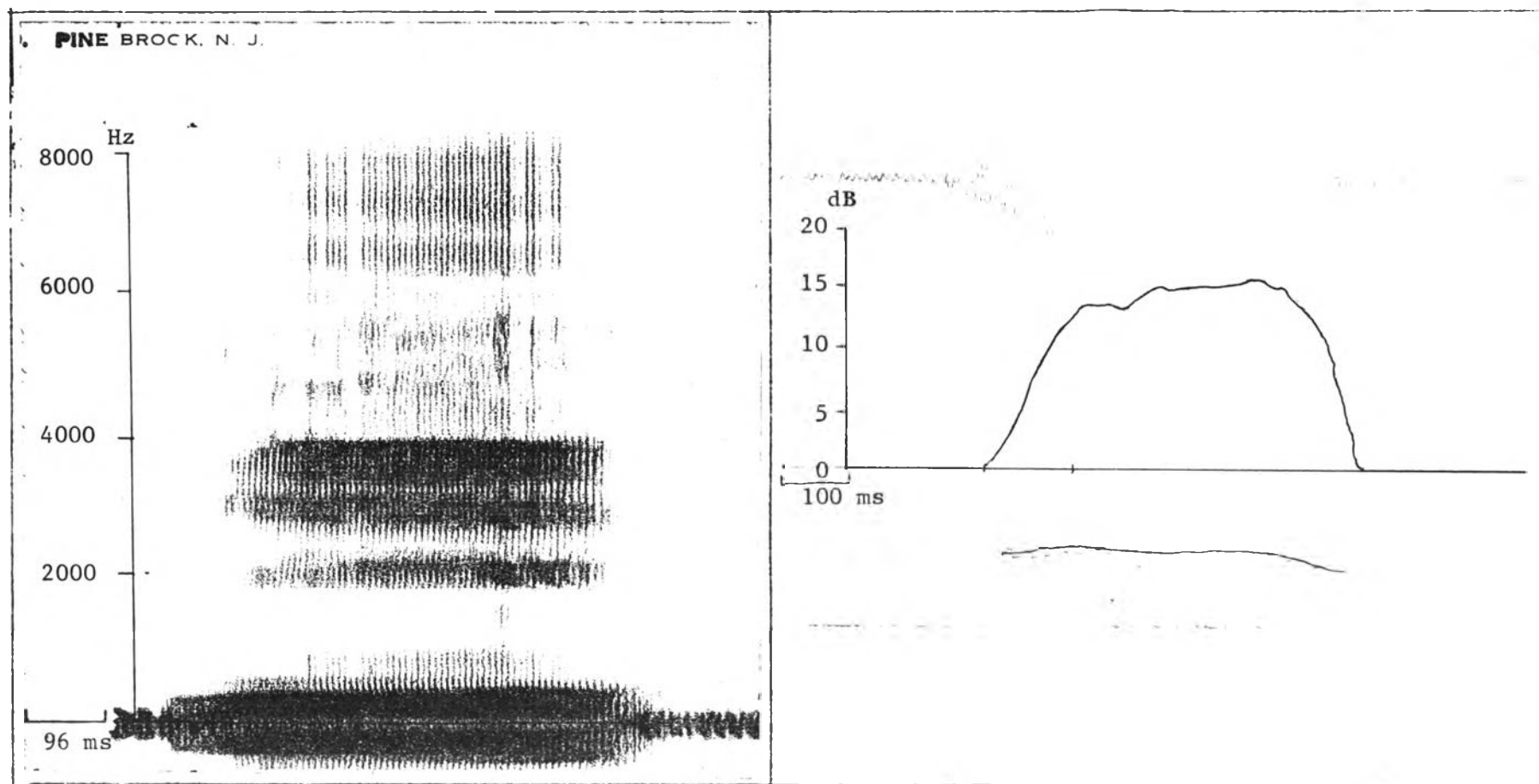
ภาพที่ 58 แสดงภาพคลื่นเสียง และแผนภาพมิงโกแกรมของคำว่า [a: w]



ตารางที่ 132 ค่าทางกลศาสตร์คำศัพท์ของ /w/ ในคำว่า [a:w]

		ค่าFของระยะคงที่ของพยางค์ (Hz)				
ค่า		0	25%	50%	75%	100%
F4	$\bar{X}$ :					
	S.D. :					
F3	$\bar{X}$ :					
	S.D. :					
F2	$\bar{X}$ :	1100	512	512	512	512
	S.D. :	34.13	35.83	53.83	35.83	35.83
F1	$\bar{X}$ :	597	350	350	350	350
	S.D. :	28.08	28.08	28.08	28.08	28.08
ค่าF ของ Pre-C-Trans (Hz)						
F4	$\bar{X}$ :	4008	4004	4000	3988	3929
	S.D. :	40.82	48.51	57.00	46.77	57.42
F3	$\bar{X}$ :	2813	2813	2742	2546	2104
	S.D. :	97.14	97.14	71.87	156.85	371.95
F2	$\bar{X}$ :	1488	1475	1400	1233	1100
	S.D. :	75.41	50.00	47.43	40.82	34.13
F1	$\bar{X}$ :	1042	1029	971	871	597
	S.D. :	58.45	51.03	40.05	62.08	95.22
ค่าระยะเวลาของระยะคงที่ (ms)				ค่าระยะเวลาของF-Trans(ms)		
$\bar{X}$ :				189		
S.D. :				11.7		
				65		
				9.03		
ค่าความเข้มของเสียงพยางค์ (dB)						
$\bar{X}$ :				9.75		
S.D. :				1.45		

ภาพที่ 59 แผ่ภาพคลื่นเสียง และแผนภาพมิงโกแกรมของคำว่า [ji:]

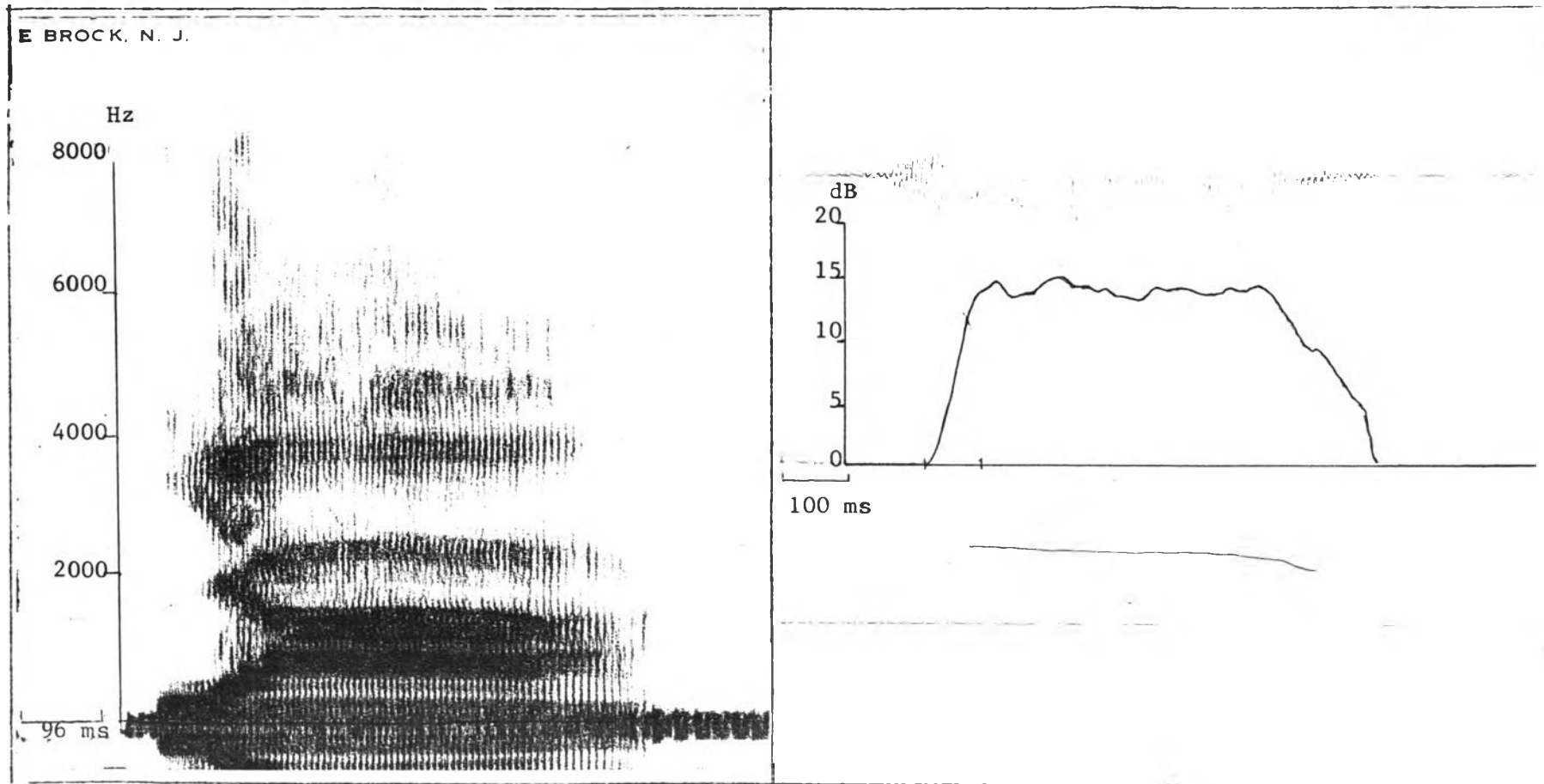


ตารางที่ 133 ค่าทางกลศาสตร์ของ /j/ ในคำว่า [ji:]

		ค่า F ของระยะคงที่ของพยัญชนะ (Hz)				
จุดที่		0	25%	50%	75%	100%
ค่า	จุดที่					
		F4	$\bar{F}_4$ :			
	S.D. :					
F3	$\bar{F}_3$ :					
	S.D. :					
F2	$\bar{F}_2$ :	2296	2296	2296	2296	2296
	S.D. :	60.03	60.03	60.03	60.03	60.03
F1	$\bar{F}_1$ :	317	317	317	317	317
	S.D. :	20.41	20.41	20.41	20.41	20.41
		ค่า F ของ Post-C-Trans (Hz)				
F4	$\bar{F}_4$ :	3842	3871	3904	3921	3938
	S.D. :	159.42	141.78	108.87	96.71	72.02
F3	$\bar{F}_3$ :	3350	3246	3254	3267	3271
	S.D. :	121.44	120.84	105.37	99.58	102.97
F2	$\bar{F}_2$ :	2296	2296	2296	2296	2296
	S.D. :	60.03	60.03	60.03	60.03	60.03
F1	$\bar{F}_1$ :	317	317	317	317	317
	S.D. :	20.41	20.41	20.41	20.41	20.41
		ค่าระยะเวลาของระยะคงที่ (ms)			ค่าระยะเวลาของ F-Trans (ms)	
	$\bar{F}_4$ :	81			-	
	S.D. :	14.12			-	
		ค่าความเข้มของเสียง (dB)				
	$\bar{F}_4$ :	4.08				
	S.D. :	0.98				



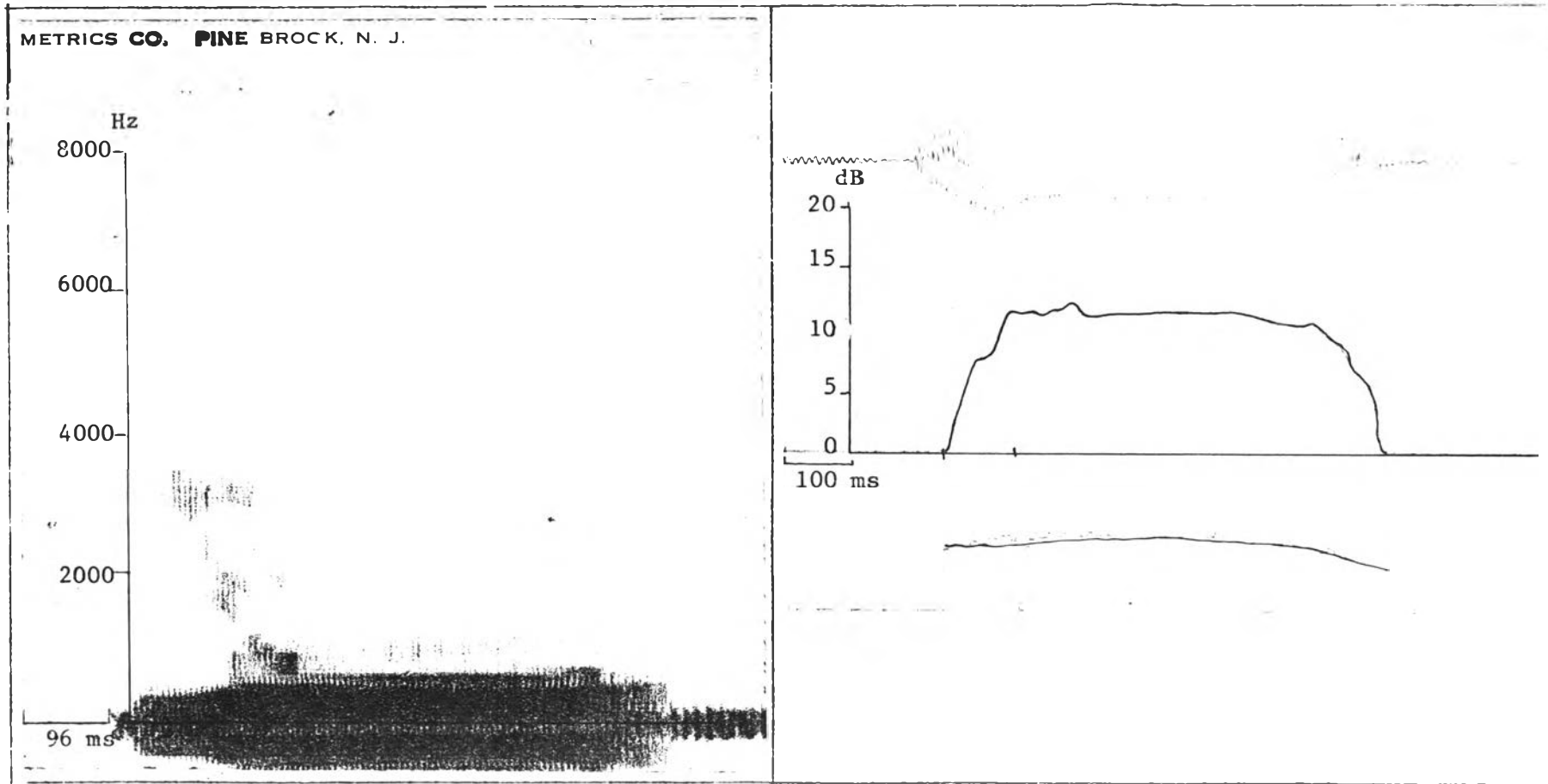
ภาพที่ 60 แผ่สเปกตรัมเสียง และแผนภาพมิงโกแกรมของคำว่า [ja:]



ตารางที่ 134 ค่าทางกลศาสตร์ของ /j/ ในคำว่า [ia:]

		ค่า F ของระยะคงที่ของพยัญชนะ (Hz)				
จุดที่		0	25%	50%	75%	100%
ค่า						
F4	$\bar{F}$ :					
	S.D. :					
F3	$\bar{F}$ :	3242	3242	3242	3179	3083
	S.D. :	136.62	136.62	136.62	145.27	97.03
F2	$\bar{F}$ :	2146	2146	2146	2146	1854
	S.D. :	43.06	43.06	43.06	43.06	-
F1	$\bar{F}$ :	313	313	313	350	458
	S.D. :	20.91	20.91	20.91	47.43	37.63
ค่า F ของ Post-C-Trans (Hz)						
F4	$\bar{F}$ :	3713	3846	3921	3958	3963
	S.D. :	91.40	134.55	138.21	154.65	157.70
F3	$\bar{F}$ :	3083	2704	2529	2533	2517
	S.D. :	97.03	78.12	95.41	99.58	70.11
F2	$\bar{F}$ :	1854	1854	1663	1588	1558
	S.D. :	65.98	65.98	37.91	70.26	76.91
F1	$\bar{F}$ :	458	738	888	946	967
	S.D. :	37.63	13.69	51.84	51.03	40.82
		ค่าระยะเวลาของระยะคงที่ (ms)			ค่าระยะเวลาของ F-Trans (ms)	
	$\bar{F}$ :	115			65	
	S.D. :	5.31			29.92	
ค่าความเข้มของเสียง (dB)						
	$\bar{F}$ :	5.62				
	S.D. :	0.60				

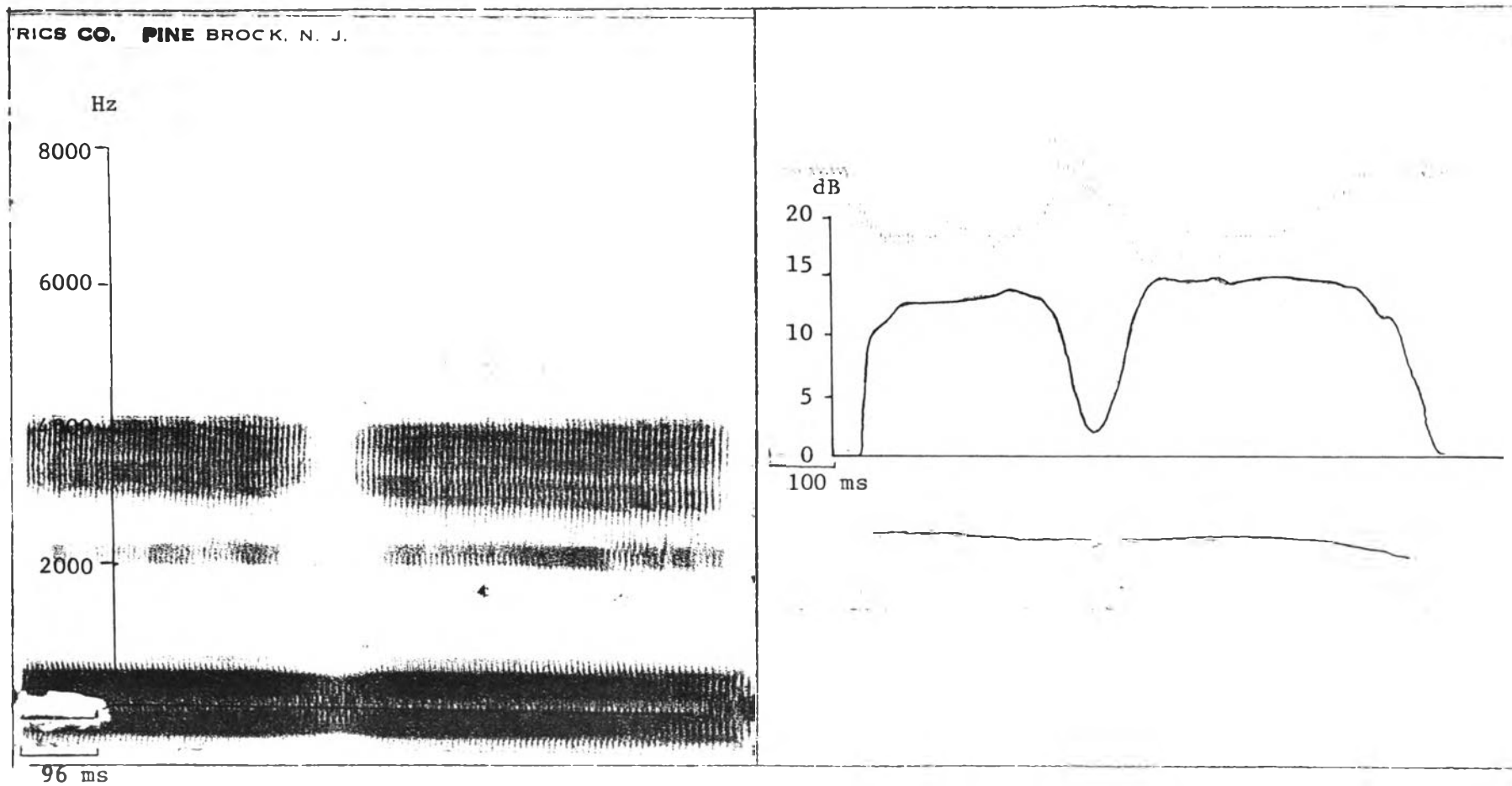
ภาพที่ 61 แผ่นภาพคลื่นเสียง และแผ่นภาพมิงโกแกรมของคำว่า [ju:]



ตารางที่ 135 ค่าทางกลศาสตร์ของ /j/ ในคำว่า /ju:]

		ค่า F ของระยะคงที่ของพยัญชนะ (Hz)				
จุดที่		0	25%	50%	75%	100%
ค่า						
F4	$\bar{F}$ :					
	S.D. :					
F3	$\bar{F}$ :	3679	3600	3433	3096	2438
	S.D. :	188.69	131.33	124.16	184.67	343.42
F2	$\bar{F}$ :	2016	2016	2016	2016	1512
	S.D. :	61.24	61.24	61.24	61.24	194.77
F1	$\bar{F}$ :	300	300	300	300	304
	S.D. :	15.81	15.81	15.81	15.81	18.81
ค่า F ของ Post-C-Trans (Hz)						
F4	$\bar{F}$ :					
	S.D. :					
F3	$\bar{F}$ :					
	S.D. :					
F2	$\bar{F}$ :	1512	1512	1038	804	725
	S.D. :	194.77	194.77	118.05	67.85	61.23
F1	$\bar{F}$ :	304	325	338	342	342
	S.D. :	18.81	27.38	34.46	40.82	40.82
			ค่าระยะเวลาของระยะคงที่ (ms)		ค่าระยะเวลาของ F-Trans (ms)	
	$\bar{F}$ :	116		85		
	S.D. :	7.77		15.14		
ค่าความเข้มของเสียง (dB)						
	$\bar{F}$ :	5.08				
	S.D. :	1.08				

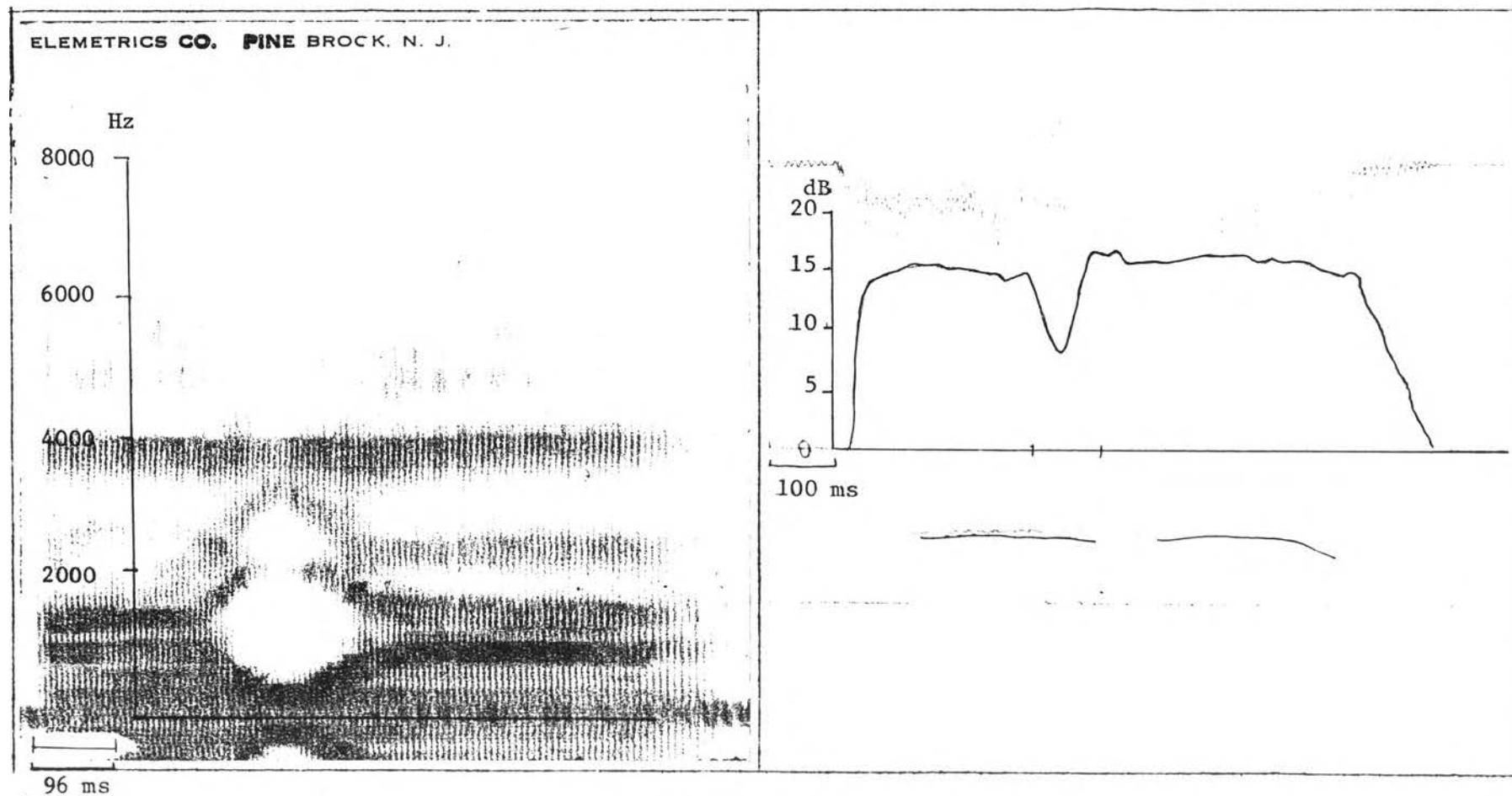
ภาพที่ 62 แม่ตาหคสั้นเสียง และแม่ตาหคิงโกกรวมของคำว่า [ i:ji:]



ตารางที่ 136 ค่าทางกลศาสตร์ของ  $\Delta$  / ในคำว่า [i:ji:]

		ค่า F ของระยะคงที่ของพยัญชนะ (Hz)					
		จุดที่ ค่า	0	25%	50%	75%	100
F4	$\bar{X}$		4000	4000	4000	4000	4000
	S.D.		44.72	44.72	44.72	44.72	44.72
F3	$\bar{X}$		3529	3558	3563	3504	3417
	S.D.		40.05	25.81	77.05	98.00	113.65
F2	$\bar{X}$		2300	2300	2300	2300	2300
	S.D.		25.81	25.81	25.81	25.81	25.81
F1	$\bar{X}$		337	337	337	337	337
	S.D.		37.63	37.63	37.63	37.63	37.63
		ค่า F ของ Pre-C-F-Trans					
F4	$\bar{X}$		4000	4000	4000	4000	4000
	S.D.		44.72	44.72	44.72	44.72	44.72
F3	$\bar{X}$		3370	3370	3370	3370	3462
	S.D.		101.75	101.75	101.75	101.75	70.26
F2	$\bar{X}$		2300	2300	2300	2300	2300
	S.D.		38.72	38.72	38.72	38.72	38.72
F1	$\bar{X}$		338	338	338	338	338
	S.D.		20.91	20.91	20.91	20.91	20.91
		ค่า F ของ Post-C-F-Trans					
F4	$\bar{X}$		4000	4000	4000	4000	4000
	S.D.		52.44	52.44	52.44	52.44	52.44
F3	$\bar{X}$		3463	3379	3379	3379	3379
	S.D.		70.26	96.71	96.71	96.71	96.71
F2	$\bar{X}$		2300	2300	2300	2300	2300
	S.D.		38.72	38.72	38.72	38.72	38.72
F1	$\bar{X}$		338	338	338	338	338
	S.D.		20.91	20.91	20.91	20.91	20.91
		ระยะเวลาของระยะคงที่	ระยะเวลาของ Pre-C-F-Trans		ระยะเวลาของ Post-C-F-Trans		
		$\bar{X}$	101	-	-		
		S.D.	12.56	-	-		
		ค่าความเข้มของเสียงพยัญชนะ					
		$\bar{X}$	4.83				
		S.D.	2.08				

ภาพที่ 63 แม่ภาพคลื่นเสียง และแม่ภาพมิงโกแกรมของคำว่า [a: ja:]

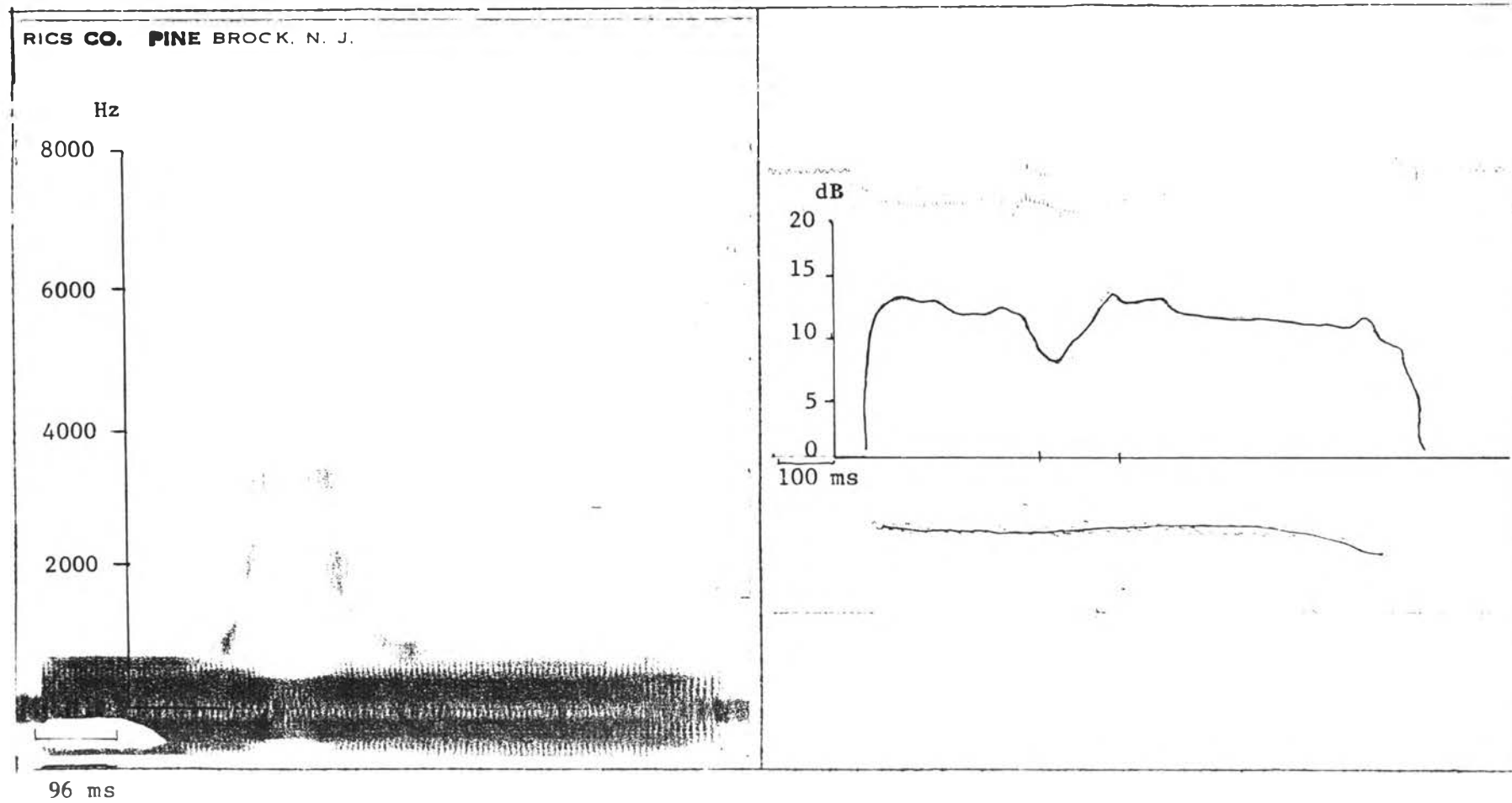


ตารางที่ 137 ค่าทางทฤษฎีของ /j/ ในคำว่า [a:ja:]

		ค่า F ของระยะคงที่ของพยัญชนะ (Hz)				
จุดที่		0	25%	50%	75%	100
ค่า						
F4	$\bar{X}$	4021	4008	3992	4000	4017
	S.D.	48.51	64.45	86.12	59.16	30.27
F3	$\bar{X}$	2667	3275	3400	3058	2663
	S.D.	137.53	80.62	83.66	90.36	97.14
F2	$\bar{X}$	2133	2133	2133	2133	1921
	S.D.	78.12	78.12	78.12	78.12	113.37
F1	$\bar{X}$	767	433	338	492	700
	S.D.	68.31	37.63	20.91	60.55	31.62
		ค่า F ของ Pre-C-F-Trans				
F4	$\bar{X}$	4021	4021	4021	4021	4021
	S.D.	48.51	48.51	48.51	48.51	48.51
F3	$\bar{X}$	2379	2400	2458	2529	2667
	S.D.	138.21	133.22	110.30	87.20	137.53
F2	$\bar{X}$	1467	1500	1579	1700	1921
	S.D.	37.63	47.43	57.91	89.44	10.01
F1	$\bar{X}$	1025	1008	958	842	761
	S.D.	38.72	64.54	51.63	20.41	68.31
		ค่า F ของ Post-C-F-Trans				
F4	$\bar{X}$	4021	4021	4021	4021	4021
	S.D.	48.51	48.51	48.51	48.51	48.51
F3	$\bar{X}$	2663	2554	2496	2458	2458
	S.D.	97.14	90.02	79.71	76.91	90.36
F2	$\bar{X}$	1921	1788	1679	1642	1583
	S.D.	113.37	144.69	105.37	90.36	81.64
F1	$\bar{X}$	700	838	900	946	963
	S.D.	31.62	51.84	27.38	24.54	20.91
		ระยะเวลาของระยะคงที่	ระยะเวลาของ Pre-C-F-Trans		ระยะเวลาของ Post-C-F-Trans	
$\bar{X}$		140	65		65	
S.D.		6.86	5.58		6.41	
		ค่าความเข้มของเสียงพยัญชนะ				
$\bar{X}$		8.37				
S.D.		2.84				



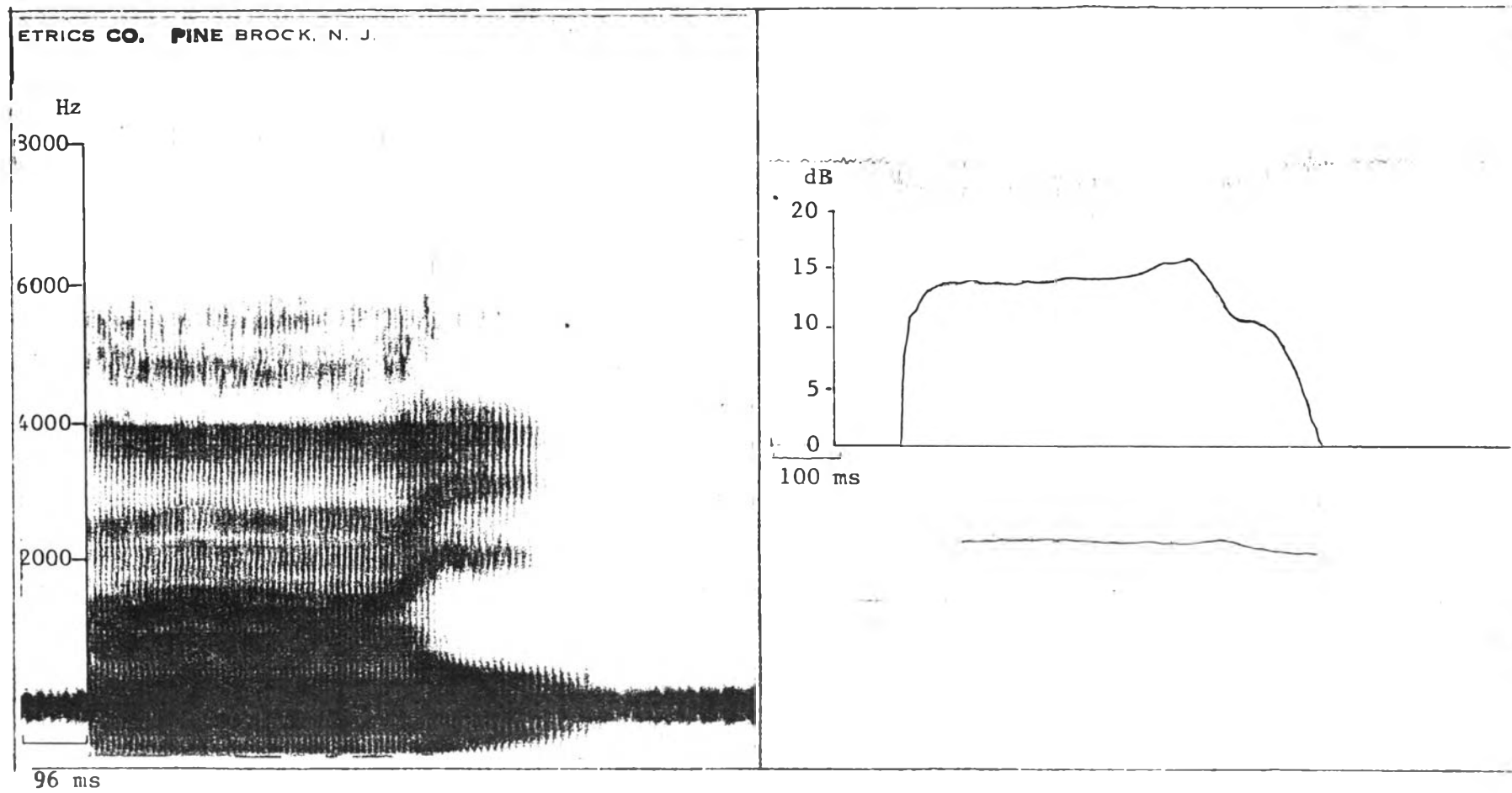
ภาพที่ 64 แม่ภาพคลื่นเสียง และแม่ภาพมิงโกแกรมของคำว่า [u:ju:]



ตารางที่ 138 ค่าทางกลศาสตร์ของ /j/ ในคำว่า [u:ju:]

		ค่า F ของระยะคงที่ของพยัญชนะ (Hz)					
จุดที่		0	25%	50%	75%	100	
ค่า							
F4	$\bar{X}$	3509	3513	3483	3467	3558	
	S.D.	73.59	91.85	108.03	112.50	123.15	
F3	$\bar{X}$	2454	3096	3163	2917	2358	
	S.D.	184.67	107.70	58.63	106.84	138.44	
F2	$\bar{X}$	1500	2017	2017	2017	1500	
	S.D.	49.31	93.09	93.09	93.09	49.31	
F1	$\bar{X}$	338	321	317	321	338	
	S.D.	20.91	24.57	25.81	25.81	20.91	
ค่า F ของ Pre-C-F-Trans							
F4	$\bar{X}$						
	S.D.						
F3	$\bar{X}$						
	S.D.						
F2	$\bar{X}$	629	692	921	1300	2500	
	S.D.	45.87	68.31	107.72	114.01	49.31	
F1	$\bar{X}$	358	358	358	358	338	
	S.D.	43.77	43.77	43.77	43.77	20.91	
ค่า F ของ Post-C-F-Trans							
F4	$\bar{X}$						
	S.D.						
F3	$\bar{X}$						
	S.D.						
F2	$\bar{X}$	1500	1413	983	746	692	
	S.D.	49.37	185.57	147.19	71.44	87.55	
F1	$\bar{X}$	338	358	358	358	358	
	S.D.	20.91	43.77	43.77	43.77	43.77	
		ระยะเวลาของระยะคงที่		ระยะเวลาของ Pre-C-F-Trans		ระยะเวลาของ Post-C-F-Trans	
$\bar{X}$		139		72		72	
S.D.		13.58		17.84		11.84	
ค่าความเข้มของเสียงพยัญชนะ							
$\bar{X}$		6.91					
S.D.		2.23					

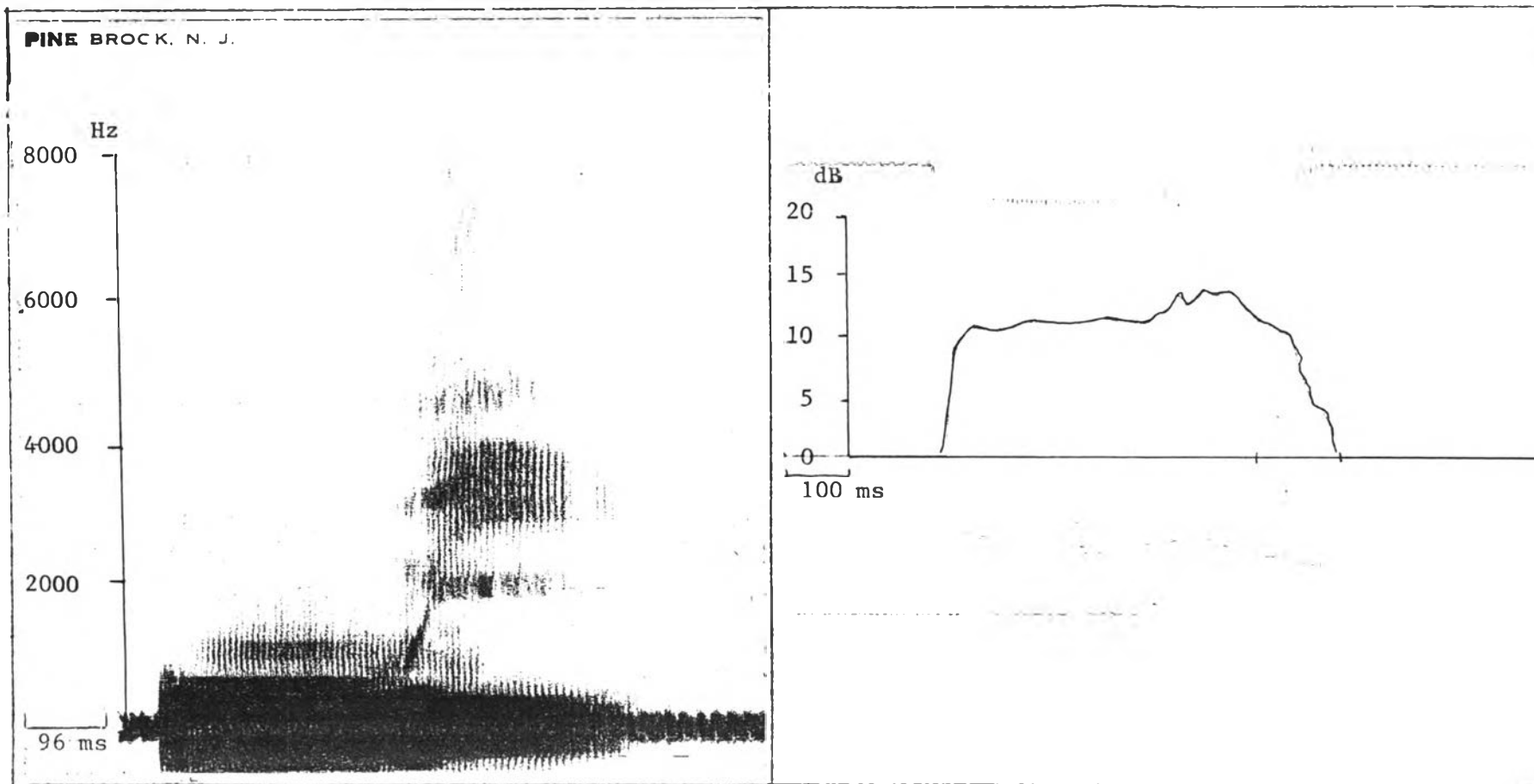
ภาพที่ 65 แผ่นภาพคลื่นเสียง และแผ่นภาพมิงโกแกรมของคำว่า [a: j]



ตารางที่ 139 ค่าทางกลศาสตร์ของ /j/ ในคำว่า [aj]

		ค่า F ของระยะคงที่ของพยัญชนะ (Hz)				
จุดที่		0	25%	50%	75%	100%
F4	$\bar{X}$ :	4013	4042	4088	4088	4088
	S.D. :	89.09	89.09	73.59	144.69	144.69
F3	$\bar{X}$ :	3104	3333	3371	3379	3379
	S.D. :	105.37	51.63	55.71	64.06	64.06
F2	$\bar{X}$ :	2042	3213	2317	2317	2317
	S.D. :	78.12	20.91	30.27	30.27	30.27
F1	$\bar{X}$ :	563	400	354	333	333
	S.D. :	58.63	41.83	36.79	37.63	37.63
ค่า F ของ Pre-C-Trans (Hz)						
F4	$\bar{X}$ :	4058	4045	4045	4042	4012
	S.D. :	93.09	99.26	99.26	103.27	89.09
F3	$\bar{X}$ :	2875	2904	2929	2992	3104
	S.D. :	7416	62.08	67.85	49.15	105.37
F2	$\bar{X}$ :	1621	1696	1825	2042	2042
	S.D. :	88.62	64.06	64.06	54.77	58.45
F1	$\bar{X}$ :	1042	1004	913	750	563
	S.D. :	64.54	60.03	54.19	77.45	58.63
ค่าระยะเวลาของระยะคงที่ (ms)			ค่าระยะเวลาของ F-Trans (ms)			
$\bar{X}$ :			208			
S.D. :			17.91			
			72			
			8.98			
ค่าความเข้มของเสียงเบบัพพะ (dB)						
$\bar{X}$ :						
9.38						
S.D. :						
1.47						

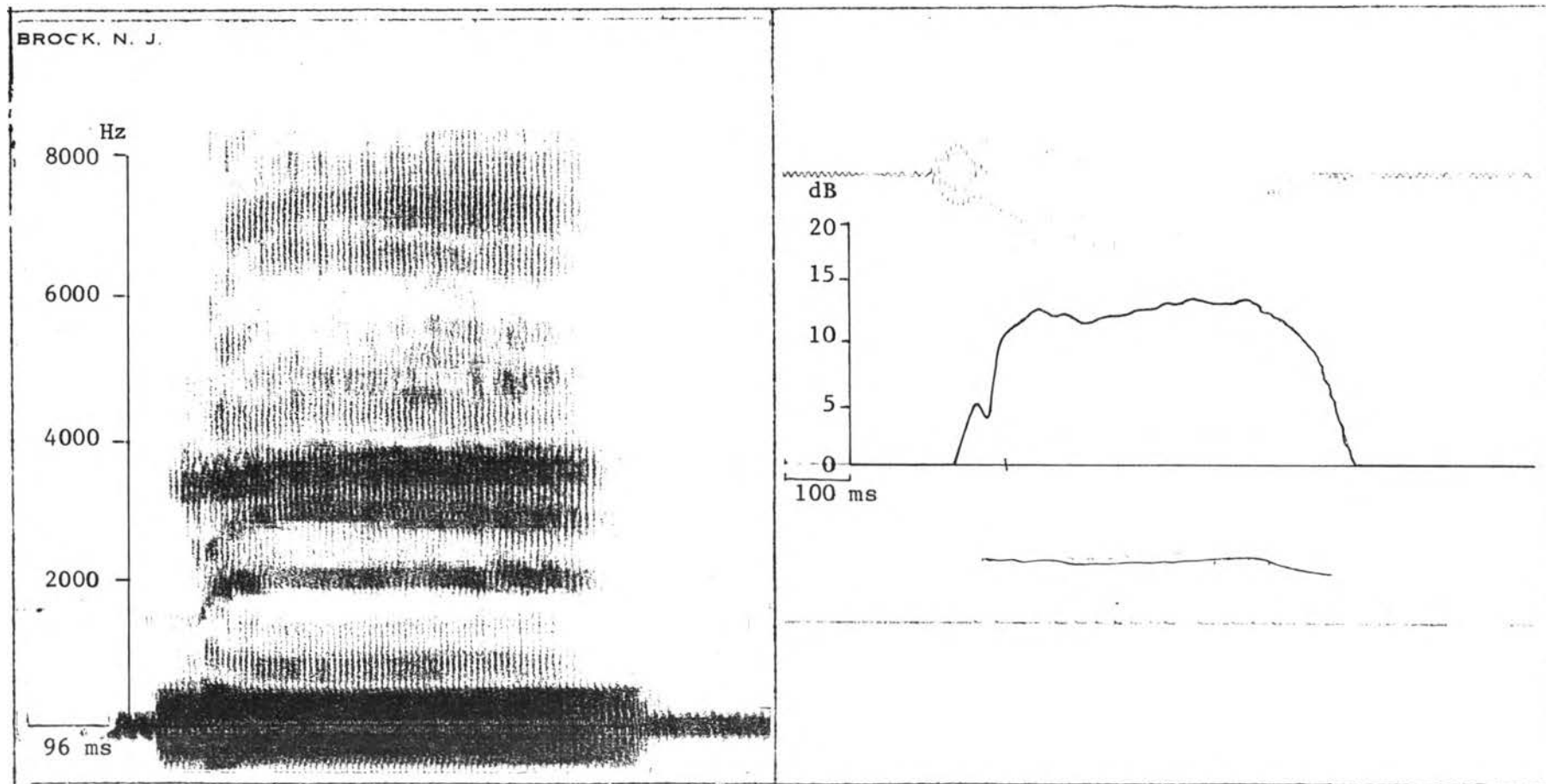
ภาพที่ 66 แผนภาพคลื่นเสียง และแผนภาพมิงโกแกรมของคำว่า [u:j]



ตารางที่ 140 ค่าทางกลศาสตร์ค่าสเตรยของ /j/ ในคำว่า [นย]

ค่าจุดที่		ค่าFของระยะคงที่ของพยัญชนะ (Hz)				
		0	25%	50%	75%	100%
F4	$\bar{X}$ :	3371	3633	3758	3833	3833
	S.D. :	87.20	70.11	51.63	51.63	51.63
F3	$\bar{X}$ :	2333	3054	2354	3345	3363
	S.D. :	81.64	74.86	51.03	81.26	66.61
F2	$\bar{X}$ :	1500	2100	2100	2100	2100
	S.D. :	176.36	64.06	64.06	64.06	64.06
F1	$\bar{X}$ :	304	300	300	300	300
	S.D. :	10.20	0.00	0.00	0.00	0.00
ค่าF ของ Pre-C-Trans (Hz)						
F4	$\bar{X}$ :					
	S.D. :					
F3	$\bar{X}$ :					
	S.D. :					
F2	$\bar{X}$ :	621	642	738	1054	1500
	S.D. :	43.06	46.54	51.84	98.00	176.36
F1	$\bar{X}$ :	333	333	333	333	304
	S.D. :	12.90	12.90	12.90	12.90	10.20
ค่าระยะเวลาของระยะคงที่ (ms)			ค่าระยะเวลาของF-Trans(ms)			
$\bar{X}$ :			202		99	
S.D. :			14.02		12.14	
ค่าความเข้มของเสียงพยัญชนะ (dB)						
$\bar{X}$ :			9.00			
S.D. :			1.57			

ภาพที่ 67 แม่ภาพคลื่นเสียง และแม่ภาพมิงโกแกรมของคำว่า [li:]

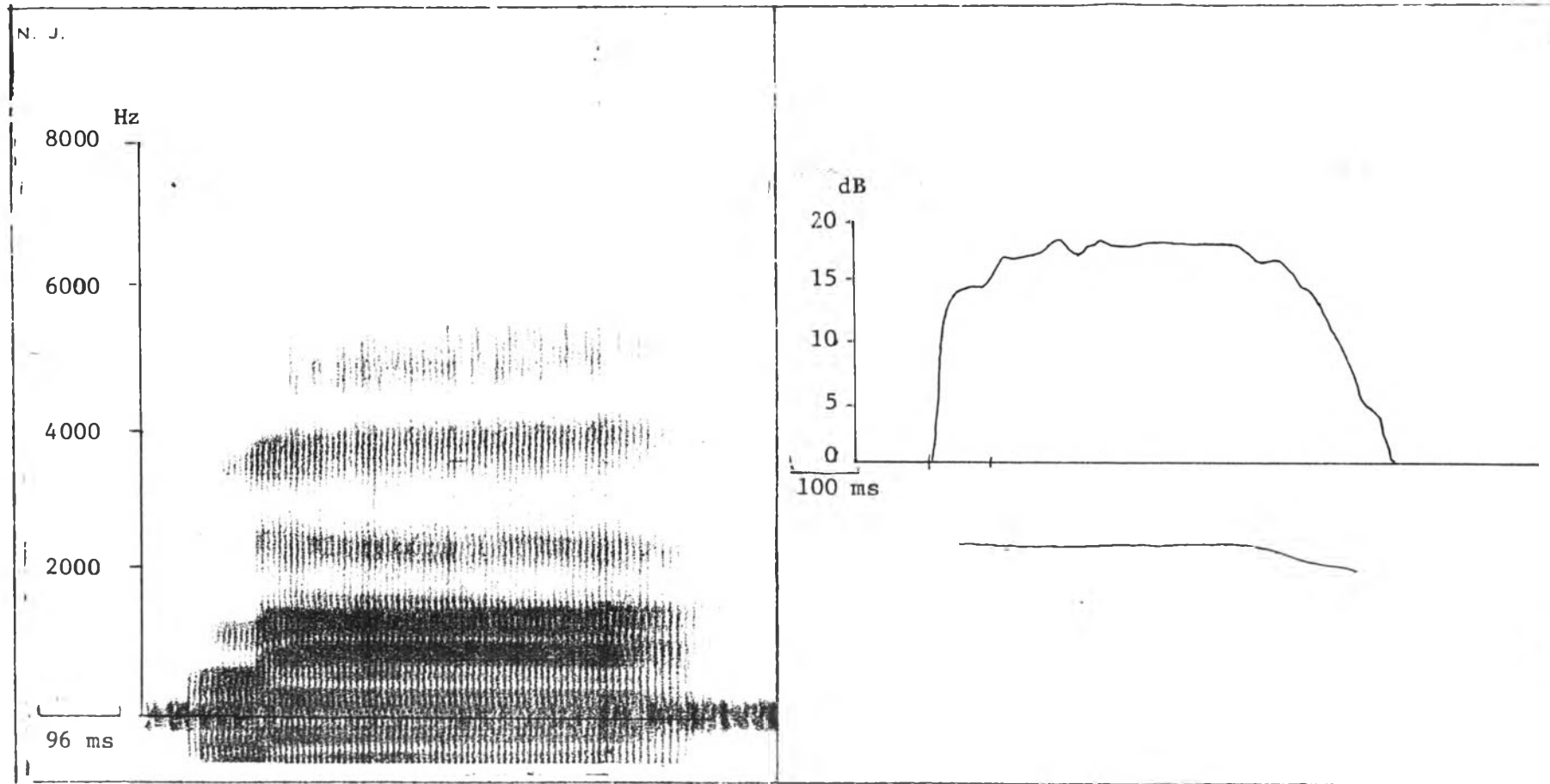


ตารางที่ 141 ค่าทางกลศาสตร์ของ // ในคำว่า [ll]

		ค่า F ของระยะคงที่ของพยัญชนะ (Hz)				
จุดที่		0	25%	50%	75%	100%
ค่า						
F4	$\bar{X}$ :	3558	3554	3542	3513	3500
	S.D. :	307.27	310.00	306.05	280.95	240.83
F3	$\bar{X}$ :	2529	2529	2529	2529	2529
	S.D. :	232.60	232.60	232.60	232.60	232.60
F2	$\bar{X}$ :	1546	1546	1546	1546	1546
	S.D. :	89.09	89.09	89.09	98.09	98.09
F1	$\bar{X}$ :	363	363	363	363	363
	S.D. :	58.63	58.63	58.63	58.63	58.63
ค่า F ของ Post-C-Trans (Hz)						
F4	$\bar{X}$ :	3500	3492	3608	3671	3708
	S.D. :	240.83	232.73	192.78	183.31	159.42
F3	$\bar{X}$ :	2529	2850	3046	3148	3167
	S.D. :	212.31	230.21	207.01	168.02	157.05
F2	$\bar{X}$ :	1546	2096	2158	2196	2200
	S.D. :	89.09	114.00	116.90	124.91	129.42
F1	$\bar{X}$ :	333	333	333	333	333
	S.D. :	58.45	58.45	85.45	85.45	85.45
ค่าระยะเวลาของระยะคงที่ (ms)			ค่าระยะเวลาของF-Trans (ms)			
$\bar{X}$ :		59			97	
S.D. :		6.88			13.95	
ค่าความเข้มของเสียง (dB)						
$\bar{X}$ :		6.75				
S.D. :		2.01				



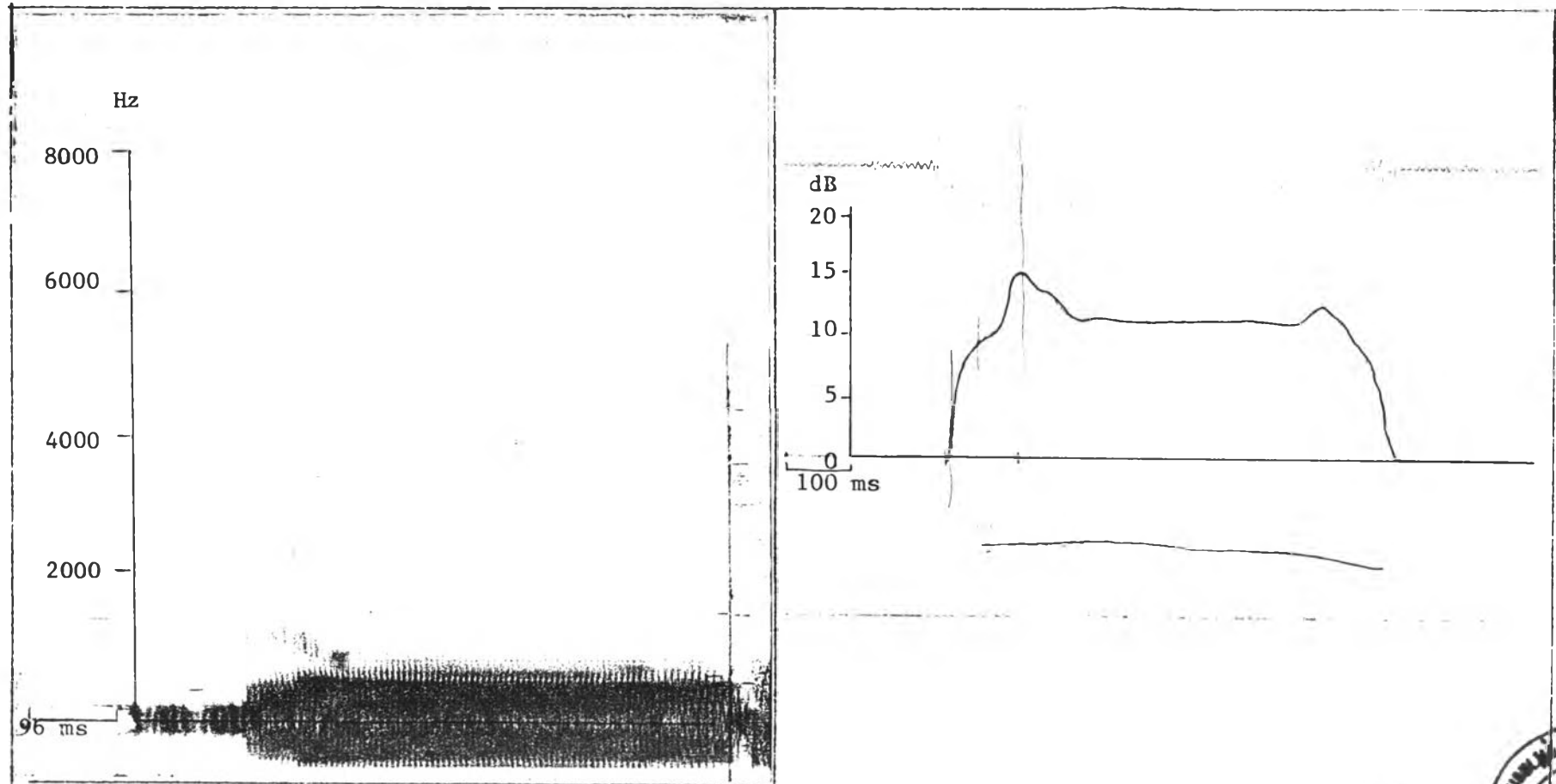
ภาพที่ 68 แผ่นภาพคลื่นเสียง และแผ่นภาพมิงโกแตรของคำว่า [la:]



ตารางที่ 142 ค่าทางกลศาสตร์ของ // ในคำว่า [la:]

		ค่า F ของระลอกที่ของพยัญชนะ (Hz)				
ค่า จุดที่		0	25%	50%	75%	100%
F4	$\bar{F}$ :	4008	4008	4008	4008	4008
	S.D. :	102.06	102.06	102.06	102.06	102.06
F3	$\bar{F}$ :	2596	2596	2596	2596	2596
	S.D. :	105.37	105.37	105.37	105.37	105.37
F2	$\bar{F}$ :	1325	1325	1325	1325	1325
	S.D. :	45.87	45.87	45.87	45.87	45.87
F1	$\bar{F}$ :	596	596	596	596	596
	S.D. :	10.20	10.20	10.20	10.20	10.20
ค่า F ของ Post-C-Trans (Hz)						
F4	$\bar{F}$ :	4008	4008	4008	4008	4008
	S.D. :	102.06	102.06	102.06	102.06	102.06
F3	$\bar{F}$ :	2596	2666	2646	2629	2613
	S.D. :	105.37	49.15	48.51	55.71	56.45
F2	$\bar{F}$ :	1246	1379	1446	1483	1496
	S.D. :	45.87	45.87	29.22	20.41	18.81
F1	$\bar{F}$ :	596	846	929	996	1020
	S.D. :	10.20	33.22	24.57	51.03	43.06
ค่าระยะเวลาเองระลอกที่ (ms)			ค่าระยะเวลาของF-Trans (ms)			
$\bar{F}$ :		78			84	
S.D. :		0.75			12.72	
ค่าความเข้มของเสียง (dB)						
$\bar{F}$ :		10.66				
S.D. :		1.94				

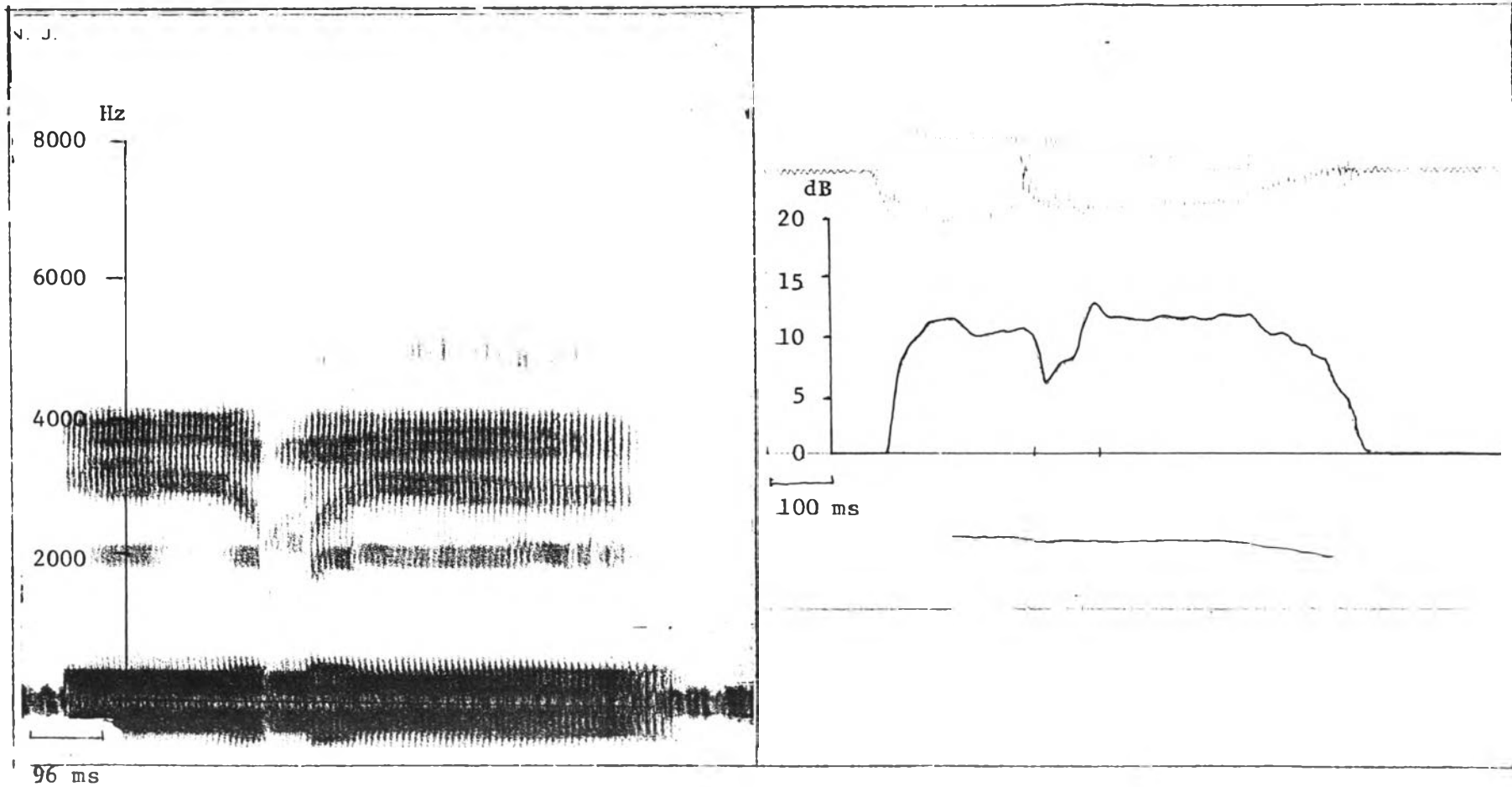
ภาพที่ 69 แผนภาพคลื่นเสียง และแผนภาพมิงโกแกรมของคำว่า [lu:]



ตารางที่ 113 ค่าทางกลศาสตร์ของ /I/ ในคำว่า [ลู:]

		ค่า F ของระยะคงที่ของพยัญชนะ (Hz)				
ค่า จุดที่		0	25%	50%	75%	100%
F4	$\bar{X}$ :					
	S.D. :					
F3	$\bar{X}$ :					
	S.D. :					
F2	$\bar{X}$ :	1275	1275	1275	1275	1275
	S.D. :	60.55	60.55	60.55	60.55	60.55
F1	$\bar{X}$ :	338	338	338	338	338
	S.D. :	54.20	54.20	54.20	54.20	54.20
ค่า F ของ Post-C-Trans (1/2)						
F4	$\bar{X}$ :					
	S.D. :					
F3	$\bar{X}$ :					
	S.D. :					
F2	$\bar{X}$ :	1275	1104	904	717	629
	S.D. :	60.55	95.41	82.79	91.74	67.85
F1	$\bar{X}$ :	338	338	338	338	338
	S.D. :	54.20	54.20	54.20	54.20	54.20
ค่าระยะเวลาของระยะคงที่ (ms)			ค่าระยะเวลาของ F-Trans (ms)			
$\bar{X}$ :			76	95		
S.D. :			8.57	41.94		
ค่าความเข้มของเสียง (dB)						
$\bar{X}$ :			8.91			
S.D. :			0.89			

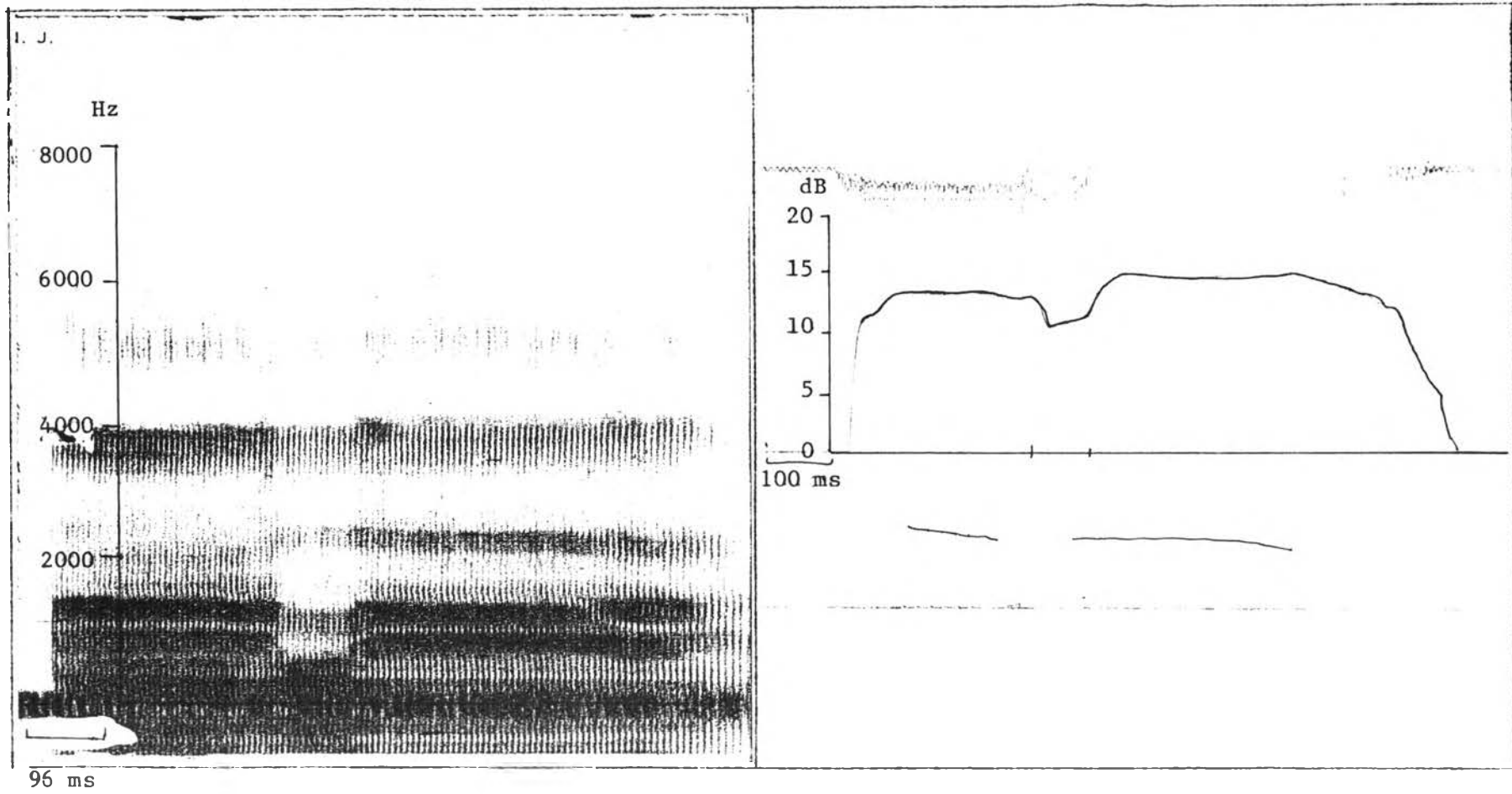
ภาพที่ 70 แม่เขาคณีนเสียง และแม่ภาพมิงโกแกรมของคำว่า [i:li:]



ตารางที่ 144 ค่าทางกลศาสตร์ของ /I/ ในคำว่า [i:li:]

		ค่า F ของระยะคงที่ของพยัญชนะ (Hz)				
จุดที่		0	25%	50%	75%	100
ค่า						
F4	$\bar{X}$	3763	3771	3775	3783	3783
	S.D.	72.02	65.99	67.08	73.60	73.60
F3	$\bar{X}$	3258	2421	2517	2517	2658
	S.D.	124.106	110.02	80.10	80.10	145.49
F2	$\bar{X}$	1654	1654	1654	1654	1654
	S.D.	92.75	92.75	92.75	92.75	92.75
F1	$\bar{X}$	300	300	300	300	300
	S.D.	44.72	44.72	44.72	44.72	44.72
		ค่า F ของ Pre-C-F-Trans				
F4	$\bar{X}$	3783	3821	3858	3896	3900
	S.D.	73.59	91.40	111.43	95.45	92.19
F3	$\bar{X}$	2588	2929	3079	3175	3225
	S.D.	149.79	110.01	128.85	114.01	111.80
F2	$\bar{X}$	1654	2200	2225	2233	2238
	S.D.	92.75	57.00	50.00	49.15	51.84
F1	$\bar{X}$	300	300	300	300	300
	S.D.	44.72	44.72	44.72	44.72	44.72
		ค่า F ของ Post-C-F-Trans				
F4	$\bar{X}$	3904	3904	3900	3825	3721
	S.D.	131.73	131.73	124.49	82.45	78.12
F3	$\bar{X}$	3292	3292	3213	3046	2754
	S.D.	131.02	131.02	136.70	137.31	126.90
F2	$\bar{X}$	2267	2258	2250	2225	1654
	S.D.	143.75	58.45	65.19	74.16	92.75
F1	$\bar{X}$	300	300	300	300	300
	S.D.	44.72	44.72	44.72	44.72	44.72
		ระยะเวลาของระยะคงที่	ระยะเวลาของ Pre-C-F-Trans		ระยะเวลาของ Post-C-F-Trans	
$\bar{X}$		66	63		66	
S.D.		6.22	11.06		6.22	
		ค่าความเข้มของเสียงพยัญชนะ				
$\bar{X}$		8.33				
S.D.		1.67				

ภาพที่ 71 แม่ภาพคลื่นเสียง และแม่ภาพมิงโกแกรมของคำว่า [a: la:]

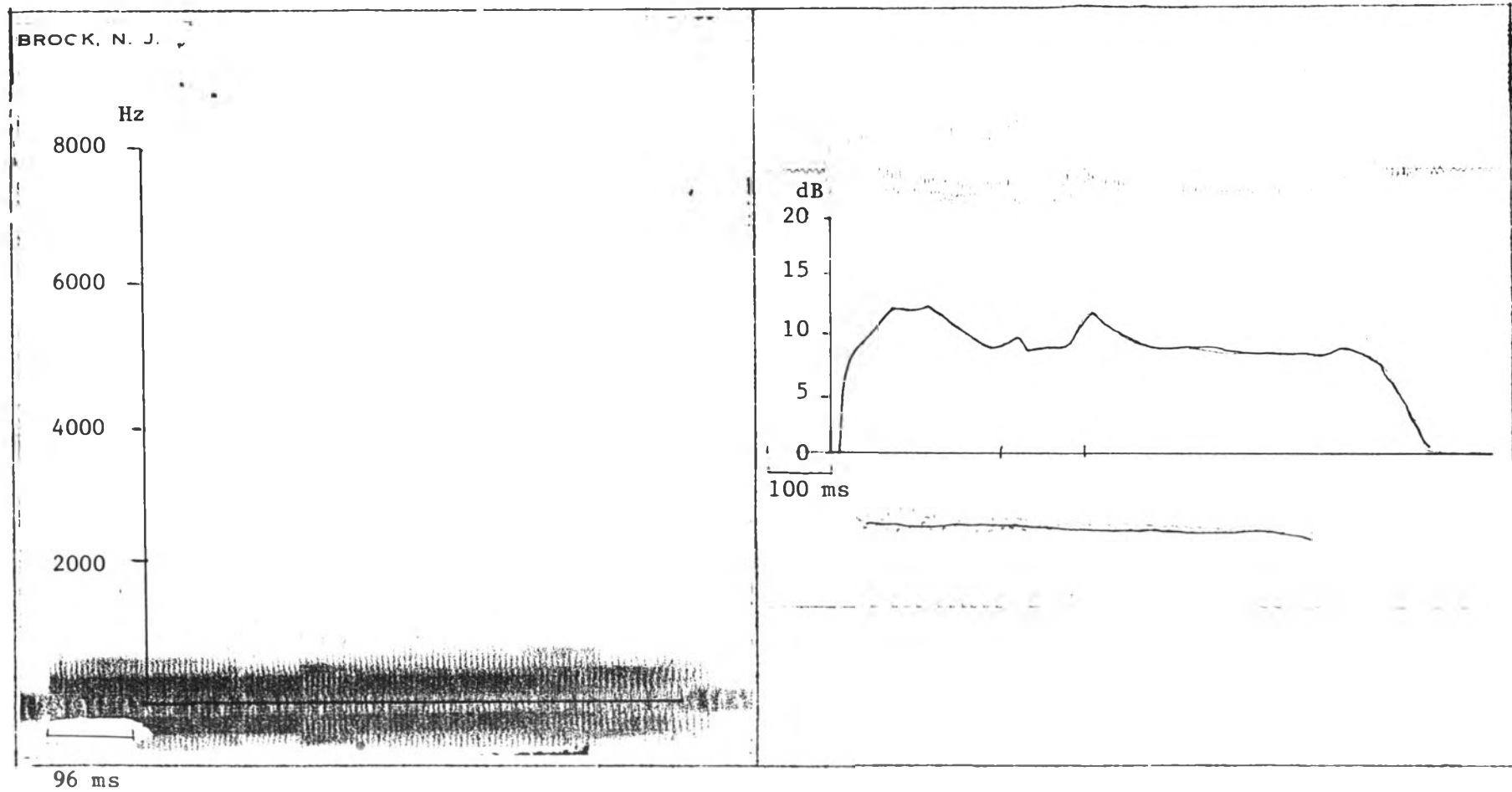


ตารางที่ 145 ค่าทางกลศาสตร์ของ /l/ ในคำว่า [a:la:]

		ค่า F ของระยะคงที่ของพยัญชนะ (Hz)				
จุดที่		0	25%	50%	75%	100
ค่า						
F4	$\bar{X}$	4021	4021	4021	4021	4021
	S.D.	64.06	64.06	64.06	64.06	64.06
F3	$\bar{X}$	2683	2683	2683	2683	2683
	S.D.	132.91	132.91	132.91	132.91	132.91
F2	$\bar{X}$	1354	1354	1354	1354	1354
	S.D.	55.71	55.71	55.71	55.71	55.71
F1	$\bar{X}$	633	633	633	633	633
	S.D.	40.82	40.82	40.82	40.82	40.82
ค่า F ของ Pre-C-F-Trans						
F4	$\bar{X}$	4025	4108	4142	4138	4142
	S.D.	67.08	66.45	87.55	80.23	81.55
F3	$\bar{X}$	2696	2683	2654	2642	2638
	S.D.	120.84	121.10	119.80	143.75	144.69
F2	$\bar{X}$	1354	1417	1479	1508	1525
	S.D.	55.71	62.58	36.79	51.63	52.44
F1	$\bar{X}$	683	904	996	1017	1050
	S.D.	60.55	45.87	40.05	37.63	15.81
ค่า F ของ Post-C-F-Trans						
F4	$\bar{X}$	4096	4096	4079	4075	4021
	S.D.	57.91	57.91	40.05	44.72	64.06
F3	$\bar{X}$	2483	2504	2521	2554	2588
	S.D.	146.14	149.51	132.68	122.89	1226.24
F2	$\bar{X}$	1542	1533	1517	1483	1354
	S.D.	66.45	60.55	51.63	54.00	55.71
F1	$\bar{X}$	1079	1063	1046	996	708
	S.D.	73.17	89.09	79.71	81.26	106.84
ระยะเวลาของระยะคงที่		ระยะเวลาของ Pre-C-F-Trans		ระยะเวลาของ Post-C-F-Trans		
$\bar{X}$		78		73		
S.D.		2.81		12.40		
ค่าความเข้มของเสียงพยัญชนะ						
$\bar{X}$		12.00				
S.D.		1.67				



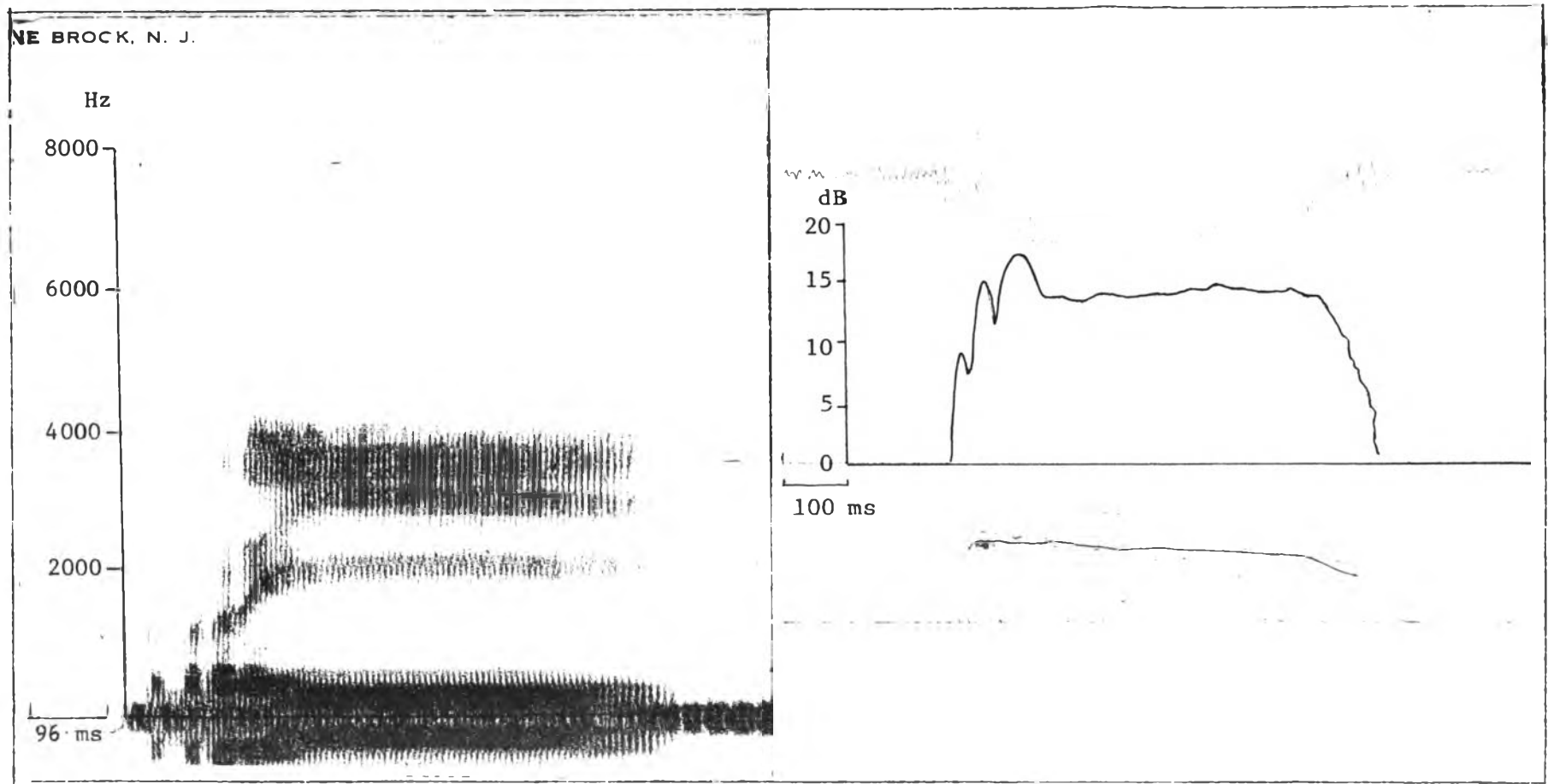
ภาพที่ 72 แม่ภาพคลื่นเสียง และแม่ภาพมิงโกแอมของคำว่า [u:lu:]



ตารางที่ 146 ค่าทางกลศาสตร์ของ /l/ ในคำว่า [u:lu:]

		ค่า F ของระยะคงที่ของพยัญชนะ (Hz)				
จุดที่ ค่า		0	25%	50%	75%	100
F4	$\bar{X}$					
	S.D.					
F3	$\bar{X}$					
	S.D.					
F2	$\bar{X}$	1146	1146	1146	1146	1146
	S.D.	64.06	14.06	14.06	64.06	14.06
F1	$\bar{X}$	354	354	354	354	354
	S.D.	33.23	33.23	33.23	33.23	33.23
		ค่า F ของ Pre-C-F-Trans				
F4	$\bar{X}$					
	S.D.					
F3	$\bar{X}$					
	S.D.					
F2	$\bar{X}$	1146	1017	867	792	746
	S.D.	64.06	116.90	110.30	106.84	95.41
F1	$\bar{X}$	488	442	417	408	392
	S.D.	64.71	33.63	37.63	43.77	49.75
		ค่า F ของ Post-C-F-Trans				
F4	$\bar{X}$					
	S.D.					
F3	$\bar{X}$					
	S.D.					
F2	$\bar{X}$	717	721	788	921	1146
	S.D.	137.53	135.47	116.99	67.88	64.06
F1	$\bar{X}$	425	429	433	446	467
	S.D.	50.00	57.91	66.45	71.44	91.74
		ระยะเวลาของระยะคงที่	ระยะเวลาของ Pre-C-F-Trans		ระยะเวลาของ Post-C-F-Trans	
	$\bar{X}$	79	99		87	
	S.D.	13.37	10.89		12.21	
		ค่าความเข้มของเสียงพยัญชนะ				
	$\bar{X}$	10.50				
	S.D.	1.86				

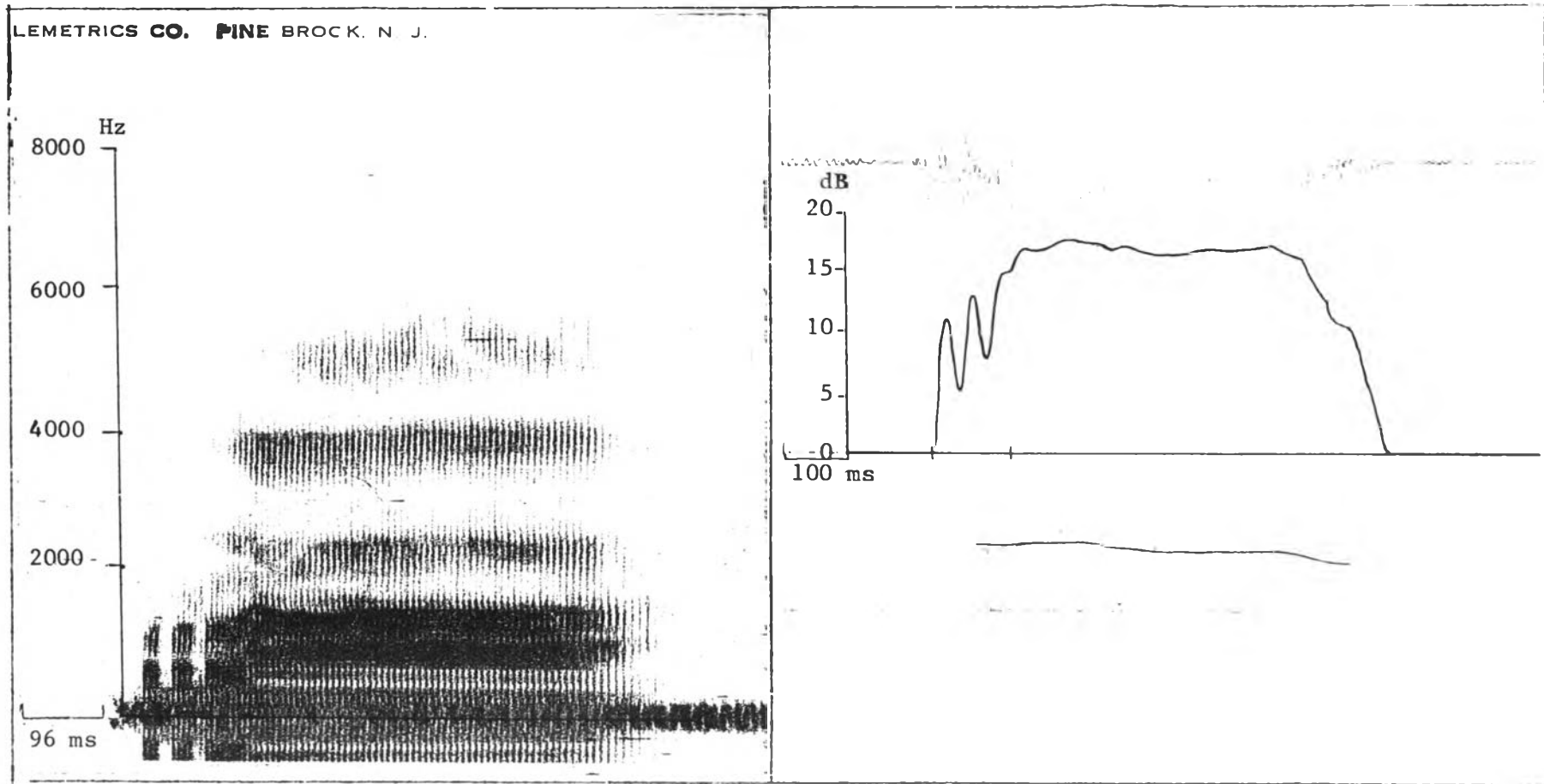
ภาพที่ 73 แผ่นภาพคลื่นเสียง และแผ่นภาพมิงโกแกรมของคำว่า [ri:]



ตารางที่ 147 ค่าทางกลศาสตร์ของ /r/ ในคำว่า [ri:]

		ค่า F ของระยะคงที่ของพยัญชนะ (Hz)				
ค่า จุดที่		0	25%	50%	75%	100%
F4	$\bar{F}$ :					
	S.D. :					
F3	$\bar{F}$ :					
	S.D. :					
F2	$\bar{F}$ :	1280	1280	1280	1280	1280
	S.D. :	45.00	45.00	45.00	45.00	45.00
F1	$\bar{F}$ :	579	579	579	579	579
	S.D. :	48.51	48.51	48.51	48.51	48.51
		ค่า F ของ Post-C-Trans (Hz)				
F4	$\bar{F}$ :	3779	3908	3954	3962	3975
	S.D. :	138.21	110.30	81.26	78.66	79.05
F3	$\bar{F}$ :	2600	2946	3179	3300	3313
	S.D. :	96.17	92.75	89.00	103.68	104.58
F2	$\bar{F}$ :	1280	2146	2250	2279	2292
	S.D. :	45.00	67.85	47.43	55.71	60.55
F1	$\bar{F}$ :	579	475	417	392	371
	S.D. :	48.51	22.36	34.15	34.15	51.03
		ค่าระยะเวลาของระยะคงที่ (ms)			ค่าระยะเวลาของ F-Trans (ms)	
$\bar{F}$ :		106			87	
S.D. :		14.34			9.85	
		ค่าความเข้มของเสียง (dB)				
$\bar{F}$ :		11.25				
S.D. :		1.66				

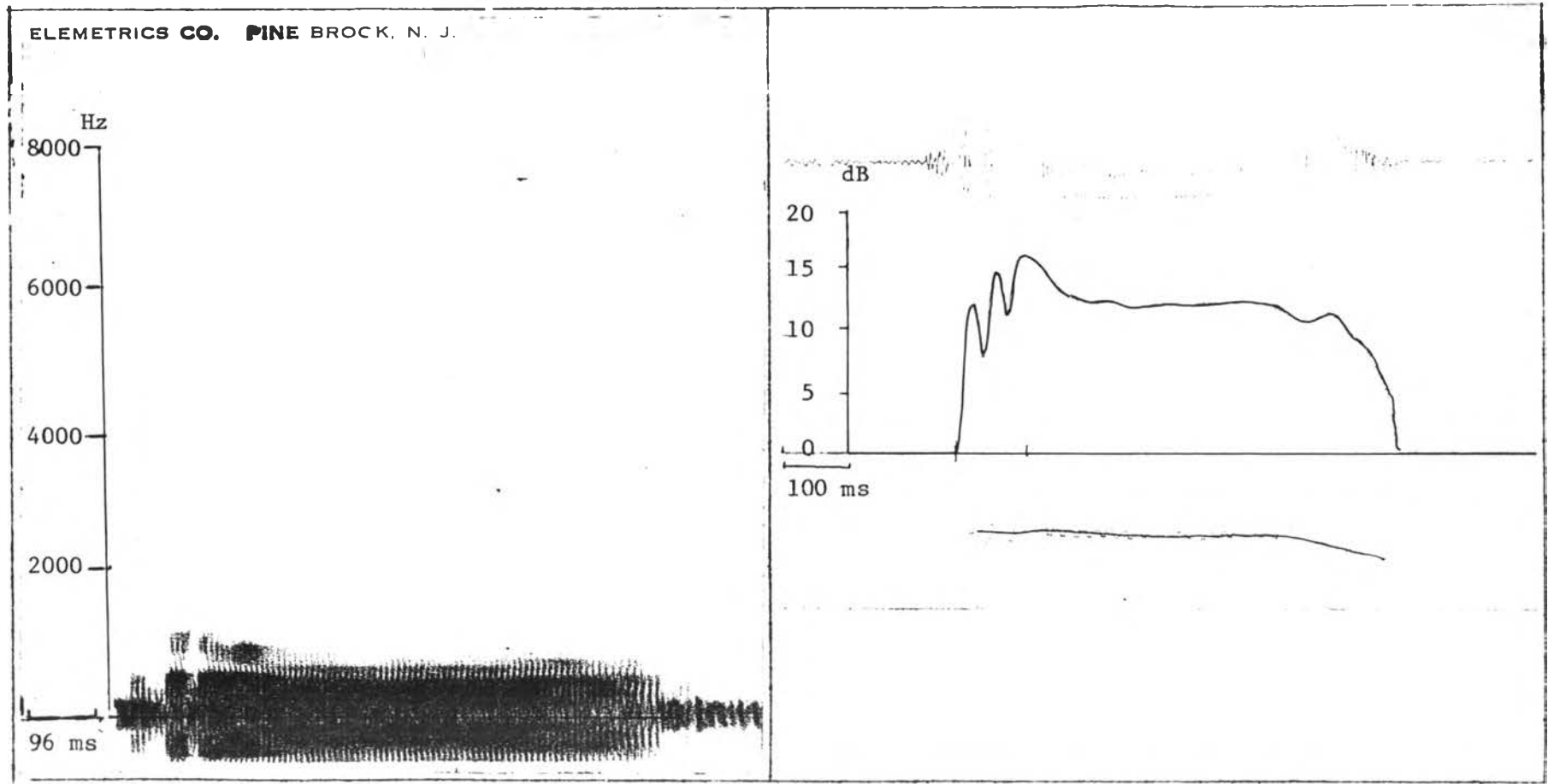
ภาพที่ 74 แม่ภาพคลื่นเสียง และแม่ภาพมิงโทแกรมของคำว่า [ra:]



ตารางที่ 148 ค่าทางกลศาสตร์ของ /r/ ในคำว่า [ra:]

		ค่า F ของระยะคงที่ของพยัญชนะ (Hz)				
จุดที่		0	25%	50%	75%	100%
F4	$\bar{X}$ :					
	S.D. :					
F3	$\bar{X}$ :					
	S.D. :					
F2	$\bar{X}$ :	1217	1217	1217	1217	1217
	S.D. :	56.27	56.27	56.27	56.27	56.27
F1	$\bar{X}$ :	613	613	613	613	613
	S.D. :	34.46	34.46	34.46	34.46	34.46
		ค่า F ของ Post-C-Trans (Hz)				
F4	$\bar{X}$ :	3788	3850	3883	3900	3908
	S.D. :	127.23	17.26	121.10	119.27	120.69
F3	$\bar{X}$ :	2054	2100	2204	2321	2488
	S.D. :	69.67	41.83	40.05	48.51	66.61
F2	$\bar{X}$ :	2117	1308	1383	1438	1423
	S.D. :	56.27	60.55	49.15	54.19	49.37
F1	$\bar{X}$ :	613	775	892	958	983
	S.D. :	34.46	47.43	46.54	60.55	37.63
		ค่าระยะเวลาของระยะคงที่ (ms)			ค่าระยะเวลาของ F-Trans (ms)	
$\bar{X}$ :		104			80	
S.D. :		5.17			12.11	
		ค่าความเข้มของเสียง (dB)				
$\bar{X}$ :		12				
S.D. :		1.41				

ภาพที่ 75 แผ่นภาพคลื่นเสียง และแผ่นภาพมิงโกแกรมของคำว่า [ru:]

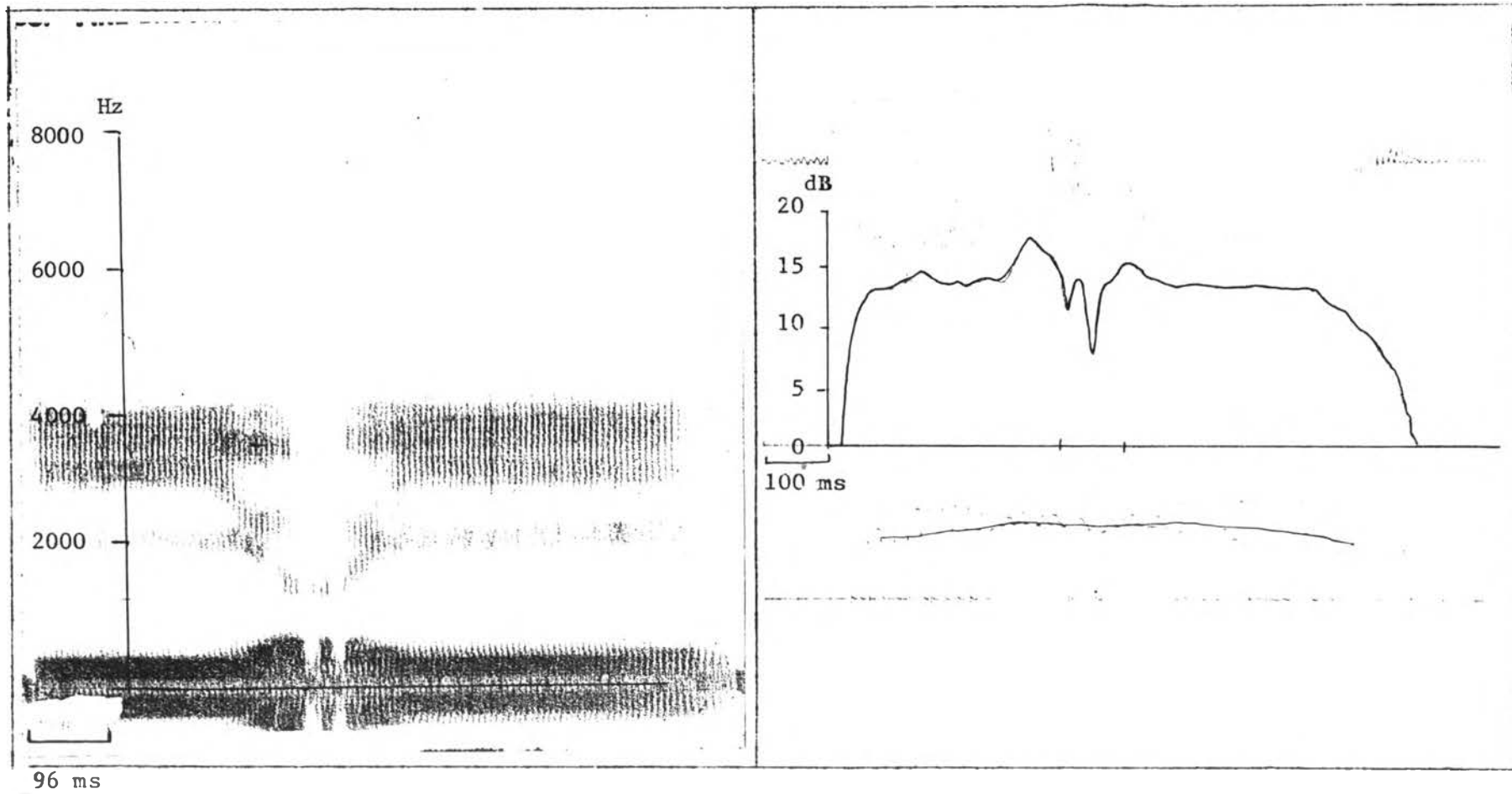


ตารางที่ 149 ค่าทางกลศาสตร์ของ /r/ ในคำว่า [ru:]

		ค่า F ของระลอกที่ของพยัญชนะ (Hz)				
จุดที่		0	25%	50%	75%	100%
ค่า						
F4	$\bar{X}$ :					
	S.D. :					
F3	$\bar{X}$ :					
	S.D. :					
F2	$\bar{X}$ :	1121	1121	1121	1121	1121
	S.D. :	45.87	45.87	45.87	45.87	45.87
F1	$\bar{X}$ :	558	558	558	558	558
	S.D. :	20.41	20.41	20.41	20.41	20.41
ค่า F ของ Post-C-Trans (Hz)						
F4	$\bar{X}$ :					
	S.D. :					
F3	$\bar{X}$ :					
	S.D. :					
F2	$\bar{X}$ :	1121	1004	858	754	679
	S.D. :	45.87	117.70	120.06	71.44	18.81
F1	$\bar{X}$ :	558	358	358	358	358
	S.D. :	20.41	51.63	51.63	51.63	51.63
ค่าระยะเวลาของระลอกที่ (ms)			ค่าระยะเวลาของ F-Trans (ms)			
$\bar{X}$ :		105			98	
S.D. :		17.81			11.79	
ค่าความเข้มของเสียง (dB)						
$\bar{X}$ :		10.50				
S.D. :		1.99				



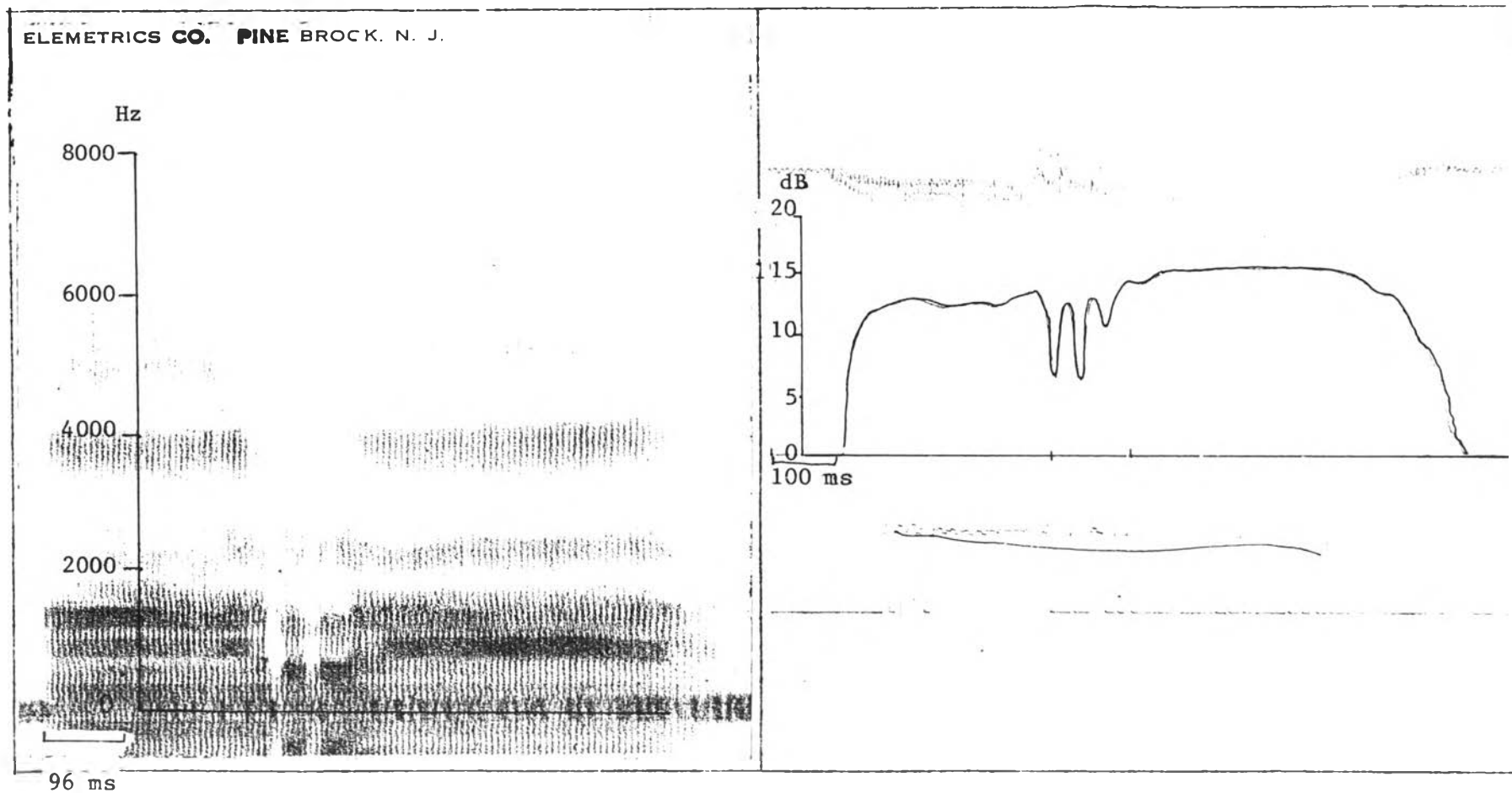
ภาพที่ 76 แม่ภาพคลื่นเสียง และแม่ภาพมิงไกแกรมของคำว่า [i:ni:]



ตารางที่ 150 ค่าทางกลศาสตร์ของ /r/ ในคำว่า [i:ri:]

		ค่า F ของระยะคงที่ของพยัญชนะ (Hz)				
จุดที่		0	25%	50%	75%	100
ค่า						
F4	$\bar{X}$					
	S.D.					
F3	$\bar{X}$					
	S.D.					
F2	$\bar{X}$	1550	1550	1550	1550	1550
	S.D.					
F1	$\bar{X}$	558	558	558	558	558
	S.D.					
		ค่า F ของ Pre-C-F-Trans				
F4	$\bar{X}$	3883	3938	3967	3975	3975
	S.D.	73.59	34.46	37.63	50.00	50.00
F3	$\bar{X}$	2654	2954	3175	3267	3300
	S.D.	90.02	119.80	107.23	56.27	67.08
F2	$\bar{X}$	1658	2233	2267	2292	2296
	S.D.	108.01	76.91	76.91	40.82	36.79
F1	$\bar{X}$	571	483	425	413	413
	S.D.	24.57	37.63	35.35	26.22	26.22
		ค่า F ของ Post-C-F-Trans				
F4	$\bar{X}$	3938	3925	3863	3800	3750
	S.D.	114.83	108.39	94.53	93.54	106.06
F3	$\bar{X}$	3308	3279	3096	2888	2650
	S.D.	60.55	76.51	90.02	89.09	85.14
F2	$\bar{X}$	2296	2296	2275	2250	2071
	S.D.	45.87	45.83	20.00	41.83	18.56
F1	$\bar{X}$	396	400	413	433	571
	S.D.	45.87	52.44	62.74	70.11	24.53
		ระยะเวลาของระยะคงที่		ระยะเวลาของ Pre-C-F-Trans		ระยะเวลาของ Post-C-F-Trans
	$\bar{X}$	108		76		72
	S.D.	10.68		13.06		11.64
		ค่าความเข้มของเสียงพยัญชนะ				
	$\bar{X}$	12.41				
	S.D.	2.07				

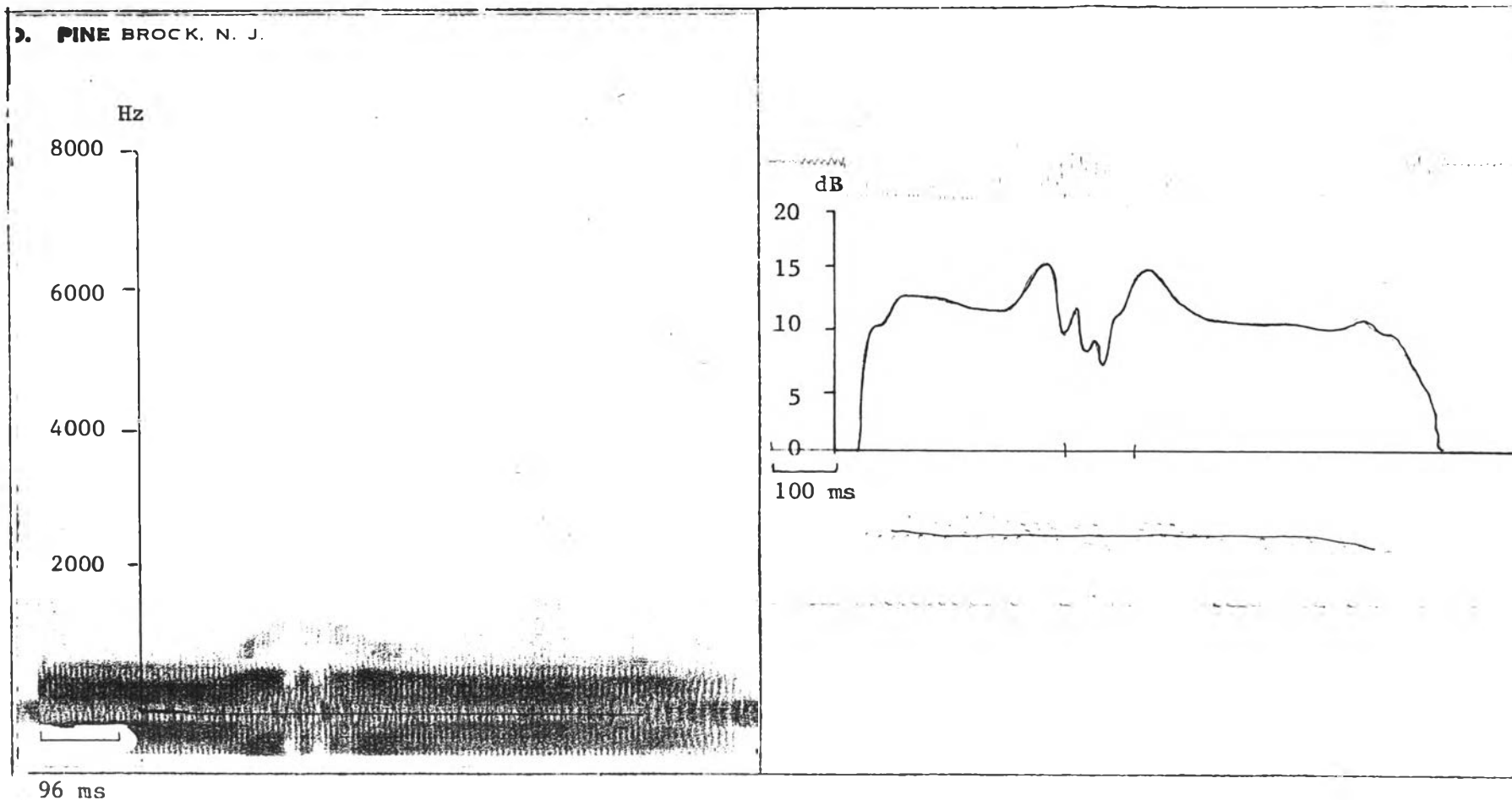
ภาพที่ 77 แผ่ไพเราะเสียง และแผ่ภาพมิงโกแกรมของคำว่า [a:ra:]



ตารางที่ 151 ค่าทางกลศาสตร์ของ /r/ ในคำว่า [a:ra:]

		ค่า F ของระยะคงที่ของพยัญชนะ (Hz)				
จุดที่		0	25%	50%	75%	100
ค่า						
F4	$\bar{X}$					
	S.D.					
F3	$\bar{X}$					
	S.D.					
F2	$\bar{X}$	1413	1346	1346	1346	1383
	S.D.	66.61	33.22	32.22	33.22	81.64
F1	$\bar{X}$	892	646	646	646	775
	S.D.	58.45	51.03	51.03	51.03	75.82
		ค่า F ของ Pre-C-F-Trans				
F4	$\bar{X}$	4013	4046	4063	4071	4071
	S.D.	89.09	96.71	95.85	102.97	102.97
F3	$\bar{X}$	2336	2396	2400	2408	2429
	S.D.	97.14	76.51	57.00	56.27	45.89
F2	$\bar{X}$	1383	1438	1500	1525	1538
	S.D.	81.64	87.67	63.24	74.16	75.41
F1	$\bar{X}$	775	871	954	988	1013
	S.D.	75.82	95.41	36.79	41.07	51.84
		ค่า F ของ Post-C-F-Trans				
F4	$\bar{X}$	4058	4050	4008	3971	3904
	S.D.	58.45	70.71	88.97	82.78	88.02
F3	$\bar{X}$	2525	2525	2508	2463	2425
	S.D.	117.26	117.26	73.58	62.74	107.23
F2	$\bar{X}$	1538	1538	1517	1467	1412
	S.D.	64.71	64.71	37.63	66.45	66.61
F1	$\bar{X}$	1042	1038	1025	971	892
	S.D.	66.45	62.74	59.16	87.20	58.45
		ระยะเวลาของระยะคงที่	ระยะเวลาของ Pre-C-F-Trans		ระยะเวลาของ Post-C-F-Trans	
	$\bar{X}$	109	71		56	
	S.D.	8.45	10.11		7.91	
		ค่าความเข้มของเสียงพยัญชนะ				
	$\bar{X}$	14.41				
	S.D.	1.96				

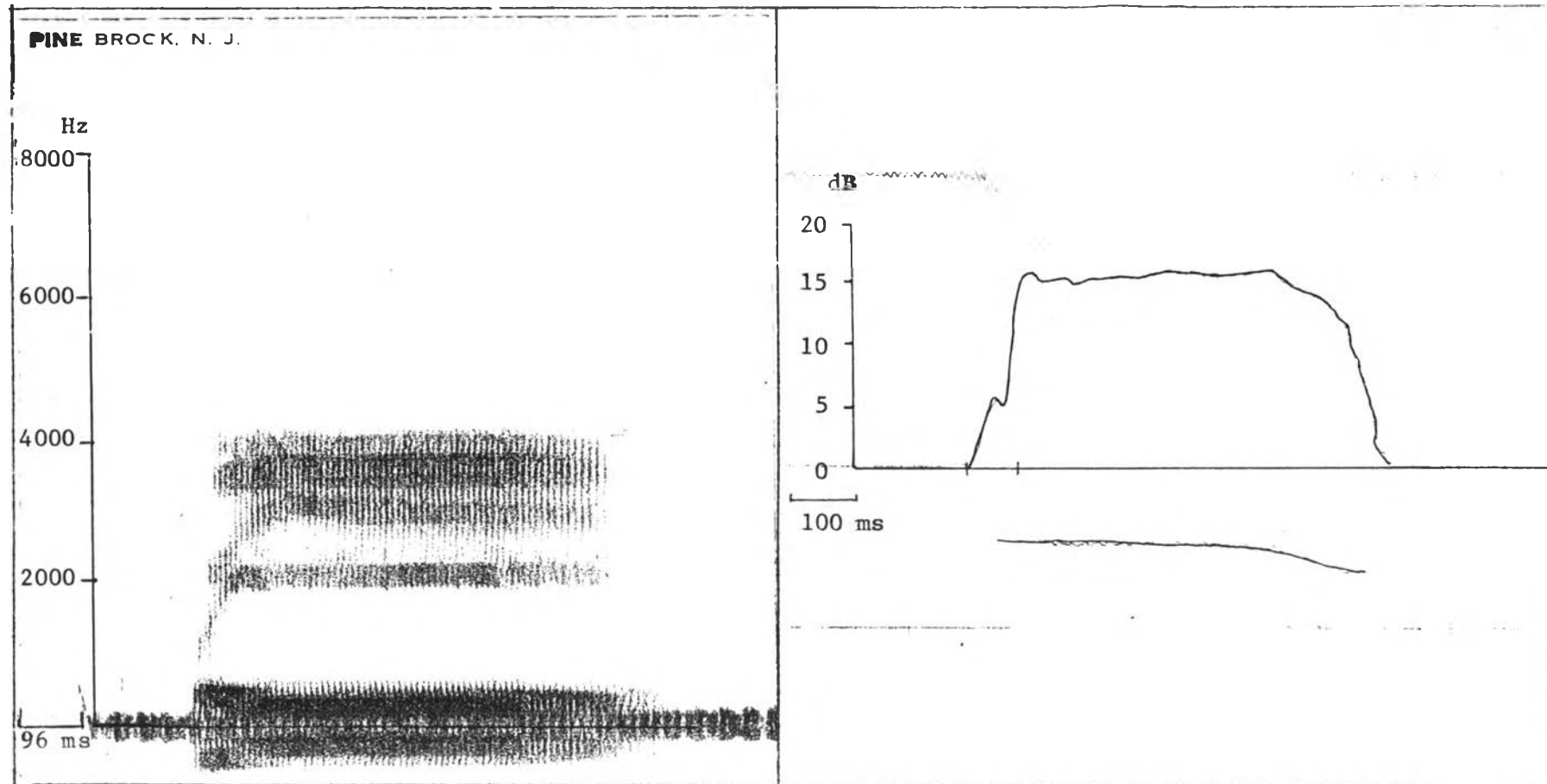
ภาพที่ 78 แม่ภาพคลื่นเสียง และแม่ภาพมิงโกแกรมของคำว่า [u: ru:]



ตารางที่ 152 ค่าทางกลศาสตร์ของ /r/ ในคำว่า [u:ru:]

		ค่า F ของระยะคงที่ของพยัญชนะ (Hz)					
		จุดที่ ค่า	0	25%	50%	75%	100
F4	$\bar{X}$						
	S.D.						
F3	$\bar{X}$						
	S.D.						
F2	$\bar{X}$	1150	1225	1225	1225	1129	
	S.D.	79.05	22.36	22.36	22.36	78.12	
F1	$\bar{X}$	508	508	508	508	504	
	S.D.	43.77	43.77	43.77	43.77	36.79	
		ค่า F ของ Pre-C-F-Trans					
F4	$\bar{X}$						
	S.D.						
F3	$\bar{X}$						
	S.D.						
F2	$\bar{X}$	1129	996	842	750	713	
	S.D.	78.12	51.03	40.82	63.24	51.84	
F1	$\bar{X}$	504	471	417	408	392	
	S.D.		43.06	70.11	58.45	58.45	
		ค่า F ของ Post-C-F-Trans					
F4	$\bar{X}$						
	S.D.						
F3	$\bar{X}$						
	S.D.						
F2	$\bar{X}$	679	704	817	996	1150	
	S.D.	55.71	64.06	104.43	98.00	79.05	
F1	$\bar{X}$	388	392	429	279	508	
	S.D.	64.71	71.87	53.42	40.52	43.77	
		ระยะเวลาของระยะคงที่	ระยะเวลาของ Pre-C-F-Trans		ระยะเวลาของ Post-C-F-Trans		
	$\bar{X}$	101	84		84		
	S.D.	16.03	26.13		15.80		
		ค่าความเข้มของเสียงพยัญชนะ					
	$\bar{X}$	10.50					
	S.D.	2.22					

ภาพที่ 79 แผ่ภาพคลื่นเสียง และแผ่ภาพมิงโกแกรมของคำว่า [fi:]

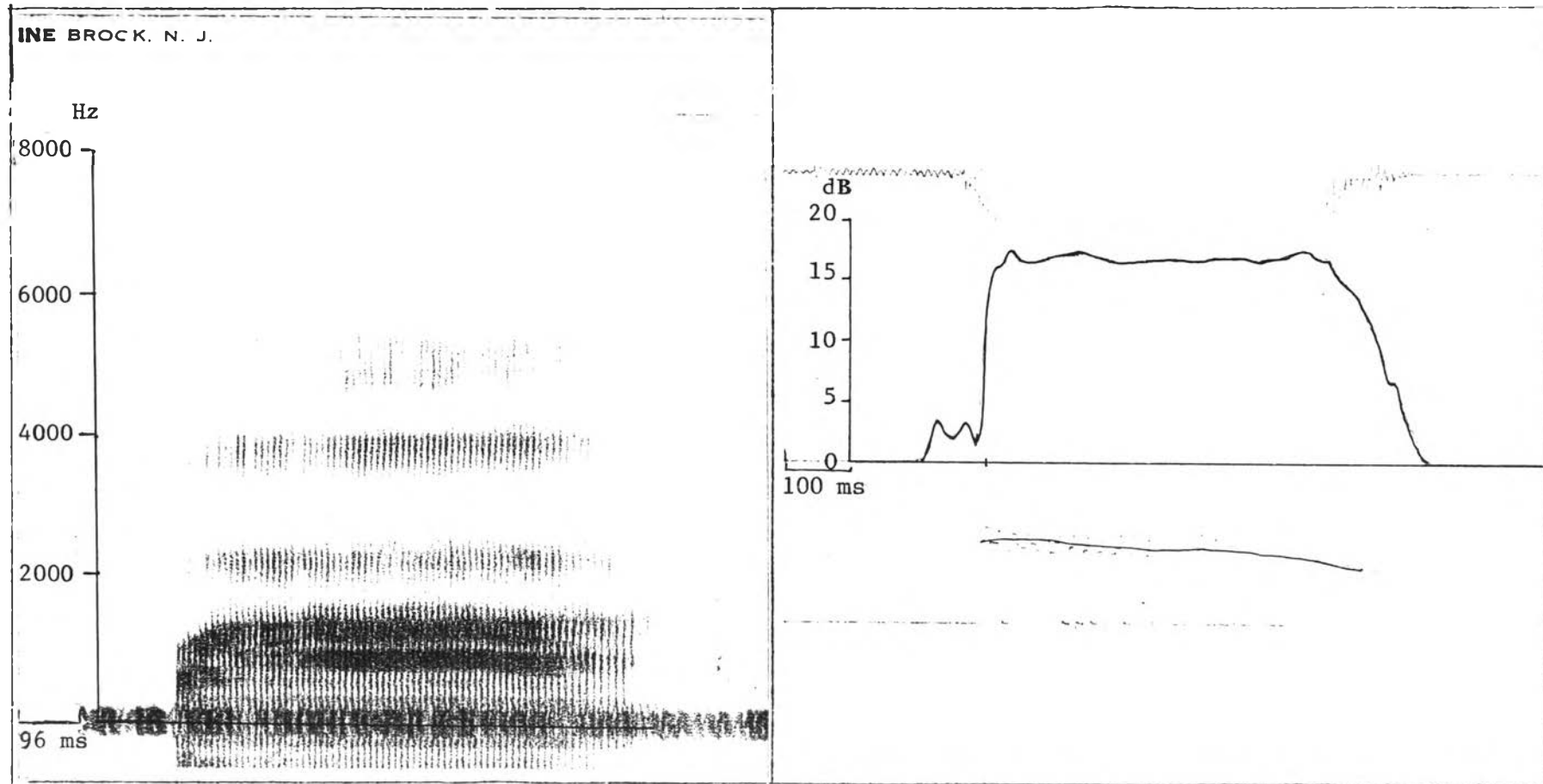


ตารางที่ 153 ค่าทางกลศาสตร์ของ /f/ ในคำว่า [fi:]

		ผลของการกำหนด				ค่า R
	$\bar{X}$	1608-8000				-
	S.D.	-				-
ค่า F ของ Post-C-F-Trans						
F4	$\bar{X}$	3567	3742	3858	3883	3896
	S.D.	98.31	131.02	90.36	94.42	78.12
F3	$\bar{X}$	2050	2462	2871	3117	3208
	S.D.	100.00	115.92	134.55	111.43	93.09
F2	$\bar{X}$	1117	1783	2196	2258	2271
	S.D.	117.79	134.78	105.37	68.31	69.67
F1	$\bar{X}$	500	429	392	367	354
	S.D.	54.77	10.20	34.15	25.87	24.57
		ระยะเวลาของระยะคงที่			ระยะเวลาของ Post-C-F-Trans	
	$\bar{X}$	93			99	
	S.D.	5.58			19.50	
ความเข้มของเสียง						
	$\bar{X}$	3.25				
	S.D.	1.96				



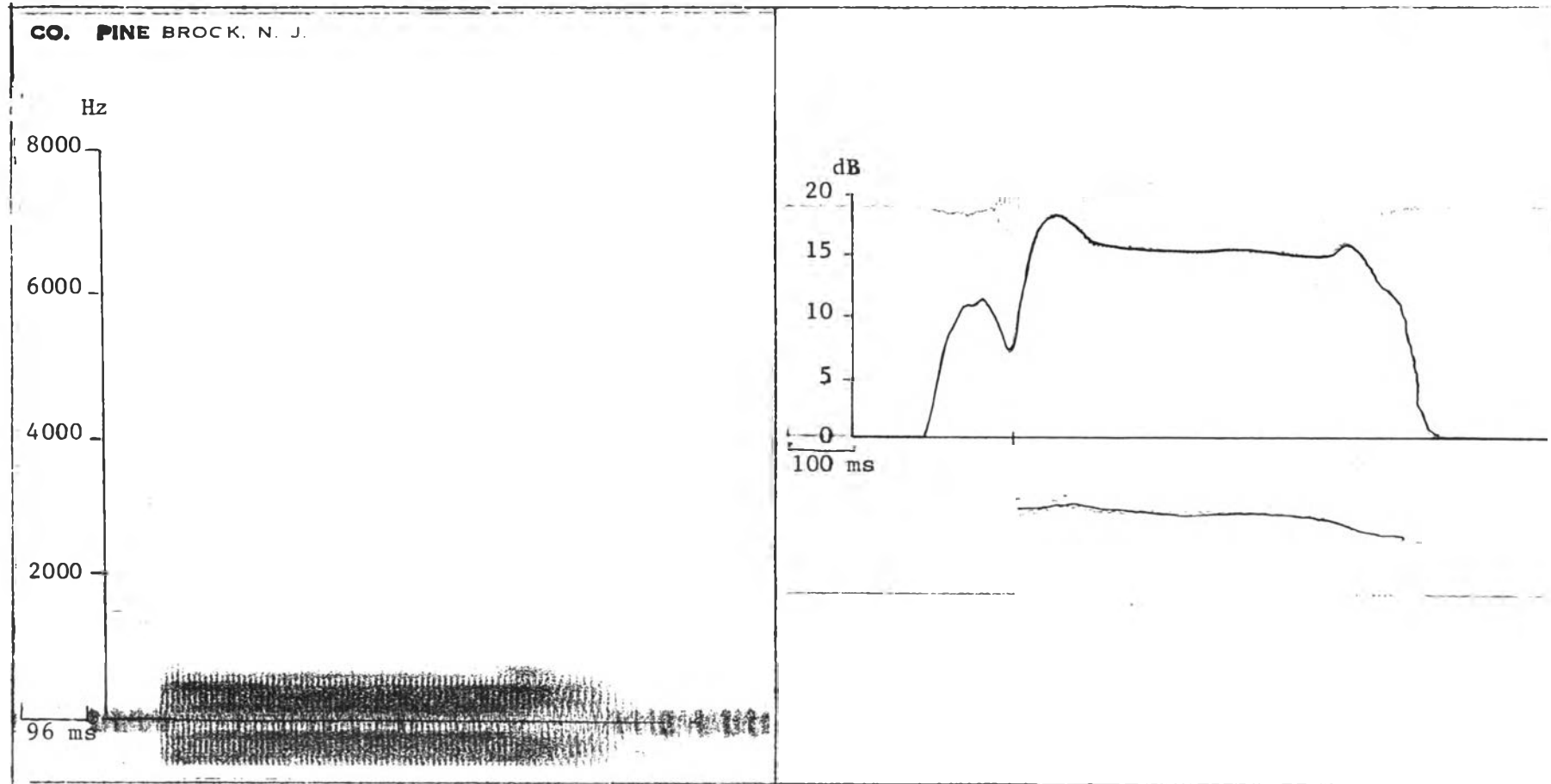
ภาพที่ 80 แผ่นภาพคลื่นเสียง และแผ่นภาพมิงโกแกรมของคำว่า [fa:]



ตารางที่ 154 ค่าทางกลศาสตร์ของ /f/ ในคำว่า [fa:]

		พิสัยการกำหนด			ค่า R	
	$\bar{X}$	1242-8000			-	-
	S.D.	-			-	-
ค่า F ของ Post-C-F-Trans						
F4	$\bar{X}$	3767	3913	4021	4079	4104
	S.D.	86.12	34.46	43.06	43.06	59.67
F3	$\bar{X}$	2288	2354	2413	2463	2500
	S.D.	51.81	43.06	58.63	84.77	100.00
F2	$\bar{X}$	995	1167	1304	1396	1446
	S.D.	33.22	37.63	29.22	40.05	18.81
F1	$\bar{X}$	425	642	858	929	975
	S.D.	31.62	34.15	46.54	51.03	50.00
		ระยะเวลาของระยะคงที่			ระยะเวลาของ Post-C-F-Trans	
	$\bar{X}$	94			94	
	S.D.	11.55			13.68	
ความเข้มของเสียง						
	$\bar{X}$	2.08				
	S.D.	0.91				

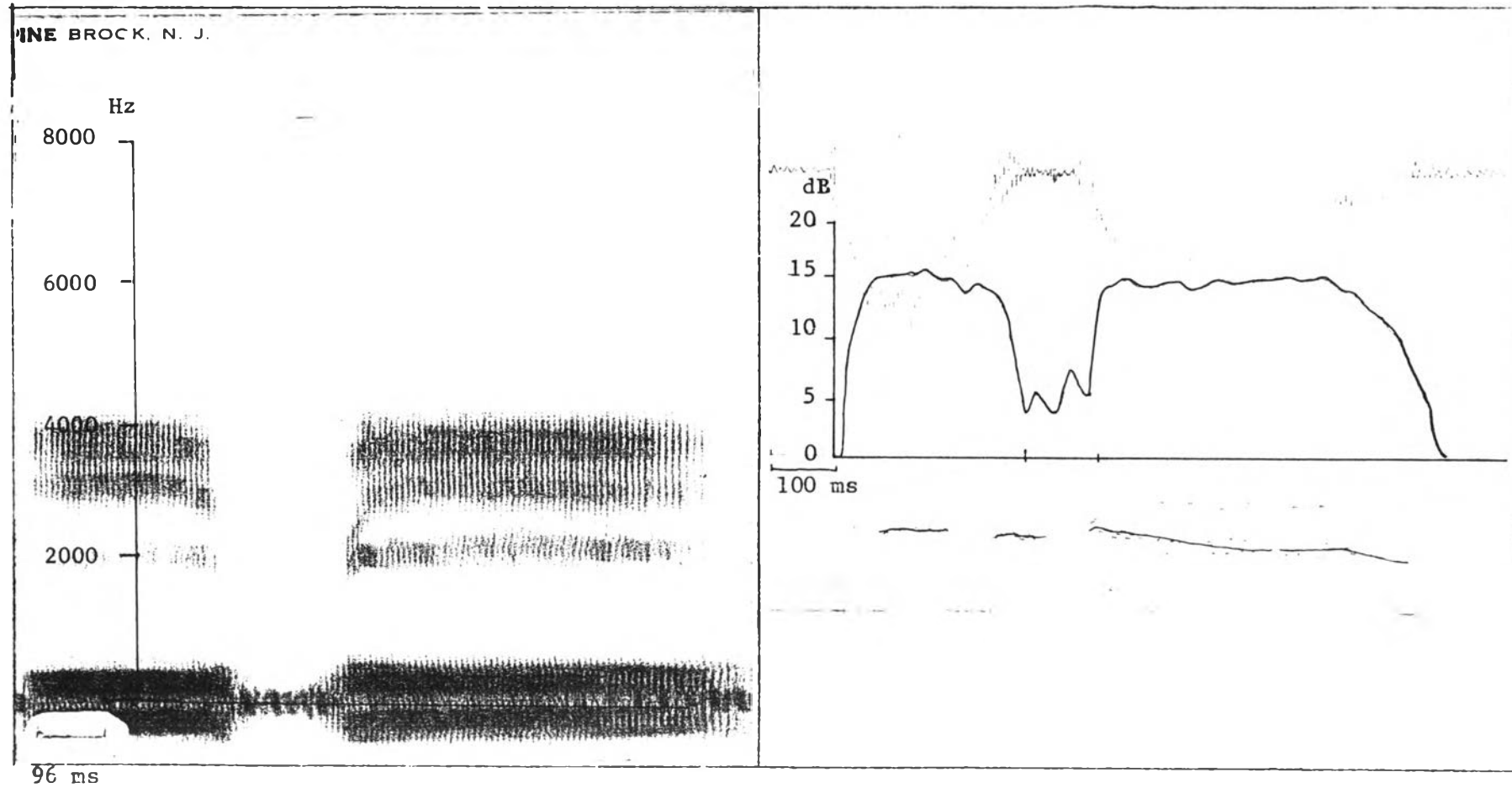
ภาพที่ 81 แผ่นภาพคลื่นเสียง และแผ่นภาพบึงโทแกรมของคำว่า [ fu: ]



ตารางที่ 155 ค่าทางกลศาสตร์ของ /f/ ในคำว่า [fu:]

		พิสัยการกำหนด				ค่า R	
	$\bar{X}$	958-8000				-	-
	S.D.	-				-	-
ค่า F ของ Post-C-F-Trans							
F4	$\bar{X}$						
	S.D.						
F3	$\bar{X}$						
	S.D.						
F2	$\bar{X}$	825	800	758	758	758	
	S.D.	40.25	40.50	56.27	56.27	56.27	
F1	$\bar{X}$	480	400	400	400	400	
	S.D.	31.62	31.62	31.62	31.62	31.62	
		ระยะเวลาของระบะคงที่			ระยะเวลาของ Post-C-F-Trans		
	$\bar{X}$	96			30		
	S.D.	17.79			-		
ความเข้มของเสียง							
	$\bar{X}$	3.37					
	S.D.	0.81					

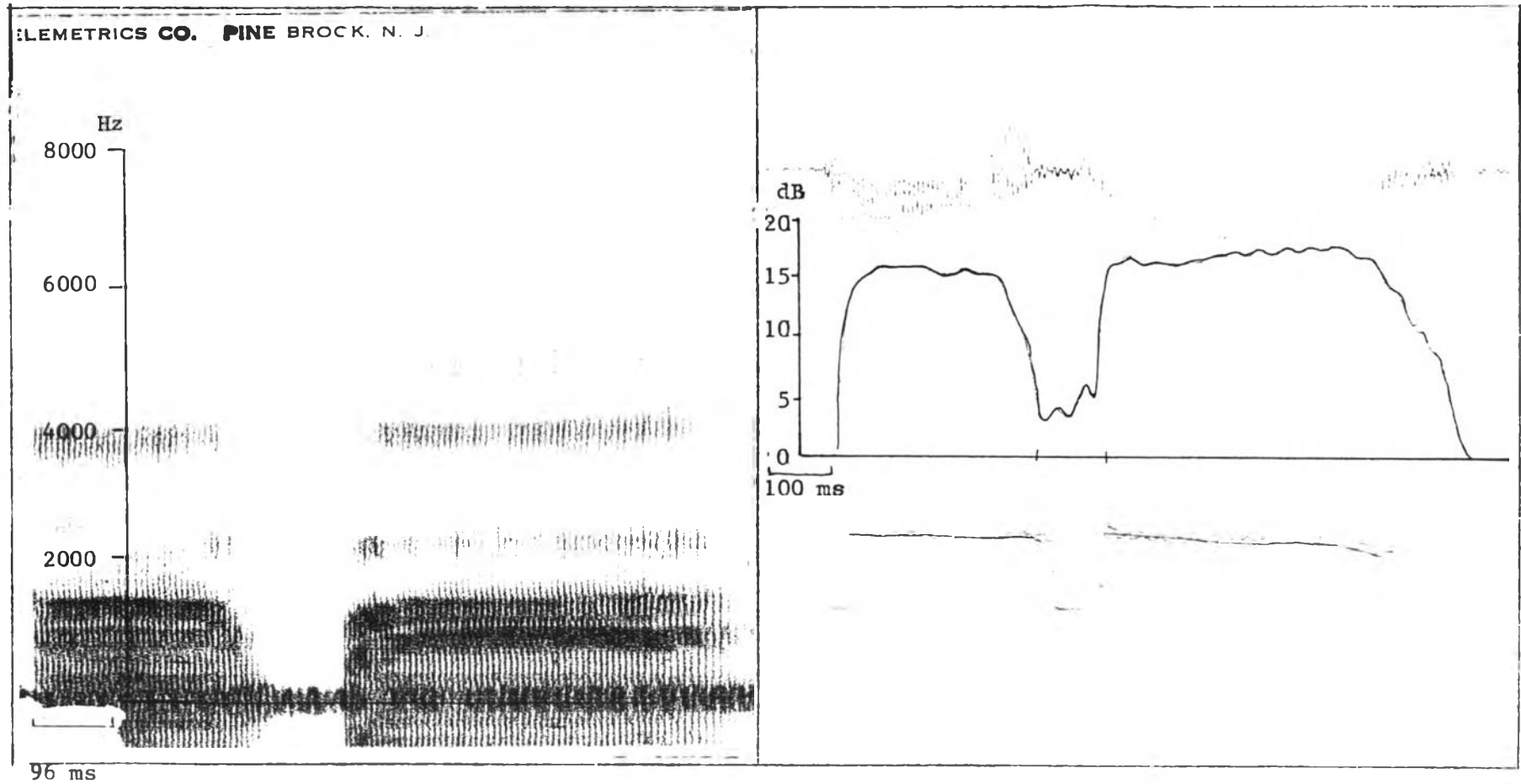
ภาพที่ 82 แม่ตาหคณเียง และแม่ตาหคณิงโกแกรมของค่วำ [ i: f i: ]



ตารางที่ 156 ค่าทางกลศาสตร์ของ /f/ ในคำว่า [i:fi:]

		พิสัยการกำหนด				ค่า R
	$\bar{X}$	1796-8000				-
	S.D.	-				-
ค่า F ของ Pre-C-F-Trans						
F4	$\bar{X}$	3929	3900	3800	3704	3529
	S.D.	73.17	112.91	104.88	124.91	134.55
F3	$\bar{X}$	3350	3325	3184	2946	2592
	S.D.	126.49	133.22	143.75	194.56	236.99
F2	$\bar{X}$	2296	2292	2271	2250	2054
	S.D.	71.44	81.64	88.62	75.82	117.70
F1	$\bar{X}$	379	379	379	379	379
	S.D.	36.79	36.79	36.79	36.79	36.79
ค่า F ของ Post-C-F-Trans						
F4	$\bar{X}$	3629	3729	3800	3829	2850
	S.D.	73.17	76.51	90.82	51.03	57.00
F3	$\bar{X}$	2308	2638	2933	3100	3192
	S.D.	127.14	211.39	184.16	89.44	46.54
F2	$\bar{X}$	1767	2083	2275	2283	2292
	S.D.	247.24	154.65	59.16	45.15	
F1	$\bar{X}$	446	404	392	388	383
	S.D.	43.06	48.51	53.79	44.01	46.54
		ระยะเวลาของระยะคงที่	ระยะเวลาของ Pre-C-F-Trans		ระยะเวลาของ Post-C-F-Trans	
	$\bar{X}$	117	84		84	
	S.D.	14.57	9.42		4.06	
ค่าความเข้มของเสียงพยัญชนะ						
	$\bar{X}$	3.66				
	S.D.	1.99				

ภาพที่ 83 แม่ภาพคลื่นเสียง และแม่ภาพมิงโกแกรมของคำว่า [a: fa:]

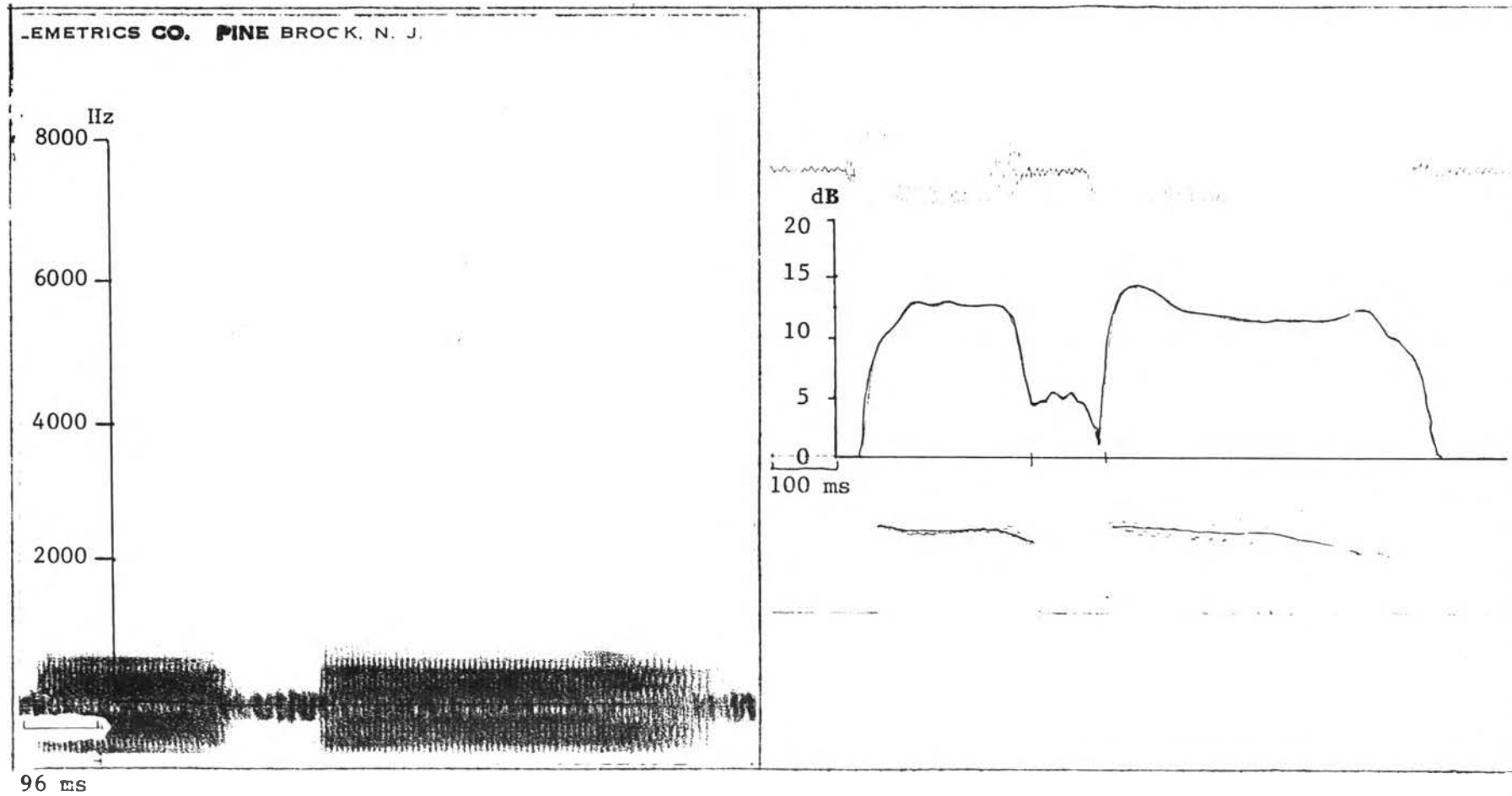


ตารางที่ 157 ค่าทางกลศาสตร์ของ /f/ ในคำว่า [a:fa:]

		พิสัยการกำหนด				ค่า R
	$\bar{X}$	1485-8000				-
	S.D.	-				-
ค่า F ของ Pre-C-F-Trans						
F4	$\bar{X}$	4121	4108	4067	4038	3958
	S.D.	73.17	68.31	37.63	34.46	73.59
F3	$\bar{X}$	2663	2625	2563	2458	2392
	S.D.	153.90	124.49	102.14	116.90	123.15
F2	$\bar{X}$	1483	1429	1313	1154	1013
	S.D.	25.81	24.57	58.63	91.40	99.68
F1	$\bar{X}$	1021	983	896	742	604
	S.D.	51.03	49.15	65.98	120.06	161.56
ค่า F ของ Post-C-F-Trans						
F4	$\bar{X}$	4075	4104	4121	4138	4154
	S.D.	92.19	79.70	65.98	62.74	60.03
F3	$\bar{X}$	2308	2358	2392	2442	2483
	S.D.	30.27	25.81	40.82	51.63	83.16
F2	$\bar{X}$	1029	1167	1283	1358	1392
	S.D.	33.22	51.63	54.00	60.55	49.15
F1	$\bar{X}$	475	633	767	871	908
	S.D.	68.92	37.63	43.77	91.40	71.87
		ระยะเวลาของระยะคงที่	ระยะเวลาของ Pre-C-F-Trans		ระยะเวลาของ Post-C-F-Trans	
	$\bar{X}$	103	84		84	
	S.D.	10.12	10.33		11.33	
ค่าความเข้มของเสียงพยัญชนะ						
	$\bar{X}$	2.66				
	S.D.	1.37				



ภาพที่ 84 แม่ภาพคลื่นเสียง และแม่ภาพมิงโกแกรมของคำว่า [u: fu:]

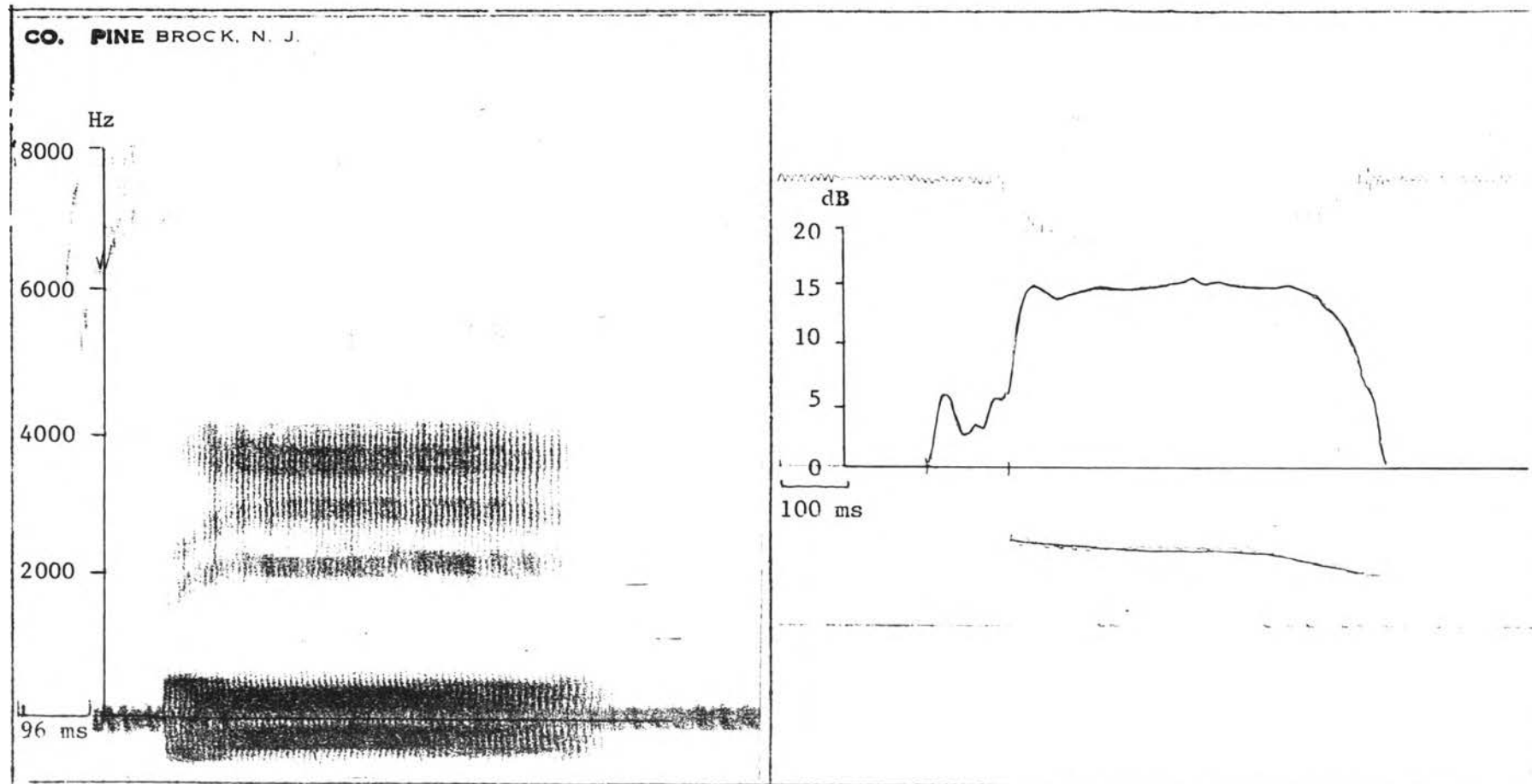




ตารางที่ 158 ค่าทางกลศาสตร์ของ /f/ ในคำว่า [u:fu:]

		ทฤษฎีการกำหนด					ค่า R
	$\bar{X}$	842-8000					-
	S.D.	-					-
ค่า F ของ Pre-C-F-Trans							
F4	$\bar{X}$						
	S.D.						
F3	$\bar{X}$						
	S.D.						
F2	$\bar{X}$	617	617	617	617	617	
	S.D.	12.90	12.90	12.90	12.90	12.90	
F1	$\bar{X}$	342	342	342	342	342	
	S.D.	12.90	12.90	12.90	12.90	12.90	
ค่า F ของ Post-C-F-Trans							
F4	$\bar{X}$						
	S.D.						
F3	$\bar{X}$						
	S.D.						
F2	$\bar{X}$	617	617	617	617	617	
	S.D.	12.90	12.90	12.90	12.90	12.90	
F1	$\bar{X}$	342	342	342	342	342	
	S.D.	12.90	12.90	12.90	12.90	12.90	
		ระยะเวลาของระยะคงที่		ระยะเวลาของ Pre-C-F-Trans		ระยะเวลาของ Post-C-F-Trans	
	$\bar{X}$	105		30		30	
	S.D.	7.12		-		-	
ค่าความเข้มของเสียงพยัญชนะ							
	$\bar{X}$	3.91					
	S.D.	1.08					

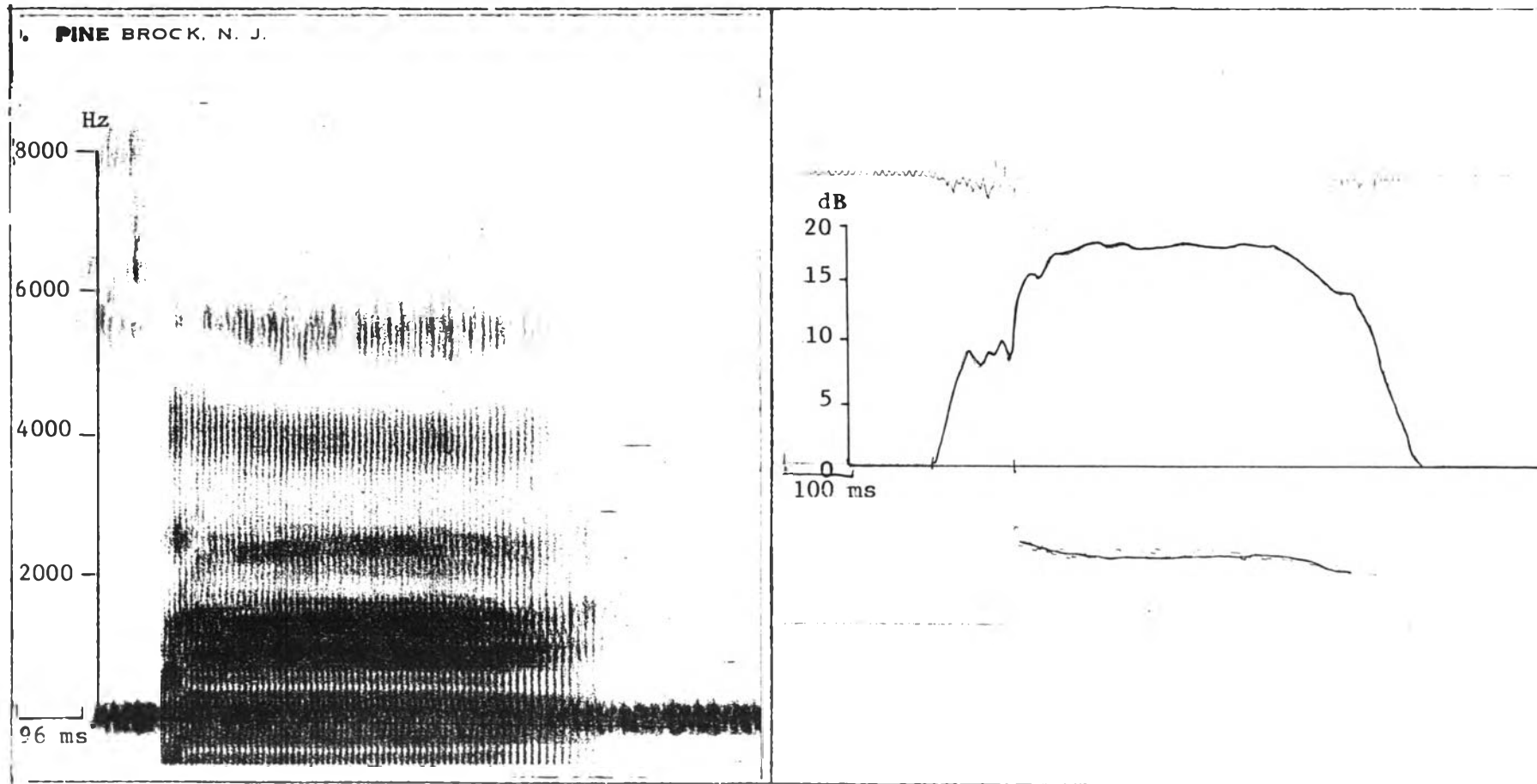
ภาพที่ 85 แม่ตาหคณเียง และแม่ตาหมิงโกแกรมของค้วว่า [si:]



ตารางที่ 159 ค่าทางกลศาสตร์ของ /s/ ในคำว่า [si:]

		หิสิกการกำหนด				ค่า R
	$\bar{X}$	4300-8000				5658
	S.D.					58.45
ค่า F ของ Post-C-F-Trans						
F4	$\bar{X}$	4183	4121	4071	4025	3983
	S.D.	117.96	84.28	90.02	88.03	109.16
F3	$\bar{X}$	2367	2692	2971	3133	3208
	S.D.	54.00	37.69	55.71	37.63	25.81
F2	$\bar{X}$	1704	2038	2250	2321	2329
	S.D.	40.05	58.63	61.23	76.51	101.75
F1	$\bar{X}$	517	454	396	325	292
	S.D.	34.15	29.22	60.03	54.77	49.15
		ระยะเวลาของระยะคงที่			ระยะเวลาของ Post-C-F-Trans	
	$\bar{X}$	106			86	
	S.D.	6.19			4.32	
ความเข้มของเสียง						
	$\bar{X}$	4.25				
	S.D.	2.22				

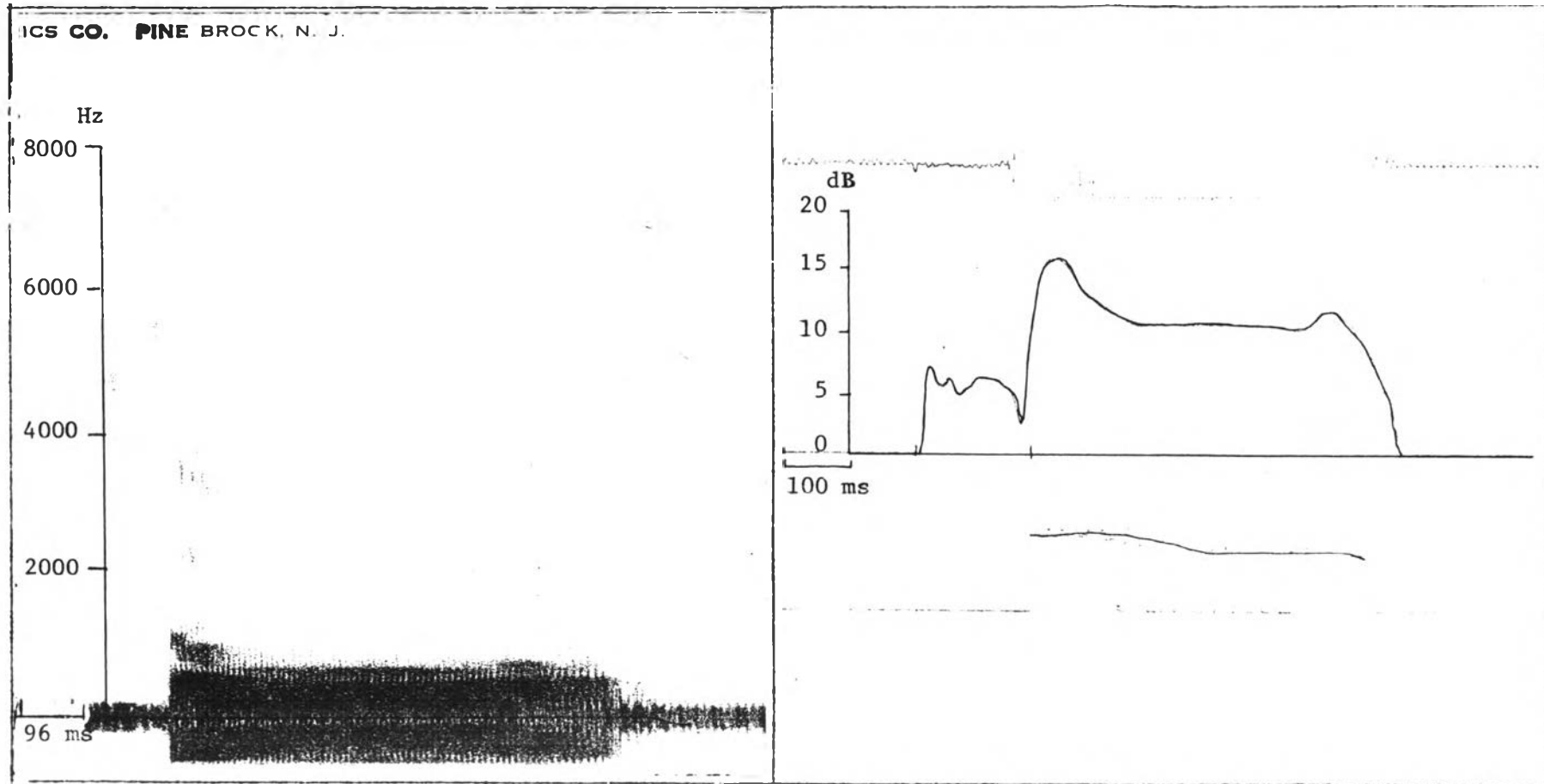
ภาพที่ 86 แผนภาพคลื่นเสียง และแผนภาพมิงโกแกรมของคำว่า [sa:]



ตารางที่ 160 ค่าทางกลศาสตร์ ของ /s/ ในคำว่า [sa:]

		พิสัยการกำหนด				ค่า R
	$\bar{X}$	3950-8000				5617
	S.D.					107.30
ค่า F ของ Post-C-F-Trans						
F4	$\bar{X}$					
	S.D.					
F3	$\bar{X}$	2833	2742	2671	2621	2579
	S.D.	70.11	70.11	81.26	73.17	81.26
F2	$\bar{X}$	1287	1346	1400	1425	1442
	S.D.	98.42	57.91	44.72	52.44	60.55
F1	$\bar{X}$	567	779	895	950	975
	S.D.	68.33	55.71	51.03	35.35	35.35
		ระยะเวลาของระยะคงที่			ระยะเวลาของ Post-C-F-Trans	
	$\bar{X}$	96			84	
	S.D.	10.07			2.41	
ความเข้มของเสียง						
	$\bar{X}$	5.83				
	S.D.	1.96				

ภาพที่ 87 แผ่นภาพคลื่นเสียง และแผ่นภาพมิงโกแกรมของคำว่า [su:]

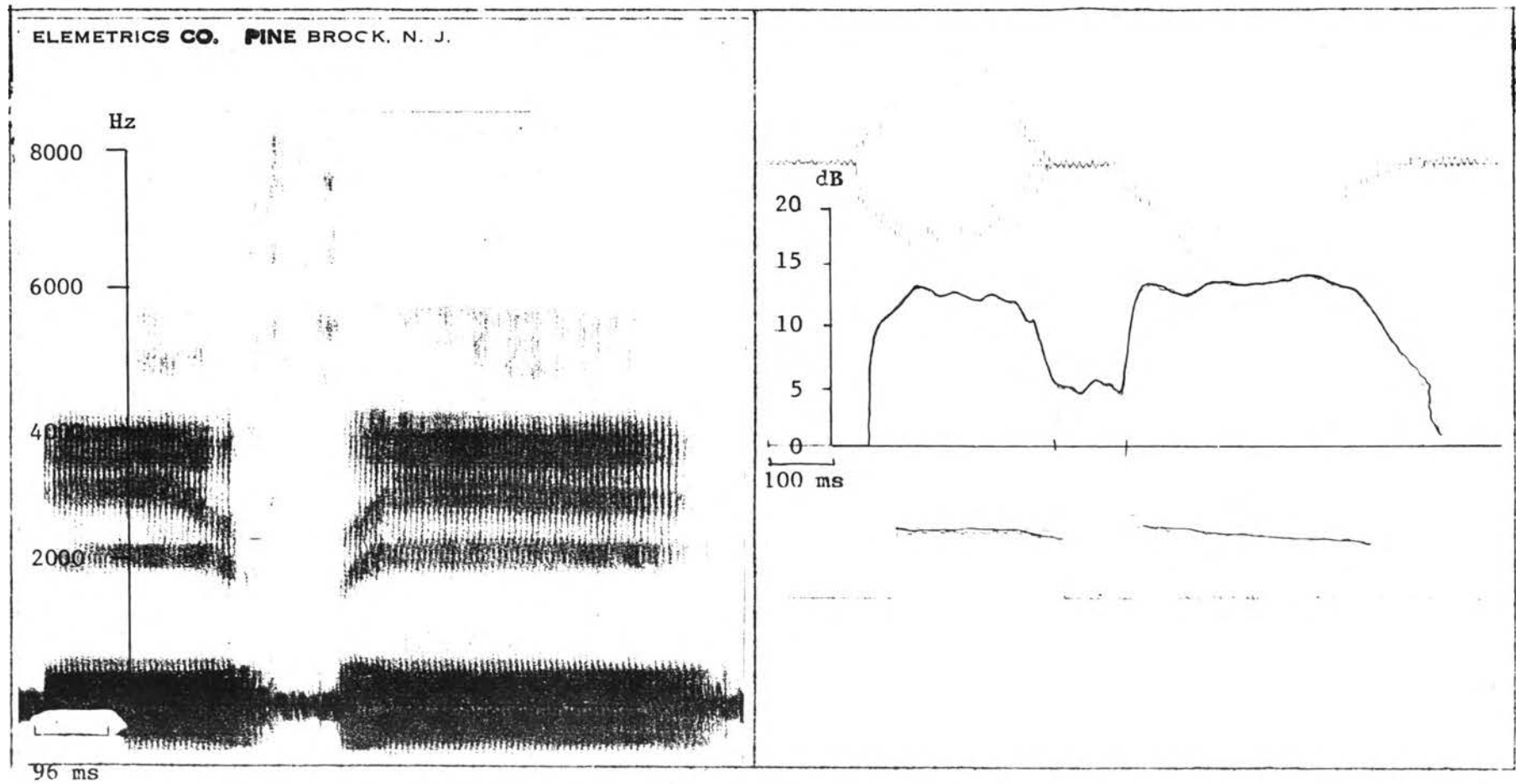


ตารางที่ 161 ค่าทางกลศาสตร์ ของ /s/ ในคำว่า [su:]

		พิสัยการกำหนด			ค่า R	
	$\bar{X}$	3300-8000			5012	
	S.D.	-			133.43	
ค่า F ของ Post-C-F-Trans						
F4	$\bar{X}$					
	S.D.					
F3	$\bar{X}$					
	S.D.					
F2	$\bar{X}$	1325	1117	921	788	725
	S.D.	170.59	150.55	126.90	124.24	61.23
F1	$\bar{X}$	425	362	325	313	304
	S.D.	59.16	56.45	47.43	34.46	29.22
ระยะเวลาของระยะคงที่				ระยะเวลาของ Post-C-F-Trans		
	$\bar{X}$	104			94	
	S.D.	24.07			12.04	
ความเข้มของเสียง						
	$\bar{X}$	5.58				
	S.D.	1.91				



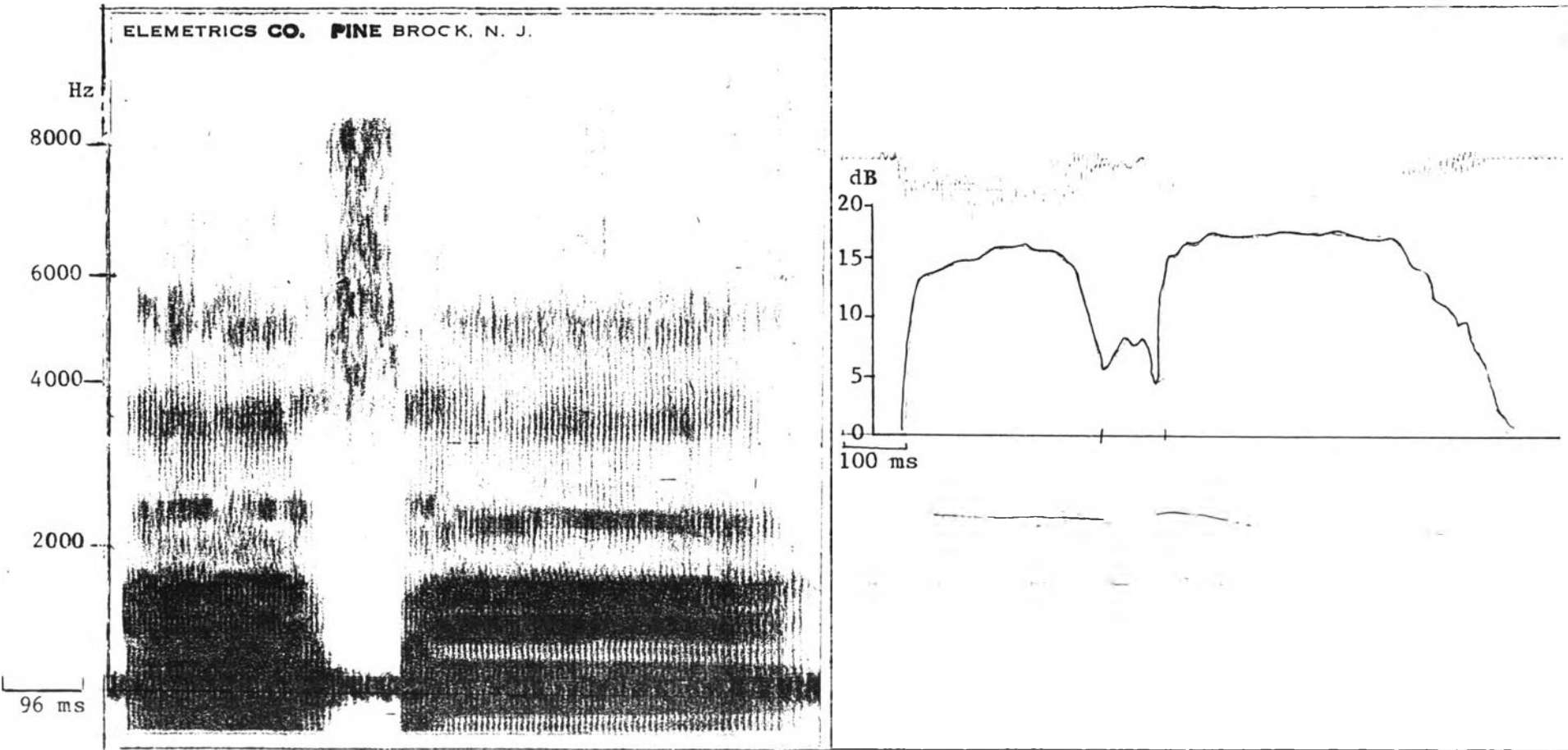
ภาพที่ ๑๑ แผนที่คลื่นเสียง และแผนที่มิงโกแอมของคำว่า [i: si:]



ตารางที่ 162 ค่าทางกลศาสตร์ ของ /s/ ในคำว่า [i:si:]

		พิสัยการกำหนด				ค่า R
	$\bar{X}$	4308-8000				5625
	S.D.	-				75.82
ค่า F ของ Pre-C-F-Trans						
F4	$\bar{X}$	3875	3888	3904	3946	3975
	S.D.	89.44	87.67	99.26	108.81	128.45
F3	$\bar{X}$	3304	3188	2963	2704	2413
	S.D.	67.85	70.26	81.77	106.55	102.16
F2	$\bar{X}$	2333	2288	2229	2167	2046
	S.D.	111.43	80.23	73.17	91.74	134.55
F1	$\bar{X}$	358	358	367	383	396
	S.D.	43.77	43.77	46.54	56.27	64.06
ค่า F ของ Post-C-F-Trans						
F4	$\bar{X}$	4267	4133	4025	3958	3896
	S.D.	116.90	62.53	61.23	76.91	57.91
F3	$\bar{X}$	2546	2850	3039	3167	3233
	S.D.		130.38	125.24	62.58	37.63
F2	$\bar{X}$	1938	2196	2275	2367	2392
	S.D.	156.32	116.63	103.68	88.97	60.55
F1	$\bar{X}$	479	454	400	400	388
	S.D.	51.03	53.42	44.72	44.72	51.84
		ระยะเวลาของระยะคงที่		ระยะเวลาของ Pre-C-F-Trans	ระยะเวลาของ Post-C-F-Trans	
	$\bar{X}$	108		82	92	
	S.D.	11.05		13.11	12.6	
ค่าความเข้มของเสียงพยัญชนะ						
	$\bar{X}$	5.75				
	S.D.	2.08				

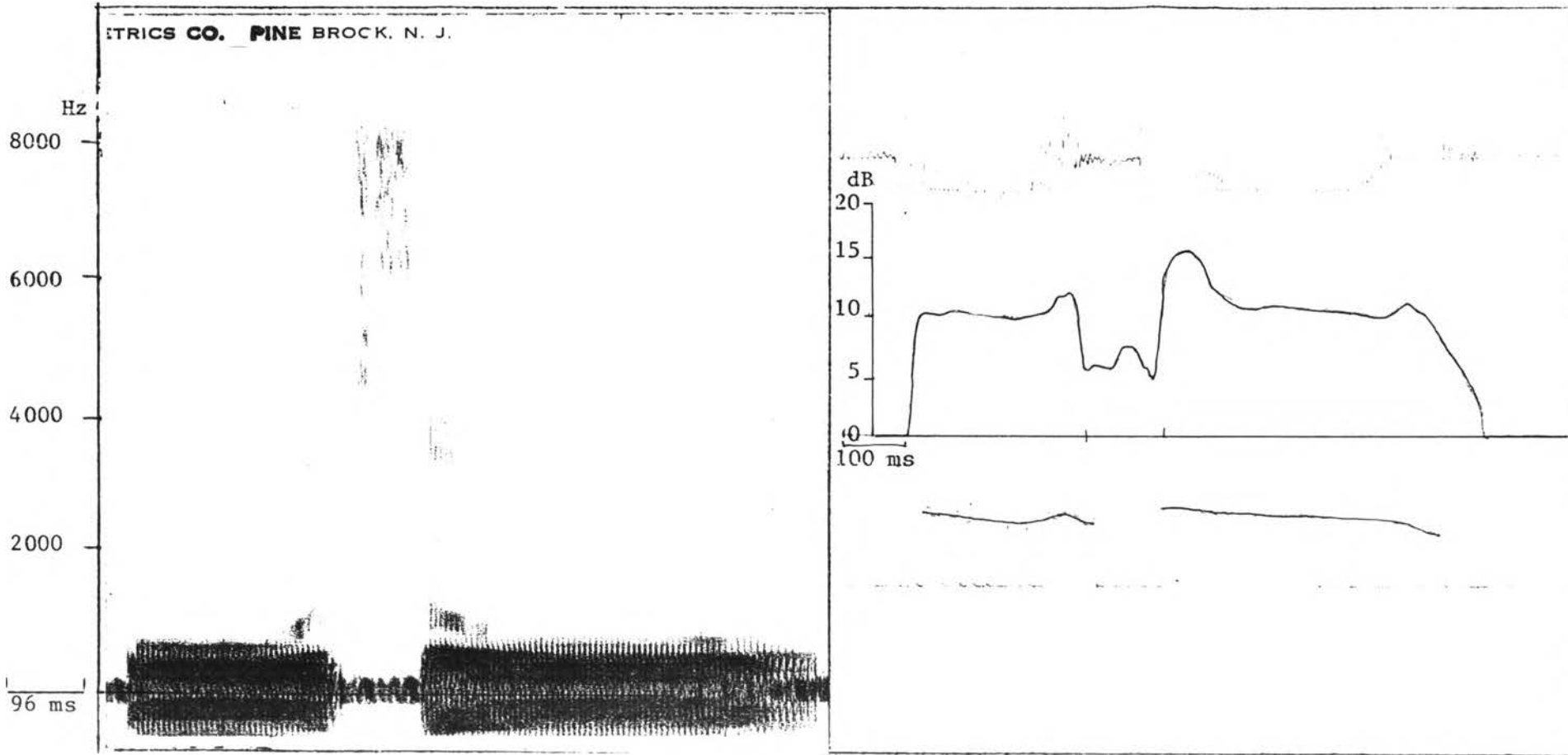
ภาพที่ ๘๙ แผ่นภาพคลื่นเสียง และแผ่นภาพมิงโกแกรมของคำว่า [ a: sa: ]



ตารางที่ 163 ค่าทางกลศาสตร์ ของ /s/ ในคำว่า [a:sa:]

		พิสัยการกำหนด				ค่า R
	$\bar{X}$	3900-8000				5590
	S.D.	-				54.77
ค่า F ของ Pre-C-F-Trans						
F4	$\bar{X}$	4146	4200	4283	4329	4379
	S.D.	105.37	101.24	113.65	132.68	155.25
F3	$\bar{X}$	2733	2750	2758	2771	2779
	S.D.	129.03	114.01	97.03	74.86	71.44
F2	$\bar{X}$	1538	1517	1496	1442	1333
	S.D.	54.19	60.55	71.44	97.03	102.06
F1	$\bar{X}$	992	983	954	892	763
	S.D.	49.15	40.82	40.05	46.54	89.03
ค่า F ของ Post-C-F-Trans						
F4	$\bar{X}$	4363	4296	4254	4167	4129
	S.D.	220.08	183.31	163.10	121.10	111.14
F3	$\bar{X}$	2908	2854	2783	2717	2658
	S.D.	63.77	55.71	73.59	70.11	83.16
F2	$\bar{X}$	1188	1325	1404	1442	1458
	S.D.	73.73	52.44	33.22	58.45	68.31
F1	$\bar{X}$	567	750	875	963	975
	S.D.	98.31	68.92	50.16	44.01	38.72
		ระยะเวลาของระยะคงที่	ระยะเวลาของ Pre-C-F-Trans		ระยะเวลาของ Post-C-F-Trans	
	$\bar{X}$	108	84		78	
	S.D.		4.89		8.36	
ค่าความเข้มของเสียงพยัญชนะ						
	$\bar{X}$	7.50				
	S.D.	0.80				

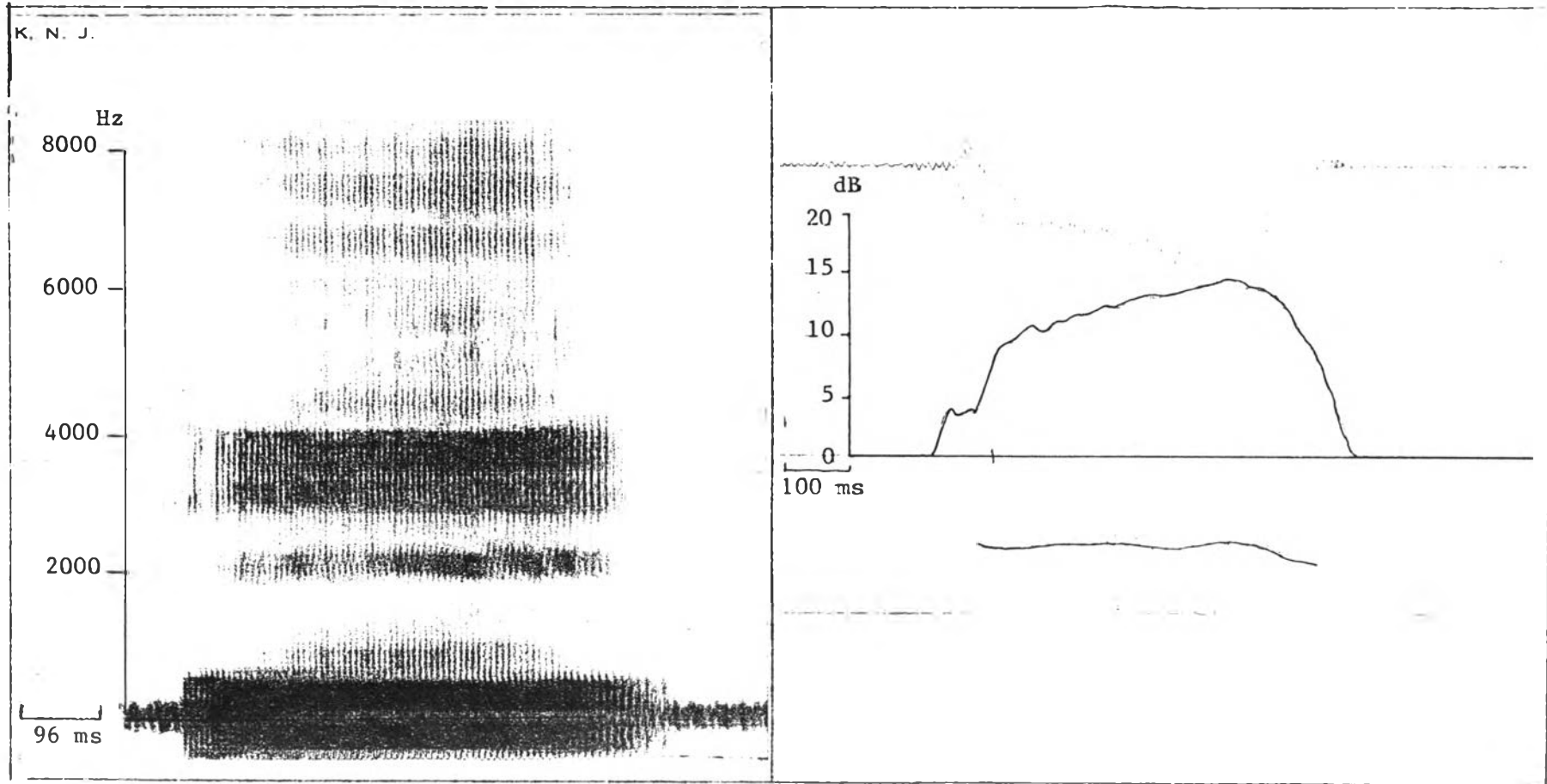
ภาพที่ 90 แผ่นภาพคลื่นเสียง และแผ่นภาพมิงโกแกรมของคำว่า [ u: s u: ]



ตารางที่ 164 ค่าทางกลศาสตร์ ของ /s/ ในคำว่า [u:su:]

		พิสัยการกำหนด					ค่า R
	$\bar{X}$	3300-8000					4967
	S.D.	-					51.33
ค่า F ของ Pre-C-F-Trans							
F4	$\bar{X}$						
	S.D.						
F3	$\bar{X}$						
	S.D.						
F2	$\bar{X}$	663	767	971	1192	1371	
	S.D.	37.91	60.55	45.87	56.27	60.03	
F1	$\bar{X}$	321	329	358	408	463	
	S.D.	40.5	24.57	37.63	51.63	46.71	
ค่า F ของ Post-C-F-Trans							
F4	$\bar{X}$						
	S.D.						
F3	$\bar{X}$						
	S.D.						
F2	$\bar{X}$	1325	1158	1008	850	775	
	S.D.	75.82	56.27	40.82	27.37	41.83	
F1	$\bar{X}$	533	463	425	400	375	
	S.D.	51.63	20.91	27.38	27.38	44.72	
		ระยะเวลาของระยะคงที่		ระยะเวลาของ Pre-C-F-Trans		ระยะเวลาของ Post-C-F-Trans	
	$\bar{X}$	112		90		90	
	S.D.	14.87		11.81		10.17	
ค่าความเข้มของเสียงพยัญชนะ							
	$\bar{X}$	7.00					
	S.D.	0.85					

ภาพที่ ๑๑ แม่น้ำภาพคลื่นเสียง และแม่น้ำภาพมิงโกแควมของคำว่า [hi:]

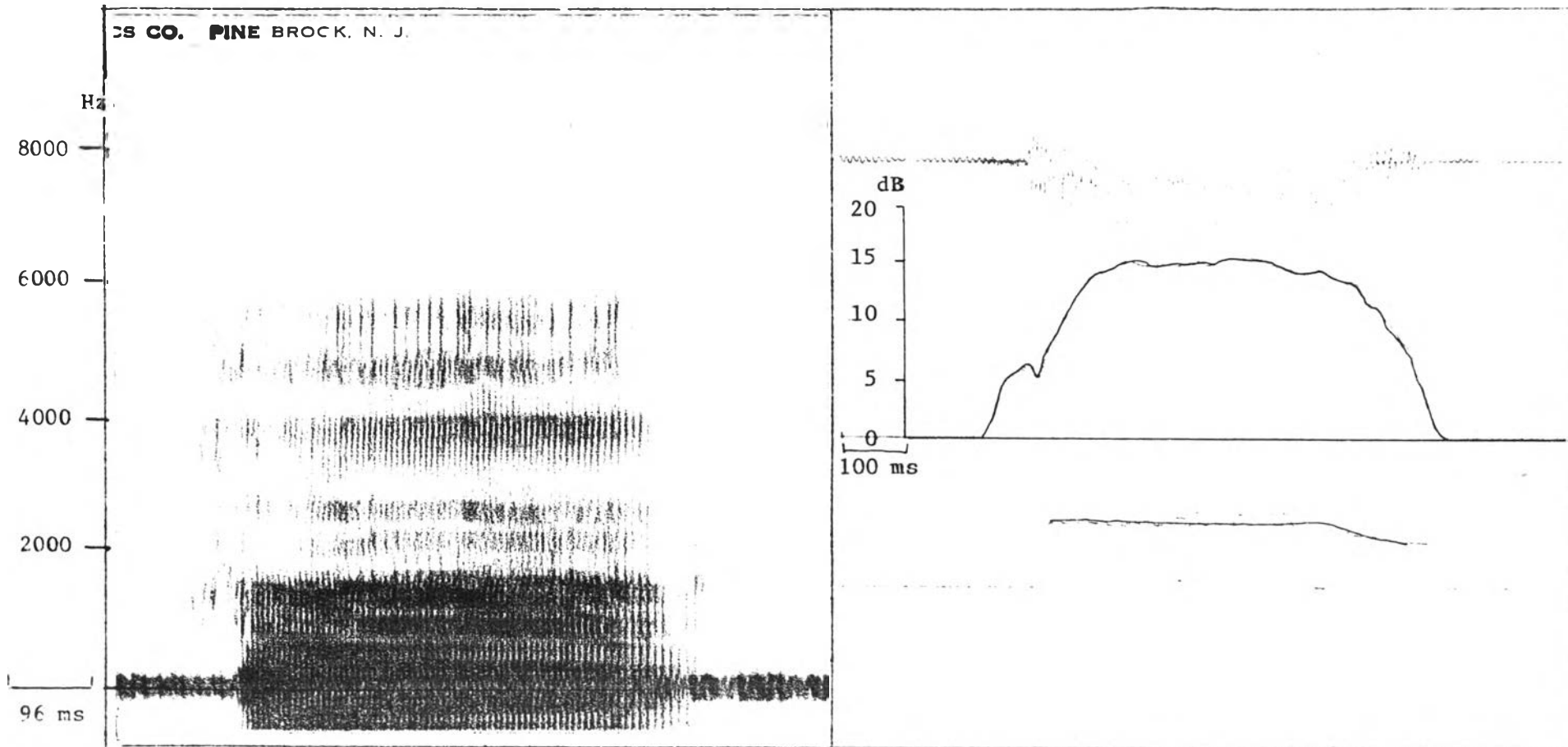


ตารางที่ 165 ค่าทางกลศาสตร์ ของ /h/ ในคำว่า [hi:]

		ดัชนีการกำหนด				ค่า R
	$\bar{X}$	2250-6000				3159
	S.D.	-				142.58
ค่า F ของ Post-C-F-Trans						
F4	$\bar{X}$	3842	3842	3842	3842	3842
	S.D.	156.25	156.25	156.25	156.25	156.25
F3	$\bar{X}$	3192	3192	3192	3192	3192
	S.D.	136.02	136.02	136.02	136.02	136.02
F2	$\bar{X}$	2129	2129	2129	2129	2129
	S.D.	97.14	97.14	97.14	97.14	97.14
F1	$\bar{X}$	358	358	358	358	358
	S.D.	12.70	12.70	12.70	12.70	12.70
		ระยะเวลาของระยะคงที่			ระยะเวลาของ Post-C-F-Trans	
	$\bar{X}$	84			-	
	S.D.	-			-	
ความเข้มของเสียง						
	$\bar{X}$	3.66				
	S.D.	0.80				



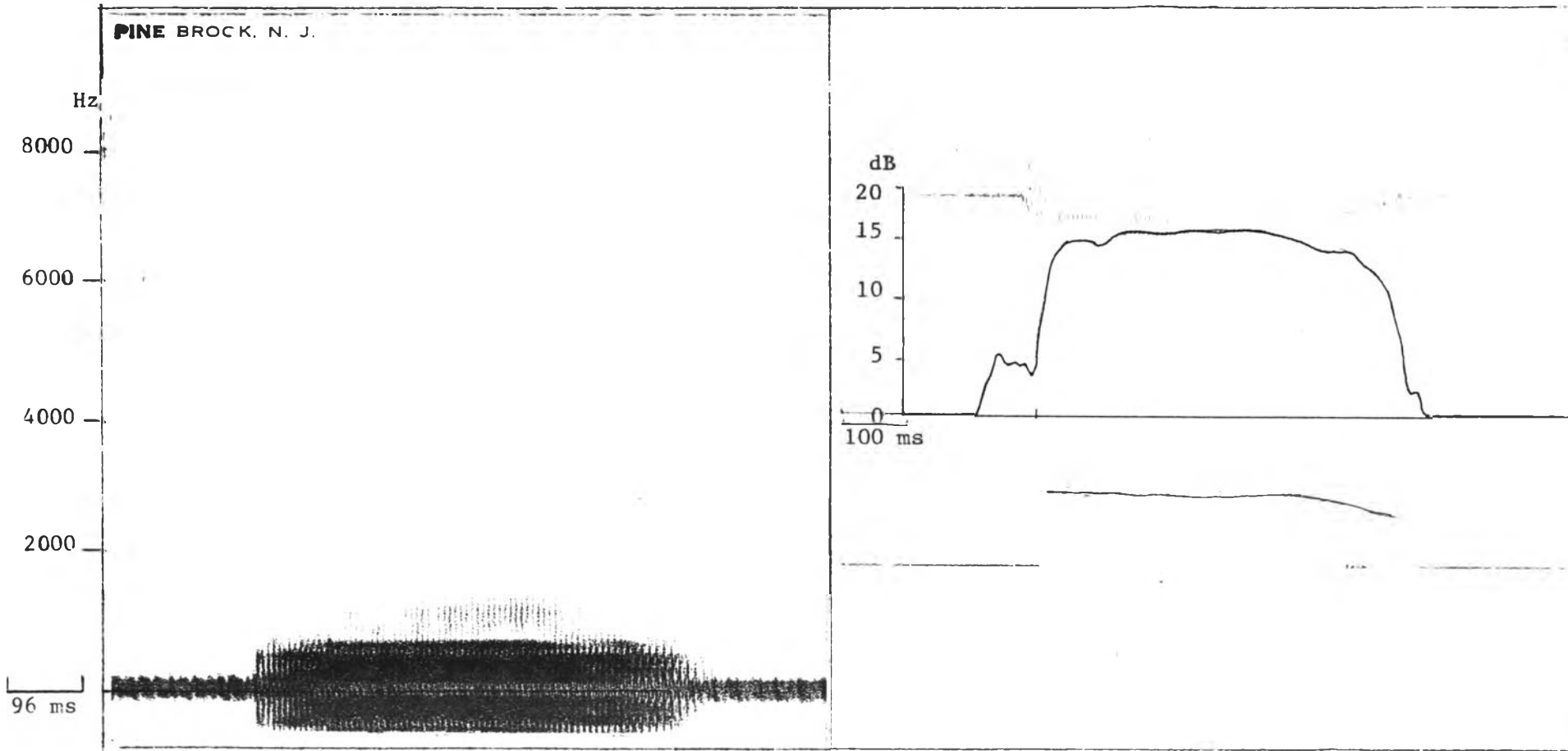
ภาพที่ ๑๒ แผ่นภาพคลื่นเสียง และแผ่นภาพมิงโกแอมของคำว่า [ha:]



ตารางที่ 166 ค่าทางกลศาสตร์ของ /h/ ในคำว่า [ha:]

		พิสัยการกำหนด				ค่า R
	$\bar{X}$	317-5867				1491
	S.D.	-				80.10
ค่า F ของ Post-C-F-Trans						
F4	$\bar{X}$	3933	3933	3933	3933	3933
	S.D.	81.64	81.64	81.64	81.64	81.64
F3	$\bar{X}$	2800	2800	2800	2800	2800
	S.D.	63.24	63.24	63.24	63.24	63.24
F2	$\bar{X}$	1433	1433	1433	1433	1433
	S.D.	60.55	60.55	60.55	60.55	60.55
F1	$\bar{X}$	921	921	921	921	921
	S.D.	51.01	50.01	51.01	51.01	51.01
		ระยะเวลาของระยะคงที่			ระยะเวลาของ Post-C-F-Trans	
	$\bar{X}$	84			-	
	S.D.	7.41			-	
ความเข้มของเสียง						
	$\bar{X}$	4.25				
	S.D.	1.75				

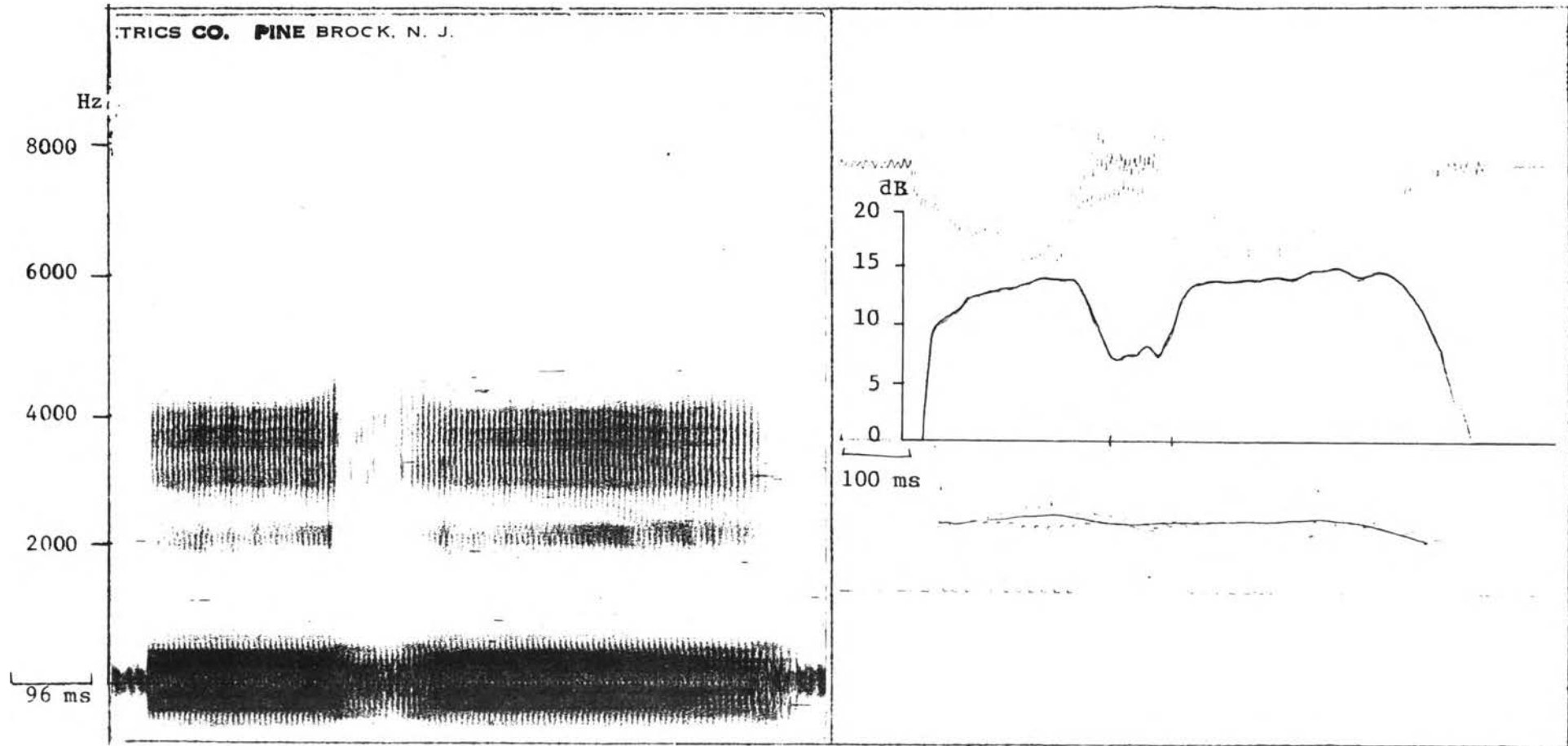
ภาพที่ 93 แม่ภาพคลื่นเสียง และแม่ภาพมิงโกแกรมของคำว่า [hu:]



ตารางที่ 167 ค่าทางกลศาสตร์ ของ /h/ ในคำว่า [hu:]

		พิสัยการกำหนด				ค่า R
	$\bar{X}$	80-1075				512
	S.D.	-				24.57
ค่า F ของ Post-C-F-Trans						
F4	$\bar{X}$					
	S.D.					
F3	$\bar{X}$					
	S.D.					
F2	$\bar{X}$	621	621	621	621	621
	S.D.	45.87	45.87	45.87	45.87	45.87
F1	$\bar{X}$	317	317	317	317	317
	S.D.	25.81	25.81	25.81	25.81	25.81
		ระยะเวลาของระยะคงที่			ระยะเวลาของ Post-C-F-Trans	
	$\bar{X}$	85			-	
	S.D.	4.32			-	
ความเข้มของเสียง						
	$\bar{X}$	1.87				
	S.D.	1.28				

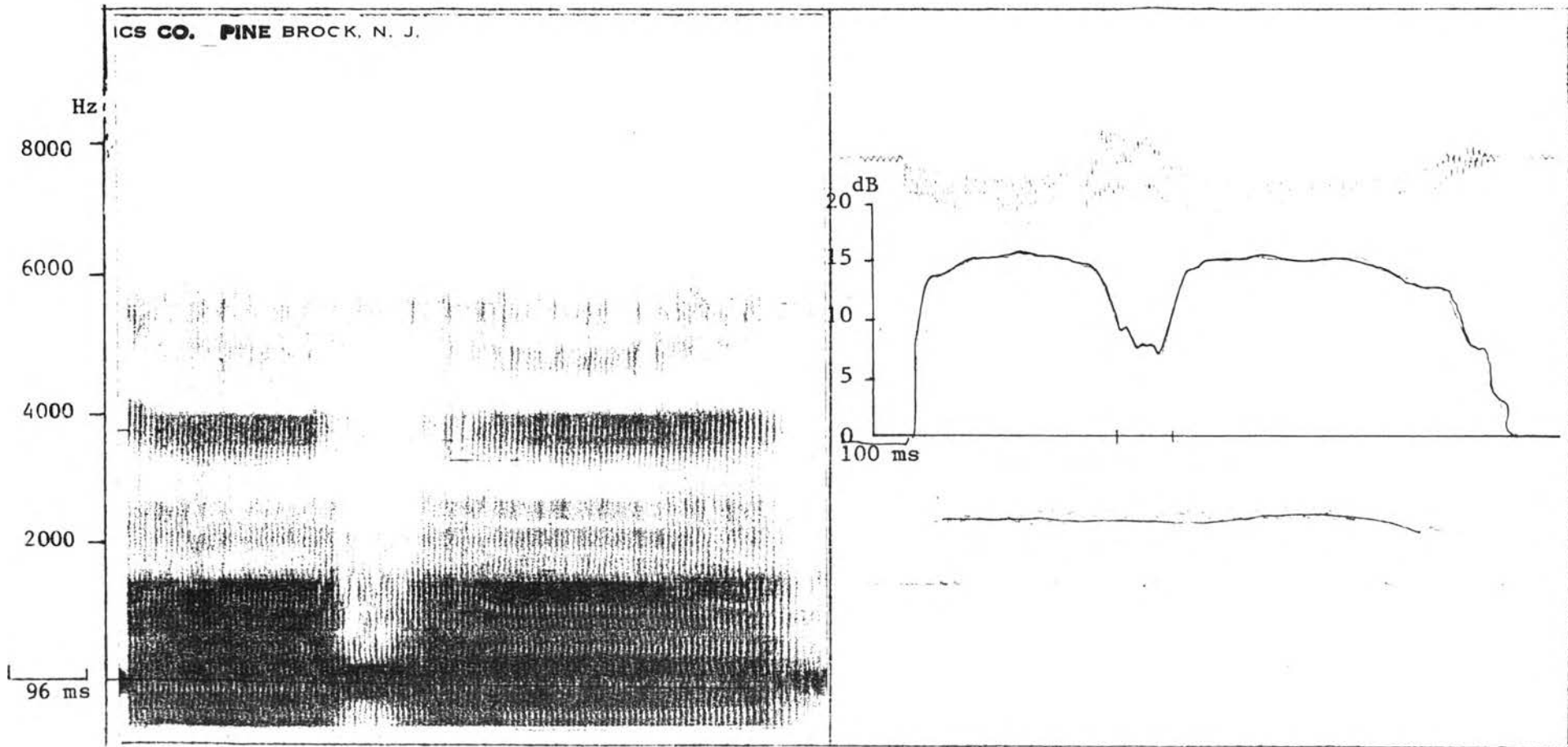
ภาพที่ 94 แม่ภาพคลื่นเสียง และแม่ภาพมิงโกแตรมของคำว่า [ i: hi: ]



ตารางที่ 168 ค่าทางกลศาสตร์ ของ /h/ ในคำว่า [i:hi:]

		พิสัยการกำหนด				ค่า R
	$\bar{X}$	2096-6050				3151
	S.D.	-				88.03
ค่า F ของ Pre-C-F-Trans						
F4	$\bar{X}$	3892	3892	3892	3892	3892
	S.D.	37.63	37.63	37.63	37.63	37.63
F3	$\bar{X}$	3250	3250	3250	3250	3250
	S.D.	63.24	63.24	63.24	63.24	63.24
F2	$\bar{X}$	2267	2267	2267	2267	2267
	S.D.	37.63	37.63	37.63	73.63	37.63
F1	$\bar{X}$	367	367	367	367	367
	S.D.	25.81	25.81	25.81	25.81	25.81
ค่า F ของ Post-C-F-Trans						
F4	$\bar{X}$	3892	3892	3892	3892	3892
	S.D.	37.63	37.63	37.63	37.63	37.63
F3	$\bar{X}$	3250	3250	3250	3250	3250
	S.D.	63.24	63.24	63.24	63.24	63.24
F2	$\bar{X}$	2267	2267	2267	2267	2267
	S.D.	37.63	37.63	37.63	37.63	37.63
F1	$\bar{X}$	367	367	367	367	367
	S.D.	25.81	25.81	25.81	25.81	25.81
		ระยะเวลาของระยะคงที่	ระยะเวลาของ Pre-C-F-Trans	ระยะเวลาของ Post-C-F-Trans		
	$\bar{X}$	111	-	-		
	S.D.	17.37	-	-		
ค่าความเข้มของเสียงพยัญชนะ						
	$\bar{X}$	5.58				
	S.D.	1.29				

ภาพที่ 95 แผ่นภาพคลื่นเสียง และแผ่นภาพมิงโกแตรรของคำว่า [a: ha:]

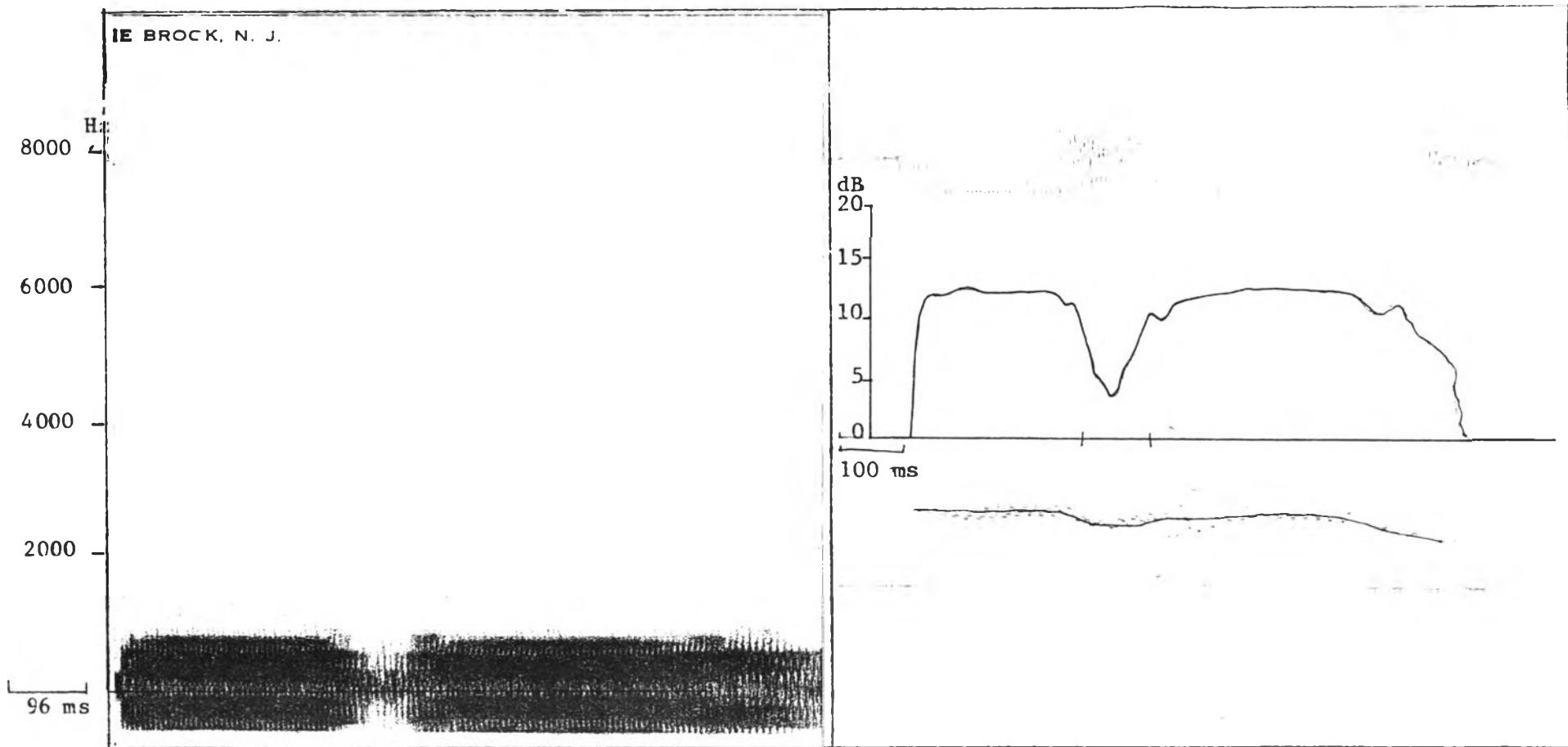


ตารางที่ 169 ค่าทางกลศาสตร์ /h/ ในคำว่า [a:ha:]

		พิสัยการกำหนด				ค่า R
	$\bar{X}$	325-6079				1500
	S.D.	-				75.82
ค่า F ของ Pre-C-F-Trans						
F4	$\bar{X}$	3933	3933	3933	3933	3933
	S.D.	75.27	75.27	75.27	75.27	75.27
F3	$\bar{X}$	2800	2800	2800	2800	2800
	S.D.	104.88	104.88	104.88	104.88	104.88
F2	$\bar{X}$	1446	1446	1446	1446	1446
	S.D.	40.05	40.05	40.05	40.05	40.05
F1	$\bar{X}$	938	938	938	938	938
	S.D.	49.37	49.37	49.37	49.37	49.37
ค่า F ของ Post-C-F-Trans						
F4	$\bar{X}$	3933	3933	3933	3933	3933
	S.D.	75.27	75.27	75.27	75.27	75.25
F3	$\bar{X}$	2800	2800	2800	2800	2800
	S.D.	104.88	104.88	104.88	104.88	104.88
F2	$\bar{X}$	1446	1446	1446	1446	1446
	S.D.	40.05	40.05	40.05	40.05	40.05
F1	$\bar{X}$	938	938	938	938	938
	S.D.	49.37	49.37	49.37	49.37	49.39
		ระยะเวลาของระยะหงท	ระยะเวลาของ Pre-C-F-Trans		ระยะเวลาของ Post-C-F-Trans	
	$\bar{X}$	101	-		-	
	S.D.	10.33	-		-	
ค่าความเข้มของเสียงพยัญชนะ						
	$\bar{X}$	7.16				
	S.D.	1.33				



ภาพที่ ๑๖ แม่ภาพคลื่นเสียง และแม่ภาพมิงโกแกรมของคำว่า { u: hu: }



ตารางที่ 170 ค่าทางกลศาสตร์ ของ /h/ ในคำว่า [u:hu:]

		พิสัยการกำหนด				ค่า R
	$\bar{X}$	80-1133				525
	S.D.	-				28.86
ค่า F ของ Pre-C-F-Trans						
F4	$\bar{X}$					
	S.D.					
F3	$\bar{X}$					
	S.D.					
F2	$\bar{X}$	612	612	612	612	612
	S.D.	30.61	30.61	30.61	30.61	30.61
F1	$\bar{X}$	338	338	338	338	338
	S.D.	20.91	20.91	20.91	20.91	20.91
ค่า F ของ Post-C-F-Trans						
F4	$\bar{X}$					
	S.D.					
F3	$\bar{X}$					
	S.D.					
F2	$\bar{X}$	612	612	612	612	612
	S.D.	30.61	30.61	30.61	30.61	30.61
F1	$\bar{X}$	338	338	338	338	338
	S.D.	20.91	20.91	20.91	20.91	20.91
		ระยะเวลาของระยะคงที่		ระยะเวลาของ Pre-C-F-Trans		ระยะเวลาของ Post-C-F-Trans
	$\bar{X}$	108		-		-
	S.D.	27.65		-		-
ค่าความเข้มของเสียงพยักขณะ						
	$\bar{X}$	3.66				
	S.D.	2.12				

### ประวัติผู้เขียน

นายธนาพันธ์ ครงดี เกิดเมื่อวันที่ 1 มิถุนายน พ.ศ. 2502 ที่จังหวัดสกลนคร สำเร็จการศึกษาศิลปศาสตรบัณฑิต (เกียรตินิยมอันดับ 1) จากวิทยาลัยคณาสวัสดิ์ เมื่อปีการศึกษา 2526 เข้าศึกษาในภาควิชาภาษาศาสตร์ บัณฑิตวิทยาลัย จุฬาลงกรณ์มหาวิทยาลัย เมื่อปีการศึกษา 2527

